



جامعة الدكتور مولاي الطاهر - سعيدة -
كلية العلوم الاقتصادية والعلوم التجارية وعلوم التسويق
قسم العلوم التجارية



أطروحة مقدمة لاستكمال متطلبات شهادة الدكتوراه الطور الثالث لـ د

شعبة : العلوم التجارية

تخصص: الطرق الكمية المطبقة في التسويق

من إعداد الطالب: مراس محمد

عنوان

التفوّق واشتراكيّات الأُمّة العربيّة واستخدام فناخن السلاسل الزمنية الخطية و غير الخطية
"دراسة حالة وكالات المتعاملين في السوق الدّرائريّة : هوبيليس-جيزي - أوريادو - واتصالات الدّرائير"

أعضاء لجنة المناقشة:

رئيسا	جامعة سعيدة	أستاذ التعليم العالي	رقابي	ذباب
مشرفا	جامعة سعيدة	أستاذ محاضر (أ)	عبد القادر	بلعربي
متحنا	جامعة سعيدة	أستاذ محاضر (أ)	علي	بن قدور
متحنا	جامعة سعيدة	أستاذ محاضر (أ)	محمد	جبوري
متحنا	جامعة تلمسان	أستاذ التعليم العالي	عبد الناصر	بوتاجة
متحنا	جامعة تلمسان	أستاذ التعليم العالي	مصطفى	جناس

السنة الجامعية: 2018/2017

بِسْمِ اللَّهِ الرَّحْمَنِ الرَّحِيمِ
وَصَلَّى اللَّهُ عَلَيْهِ وَسَلَّمَ وَسَلَّمَ



الإِهْدَاء



التبنّي باشتراكات الأنترنّت باستخدام خاذج السلالسل الزمنية
الخطية وغير الخطية

الإهداء

أهدى هذا العمل الأكاديمي المتواضع إلى من أنانيا لي درب العلم والمعرفة وحرصاً عليها منذ الصغر واجهتها في تربيتي والاعتناء بي

والذي أحببناه إلى قلبي أتمنى لها دوام الصحة والعافية

فلا شيء عندي آخر به أعظم من

دین اُوہمن یہ،

وأب آخر دائماً عندما يختتم اسمه باسمه،

وامرأة عظيمة قامت بتربيتي،

إلى الإنسنة التي علقت عليها آمالى في اجتياز هذا المدرن الطويل،

إلى من تطأعوا لتجاهي بنظرات الأمل، إلى رفيق دربي في هذه الحياة، إلى مسندِي وقوتي وملاذِي بعد
الله أخي علي،

إلى من آثروني على نفسهم،

إلى من علموني علم الحياة،

إلى من أظہر وآلي ما هو أجمل من الحبة أخيواتي.

إلى كافة الأهل والأقارب

إلى من جعلهم الله إخوتي في الله على مواقفهم البالية

إلى من شارك في أم الحياة فكانوا سندى وقت الضيق أصدقائى الأعزاء



كلمة شكر



التبنی باشتراکات اینترنت با استفاده نماینده سلاسل زمانی
خطی و غیر خطی

مصداقاً لقول النبي صل الله عليه وسلم " لا يشكر الله من لا يشكر الناس "

الذي رواه الأشعث بن قيس عن الإمام أحمد

وأقراراً منا أنه من لم يتعود شكر الناس لن يتعود شكر الله

نقدم إذن بتشكراتنا البالغة خصيصاً للأستاذ المؤطر بلعربي عبد القادر

الذي لم يدخل علينا بالصائح والإرشادات التالية لإنقاص هذه المذكرة

كما لا ننسى شكرنا الجليل للأستاذ البروفيسور صوار يوسف الذي لا ننسى تواضعه وحبه للعلم و لأهله ، ولحرصه على طلبه من أجل الاجتهد و النجاح

كما لا ننسى مدراء وكالات المعاملين في السوق الجزائرية المقدى لخدمة الأنترنت وأخص بالذكر : محمد قديري

كما نشكر اللجنة التي قبلت تقديم هذا البحث

ونشكر كل من مد لنا يد المساعدة سواء بتصحية أو بانتقاد من قريب أو من بعيد



فهرس مختصر



التعبير باشتراكات الأنترنت باستخدام ثناوج السلسل الزمنية
الخطية وغير الخطية

الصفحة	العنوان
أ - ط	مقدمة عامة
68 - 01	الفصل الأول: الاطار النظري للدراسة
42 - 02	المبحث الأول : التنبؤ ، السلالسل الزمنية و الأنترنت
67-43	المبحث الثاني : الدراسات السابقة
171-69	الفصل الثاني: الاطار التطبيقي للدراسة
99-70	المبحث الأول : نموذج و منهجية الدراسة
170-100	المبحث الثاني : التتابع التطبيقية للدراسة
176-172	خاتمة عامة



قائمة المداول



التعبّر باشتراكات الأنترنوت باستخدام ثناوج السلالل الزمنية
الخطية وغير الخطية

قائمة الجداول

الصفحة	العنوان	الرقم
113	نتائج اختبار ديكري فولر للسلالس الزمنية محل الدراسة	1
114	نتائج اختبار فيلبيس_بيرون لاستقرارية السلالس الزمنية	2
115	نتائج اختبار KPSS لاستقرارية السلالس الزمنية محل الدراسة	3
117	النماذج ARMA المرشحة لتمثيل نموذج المعامل موبيليس وكالة مغنية	4
118	النماذج ARMA المرشحة لتمثيل نموذج المعامل موبيليس وكالة سعيدة	5
119	النماذج ARMA المرشحة لتمثيل نموذج المعامل جزيري وكالة مغنية	6
120	النماذج ARMA المرشحة لتمثيل نموذج المعامل جزيري وكالة سعيدة	7
121	النماذج ARMA المرشحة لتمثيل نموذج المعامل أوليدو وكالة مغنية	8
122	النماذج ARMA المرشحة لتمثيل نموذج المعامل أوليدو وكالة سعيدة	9
123	النماذج ARMA المرشحة لتمثيل نموذج المعامل اتصالات الجزائر وكالة مغنية	10
124	النماذج ARMA المرشحة لتمثيل نموذج المعامل اتصالات الجزائر وكالة سعيدة	11
125	نتائج تقدير غودج ARMA(11,11)	12
126	نتائج تقدير غودج ARMA(5,17)	13
127	نتائج تقدير غودج ARMA(11,26)	14
128	نتائج تقدير غودج ARMA(15,22)	15
129	نتائج تقدير غودج ARMA(18,14)	16
129	نتائج تقدير غودج ARMA(0,23)	17
130	نتائج تقدير غودج ARMA(1,5)	18
131	نتائج تقدير غودج ARMA(1,20)	19
140	نتائج اختبار فيشر للنماذج المقدرة ARMA	20
141	نتائج اختبار التوزيع الطبيعي لبواقي للنماذج المقدرة	21
142	نتائج اختبار Breush_Godfrey للنماذج المقدرة	22
143	ملخص نتائج التبريرات للأشتراكات الشهوية لدى الوكالات محل الدراسة للفترة جانفي 2017 _ ديسمبر 2017	23
144	مؤشرات معيار تايل للنماذج المقدرة	24
146	نتائج اختبار ARCH لبواقي النماذج المقدرة	25
147	نتائج اختبار White للنماذج المقدرة	26
148	نتائج تقدير غودج ARCH	27
148	نتائج تقدير غودج GARCH	28
148	نماذج GARCH المرشحة لتمثيل بواقي غودج ARMA(18,14)	29
149	نتائج تقدير غودج GARCH(0,1) بخطأ ARMA(18,14)	30
151	نتائج التنبؤ باشتراكات الانترنت باستخدام غودج ARMA(18,14) خطأ ARMA(0,1)	31
152	معايير ARMA , MAE , RMSE , AIC لنموذج ARMA(18,14) و غودج GARCH (0,1) خطأ (18,14)	32
154	نتائج تحويل شبكة اشتراكات الانترنت لدى المعامل موبيليس وكالة مغنية	33
154	نتائج تحويل شبكة اشتراكات الانترنت لدى المعامل موبيليس وكالة سعيدة	34
155	نتائج تحويل شبكة اشتراكات الانترنت لدى المعامل جزيري وكالة مغنية	35
156	نتائج تحويل شبكة اشتراكات الانترنت لدى المعامل جزيري وكالة سعيدة	36
156	نتائج تحويل شبكة اشتراكات الانترنت لدى المعامل أوليدو وكالة مغنية	37
157	نتائج تحويل شبكة اشتراكات الانترنت لدى المعامل أوليدو وكالة سعيدة	38

قائمة الجداول

158	نتائج تحليل شبكة اشتراكات الانترنت لدى المتعامل اتصالات الجزائر وكالة مغنية	39
158	نتائج تحليل شبكة اشتراكات الانترنت لدى المتعامل اتصالات الجزائر وكالة سعيدة	40
159	نتائج تقدير معمارية شبكة المتعامل موبيليس وكالة مغنية	41
160	نتائج تقدير معمارية شبكة المتعامل موبيليس وكالة سعيدة	42
160	نتائج تقدير معمارية شبكة المتعامل جيزي وكالة مغنية	43
161	نتائج تقدير معمارية شبكة المتعامل جيزي وكالة سعيدة	44
162	نتائج تقدير معمارية شبكة المتعامل أوريدو وكالة مغنية	45
162	نتائج تقدير معمارية شبكة المتعامل أوريدو وكالة سعيدة	46
163	نتائج تقدير معمارية شبكة المتعامل اتصالات الجزائر وكالة مغنية	47
163	نتائج تقدير معمارية شبكة المتعامل اتصالات الجزائر وكالة سعيدة	48
164	نتائج التبليج باستخدام نماذج الشبكات العصبية MLP	49
165	معايير MLP 1_7_1 لنموذج ARMA(11,11) و MAPE , MAE , RMSE , AIC	50
166	معايير MLP 1_4_1 لنموذج ARMA(5,17) و MAPE , MAE , RMSE , AIC	51
166	معايير MLP 1_5_1 لنموذج ARMA(11,26) و MAPE , MAE , RMSE , AIC	52
167	معايير MLP 1_1_1 لنموذج ARMA(15,22) و MAPE , MAE , RMSE , AIC	53
167	معايير MLP 1_9_1 لنموذج ARMA(18,14) و MAPE , MAE , RMSE , AIC	54
168	معايير MLP 1_3_1 لنموذج ARMA(0,23) و MAPE , MAE , RMSE , AIC	55
169	معايير MLP 1_3_1 لنموذج ARMA(1,5) و MAPE , MAE , RMSE , AIC	56
169	معايير MLP 1_6_1 لنموذج ARMA(1,20) و MAPE , MAE , RMSE , AIC	57

قائمة الأشكال

البيانية

التعبير باشتراكات الأنترنت باستخدام ثناوج السلسل الزمنية
الخطية وغير الخطية

الصفحة	العنوان	الرقم
96	هيكل الشبكة البيولوجيا	1
101	التمثيل البياني للسلالس الزمنية الممثلة للاشتراكات الشهرية الانترنت لدى المتعامل موبيليس للفترة جانفي 2013 إلى غاية ديسمبر 2016 وكالتي "سعيدة" ، "مغنية"	2
102	التمثيل البياني للسلالس الزمنية الممثلة للاشتراكات الشهرية الانترنت لدى المتعامل جيزي للفترة جانفي 2013 إلى غاية ديسمبر 2016 وكالتي "سعيدة" ، "مغنية"	3
103	التمثيل البياني للسلالس الزمنية الممثلة للاشتراكات الشهرية الانترنت لدى المتعامل أوريدو للفترة جانفي 2014 إلى غاية ديسمبر 2016 وكالتي "سعيدة" ، "مغنية"	4
104	التمثيل البياني للسلالس الزمنية الممثلة للاشتراكات الشهرية الانترنت لدى المتعامل اتصالات الجزائر للفترة جانفي 2012 إلى غاية ديسمبر 2016 وكالتي "سعيدة" ، "مغنية"	5
106	دوال الارتباط الذاتي للسلالس الزمنية الممثلة لاشتراكات الانترنت لدى المتعامل موبيليس	6
107	دوال الارتباط الذاتي للسلالس الزمنية الممثلة لاشتراكات الانترنت لدى المتعامل جيزي	7
109	دوال الارتباط الذاتي للسلالس الزمنية الممثلة لاشتراكات الانترنت لدى المتعامل أوريدو	8
110	دوال الارتباط الذاتي للسلالس الزمنية الممثلة لاشتراكات الانترنت لدى المتعامل اتصالات الجزائر	9
151	دقة تنبؤ نموذج ARMA(18,14) بخطأ GARCH(1,1)	10



قائمة الملاحق



التنبؤ باشتراكات الأنترنت باستخدام نماذج السلالسل الزمنية
الخطية و غير الخطية

الصفحة	العنوان	رقم
183	نتائج اختبار ديفي فولر لاستقرارية السلسل الرمزية محل الدراسة	01
185	نتائج اختبار PP لاستقرارية السلسل الرمزية محل الدراسة	02
187	نتائج اختبار KPSS لاستقرارية السلسل الرمزية محل الدراسة	03
189	نتائج تقدير النماذج المرشحة لتمثيل سلسلة اشتراكات الأنترنت لدى المعامل اتصالات الجزائر وكالة مغنية .	04
190	نتائج تقدير النماذج المرشحة لتمثيل سلسلة اشتراكات الأنترنت لدى المعامل اتصالات الجزائر وكالة سعيدة .	05
192	نتائج تقدير النماذج المرشحة لتمثيل سلسلة اشتراكات الأنترنت لدى المعامل جيزي وكالة مغنية .	06
194	نتائج تقدير النماذج المرشحة لتمثيل سلسلة اشتراكات الأنترنت لدى المعامل جيزي وكالة سعيدة	07
195	نتائج تقدير النماذج المرشحة لتمثيل سلسلة اشتراكات الأنترنت لدى المعامل موبيليس وكالة مغنية	08
196	نتائج تقدير النماذج المرشحة لتمثيل سلسلة اشتراكات الأنترنت لدى المعامل موبيليس وكالة سعيدة	09
198	نتائج تقدير النماذج المرشحة لتمثيل سلسلة اشتراكات الأنترنت لدى المعامل أوريدو وكالة مغنية	10
199	نتائج تقدير النماذج المرشحة لتمثيل سلسلة اشتراكات الأنترنت لدى المعامل أوريدو وكالة سعيدة	11
200	نتائج اختبار للقدرة التنبؤية باستخدام غاذج ARMA	12



رموز مستعملة

في البحث



التعبير باشتراكات الأنترنت باستخدام خادج السلسل الزمنية
الخطية وغير الخطية

رموز مستعملة في البحث

الرمز	الدالة
AIATM	سلسلة الاشتراكات الشهرية للأنترنت لدى المتعامل اتصالات الجزائر وكالة مغنية
AIATS	سلسلة الاشتراكات الشهرية للأنترنت لدى المتعامل اتصالات الجزائر وكالة سعيدة
AIMM	سلسلة الاشتراكات الشهرية للأنترنت لدى المتعامل موبيليس وكالة مغنية
AIMS	سلسلة الاشتراكات الشهرية للأنترنت لدى المتعامل موبيليس وكالة سعيدة
AIDM	سلسلة الاشتراكات الشهرية للأنترنت لدى المتعامل جيزي وكالة مغنية
AIDS	سلسلة الاشتراكات الشهرية للأنترنت لدى المتعامل جيزي وكالة سعيدة
AIOM	سلسلة الاشتراكات الشهرية للأنترنت لدى المتعامل أوريدو وكالة مغنية
AIOS	سلسلة الاشتراكات الشهرية للأنترنت لدى المتعامل أوريدو وكالة سعيدة



المقدمة العامة



التنبؤ باشتراكات الأنترنت باستخدام خاذج السلسل الزمنية
الخطية و غير الخطية

اتسمت حياتنا اليومية المعاصرة بسيطرة الحياة الالكترونية الرقمية ، و فرض مصطلح **الأنترنت** وجوده في نهارنا و ليتنا ، في منازلنا و أعمالنا و حتى في طرقاتنا. حيث يمكن اعتبار شبكة **الأنترنت** الامبراطورية المسيطرة الجديدة في العالم، فهي تغطي كافة أنحاء المعمورة شمالاً و جنوباً - شرقاً و غرباً، كما أن قنوات اتصالها تمتد عبر مئات الأقمار الصناعية . و أصبحت الأنترنت المحرك الأساسي لمعظم الأنشطة التي يقوم بها الإنسان إن لم نقل كلها، و أصبحت **الأنترنت** ثقافة مأثورة لدى الجميع .

فالأنترنت هي أكبر شبكة كومبيوتر في العالم ، أو هي شبكة الشبكات كما يعلق عليها البعض . و اسم الأنترنت مركب من عنصرين الأول (inter) بمعنى "بين" والآخر (net) يقابلة في العربية "شبكة"، أي "الشبكة البنية" حيث الاسم يدل كما و سبق أن قلنا يعني "شبكة الشبكات" أو "شبكة ما بين الشبكات" و عموماً يطلق على الأنترنت اسم "شبكة الاتصالات الدولية" أو "الشبكة الدولية للمعلومات" .

و **الأنترنت** هي تقنية و تكنولوجيا القرن الحادي و العشرين و هي محرك الحضارة الجديدة ، حيث أن شبكة الأنترنت هي ثمرة ثورة تكنولوجيا المعلومات و الاتصال الرقمية، حيث أصبحت **الأنترنت** ملازمة لجميع أعمالنا و تحركاتنا ، حيث ظهرت عدة تعاملات كانت غريبة عنا "كالبيع الإلكتروني" ، "الشراء الإلكتروني" ، "التسوق الإلكتروني" ، "التعليم الإلكتروني" ، كما ظهرت عدة مفاهيم جديدة " كالحكومة الإلكترونية" ، "النقود الإلكترونية" ، "الجامعة الافتراضية" ، "السوق الإلكترونية" . حيث كل هذه المفاهيم كان لتقنية شبكة **الأنترنت** الدور الكبير و الفعال في ظهورها.

و بالتالي أصبح الطلب على تقنية شبكة **الأنترنت** في تزايد مستمر منذ نشأتها و ظهورها لأول مرة في أواخر السبعينيات من القرن الماضي و بالضبط عام 1969 لما طلبت وزارة الدفاع

المقدمة العامة

الأمريكية من خبراء الكمبيوتر ايجاد أفضل الطرق للاتصال، و بالتالي كان لزاما توفر هذه الخدمة التي أصبحت كسلعة تباع و تشتري من طرف مقدمي هذه التقنية الجديدة في شق أنحاء العالم .

و الجزائر كغيرها من دول العالم اهتمت بهذه التقنية ، حيث عرفت سنة 1994 تقدما ملحوظا في مجال الاهتمام و الاشتراك و التعامل مع **الأنترنت** ، حيث قدر عدد الهيئات المشتركة بتقنية شبكة الأنترنت 130 هيئة سنة 1996 أي ستين منذ دخول التقنية إلى الجزائر ، و في سنة 1999 بلغ عدد الهيئات المشتركة 800 هيئة مشتركة بخدمة **الأنترنت** ، حيث تبني هذه الاشتراكات مركز البحث في الاعلام الالي و التقني، ثم فتحت الجزائر المجال أمام مقدمي هذه الخدمة للعديد من المتعاملين بغية توسيع تقديم خدمة **الأنترنت** ، حيث بدأت مؤسسة إدارة البريد و المواصلات أنداك محتكرة تقديم هذه الخدمة، ليتوسع فتح المجال أمام عدة متعاملين لتقديم هذه الخدمة و ذلك بعد صدور المرسوم التنفيذي رقم 98 - 257 الصادر بتاريخ 25 أوت 1998 و المعدل و المتمم بمرسوم تنفيذي اخر رقم 307-2000 بتاريخ 14 أكتوبر 2000.

و بالتالي ظهر العديد من المنافسين في تقديم خدمة **الأنترنت** في السوق الجزائرية عاملين على تلبية احتياجات الأفراد و الهيئات و الإدارات من هذه الخدمة، حيث نجد في سوق **الأنترنت** في الجزائر أربع متعاملين رئيسيين متنافسين : " المتعامل اتصالات الجزائر " ، "المتعامل موبيليس" ، "المتعامل حيزى" ، "المتعامل أوريدو" . حيث أصبح لزاما على هؤلاء المتعاملين تقديم أعمال مميزة لصالح الزبائن و هم المتقدمين إلى وكالات المتعاملين للاشتراك في خدمة **الأنترنت**، من أجل كسب و جلب أكبر عدد من المشتركين .

و المنظمات الذكية و الفعلنة هي التي باستطاعتها إنجاز أعمال مميزة لصالح جمهورها، حيث أصبح لزاما على المتعاملين في سوق **الأنترنت** أن تقدم و تبيع تقنية **الأنترنت** بأسعار تنافسية ، و يعد الذكاء و الفعلنة الأساس في التقدم و النجاح و ذلك بالاعتماد على القرارات الاستراتيجية الفعالة و الناجعة ، و قد أكد وصرح ثلاثة من المفكرين و كتاب الإدارة أن أنشطة الابتكار

المقدمة العامة

والتجدد لا تنسى للمؤسسات و الشركات و المنظمات من فراغ بل تتأتى من الاستراتيجية المخلطة لها مستقبلا على ضوء الصياغة السليمة المدعومة بالبيانات و المعلومات العالية الجودة من حيث الدقة ووضوح كما يجب أن تكون هذه البيانات و المعلومات مرتبطة ارتباطا وثيقا بالواقع الاقتصادي و العملي للمنظمات.

و لا يتأتى ذلك لوكالات المتعاملين المقدمين لتقنية **الأنترنت** إلا بمعرفة طبيعة مستقبل سوق **الأنترنت** أو بالأحرى محاولة استشراف المستقبل من أجل الاستثمار في هذه التقنية بأقل التكاليف أي عدم توفير من تقنية شبكة **الأنترنت** أقل مما يحتاجه حالياً هذه الخدمة من أجل عدم ضياع فرص متاحة لوكالة العاملة في منطقة ما و بالتالي عدم خسارة الزبائن ، و من جهة أخرى عدم الاستثمار أكبر مما تحتاجه السوق في منطقة على حساب منطقة أخرى و بالتالي زيادة التكاليف.

إذن في ظل هذا الواقع تلح الحاجة الماسة لبذل أقصى الجهد من طرف عارضي هذه الخدمة من أجل توفيرها في إطار ممارسة فعالة ، أي يتوجب على عارضي خدمة **الأنترنت** «المتعاملين المستثمرين في هذه الخدمة» من ايجاد وسيلة و آلية تساعدهم في تحديد الخيار المناسب والأفضل للاستثمار في خدمة **الأنترنت**، و ذلك من خلال دراسة وتحليل سوق **الأنترنت** و تقلباته ، أي دراسة وتحليل حجم الطلب على **الأنترنت** من أجل خلق عرض يقابل هذا الطلب خاصة في سوق يتميز بالمنافسة .

و تعد نماذج السلسل الرمزية الخطية كنماذج الانحدار الخطى و نماذج الانحدار الخطى – المتوسط المتحرك و نماذج السلسل الرمزية غير الخطية كنماذج الانحدار الذاتي المشروطة بعدم ثبات تباين حد الخطأ ، و نماذج الشبكات العصبية، و نماذج سلاسل فورييه من الأساليب الاحصائية الجديرة بالاهتمام و التي تطورت كثيرا، و أصبح بالإمكان استخدامها من قبل المؤسسات

والشركات و المستثمرين لغرض التوقع بمستقبل العرض و العطلب على خدمة أو سلعة ما ، وذلك كله من أجل استرشاد المستثمرين بنتائجها على أن يتخذوا قرارات فعالة في المستقبل .

1-الإشكالية :

إن عملية التنبؤ باستخدام نماذج السلسلة الزمنية الخطية و غير الخطية يتأثر بشكل أو بأخر بمجموعة من العوامل كنوع بيانات السلسلة الزمنية ، طبيعة نوع النموذج المراد تقادره، حجم ودقة البيانات المستعملة، هذا ما يؤثر على دقة التنبؤات المستقبلية ، ضف إلى ذلك أن مكونات السلسلة الزمنية في حد ذاتها علاقة باختيار نوع النموذج و ما مدى قدرته التنبؤية. فمثلاً ما هو النموذج الملائم لنماذج السلسلة الزمنية التي تحتوي على عنصر الموسمية فهل نستعمل نماذج SARIMA مثلاً أم نستعمل نماذج التحليل العليفي، وكذلك مثلاً في حالة السلسلة الزمنية التي تحتوي على التذبذبات العشوائية مما هو النموذج الملائم، هل نستعمل نموذج ARMA - ARCH أم نستعمل نموذج ARCH فقط و هكذا .

ولكي نتحصل على نموذج تنبؤي يقترب من الواقع لا بد من الأخذ بعين الاعتبار طبيعة السلسلة الزمنية إن كانت سلسلة زمنية خطية أو سلسلة زمنية غير خطية و كذلك مركبات السلسلة الزمنية من مركبة فصلية أو عشوائية أو دورية .

وبناءً على ذلك قمنا بطرح الإشكالية التالية لأطروحتنا كما يلي :

ما مدى قدرة و فعالية استخدام نماذج السلسلة الزمنية الخطية و غير الخطية في النماذج و التنبؤ بالاشتراكات الشهرية للأنترنت لدى وكالات المتعاملين في السوق الجزائرية «موبيليس»، «جيزي»، «أوريدو» و «الصالات الجزائر» ؟

حيث للإحاطة بكلفة جوانب الموضوع و للإجابة على الإشكالية الجوهرية لبحثنا وجب علينا طرح بعض التساؤلات الفرعية التالية :

المقدمة العامة

↳ ما مدى فعالية كل نموذج من نماذج السلسل الزمنية الخطية ARMA و غير الخطية ARCH و نماذج الشبكات العصبية في التنبؤ باشتراكات الأنترنت لدى وكالات المتعاملين في السوق الجزائرية ؟

↳ ما هو النموذج الأكثر ملائمة لكل وكالة حسب الظروف الحقيقة بها و خصوصية الخدمة المقدمة لها و طبيعة و نوعية الزبائن ؟

↳ هل تتأثر نماذج السلسل الزمنية الخطية و غير الخطية بعوامل تؤدي إلى تناقض أو الخد من فاعليتها في عملية التنبؤ باشتراكات الأنترنت ؟

↳ ما مدى تأثير جودة النموذج (من الناحية الاحصائية) على عملية التنبؤ باشتراكات الأنترنت لدى وكالات المتعاملين في السوق الجزائرية "اتصالات الجزائر" ، "جيزي" ، "موبيليس" ، "أوريدو" ؟

2-فرضيات الدراسة :

من أجل معالجة الموضوع و للإجابة على إشكالية البحث انطلاقنا من الفرضيات التالية :

الفرضية الأولى :

استخدام نماذج السلسل الزمنية الخطية و غير الخطية للتنبؤ باشتراكات الأنترنت في وكالات كل من « المتعامل موبيليس » ، « المتعامل جيزي » ، « المتعامل أوريدو »، «المعامل اتصالات الجزائر» يزيد من فعالية اتخاذ قراراتها .

الفرضية الثانية :

التبؤات المثلثي تتأتى من النماذج التي تأخذ في الحسبان عند التقدير الاعتبارات الاحصائية (الاتجاه العام ، العشوائية ، الفصلية ،.....) ، حيث هذه النماذج تسمح بالتفسير الجيد لاشتراكات الأنترنت مما يتبع للوكالات من اتخاذ قرارات صائبة .

المقدمة العامة

3-أهداف الدراسة :

إن بحثنا هذا المتمثل في : " التنبؤ باشتراكات الأنترنت باستخدام نماذج السلسل الزمنية الخطية وغير الخطية " يهدف الوصول إلى مجموعة من الأهداف و المتمثلة أساسا في:

↳ العطرق إلى موضوع التنبؤ باستخدام نماذج السلسل الزمنية الخطية كنماذج ARMA و نماذج السلسل الزمنية غير الخطية كنماذج ARCH و نماذج الشبكات العصبية ...

↳ اختيار النموذج الأفضل من بين نماذج السلسل الزمنية الخطية و غير الخطية للتنبؤ باشتراكات الأنترنت لدى وكالات المتعاملين في السوق الجزائرية "اتصالات الجزائر" ، "جيزي" ، "موبيليس" ، "أوريدو" .

4-أهمية الدراسة :

تكمّن أهمية موضوع بحثنا هذا في كونه يعالج أحد أهم المواضيع الأساسية التي تشغّل بال الكثير من الباحثين و الأكاديميين في الوقت الحالي ألا و هو موضوع الأنترنت ، زد على ذلك قلة الدراسات و الأبحاث التي تعالج موضوع الأنترنت . كما أن للدراسة أهمية بالغة تظهر من خلال النقاط الأساسية التالية :

↳ إظهار مدى الحاجة للتنبؤ في تحديد الطلب المستقبلي على اشتراكات الأنترنت، في ظل المنافسة التي أصبحت واقعا لا مفر منه و الظروف البيئية المتغيرة .

↳ لفت انتباه المسئيرين في كل من وكالات موبيليس ، جيزي ، أوريدو ، و اتصالات الجزائر من وجود أساليب حديثة علمية حديثة للتنبؤ تسمح لهم بمسايرة جميع التغيرات و التحكم فيها و مساعدتهم على اتخاذ قرارات مستقبلية فعالة

↳ يكتسي البحث أهميته من خلال العطرق إلى مختلف نماذج السلسل الزمنية الخطية و الغير الخطية المستعملة في التنبؤ باشتراكات الأنترنت و المقارنة بينها. و ماهي شروط وظروف تطبيقها ، و ماهي الأسباب التي تؤدي إلى تطبيق نموذج عن آخر؟

5-أسلوب و حدود الدراسة:

في دراستنا هذه اعتمدنا على أسلوبين للبحث:

الأسلوب الأول: يتمثل في أسلوب المسح المكتبي أي البحث في المكتبة أو ما يطلق عليه بالدراسة المكتبية و التي يتم من خلاله مراجعة البحوث و الدراسات و المقالات و الكتب والمنشورات و المجلات ذات العلاقة و الصلة بموضوع بحثنا "التبؤ باشتراكات الأنترنت باستخدام نماذج السلسل الرمزية الخطية و غير الخطية" و الذي من خلاله سمح لنا بالتأصيل النظري لطرق نماذج السلسل الرمزية و كلها التعلق إلى كيفية استخدامها في عملية التبؤ .

أما الأسلوب الثاني: فهو الأسلوب التطبيقي العملي و الذي تمثل في جمع و تشكيل السلسل الرمزية الممثلة لاشتراكات الأنترنت لوكالات الشركات محل الدراسة: شركة اتصالات الجزائر " وكالة سعيدة _ وكالة مغنية " ، شركة موبيليس " وكالة مغنية _ وكالة سعيدة " ، شركة أوريدو " وكالة مغنية _ وكالة سعيدة " ، شركة جيري " وكالة مغنية _ وكالة سعيدة " . و استخدام تقنيات الاقتصاد القياسي و الاحصاء الرياضي و الاحصاء التطبيقي من أجل النمذجة و التنبؤ و ذلك بالاستعانة ببرامج مختلفة للتقدير: Eviews ،

الحدود الزمنية و المكانية للدراسة : تمثل الحدود الزمنية للدراسة في الفترات الزمنية التي تقع عليها الدراسة و تختلف هذه الفترات الزمنية من وكالة لأخرى على حسب حجم السلسل المتحصل عليها من طرف الوكالة محل الدراسة، و من خلال الدراسة العيدانية تم ضبط الحدود الزمنية للدراسة حسب كل متعامل في سوق الأنترنت الجزائري كما يلي:

المتعامل اتصالات الجزائر : من جانفي 2012 – إلى غاية ديسمبر 2016 .

المتعامل موبيليس: من جانفي 2013 – إلى غاية ديسمبر 2016 .

المتعامل جيري : من جانفي 2013 – إلى غاية ديسمبر 2016 .

المتعامل أوريدو : من جانفي 2014 – إلى غاية ديسمبر 2016 .

المقدمة العامة

أما عن الحدود المكانية فتشمل وكالات الشركات المقدمة لخدمة الأنترنت في السوق الجزائرية والمتمثلة في : شركة اتصالات الجزائر "وكالة سعيدة" _ وكالة مغنية " ، شركة موبيليس "وكالة مغنية _ وكالة سعيدة " ، شركة أوريدو "وكالة مغنية" _ وكالة سعيدة " ، شركة جيزي "وكالة مغنية _ وكالة سعيدة".

6- صعوبات الدراسة :

أثناء قيامنا ببحثنا هذا اعترضتنا العديد من الصعوبات :

- قلة و ندرة الدراسات التنبؤية للطلب على الخدمات (الأنترنت مثلا ...)
- عزوف مدراء و رؤساء وكالات المتعاملين للشركات محل الدراسة عن تقديم البيانات والمعطيات المطلوبة في بحثنا . (بدوعي المنافسة و السرية و)
- عدم وجود قاعدة بيانات في الهيئات التنفيذية (وزارة الاتصال مثلا ...) حول مثل احصاءات على سوق الأنترنت كما هو موجود في موقع الأسواق المالية .

7- محتوى الدراسة :

لإنجاز و إتمام بحثنا هذا قمنا بالاعتماد على منهجية IMRAD في تقديم الأطروحة بحيث تحتوي على فصلين أساسين فصل نظري و فصل تطبيقي كما أن كل فصل يحتوي على مباحثين كما يلي :

الفصل الأول: " الفصل النظري: حيث تم التطرق فيه إلى مباحثين أساسين، الأول: تم التطرق فيه إلى أساسيات و أنجذبات التنبؤ باستخدام السلسل الرمزية . حيث تم عرض فيه تعريف التنبؤ و انواعه ، و كذا طرق التنبؤ و أهميته العلمية و العملية... ، من ناحية أخرى تم عرض تعريف السلسل الرمزية ، أنواعها ، مكوناتها ، و مركباتها ... ، و بعض أدبيات تكنولوجيا الأنترنت أما في المبحث الثاني: فتم عرض مختلف الدراسات السابقة التي لها علاقة بموضوع

التبؤ باستخدام السلسل الرزمنية سواء الخطية و غير الخطية . حيث تم التعرق إلى الدراسات الأجنبية و العربية منها . كما تم تبيان خصوصية الدراسة الحالية على الدراسات السابقة الأخرى.

الفصل الثاني : " الفصل التطبيقي " : حيث تضمن هذا الفصل الجانب التطبيقي للدراسة

الميداني على عينة الدراسة ، حيث تم تقسيمه إلى مباحثين أساسين : حيث تم التعرق في المبحث

الأول : إلى نموذج و منهجة الدراسة . أي تم عرض فيه مختلف النماذج التي تم استعمالها في

الدراسة (نماذج ARMA ، ARCH ، الشبكات العصبية) . أما في **المبحث الثاني:** فتم

عرض النتائج التطبيقية للدراسة و تحليلها و تفسيرها و استخلاص النتائج العملية للبحث .

كما تضمن البحث مقدمة و خاتمة ، أما في المقدمة فتم عرض شامل حول الدراسة بحيث تم طرح

اشكالية الأطروحة و فرضياتها ... ، أما في خاتمة البحث فتم عرض مختلف النتائج العامة التي تم

التوصل إليها من جراء الدراسة التطبيقية على عينة الدراسة .

الفصل الأول

الأدبيات النظرية

التنبؤ باشتراكات الأنترنت باستخدام غاذج السلسل الزمنية
الخطية وغير الخطية

الأدبيات النظرية

التبؤ هدف النظرية الاقتصادية و ممارساتها ، فالإنسان عندما يدرس الظواهر الاقتصادية ويحللها باستخدام الأساليب النظرية (اللغزية) و القياسية و الرياضية ماهي إلا محاولة لاكتشاف توجهات هذه الغاية في المستقبل و تحديد ما هي العوامل و المؤشرات في توجهات هذه الغاية. حيث الكثير من الأشخاص يستخدمون التبؤ بأشكاله المختلفة و لكن القليل منهم من يعترف بوجود آلية منطقية أو نموذج رياضي في التبؤ....". حيث التبؤ في الميدان الاقتصادي أحد قصطا وافرا من الاهتمام و البحث و التعلوير من قبل المفكرين و الباحثين الاقتصاديين، و ذلك نظرا لعقد العمليات و النشاطات و كثرة الارتباطات بين الوحدات و المؤسسات و الإدارات داخل المؤسسة الاقتصادية الواحدة و خاصة في العصر الاقتصادي الحالي الذي يشهد العديد من التحولات التكنولوجية و المعرفية و ذلك تماشيا لما يعرف بالعولمة الاقتصادية .

و تعد نماذج السلسل الرمزية الخطية كنماذج الانحدار الخطى و نماذج الانحدار الخطي – المتوسط المتحرك و نماذج السلسل الرمزية غير الخطية كنماذج الانحدار الذاتي المشروطة بعدم ثبات تباين حد الخطأ ، و نماذج الشبكات العصبية، و نماذج سلاسل فورييه من الأساليب الاحصائية الجديرة بالاهتمام و التي تطورت كثيرا، و أصبح بالإمكان استخدامها من قبل المؤسسات والشركات و المستثمرين لغرض التوقع بمستقبل العرض و العطلب على خدمة أو سلعة ما ، وذلك كله من أجل استرشاد المسيرين بنتائجها على أن يتخذوا قرارات فعالة في المستقبل .

المبحث الأول :الاطار النظري للتنبؤ و السلاسل الزمنية و الأنترنت

1-التنبؤ الاقتصادي:

التنبؤ الاقتصادي هو نافذة مفتوحة على المستقبل بالنسبة للمنظمات الاقتصادية ، حيث التنبؤ ما هو إلا توقع لما سيحدث في المستقبل من أحداث ، إذن التنبؤ هو عملية عرض حالي لمعلومات مستقبلية اعتمادا على معلومات تاريخية و ذلك بعد دراسة سلوكها ، لذلك فالهدف الرئيسي لعملية التنبؤ هو الاستخدام الأفضل للمعلومات المتاحة حاليا .

1-1-تعريف التنبؤ¹ :

إن الجزم بإعطاء تعريف أو مفهوم واحد للتنبؤ قد يؤدي بنا إلى حصر هذا المفهوم في مجال ضيق لذلك وجب علينا إعطاء مجموعة من التعريف المقدمة من طرف الباحثين و المختصين وذلك لتسلیط الضوء على مفهوم التنبؤ و كذا نزع البس عن تعريف التنبؤ .

حيث يمكن تعريف التنبؤ بأنه : محاولة من جانب الإدارة أو المنشأة لتقضي ما سوف يكون عليه حالة الطلب المستقل المستقبلي للسلع و الخدمات بالوحدات أو بالقيم أو بحصتها خلال فترة زمنية معينة² .

و يمكن تعريف التنبؤ كذلك على أنه: محاولة لتقدير مستوى المبيعات المستقبلية و ذلك باستخدام المعلومات المتوفرة عن الماضي و الحاضر ، و بالتالي التنبؤ هو محاولة من المؤسسة معرفة المستقبل بعيون الماضي و الحاضر .

¹ - Regis Bourbonnais , Jean Claude usurier « Prévision des ventes _ Théorie et pratique » 3 ème édition ECONOMICA, Paris 2000. P 24

²-صلاح الدين كروش " التوقع بالمبيعات باستخدام نماذج احصائية_ دراسة تطبيقية لشركة الامم المتحدة بوزيان " رسالة ماجister . جامعة قسنطينة ، الجزائر . 2007

و هناك من عرف التنبؤ على أنه فن وعلم التوقع بالأحداث المستقبلية، هو فن الخبرة والحدس والتقدير الإداري له دور في التنبؤ و في اختيار الأسلوب الملائم في التنبؤ ، و هو علم لأنه يستخدم الأساليب و العرق الموضوعية الرياضية و الإحصائية في التنبؤ مما يرفع من درجة الدقة و يقلص من التحيز³.

و التنبؤ ليس حساب دقيق للمستقبل بقدر ما هو تقدير مبني على أسس فنية و علمية ، وبالتالي فهو أيضا ليس نوع من التخمين الذي لا يرتبط بنظام مرتب أو مقاييس موضوعية تحديد صورة المستقبل .

و التنبؤ ليس مجرد إجراء مجموعة من الحسابات و التقديرات عن صورة المستقبل بمعزل عن الخبرة ، و إنما هو مزيج متكمال للعلم و الفن و الحكم الشخصي و الخبرة و التجربة .

٤-١-٢- خصائص عملية التنبؤ :

التنبؤ الاقتصادي لكي يكون ذو قيمة علمية و عملية لابد و أن تتميز عملية التنبؤ أو بالأحرى التنبؤ في حد ذاته بمجموعة من الخصائص و التي هي كما يلي⁵ :

- التنبؤ هو عملية مستمرة و مرنة يتم تنفيذه بشكل تدريجي
- التنبؤ يجب أن يكون أسلوب متكمال يبعده الزمني و المكاني و محظوه و إجراءاته.
- التنبؤ أسلوب مستدام أي عدم الانقطاع و عدم التوقف عن عملية التنبؤ.
- التنبؤ أسلوب بيئي يأخذ بعين الاعتبار بعد البيئي للمنظمات و الهياكل.
- التنبؤ أسلوب شامل يشمل جميع قضايا التنظيم.
- التنبؤ أسلوب جماعي أو مجتمعي يسمح بمشاركة الجماعات المستهدفة.

³- خلدة دعوم "أساليب التنبؤ بالمبادرات" رسالة ماجister ، جامعة باتنة ، الجزائر ، 2009 ص 47 .

⁴- Regis Bourbonnais , Jean Claude usurier « Prévision des ventes _Théorie et pratique » 3 ème édition ECONOMICA , Paris 2000 .

⁵- عبد الكريم عطية عبد القادر "الاقتصاد القياسي بين النظرية والتطبيق" الدار الجامعية ، مصر ، 2000

► التنبؤ أسلوب مرحلٍ يتكون من مجموعة من الخطوات المتتابعة و المتسلسلة والمترابطة.

3-1-أشكال التنبؤ و أنظمته :

لكي يكون للمؤسسة نوع من الإلام بالتنبؤ ببعضها أو بالطلب على متوجهها لابد من وضع أنظمة تنبؤية عامة و شاملة في البيئة التي تنشط فيها ، و بذلك نجد التنبؤ يقوم على أساس ثلاث مستويات من التنبؤ و هي على التوالي⁶ :

المستوى الأول: التنبؤ بالمناخ الاقتصادي العام:

على المؤسسة أن تخمن و تقدر أحوال بيئه الاقتصاد الذي تنشط فيه و ذلك لاعتبارات التالية⁷ :

- المناخ الاقتصادي العام هو جو نشاط المؤسسة
- المؤسسة هي المكون الأساسي للاقتصاديات
- الاقتصاد العام يحد المؤسسات توجهاتها الاستراتيجية .

و التنبؤ بالمناخ الاقتصادي العام يختلف بحسب نوع الاقتصاديات ، فالتنبؤ في الاقتصاد الرأسمالي (المنافسة) ليس هو النموذج المبني للتنبؤ في الاقتصاد الاشتراكي (تدخل الدولة).

المستوى الثاني: التنبؤ بالمستوى العام للصناعة⁸:

بعد التخمين الكلي لل الاقتصاد تذهب المؤسسة أو المنشأة إلى التقديرات التنبؤية بالمناخ الصناعي الذي تنشط فيه (فعلى سبيل المثال المؤسسة تنشط في إطار المؤسسات المصغرة ، الصناعات الثقيلة ، صناعات السلع المعمرة ، صناعات السلع ذات الاستهلاك الواسع ...) ، وهنا يختلف التنبؤ من مناخ صناعي إلى آخر ، و يمكن أن تميز العديد من التنبؤات على هذا المستوى منها:

- التنبؤ في مجال الصناعات الحديدية

⁶-Regis Bourbonnais , Jean Claude usurier « Prévision des ventes _ Théorie et pratique » 3 ème édition ECONOMICA, Paris 2000.

⁷- صلاح الدين كروش ، "التوقع بالبيانات باستخدام نماذج احصائية" ، دار الراية للنشر والتوزيع ، الأردن ، 2015 . الطبعة الأولى ص 33

⁸صلاح الدين كروش ، "التوقع بالبيانات باستخدام نماذج احصائية" ، مرجع سابق ص 34

- التنبؤ في مجال الأجهزة الكهرومترالية
- التنبؤ بواسطة الفروع و دمجها
- التنبؤ بالأسواق الجديدة
- التنبؤ بإنشاء شبكة إمدادات متكاملة
- التنبؤ بالسلع ذات الاستهلاك الكبير

المستوى الثالث : التنبؤ السوقى (التنبؤ بمتغيرات المؤسسة) ⁹

و هو المستوى الأخير من مستويات التنبؤ ، حيث بعد معرفة المؤسسة " مناخ الاقتصاد العام " و " المناخ الصناعي الذي تنشط فيه " تذهب إلى إجراء تنبؤ جد محدود و في نفس الوقت جد مهم و هو التنبؤ بحجم العطلب على متوجهها ، حيث يركز هذا النوع من التنبؤ أو المستوى من التنبؤ على :

- نسبة المؤسسة في السوق
- حجم المؤسسة
- نوع المنتوج
- مدة أو فترة التنبؤ
- قوة المنافسة

٤-١-الأهمية العلمية و العملية للتنبؤ الاقتصادي ¹⁰

تعيش المؤسسة الاقتصادية في بيئه تميز بالдинاميكية هذا ما يجعلها تترشد في اتخاذ قرارا تما بعملية التنبؤ ، حيث تبرز أهمية و دور التنبؤ في المؤسسة الاقتصادية من خلال :

- يضمن و إلى حد كبير الكفاءة و الفعالية للمؤسسة مع البيئة الخارجية

⁹- صلاح الدين كروش ، " التوقع بالمتغيرات باستخدام نماذج احصائية " ، مرجع سابق ص 35

¹⁰- Steven C. WHEEL WRIGHT et Spyros MAKRIDAKIS: « Choix et valeur des méthodes de prévision », Collection : INSEAD, Management, 1974. P 296.

- معرفة احتياجات المؤسسة في المدى القصير و المتوسط
- يساهم في الحد من المخاطر التي قد تواجه المؤسسة
- يعطي صورة للمؤسسة عن توجهها المستقبلي
- يساهم و بقدر كبير في اتخاذ القرارات و ترقب آثارها مستقبلاً .

ليس هذا فحسب بل فإن عملية التنبؤ عدا فوائد و اعتبارات منفعية تستند على وضع الافتراضات لإدارة المؤسسة ، حيث أن عملية التنبؤ هي المرشد الرئيسي لسلوك إدارات و أقسام المؤسسات عند تعليلها للمستقبل ، و تحدى الإشارة على أن هناك علاقة جد وطيدة بين التنبؤ و إدارة شبكة الامداد، إذن يمكن القول أن أي مؤسسة ستستخدم التنبؤ من أجل :

- المساعدة في وضع خلطات البيع
- حسن تخصيص الموارد المتاحة
- امكانية تحديد جداول الانتاج
- تحديد حجم المخزون الأمثل
- تحديد حجمقوى العاملة
- تحديد الإمكانيات المطلوبة من المواد و المعدات
- توقع العقبات و الصعوبات التي قد تطرأ
- أداة لتقدير المستقبل
- تحديد نوع الطلب المستند

أما العنصر الأخير و المتمثل في نوع الطلب المستند فيمكن لعمليات التنبؤ مساعدة المنشأة على تحديد نوع طلبها ، و كذلك تمكن عمليات التنبؤ من تصنيف المؤسسات على حسب الطلب على متوجهها ، لأن التنبؤ يمكن أن يكشف عن صور الطلب على منتجات المؤسسات و الذي يمكن أن يكون : طلب سلبي - عدم وجود طلب - طلب كامن - طلب متناقص - طلب غير منتظم - طلب كامل - طلب أكثر من المطلوب - طلب ضار .

١-٥- بناء نموذج تنبؤي إحصائي^{١١}

في هذه المرحلة من البحث سوف نقدم جانب مهم و هو معرفة مراحل بناء نموذج رياضي وقياسي يساعد علىأخذ تنبؤات قريبة من الواقع العملي ، الأمر الذي يجعل عمليات اتخاذ القرار صافية ودقيقة . لذلك سوف نستعرض هنا الخطوات العريضة لبناء نموذج رياضي للتنبؤ عن سلسلة زمنية ما^{١٢} :

١-٥-١- تعيين أو تحديد النموذج:

يقصد بتعيين النموذج إيجاد و صياغة العلاقات الاقتصادية محل البحث و الدراسة في صورة رياضية حيث يمكن قياس معاملاتها باستخدام طرق و مناهج الاقتصاد القياسي و تعلوي هذه المرحلة على عدد من الخطوات أهمها :

تحديد متغيرات النموذج : يمكن للباحث أن يحدد المتغيرات التي يتضمنها النموذج. و لعل أول مصادر تحديد هذه المتغيرات تجد : النظرية الاقتصادية ، و المعلومات المتاحة من الدراسات القياسية السابقة في المجال المراد البحث فيه .

تحديد الشكل الرياضي للنموذج : يقصد بالشكل الرياضي للنموذج ، عدد المعادلات التي يحتوي عليها النموذج ، و درجة خطية النموذج ، و درجة تجانسية معادلة .

و النظرية الاقتصادية كثيراً ما لا توضح الشكل الرياضي الدقيق للنموذج ، و لا شك أن الخطأ في تحديد الشكل الرياضي الملائم للنموذج يترتب عليه أخطاء جسيمة فيما يتعلق بقياس وتفسير الوظيفة محل البحث . لأن النتائج التي سوف يحصل عليها متخذ القرار تعتمد بالأساس على صيغة الشكل الرياضي . و لهذا السبب يلجأ الباحثين إلى تجرب العديد من الصيغ في حالة وجود

^{١١}- وليد إسماعيل السبعو وأخرون، "الاقتصاد التحليلي القياسي بين النظرية والتطبيق" ، دار مهلاوي للنشر والتوزيع، عمان، الأردن، 2003.

^{١٢}- عبد الكريم عطية عبد القادر "الاقتصاد القياسي بين النظرية والتطبيق" مرجع سابق .

علاقة متعددة ثم يختارون الصيغة التي تعطي قيم ونتائج أكثر معقولية من الوجهتين الإقتصادية والإحصائية .

و هناك عدة عوامل يسترشد بها الباحث لتحديد عدد العلاقات و المعادلات التي يحتوي عليها النموذج و من أهم هذه العوامل نجد :

درجة تعقيد الظاهرة : فكلما كانت الظاهرة معقدة و كانت المتغيرات كثيرة و يؤثر بعضها على البعض ، كلما كان من الأفضل استخدام نموذج ذو معادلات متعددة حتى يأخذ هذه التشابكات في الحسبان

الهدف من تقدير النموذج: فهناك بعض العوامل التي يمكن إسقاطها من النموذج نظراً لعدم أهميتها بالنسبة لبعض الأهداف

مدى توافر البيانات : حيث توافر المعلومات و البيانات لبعض المتغيرات على الأخرى يجعلها مؤهلة للدخول في النموذج

و لا شك أن مرحلة التعيين تعتبر من أهم ، و أصعب مراحل القياس ، لذا لا بد من الاهتمام بهذه المرحلة أكبر إهتمام و تدقيق في جميع جوانبها

تحديد التوقعات : يتعين تحديد توقعات نظرية مسبقة عن إشارة و حجم معلمات العلاقة الإقتصادية، و تعتبر التوقعات القبلية أو المسبقة للإشارة و حجم المعلمات هامة بالنسبة لمرحلة ما بعد التقدير ، حيث يتم اختبار المدلول الاقتصادي للمعلمات المقدرة من خلال مقارنتها مع التوقعات القبلية

١-٥-٢-تقدير معلمات النموذج :

يعتمد الباحث على فنون قياسية و خبراته و تجربته. و تعلو مرحلة تقدير معلمات النموذج على ثلاثة خطوات و هي :

تجميع البيانات : في مرحلة أولى يتم الباحث من البحث و الجماع لكل المعلومات و البيانات التي يمكن تقديرها معلومات النموذج فهناك عدة بيانات تمكن لتخذل القرار أو الباحث الاستعانة بما و من بينها تجد :

- بيانات سلسلة زمنية

- بيانات قطاعية

- بيانات تجريبية

حل مشاكل التجميع: في هذه الخطوة يتم الباحث عن المشاكل التي ت تعرض البيانات أثناء التجميع فهناك عدة مشاكل وأخطاء من بينها

- أخطاء التوصيف

- أخطاء الجمع

اختبار طريقة القياس و التقدير : هناك عدة طرق يتم قياس متغيرات العلاقات الاقتصادية من بينها :

- طرق المعادلة الواحدة

- طرق المعادلات الآنية

3-5-1-تقييم و تشخيص و اختبار النموذج :

أي تشخيص و اختبار النموذج القياسي . حيث يوجد هناك عدة معاير اقتصادية و إحصائية وقياسية يتم الاستعانة بها لتقدير تشخيص النموذج

المعايير الاقتصادية : حيث تتحدد المعاير الاقتصادية في تقييم معلومات النموذج من خلال مبادئ و ميكانيزمات النظرية الاقتصادية ، حيث النظرية الاقتصادية تسمح بوضع الظاهر على

الواجهة حيث تسمح بتحديد حجم و إشارة المعلمات ، حيث أن النظرية الاقتصادية تعتمد على منطق معين .

المعايير الإحصائية: تحديداً المعايير الإحصائية إلى اختبار مدى الثقة الإحصائية في التقديرات الخاصة بعلميات النموذج و من أهمها نجد : إحصائية معامل التحديد.

المعايير القياسية : و هي اختبارات الرتبة الثانية ، حيث تحديداً هذه المعايير إلى التأكيد من أن الافتراضات التي تقوم عليها المعايير الإحصائية منطبقة على أرض الواقع . من بين هذه المعايير القياسية نجد :

- معايير الارتباط الذاتي

- معايير التعرف

- معايير ثبات التباين

١٣-٤-٥-١ التنبؤ :

" التنبؤ إجراء من شأنه دراسة ما تم في الماضي و استخدامه في محاولة للتوصل على ما قد يحدث في المستقبل " و التنبؤ هو : " الخلوة الأولى عند البدئ بالتحطيط " ¹⁴ . التنبؤ شيء مهم في عملية التخطيط و اتخاذ القرار ، لذا يتطلب اختبار مدى مقدرة النموذج القياسي على التنبؤ قبل استخدامه ، و لكن لا يكون صالحاً للتنبؤ ¹⁵ . و لاختيار مقدرة النموذج على التنبؤ لا بد من اختبار مدى استقرار المعلمات المقدرة عبر الزمن ، و اختبار مدى حساسية هذه التقديرات للتغير في حجم العينة .

¹³ - Regis Bourbonnais , Jean Claude usurier « Prévision des ventes _ Théorie et pratique » 3 ème édition ECONOMICA , Paris 2000.

¹⁴ - عبد الكrim عطية عبد القادر " الاقتصاد القياسي بين النظرية والتطبيق " مرجع سابق .

¹⁵ - صلاح الدين كوش ، " التوقع بالمعيارات باستخدام نماذج احصائية " ، مرجع سابق ص 21 و ص 22 و ص 23

1-6-أساليب وطرق التنبؤ¹⁶

1-6-1-النماذج التحليلية البسيطة¹⁷

تعتبر هذه النماذج شائعة الاستعمال لسهولتها من الناحية الكمية والإحصائية، وإن كانت تحتاج إلى خبرة شخصية من المتنبئ. وتنحصر هذه الطرق في محاولة لتفهم وتتبع العناصر والعوامل الرئيسية التي تؤثر في موضوع التنبؤ.

1-6-1-1-حصر العوامل المؤثرة¹⁸: تحاول هذه العوامل التوصل إلى التنبؤ عن طريق التحليل الوصفي للعوامل المختلفة المؤثرة في موضوع التنبؤ ، ومحاولة التوصل إلى ما إذا كان تأثيرها سيكون في صالح أو في غير صالح المبيعات أو الطلب أو الخ.

1-6-1-2-المقارنة التاريخية¹⁹: تعتمد هذه الطريقة على أنه باستقراء البيانات السابقة نستطيع التحليل الدقيق ، وأن نصل إلى الغرر أو العوامل الموحدة التي تتكرر باستمرار .

1-6-1-3-علاقات المقدمات والعلالي : تقوم هذه الطريقة على أساس افتراض قيام علاقات معينة بين المتغيرات المختلفة ، وتحاول التوصل إلى فارق زمني معين بين هذه المتغيرات ، ومن ثم يبني التنبؤ على هذا الأساس .

1-6-1-4-طريقة التخمين²⁰: تعكس هذه الطريقة التقديرات التي يشعر بها رجال البيع نحو السوق ، ويتوقف بناجها على مدى كفاءة رجال البيع وفهمهم لأهداف المنظمة .

¹⁶- بري عدنان " طرق التنبؤ الإحصائي " جامعة الملك سعود ، السعودية ، 2002.

¹⁷- Guy Mélard : « Méthodes de prévisions à court terme » Ellipses, Bruxelles 1990.

¹⁸- بلمقدم مصطفى و بن عاتق عمر " التنبؤ بالمبيعات و عملية شبكة الامداد محاولة للمقدمة " الملتقي الدولي حول الأساليب الكمية و دورها في اتخاذ القرارات الادارية ، جامعة سككيكدة ، الجزائر ، 27_28 جانفي 2009 .

¹⁹- صلاح الدين كروش ، " التوقع بالمبيعات باستخدام نماذج إحصائية " ، مرجع سابق

²⁰- بن أحمد محمد " دراسة تخطيطية و تنبؤية لمبيعات الوقود للشركة الوطنية لتسويق و توزيع المواد البترولية " رسالة ماجister ، المدرسة العليا للتجارة ، الجزائر ، 2005 .

1-6-1-5-تحليل المستخدم النهائي : يتطلب هذه الطريقة تحديد عملاء الشركة بصورة واضحة على هيئة صناعات أو جماعات محددة ، فإذا كانت مبيعات الشركة موجهة لعملاء محددين ، أصبح من السهل احتساب نصيب الشركة من السوق . وبالتالي فإنه إذا كان من الممكن تكوين تنبؤ سليم عن السوق .

1-6-1-6-طريقة متوسط استهلاك الفرد : ²¹ يتطلب هذا الأسلوب حصر بيانات الاستهلاك الفعلي في السنة أو الفترة الماخذية ، والحصول على تقديرات السكان المناهضة لحساب متوسط استهلاك الفرد .

1-6-1-7-أسلوب مرؤونات الطلب السعرية والداخلية : يقصد بمرؤنة العلب السعرية نسبة التغير في الطلب بالمقارنة بنسبة التغير في السعر ، كما يقصد بمرؤنة الطلب الداخلية نسبة تغير الطلب بالمقارنة بنسبة التغير في الدخل . وكلما زاد معامل المرؤنة عن الواحد الصحيح، كلما كان الطلب غير مرن أو قليل المرؤنة .

1-6-1-8-أسلوب المقارنات الدولية : ²² يعتمد هذا الأسلوب على استخدام بيانات الدول المتتشابهة في حالة عدم وجود بيانات عن الدولة محل الدراسة، واتخاذ هذه البيانات كأساس لتقدير الطلب في المستقبل.

1-6-1-9-المسح العام : ²³ تسمى هذه الطريقة باستقصاءات السوق ، وتعتمد على إرسال قوائم استقصاء إلى عينة من العملاء الحاليين والمرتقبين ، أو رجال البيع في السوق . وبتحليل العينات الإحصائية يتم تحديد المدى المتوقع للمبيعات المرتقبة .

²¹- كريم زمامن " دراسة محلية و تجربة معدلات الحسارة في شركات التأمين _ دراسة حالة الشركة الجزائرية للتأمين بقسنطينة " أطروحة دكتوراه ، جامعة بسكرة ، الجزائر ، 2015 . ص 55

²²-Guy Mélard : « Méthodes de prévisions à court terme ». Ellipses, Bruxelles 1990.

²³-Regis Bourbonnais , Jean Claude usurier « Prévision des ventes _Théorie et pratique » 3 ème édition ECONOMICA, Paris 2000. P75

1-6-2- طرق النماذج الكمية : ²⁴ تنقسم هذه الفرع إلى المجموعتين التاليتين :

1-6-2-1- تحليل السلسلة الزمنية : ²⁵ و يطلق تعبير السلسلة الزمنية على تحليل التغير في سلسلة بيانات معينة خلال فترة من الزمن ، ويلاحظ أنه عند نقطة معينة من الزمن تتأثر السلسلة بأربعة عوامل رئيسة ، هي : الاتجاه العام ، التغيرات الدورية ، التغيرات الموسمية ، التغيرات غير المنتظمة (العشوائية) .

1-6-2-2- معادلات الارتباط الخطى : ²⁶ يعتمد تحليل الارتباط على قياس العلاقة بين متغيرين أو أكثر ، ويقوم التحليل هنا على أساس وجود متغير تابع وآخر متبع .

7-1- مدى التنبؤ : ²⁷

1-7-1- المدى القصير جدا :

يهتم هذا المدى بمختلف النشاطات الضرورية لسير مؤسسة ما بمحاذيف تحسين أدائها ، عن طريق إدخال تغيرات طفيفة بدلاً من محاولة معرفة اختلاف واضطراب الإحداث المستقبلية ويعود التنبؤ في هذا المجال سهل وبسيط ، نظراً لتوفر كل المعطيات الازمة وسبب العدد الكبير لعمليات التنبؤ التي تجري خلال السنة .

1-7-2- المدى القصير :

يهتم هذا المدى بوضع برامج انتظاماً من عمليات شهرية أو فصلية للتنبؤ بطلب عن سلعة ما أو سعر منتج معين ... الخ . كما يهتم القوانين أو المركبات التي تحكم سلسلة المعطيات ، مثل المركبة

²⁴ -Sandrine Lardic, Valérie Mignon : « Économétrie des séries temporelles macroéconomiques et financières ». ECONOMICA, Paris 2002.

²⁵ - Michel Terraza , Régis Bourbonnais , "Analyse des séries temporelles , application à l'économie et à la gestion " 2 em édition , Dunod , paris

²⁶- مراس محمد " التحليل القياسي للطلب و العرض على خدمات قطاع النقل في الجزائر باستخدام نماذج الانحدار الخطية و غير الخطية " مجلة دراسات في الاقتصاد و التجارة و المالية . جامعة الجزائر 3 ، الجلد الرابع ، العدد 02 . ص 10 و ص 11

²⁷- ألمت فتحي سالم أبو عابد " استخدام الطرق الاحصائية في التنبؤ بأسعار الذهب العالمية " ، رسالة ماجister ، جامعة الأزهر (2015) .

الفصلية والمركبة الاتجاه العام وفي حالة توفر معطيات على شكل سلسلة زمنية فان التنبؤ القصير يعد أكثر تلاؤم .

3-7-1-المدى المتوسط :

في هذا المدى يهتم المختصون بالتنبؤ بقيمة الموارد المخصصة لمختلف النشاطات الاقتصادية بالتعاون مع مصلحة تحضير الميزانيات على أساس معلومات سنوية ، كما أنه يعطي أهمية كبيرة لكل من المركبة الدورية ومركبة الاتجاه العام بالمقابل يهمل تماماً المركبة الفصلية .

3-7-2-المدى الطويل :

في هذا المدى يستعمل التنبؤ في الميادين الإستراتيجية والاجتماعية بهدف تحديد مستوى تحويل واستعمال رؤوس أموال ومعرفة الطرق المثالية التي تسمح بتحقيق الأهداف بالاعتماد على العوامل والمتغيرات التي تلعب دوراً فعالاً في عملية اتخاذ القرار، وتحتل مركبة الاتجاه العام مكانة هامة في عملية التنبؤ على المدى الطويل حيث تسمح بمعرفة تطورات ظاهرة ما عبر الزمن .

8-1- خطاء التنبؤ²⁸ :

خطأ التنبؤ يتحدد كفرق عددي بين الحصيلة المتوقعة (التنبؤ) والمحصيلة الفعلية أي أن :

$$\text{خطأ التنبؤ} = \text{القيم المتتبأ بها} - \text{القيم الفعلية}.$$

إن التنبؤ الأفضل هو الذي يكون الخطأ فيه مساوياً للصفر أو قريباً من ذلك والعكس صحيح. ويمثل قياس فاعلية التنبؤ خطوة مهمة في تقييم أسلوب التنبؤ، وهناك مقاييس عديدة يمكن استخدامها لهذا الغرض وإن كان لكل مأخذاته ومزایاه في الحالات المختلفة.

²⁸- Lardic S et Mignon , "économie des séries temporelles macroéconomique ", Economica , 2000

١-٨-١- متوسط الخطأ (Mean Error) ^{٢٩}:

وهو مقياس التحيز و يعتبر أحد مقاييس الدقة في التنبؤات، ويتم احتساب هذا المقياس وفق الصيغة الآتية:

$$ME = \sum(Y - F) / n$$

حيث

F = القيم المتباينة

Y = القيم الفعلية

n = عدد الفترات

وكلما اقترب متوسط الخطأ من الصفر كان التنبؤ أكثر دقة لأن هذا يعني أن التنبؤ كان متطابقاً مع الطلب الفعلي أو قريباً من ذلك، إلا أن ثمة مشاكل تواجه هذا المقياس وتقلل من أهميته في الاستخدام ومنها أن أخطاء التنبؤ الموجبة تلغى أخطاء التنبؤ السالبة في المجموع مما يخفى أخطاء التنبؤ.

١-٨-٢- متوسط مربع الخطأ (Mean Squared Error) ^{٣٠}:

وهذا المقياس يتجاوز أثر الإزالة في المقياس السابق لهذا فإنه يستخدم على نطاق واسع ويحسب كالتالي:

$$MSE = \sum(Y - F)^2 / n$$

^{٢٩}- أمل علي خافل "استخدام مخازن يوكس جنكر ARIMA في التنبؤ بإنتاج الطاقة الكهربائية" مجلة جامعة كربلاء العلمية ، المجلد 12 ، العدد 02، 2013 . ص 17

^{٣٠}- أمل علي خافل "استخدام مخازن يوكس جنكر ARIMA في التنبؤ بإنتاج الطاقة الكهربائية" مرجع سابق

٣-٨-٣-متوسط الانحرافات المطلقة (Mean Absolute Deviation) ^{٣١}:

وهو من المقاييس الواسعة الانتشار، فبدلاً من استخدام تربع الخطأ أو الانحراف (التبؤ-القيم الفعلية) لتجاوز إزالة القيم الموجبة للقيم السابقة في أخطاء التبؤ، يتم استخدام القيمة المطلقة للخطأ ويرمز له $| \text{الخطأ} |$ أو $| \text{التبؤ} - \text{القيم الفعلية} |$ وبهذه الطريقة تحول القيمة السالبة للخطأ إلى قيمة موجبة، وينسب هذا المقاييس:

$$\text{MAD} = \sum | Y - F | / n$$

^{٣١}- أمل علي عاafل "استخدام مذاج بوكس جنكتر ARIMA في التنبؤ بإنتاج الطاقة الكهربائية" مرجع سابق

2- السلاسل الزمنية :

تعتبر دراسة السلاسل الزمنية جانب مهم في النظرية الاقتصادية، فهي بمثابة نظام معلوماتي، حيث أنها تبسط الغلوادر الاقتصادية في شكل بيانات زمنية متسلسلة حسب حدوثها ، و هنا سوف نتطرق إلى بعض خصوصيات السلاسل الزمنية :

1-2- تعريف و مؤشرات السلاسل الزمنية :

السلسلة الزمنية هي عبارة عن قيم ظاهرة ما في سلسلة تواريخ متلاحقة ، و المدف من وراء تحليل السلسلة الزمنية هو دراسة التغيرات التي قد تكون طرأت على الظاهرة و تحليل أسبابها و نتائجها، استعمالها للتنبؤ اعتمادا على فكرة امتداد الحاضر للماضي و المستقبل يبع الحاضر و تحتوي السلسلة الزمنية على متغيرين أحدهما هو الزمن و الآخر هو قيمة الظاهرة³²

2-1-2- تعريف السلسلة الزمنية³³ :

لقد تعددت تعارف و مفاهيم السلسلة الزمنية و ذلك بتنوع و إخلاف التوجهات والتخصصات لكنها تصب في مضمون واحد فمن بين التعريفات التي قدمت في هذا المجال نجد :

تعرف السلسلة الزمنية على أنها : " مجموعة من القيممؤشر إحصائي معين مرتبة حسب تسلسل زمني ...، مثلية تاريخيا يوم أو شهر أو سنة أو أية وحدة زمنية ، فهي بذلك عبارة عن سجل تاريخي متالي يتم إعداده لبناء التوقعات المستقبلية"³⁴

و تعرف أيضا على أنها " عبارة عن مجموعة من القيم المتتالية منتظمة خلال فترة زمنية معينة، وهذه المشاهدات يتم تسجيلها خلال الفترة حسب فترات متتالية و عادة ما تكون هذه الفترات الزمنية متساوية من حيث العلو"³⁵

³²- صلاح الدين كروش ، "التوقع بالبيانات باستخدام نماذج احصائية" ، مرجع سابق ص 47

³³- فاندار والقر " السلاسل الزمنية من الوجهة التطبيقية و نماذج يوكس جنكتز " ترجم عبد المرضي حامد غرام ، دار المريخ للنشر ، الرياض ، المملكة العربية السعودية .

³⁴- تاهدة سعيد حسين زعرب " تحليل حجم تداول الأسهم في قطاع البورصة الوطنية المدرجة في بورصة فلسطين باستخدام نموذج السلاسل الزمنية " رسالة ماجister ، الجامعة الإسلامية بغزة ، 2012

³⁵- جبار محمد" التنبؤ بالسلاسل الزمنية لمソوب التيل الازرق في محطة دمدمي باستخدام نماذج يوكس جنكتز ونماذج الشبكات العصبية الاصطناعية " أطروحة دكتوراه في الإحصاء ، جامعة السودان ، للعلوم والتكنولوجيا

ويمكن تقسيم بيانات السلسل الرمزية إلى قسمين :

✓ البيانات الرمزية اللحظية: تحدث كل لحظة زمنية معينة

✓ البيانات الرمزية المخالية : و هي مجاميع لظاهرة خلال فترة زمنية معينة

٣٦-٢-١-٢-أهداف تحليل السلسل الرمزية

الغرض الأساسي من تحليل السلسل الرمزية هو الوصول إلى نموذج أو طريقة مناسبة لتقدير أو قياس التغيرات و بالتالي دراسة علاقتها بالظروف المختلفة .

إن السلسل الرمزية تسمح بتحديد الوضع الإحصائي لظاهرة ما، مع تقليل التقلبات الغير المرغوب فيها، و هذا ما يمكننا من التحليل الاقتصادي.

إذن يمكن إجمال بعض النقاط الأساسية لأهداف تحليل السلسل الرمزية كما يلي:

▪ إعداد التوقعات

▪ تحديد الوضع الإحصائي لمشروع ما

▪ حل مشاكل المراقبة و التنفيذ

▪ التقليل من التقلبات الغير مرغوب فيها

▪ التحليل الاقتصادي

و للإشارة فإنه من العناصر الأساسية لتحليل السلسل الرمزية نذكر :³⁷

▪ أن تكون مستويات فترات السلسلة الرمزية متساوية

▪ أن تكون جميع مستويات السلسلة خاصة بمكان معين

▪ أن تكون وحدة القياس لجميع مستويات السلسلة الرمزية موحدة

▪ أن تكون طريقة منهجية في قياس جميع مستويات السلسلة

³⁶-بن قسمى طارق " استخدام نماذج السلسل الرمزية لمبيعات الطاقة الكهربائية _ دراسة حالة الشركة الوطنية للكهرباء و الغاز " ، رسالة ماجستير ، جامعة سكرة ، الجزائر ، 2014 .

³⁷- خالد محمد السواعي " Eviews و القياس الاقتصادي " ، دائرة الملكية الوطنية ، الأردن ، 2011 . الطبعة الأولى . ص 28

2-1-3- أشكال السلسل الرمزية³⁸

إن السلسل الرمزية تأخذ أشكالاً عديدة لأن في نماذج السلسل الرمزية قيم السلسلة دالة في مجموع مكوناتها و ذلك من خلال³⁹ :

$$y_t = f(T, S, C, \varepsilon)$$

حيث : t : تمثل الاتجاه العام

S : الموسمية

C : الدورية

ε : العشوائية

حيث أن تشكل السلسلة يظهر ككيفية تفاعل مكوناتها فيما بينها . و يمكن إيجاد ثلاثة أشكال رئيسية في كتابة مركبات السلسلة الرمزية

النموذج التجميعي : أي أن قيم الظاهرة هي عبارة عن مجموع مكوناتها الأربع . حيث هذا النموذج يفترض أن هذه المكونات لا تتأثر ولا تتفاعل فيما بينها ، فقييم الظاهرة الموسمية ليس له علاقة بقييم الظاهرة العشوائية و هكذا⁴⁰

و يمكن صياغة النموذج التجميعي كما يلي :

$$y = T_t + S_t + C_t + \varepsilon_t$$

النموذج الجدائي : أي أن قيم الظاهرة هي عبارة عن جداء مكوناتها ، حيث أن النموذج الجدائي يفترض أن مكونات السلسلة الرمزية تعتمد على بعضها البعض⁴¹ .

و يمكن صياغة النموذج الجدائي كما يلي :

$$y = T_t * S_t * C_t * \varepsilon_t$$

³⁸- محمد شيخي " طرق الاقتصاد القياسي : محاضرات و تطبيقات " الطبعة الأولى ، دار حامد للنشر و التوزيع . الأردن ، 2012 .

³⁹- عبد الله عبد الله " تحيل السلسلة الرمزية اللاخطية من نوع ARCH-GARCH لترتيب الدنيا باستخدام احتماكاً " أطروحة دكتوراه ، جامعة بغداد ، العراق (2008). ص 39 و ص 40

⁴⁰- تومي صالح " مدخل لنظرية القياس الاقتصادي " الجزء الأول ، ديوان المطبوعات الجامعية ، 1999 ص 56_ص 59

⁴¹- تومي صالح ، نفس المرجع أعلاه

النموذج المختلط : أي أن قيم الظاهرة بعضها يأخذ الشكل التجمعي و البعض الآخر يأخذ الشكل الجدائي أي أن مكونات السلسلة الزمنية في نفس الظاهرة تجدها منها ما يعتمد على بعضها البعض و منها ما لا يعتمد على بعضها البعض و يمكن إيجاد الأشكال التالية للنماذج المختلطة كما يلي⁴² :

$$\begin{aligned}y &= T + (S.C.\varepsilon) \\y &= T + S + (C.\varepsilon) \\y &= (T + S) + C.\varepsilon \\y &= (T + S) + C.\varepsilon \\y &= (T + S + C) + \varepsilon\end{aligned}$$

2-1-2 مؤشرات السلسلة الزمنية :

هناك عدة مؤشرات إحصائية لها علاقة بالسلسلة الزمنية ، حيث يمكن التمييز بين المؤشرات الأساسية للسلسلة الزمنية و المؤشرات الوسيعية و التي سوف نذكرها فيما يلي :

2-1-1-المؤشرات الأساسية للسلسلة الزمنية: ⁴³ وهي مجموعة من المؤشرات تقيس سرعة التغير في الظاهرة المدروسة خلال فترة زمنية معينة . و لحساب هذا النوع من المؤشرات تعتمد على مبدأ المقارنة فيما بين مستويات السلسلة الزمنية فمن بين المؤشرات الأساسية للسلسلة الزمنية تجد⁴⁴ :

التغير المطلق: بين مقدار الزيادة أو النقصان في مستوى الظاهرة مقارنة بفترة الأساس . فالتغير المطلق هو عبارة عن الفرق بين مستوى الظاهرة في فترة المقارنة y_i و مستوى الظاهرة في فترة الأساس y_{i-t} أي:

$$\Delta = y_i - y_{i-t}$$

⁴²- تومي صالح ، نفس المرجع أعلاه

⁴³- Lardic S et Mignon , "economie des séries temporelles macroéconomique " , Economica , 2000

⁴⁴- سعيد دهيات " دراسة اقتصادية و قياسية لظاهرة التضخم في الجزائر " رسالة ماجister ، جامعة ورقلة ، الجزائر ، 2005

فإذا كانت :

$\Delta > 0$: الظاهرة تتميز بالتزاي드 المطلق

$\Delta < 0$: الظاهرة تتميز بالتناقص المطلق

$\Delta = 0$: الظاهرة تتميز بالثبات المطلق

معدل النمو: يبين المقدار الذي يزيد أو يقل به مستوى الظاهرة في فترة المقارنة بمستواها في فترة

الأساس معبرا عنه بسبة مؤوية كما يلي:

$$T = \frac{y_i}{Y_{i-t}} \times 100$$

فإذا كان :

$T > 0$: هناك زيادة في الظاهرة

$T < 0$: هناك نقصان في الظاهرة

معدل الزيادة : يعبر عن المقدار النسبي للزيادة مقارنة بسبة الأساس ، حيث يحسب كما يلي :

$$TC = \frac{\Delta}{y_{i-t}} = \frac{y_i - y_{i-t}}{y_{i-t}} = \frac{y_i}{y_{i-t}} - 1 = T - 1$$

فهو عبارة عن معدل النمو المعروض منه (1) واحد

4-1-2-المؤشرات الوسيطية للسلسلة الزمنية : إن الزمن لا يؤثر على مستويات

السلسلة الزمنية فقط بل يؤثر على مقاييس ديناميكياً لذاك يستخدم المؤشرات الوسيطية

للسلاسل الزمنية و التي نذكر منها ما يلي :

متوسط السلسلة الزمنية : هو عبارة عن مجموع عدد مستويات السلسلة الزمنية مقسوم على

عدد هذه المستويات أو المشاهدات و يكتب متوسط السلسلة الزمنية كما يلي :

$$\bar{y} = \frac{\sum_{i=1}^n y_i}{n}$$

متوسط الزيادة المطلقة : و هو مؤشر يبين مقدار الوحدات التي زاد بها أو نقص مستوي معين

للسلاسل . يكتب هذا المؤشر كما يلي :

$$\bar{\Delta} = \frac{\sum_{t=1}^{n-1} \Delta_t}{n-1} = \frac{y_n - y_1}{n-1}$$

معدل النمو الوسيطي: يبين المقدار النسبي المتوسط الذي زاد أو نقص به مستوى الظاهرة مقارنة بالمستوى السابق في المتوسط خلال وحدة زمنية معينة و يكتب هذا المؤشر كما يلى :

$$\bar{T} = \frac{\sum_{n=1}^{N-1} T_n}{N-1}$$

و يمكن كتابة بالوسط الهندسي كما يلي :

معدل الزيادة الوسيطى: يعبر عن المقدار النسبي المتوسط للزيادة أو النقصان مقارنة بالمستوى السابق في المتوسط خلال وحدة زمنية معينة معيونة ، ويحسب هذا المؤشر بطرح 100 من معدل النمو الوسيطى كما يلى :

$$\bar{Tc} = Tc - 100$$

2-1-5- مركبات السلسلة الزمنية و طرق الكشف عنها

نقصد بمركبات السلسلة الزمنية العناصر المكونة للسلسلة الزمنية . حيث معرفة مركبات السلسلة الزمنية يسمح لها بتحديد سلوك الغلاهرة كما يساعد في تحليل و دراسة الغلاهرة

يتكون الشكل النظري للسلسلة الزمنية من مركبة الاتجاه العام و المركبة الفصلية و المركبة العشوائية وأحياناً تظهر مركبة الدورات الاقتصادية ويمكن كتابة السلسلة الزمنية على الشكل

$$X_t = \sum_{i=1}^k Z_t^i b_i + \sum_{j=1}^l S_t^j C_j + U_t \quad :^{46} \text{الباقي}$$

$$E(U_t) = 0 \quad \text{حيث أن :}$$

⁴⁵ - مولود حشمان، "مخالج وتقنيات التبيء القصيم المدى"، ديوان المطبوعات الجامعية، الجزائر، 1998 ص 13 - 15

⁴⁵ - Michel Terraza , Régis Bourbonnais , "Analyse des séries temporelles , application à l'économie et à la gestion " 2^e édition , Dunod , paris

$$V(U_t) = \delta^2$$

$$COV(U_t, U_{t'}) = 0 \quad \forall t \neq t'$$

حيث أن : $C_i b_i$ معاملات تقدر بالعلاقة الآتية :

$$\begin{bmatrix} \hat{b} \\ \hat{C} \end{bmatrix} = \begin{bmatrix} Z'Z & Z'S \\ S'Z & S'S \end{bmatrix}^{-1} \begin{bmatrix} Z'X \\ S'X \end{bmatrix}$$

بعد إجراء عملية النشر نحصل على :

$$\hat{b} = [Z'Z - Z'S(S'S)^{-1} - S'Z]^{-1} [Z'X - ZX(S'S)^{-1} S'X]$$

$$\hat{C} = [S'S - S'Z(Z'Z)^{-1} - Z'S]^{-1} [S'X - SX(Z'Z)^{-1} ZX]$$

مركبة الاتجاه العام :

و هو العنصر الذي نقصد به الحركة المتغيرة للسلسلة عبر فترة زمنية طويلة نسبيا . فهو من بين أهم العناصر المكونة للسلسلة الزمنية، فهو يعبر في بعض الأحيان كعنصر وحيد في بناء التوقعات المستقبلية. لأنه يعبر عن النمو الطبيعي للظاهر حيث تكتب سلسلة الاتجاه العام⁴⁷ :

$$y_t = a_0 + a_1 T$$

حيث T : تمثل الاتجاه العام

المركبة الموسمية :

و هي التغيرات و التذبذبات الفصلية الناجمة عن التغيرات في الفصول ، إذن المركبة الموسمية هي التي تحدث بانتظام في وحدات زمنية متعددة و التي تنجم من تأثير عوامل خارجية أو هي تقلبات تتكرر على نفس الوتيرة كل سنة أو كل شهر أو ... حيث يرمز لها بالرمز S ، و تكتب السلسلة الموسمية كما يلي :

$$y_t = a_0 + a_1 S_t \quad \text{الموسمية كما يلي :}$$

حيث : S_t : تمثل الفصلية أو الموسمية .

⁴⁷ - مولود حشمان، "نماذج وتقنيات التنبؤ القصير المدى"، مرجع سابق

و نقصد هنا بالموسمية ليس الفصول فقط وإنما كل الفترات المتعاقبة و المتساوية مثل : كل شهر ، كل أسبوع ،.....

المركبة الدورية :

هي التغيرات التي تطرأ على قيم السلسلة الزمنية بصورة زمنية متتغيرة أو غير منتظمة و يزيد أمدها عن السنة . حيث تعكس هذه المركبة في السلسل الرمزية الطويلة الأجل . و التي تبرز أثر انتقال الأحوال الاقتصادية . حيث تتناسب هذه المركبة مع مراحل الدورة الاقتصادية (ركودا و انتعاش ، رواج و كساد) . و يرمز إلى هذه المركبة بالرمز : C و تكتب السلسلة للمركبة الدورية كما يلي :

$$y_t = a_0 + a_1 C_t$$

المركبة العشوائية :

هي تلك التذبذبات و التحركات الغير منتظمة و المفاجئة في السلسلة الزمنية ، و يمكن تعريفها أيضا على أنها تلك التغيرات الشاذة التي تنجم عن ظروف طارئة لا يمكن التنبؤ بوقوعها أو تحديد نطاق تأثيرها . حيث تنشأ عن عوامل عشوائية و أسباب عارضة لم تكن في الحسبان مثل : الزلزال ، إضرابات العمال ، الحروب

حيث يمكن تمثيل المركبة العشوائية في الصيغة التالية :
 $y_t = a_0 + a_1 \varepsilon_t$

حيث ε_t : تمثل المركبة العشوائية .

2-5-2- طرق الكشف عن مركبات السلسلة الزمنية :

هناك عدة طرق للكشف عن مركبات السلسلة الزمنية ، حيث يمكن الاعتماد على الطريقة البيانية ، كما يمكن الاعتماد على الاختبارات الإحصائية :

⁴⁸ الطريقة البيانية :

حيث استعمال هذه الطريقة يتطلب دقة كبيرة في عرض بيانات السلسلة الزمنية . فمن خلال الرسم البياني ليتم الفاهمة يمكن من خلال الملاحظة معرفة ما هي مركبات أو مكونات السلسلة الزمنية . حيث يتمثل الاتجاه العام في تلك المركبة التي تدفع بالمنحنى نحو الزيادة إذا كان الميل موجب ، أو إلى الأسفل إذا كان الميل سالبا ، بينما تتعكس المركبة الدورية في الشكل الذي يتميز بالقيم على المدى البعيد ، بينما الفصلية فهي تمثل في الانخفاضات أو الارتفاعات المتقطمة في الشكل البياني ، أما المركبة العشوائية فتتمثل في عدم ترك أثر للمركبات المنتظمة.

الطرق الإحصائية : في كثير من الحالات ، لا يكون الاختبار البياني كافيا لوحده للكشف عن مركبات السلسلة الزمنية – مما يستلزم استعمال أدوات إحصائية للكشف عن هذه المركبات

أ. طرق الكشف عن مركبة الاتجاه العام : هناك عدة اختبارات للكشف عن مركبة الاتجاه العام

من بينها⁴⁹ :

اختبار الفروقات : يعتمد على إشارة الفروقات من الدرجة الأولى للسلسلة $\Delta x_t = x_t - x_{t-1}$ ، كما يفترض هذا الاختبار التوزيع العشوائي للمعطيات⁵⁰ . حيث شكل الاختبار يأخذ :

H_0 : السلسلة عشوائية

H_1 : اتجاه عام

إن مبدأ الاختبار يرتكز على حساب الإحصائية S التي تخضع للتوزيع الطبيعي و تستعمل لما

$$n \geq 30$$

$$S \rightarrow N(E(S), Var(S))$$

$$(Z) = \frac{S - E(S)}{V(s)}$$

⁴⁸- أبو صالح محمد صبحي "طرق الإحصائية" عمان ، دار الجازوري للنشر ، الطبعة الأولى، 2000

⁴⁹ - Michel Terraza , Regis Bourbonnais , 'Analyse des series temporelles , application à l'économie et à la gestion ' 2 em édition , Dunod , paris

⁵⁰- مولود حشمان، "نماذج وتقنيات التحليل القصير المدى"، مرجع سابق

حيث أن :

$$v(s) = \frac{\eta}{4} \quad \text{و} \quad E(s) = \frac{\eta}{2}$$

نفرض الفرضية العدمية : H_0 إذا كانت (Z) المحسوبة أكبر من $Z_{\frac{\eta}{2}}$ الحدوائية أي ما يكون $Z > Z_{\frac{\eta}{2}}$ أي يوجد اتجاه عام في السلسلة.

اختبار دانيال (معامل سيرمان) ٥١ :

يندرج هذا السياق ضمن الاختبارات الحرة (TNP) ويتبع معامل الارتباط لسييرمان حيث يمثل هذا المعامل الارتباط الخطي ما بين الترتيبين ، الترتيب الزمني (t) والترتيب التصاعدي (R_t) والارتباط بينهما يعطي العلاقة التالية ^{٥٢} :

$$r_s = \frac{COV(R_t, t)}{\sqrt{V(R_t)V(t)}}$$

حيث : $V(R_t) = V(t) = \frac{n^2 - 1}{12}$ و n : عدد المشاهدات .

عندما تكون لدينا سلسلة غير مكررة المشاهدات معامل الارتباط النظري يعرف كما يلي :

$$r_s = \frac{\sum_{t=1}^n (R_t - \bar{R})(t - \bar{t})}{\sum_{t=1}^n (t - \bar{t})^2}$$

ومنه فالشكل النهائي للمعامل سيرمان هو :

$$r_s = 1 - \frac{6 \sum d_t}{n(n^2 - 1)}$$

حيث : n : عدد المشاهدات . $d_t = (R_t - t)$

ويكون معامل الارتباط (r_s) محددا بال مجال $-1 \leq r_s \leq +1$

^{٥١} - Sami Khedhiri , 'Cours D'économétrie : méthodes et application' , Learn Science publication , Paris , 2007

^{٥٢} - مولود جسمان، "نماذج وتقنيات التحليل القصير المدى" ، مرجع سابق ص 27

فرضية الاختبار هي :

H_0 : وجود مركبة الاتجاه العام

H_1 : عدم وجود مركبة الاتجاه العام " السلسلة عشوائية " .

بعد حساب معامل الارتباط (r_i) نقبل أو نرفض الفرضية H_0 .

في حالة حجم العينة (n ≤ 30) تكون الفرضية H_0 مقبولة إذا كانت $|r_i| > \frac{\alpha}{2}$

وبالتالي توجد مركبة الاتجاه العام للسلسلة .

في حالة حجم العينة (n ≥ 30) ، يخضع (r_i) لتوزيع طبيعي.

$$V(r_i) = \frac{1}{\sqrt{n-1}} \quad E(r_i) = 0$$

$$Z = \frac{r_i - E(r_i)}{\sqrt{V(r_i)}} \xrightarrow{\text{مدى}} N(0,1)$$

وبتعويض قيمة (E(r_i) و (V(r_i)) يصبح لدينا : $Z = (r_i)\sqrt{n-1}$ n : عدد المشاهدات .

إذا كان ($Z_{\frac{\alpha}{2}}$) نقبل الفرضية H_0 أي وجود مركبة الاتجاه العام .

بـ طرق الكشف عن مركبة الفصلية :

إن الفصلية قد لا تظهر بشكل واضح في الاختبارات البيانية لذلك نلجأ إلى الاختبارات الإحصائية ، و التي نجد أن هذه الاختبارات تحد اختبار كريسكال واليس Kruskall-wallis والذي نقدمه فيما يلي :

اختبار Kruskall-wallis : يعتمد هذا الاختبار على إحصائية كريسكال واليس و الذي يرمز

له بالرمز K_w ، حيث تعطى هذه الإحصائية بالعلاقة التالية⁵³ :

⁵³ - مولود حشمان، "نماذج وتقنيات التحليل القصير المدى"، مرجع سابق ص 32

$$Kw = \frac{12}{n(n+1)} \sum \frac{r_j^2}{m_i} - 3(n+1)$$

حيث أن إحصائية Kw تعتمد على توزيع كاي مربع بدرجة حرية $(P-1)$

حيث أن :

R_j : مجموع رتب الفصل J

m_i : عدد القيم المشاهدة المقابلة للفصل J

ج. طرق الكشف عن المركبة العشوائية :

للكشف عن مركبة العشوائية هناك عدة اختبارات إحصائية سوف نذكر منها اختبارين مهمين

وهما :

اختبار التوالى ٥٤:

و الذي يطلق عليه اختبار تعقب الإشارات. يصلح هذا الاختبار لكشف مدى عشوائية السلسلة الزمنية . لهذا يدعى في أغلب الأحيان باختبار العشوائية . و هو يستعمل في التحقق من وجود مركبة الاتجاه العام في السلسلة الزمنية ، يعاب على هذا الاختبار على ضعفه ، لكنه يستعمل بيداغوجيا لسهولة حسابه فصيغة الاختبار تكتب كما يلي :

H_0 : السلسلة العشوائية

H_1 : السلسلة غير العشوائية

و لتكوين اختبار التوالى تتبع الخطوات التالية :

١. ترتيب مشاهدات السلسلة الزمنية حسب الأهمية أى من الأصغر على الأكبر

٢. حساب الوسيط ، و هي المشاهدة المقابلة للرتبة m المعطاة بالعلاقة التالية :

$$m = \frac{(T+1)}{2} \quad \text{في حالة عدد المشاهدات } T \text{ فردي}$$

$$m = \frac{T}{2} \quad \text{في حالة عدد المشاهدات زوجي}$$

و يحسب الوسيط كما يلي حسب الحالتين لـ m على الترتيب :

⁵⁴ مولود حشمان، "نماذج وتقنيات التحليل القصير المدى"، مرجع سابق ص 18

$$md = Ym$$

$$md = \frac{Y_m + Y_{m+1}}{2}$$

حيث : y تمثل المشاهدات مرتبة ترتيبا تصاعديا أو تناظريا ، حيث m هي دليلها

3. إعطاء إشارة سالبة (-) للقيم الأصغر من md و إشارة موجبة (+) للقيم الأكبر

4. حساب R الممثل لعدد مرات توالي الإشارة من موجب إلى سالب و العكس حيث أن شكل

الاختبار يمكن صياغته كما يلي :

H_0 : السلسلة العشوائية

H_1 : السلسلة غير العشوائية

اختبار دانيال:

هو اختبار من بين الاختبارات التي تغלה ما مدى عشوائية السلسلة الزمنية⁵⁵. حيث يعتمد هذا

الاختبار على معامل الارتباط لسييرمان ، حيث مبدأ هذا الاختبار في الكشف عن عشوائية

السلسلة هو نفسه المبدأ يعتمد عليه في تبيان مركبة الاتجاه العام .

اختبار جذر الوحدة لدليكي فولر :

يعد من أهم وأقوى الاختبارات لتحديد ما مدى عشوائية أو اتجاهية السلسلة . و لأهمية هذا

الاختبار سوف نتطرق له في الجانب الخاص بالإستقرارية⁵⁶

2-2- درامة الاستقرارية

نفترض كل الدراسات التطبيقية التي تستخدم بيانات سلسلة زمنية أن هذه السلسلة مستقرة ،

وصفة الاستقرار تحدد بعض الخصائص الإحصائية التي سوف نتعرف عليها فيما بعد و في حالة

غياب صفة الاستقرار فإن الإنحدار الذي نحصل عليه بين متغيرات السلسلة الزمنية غالبا ما يكون

زائفا . و من المؤشرات الأولية التي تدل على أن الإنحدار المقدر زائف ، كبير معامل التحديد . R^2

⁵⁵- مولود حشمان، "نماذج وتقنيات التسويق المصغر المدى"، مرجع سابق ص 27

⁵⁶- محمد شيخي "طرق الاقتصادقياسي : محاضرات و تطبيقات" الطبعة الأولى ، دار حامد للنشر والتوزيع . الأردن ، 2012 .

و زيادة المعنوية الإحصائية للمعلمات المقدرة بدرجة كبيرة . مع وجود ارتباط ذاتي للمتغيرات يظهر من خلال معامل ديرين واستون DW ، و يرجع هذا إلى أن معظم البيانات الزمنية يوجد بها عامل أو مركبة الاتجاه العام ، بالرغم من عدم وجود علاقة حقيقة تربط بينها ، لذلك ارتأينا أن تتطرق في هذا المغلب إلى صفة الاستقرارية .

2-2-1-تعريف السلسلة الزمنية المستقرة

نقول عن أن السلسلة الزمنية على أنها مستقرة تلك السلسلة الزمنية التي لا يوجد بها اتجاه عام . إذن فالسلسلة الزمنية المستقرة هي تلك السلسلة الزمنية التي تغير مستوياتها مع مرور الزمن ، دون أن يتغير المتوسط فيها ، و ذلك خلال فترة زمنية طويلة نسبيا . أي أنها سلسلة زمنية ليس بها أي اتجاه عام لا نحو الزيادة ولا نحو النقصان ⁵⁷ .

2-2-2-الخصائص الإحصائية للاستقرارية :

نقول عن سلسلة زمنية أنها ذات معدن واسع للاستقرار . أو ذات تباين مشترك مستقر ، إذا كانت أوساطها ، تبايناتها و تبايناتها المشتركة ثابتة عبر الزمن و بصفة أخرى تكون السلسلة الزمنية مستقرة إذا تذبذبت حول وسط حسابي ثابت ، و تباين غير مرتبط بالزمن

و أيضا يمكن القول إن السلسلة الزمنية مستقرة إذا كانت لا تحتوي على مركبة الاتجاه العام ، و لا على وجود مركبة الفصلية و لا على عامل يتغير بتغير الزمن ، و هنا يمكن ذكر بعض الخصائص الإحصائية لصفة الاستقرارية لسلسلة زمنية ما .

$$* \text{ ثبات متوسط القيم عبر الزمن } \mu = E(y_t)$$

$$* \text{ ثبات التباين عبر الزمن } \sigma^2 = v(y_t)$$

$* \text{ التباين بين قيمتين متغير واحد مستقل عن الزمن}$

$$E[(y_t - \mu)(y_{t+k})] = \gamma_k$$

⁵⁷ عبد الكريم عطية عبد القادر " الاقتصاد القياسي بين النظرية والتطبيق " مرجع سابق

2-2-3-التشويش الأبيض :

إن التطرق إلى موضوع الاستقرارية بدون أن نذكر التشويش الأبيض قد ينقص من دراستنا لأن التشويش الأبيض أو ما يسمى أيضاً بالضجيج الأبيض هو

نحير مثال للسلسلة الزمنية المستقرة⁵⁸

فإذا كان الخطأ العشوائي ε موزعاً توزيعاً طبيعياً و يتحقق شروط الفرضيات الكلاسيكية ، و يسمح

بالحصول على متالية من المتغيرات العشوائية ذات متوسط معروف و تبيان ثابت . نقول على أن

الخطأ العشوائي يشكل تشويشاً أثيفاً .

و يمكن تلخيص خصائص التشويش الأبيض الإحصائية فيما يلي :

$$\varepsilon_t \sim N(0, \sigma^2)$$

$$E(\varepsilon_t) = 0$$

$$\text{v}(\varepsilon_t) = \sigma^2$$

$$E(\varepsilon_t, \varepsilon_s) = 0$$

$$\forall t = s$$

2-2-4-أنواع السلسلة الزمنية الغير مستقرة :

إن لعدم استقرارية السلسلة الزمنية نوعين من النماذج هما :

2-2-4-1-السلسلة الزمنية الغير مستقرة من النوع TS:

أي أن هذه النماذج غير مستقرة من الناحية أو الغرضية التحديدية ، أي أن عدم الاستقرارية في هذا النوع من السلسلة الزمنية له علاقة بالاتجاه العام . حيث تأخذ هذه النماذج الشكل التالي :

$$y_t = f(t) + \varepsilon_t$$

$f(t)$: دالة كثيرة الحدود للزمن

ε : تشويش أبيض

و أكثر هذه النماذج انتشاراً على أرض الواقع العملي نجد :

$$y_t = a_0 + a_1 t + \varepsilon_t$$

في حين أن النموذج يكون غير مستقر لأن وسعته الحسابي y_t أو $E(y_t)$ توقعه مرتبطة بالزمن t

⁵⁸-صلاح الدين كريوش ، "التوقع بالمربعات باستخدام نماذج احصائية" ، مرجع سابق ص 113

و لكن بجعل السلسلة الزمنية الغير مستقرة من النوع التحديدي TS مستقرة يتم تقدير المعالم a_0 و a_1 بطريقة المربعات الصغرى ، و بعدها يتم إيجاد الفرق التالي :

$$y_t - (a_0 + a_1 t)$$

4-2-2-السلسل الزمنية الغير مستقرة من النوع DS : أي أن هذه النماذج غير مستقرة من الناحية أو الفرضية العشوائية ، أي أن عدم الاستقرارية في مثل هذه السلسلة الزمنية له علاقة بالعشوائية . أي أن ظهور العشوائية في السلسلة الزمنية يجعلها غير مستقرة ، حيث تأخذ السلسلة الزمنية الغير مستقرة من النوع DS الشكل التالي :

$$y_t = a_0 + a_1 t + \varepsilon_t$$

حيث جعل هذه النماذج مستقرة عن طريق استعمال الفروقات أي :

$$(1-B)^d y_t = \beta + \varepsilon_t$$

β : ثابت حقيقي

B : معامل التأخير

d : درجة التأخير

حيث يمكن أن نميز شكلين من النماذج الغير المستقرة من النوع DS و هي : السلسلة الزمنية الغير مستقرة من النوع DS بدون المشتقة و ذلك لما يكون $\beta = 0$ و تكتب هذه

$$y_t = Y_{t-1} + \varepsilon_t$$

السلسلة الزمنية الغير المستقرة من النوع DS بالمشتقة و ذلك لما يكون $\beta \neq 0$ و تكتب هذه

$$y_t = Y_{t-1} + \beta + \varepsilon_t$$

5-2-2-اختبارات الاستقرارية:

قبل الشروع في اختبار استقرارية السلسلة الزمنية بإجراء الاختبارات الإحصائية لا بد من الرسم البياني و ذلك لإعطاء النظرة الأولية حول استقرارية أو عدم استقرارية السلسلة الزمنية ، بعد ذلك نلجأ إلى الاختبارات الإحصائية و التي هي متعددة و متشعبية حسب السلسلة الزمنية

2-2-5-1-اختبار جلدور الوحدة للاستهار ADF :⁵⁹

إن لاستعمال هذا الاختبار لابد التفريق بين نوعين من السلاسل الزمنية الغير مستقرة ، و التي قد تعرقنا لها و هي عدم الاستقرار من النوع TS و DS . حيث هذا الاختبار بدأ لأول وهلة تحت اسم ديكى فولر Dickey Fuller و طور بعدها ليصبح اختبار ديكى فولر المطور . يعتمد هذا الاختبار على ثلاثة عناصر⁶⁰ :

- صيغة النموذج
 - حجم العينة
 - مستوى المعنوية
- و لإجراء هذا الاختبار نستخدم ثلاث صيغ⁶¹ :
- سيرة السير العشوائي البسيط
 - سيرة السير العشوائي مع ثابت
 - سيرة السير العشوائي مع ثابت و اتجاه عام (زمني)

$$Y_t = \rho Y_{t-1} + \mu_t$$

$$Y_t = \alpha + \rho Y_{t-1} + \mu_t$$

$$Y_t = \alpha + \theta T + \rho Y_{t-1} + \mu_t$$

2-2-5-2-دالة الارتباط الذاتي :

و يتطلب شرط الاستقرار هنا أن يكون معامل الارتباط الذاتي ρ مساويا للصفر أو لا يختلف جوهريا عن الصفر بالنسبة لأي فجوة p أكبر من الصفر

⁵⁹ - Regis Bourbonnais : "Econométrie manuelle et exercice corrigées", 3^{ème} édition Dunod, Paris 2004.

⁶⁰ - مولود حشمان، "نماذج وتقنيات التسويق المدى" ، مرجع سابق

⁶¹ - صلاح الدين كوش ، "النماذج بالبيانات باستخدام نماذج احصائية" مرجع سابق ص 111

دالة الارتباط الذاتي "FAC" ⁶²

تسمح هذه الدالة إلى توضيح الارتباط بين المشاهدة في فترات مختلفة بين المتغير والقيمة X_{t-1} X_{t-2}

ويرمز لها بالرمز $P(h)$ ⁶³ حيث :

$$P(R) = \frac{COV(X_t X_{t-h})}{\sqrt{V(X_t)V(X_{t-h})}} = \frac{V(R)}{\sqrt{V(0)V(0)}} = \frac{V(h)}{V(0)}$$

ومنه

$$P(R) = \frac{\sum_{t=1}^h (X_t - \bar{X})(X_{t-h} - \bar{X})}{\sqrt{\sum_{t=1}^h (X_t - \bar{X})^2} \sqrt{\sum_{t=1}^h (X_{t-h} - \bar{X})^2}}$$

حيث :

$$\bar{X} = 1/n \sum_{t=1}^R X_t$$

ومثيلها البياني يدعى : correlogramme ويمكن تقدير معاملات دالة الارتباط الذاتي للنموذج

المستقر (X_t) مشاهدة كما يلي :

$$\hat{P}(h) = \frac{\sum_{t=1}^h (X_t - \bar{X})(X_{t-h} - \bar{X})}{\sum_{t=1}^h (X_t - \bar{X})^2} \quad h \geq 0$$

دالة الارتباط الذاتي الجزئي (FACP) ⁶⁴:

تسمح هذه الدالة من حساب معاملات الارتباط الذاتي الجزئي بين مشاهدات في فترات مختلفة

كما تسمح بالخصوص من تشكيل نماذج الانحدار الذاتي ⁶⁴ :

⁶²- مولود حشمان، "نماذج وتقنيات التبییر القصیر المدى"، مرجع سابق ص 137

⁶³ Le cours de la series temporelles ,Madame Moussi , 4^{eme} année ingénier d'état.

⁶⁴- مولود حشمان، "نماذج وتقنيات التبییر القصیر المدى"، مرجع سابق ص 137 - ص 138

والتمثيل البياني لهذه الدالة يسمى $\text{correlogramme partielle}$ ويمكن أن تعرف هذه الدالة بالعلاقة الآتية :

$$r(h) = \frac{\text{COV}(X_t - \bar{X}, X_{t-h} - \bar{X})}{\sum_{i=1}^n (X_i - \bar{X})^2} \quad h \geq 0$$

حيث : الانحدار الخطى لـ (X_t) على (X_{t-h})

$X_{t-1}, X_{t-2}, \dots, X_{t-h+1}$: الانحدار الخطى لـ (X_{t-h}) على (X_{t-h+1})

وتسمى (a_h) معامل حيث أن

$$\begin{aligned} X_t &= a_1 X_{t-1} + a_2 X_{t-2} + \dots + a_h X_{t-h} + \varepsilon_t \\ X_t &= \sum_{i=1}^h a_i X_{t-i} + \varepsilon_t \end{aligned} \quad \varepsilon_t \xrightarrow{\text{ iid }} N(0, \sigma^2)$$

ويمكن تقدير معامل الارتباط الذانى الجزئي $r(h)$ بالعلاقة الآتية :

وذلك بحل جملة المعادلات الآتية

$$\begin{bmatrix} p(1) \\ p(2) \\ \vdots \\ p(h) \end{bmatrix} = \begin{bmatrix} 1 & p(1) & \dots & p(h-1) \\ p(1) & 1 & \dots & p(h-2) \\ \vdots & \vdots & \ddots & \vdots \\ p(h-1) & p(h-2) & \dots & 1 \end{bmatrix} \begin{bmatrix} a_1 \\ a_2 \\ \vdots \\ a_h \end{bmatrix}$$

$$\begin{bmatrix} a_1 \\ a_2 \\ \vdots \\ a_h \end{bmatrix} = A^{-1} \begin{bmatrix} P(1) \\ P(2) \\ \vdots \\ P(h) \end{bmatrix} \quad A^{-1} = [a_{ij}]^{-1} \text{ matrice carrée} \quad \text{إذن:}$$

$$a_h = \sum_{j=1}^h (a_{ij})^{-1} P(j)$$

اختبار Box-pierre : بوكس-بيرس:

في حالة تمنع بيانات السلسلة الزمنية بالاستقرار فإن معاملات الارتباط الذاتي للعينة غالباً ما يكون لها توزيع طبيعي وسطه الحسابي صفر و تباعه $\frac{1}{\mu}$ و منه يجب أن تكون P_k تقع داخل حدود فترة الثقة عند مستوى المعنوية 5 % لكي نقبل فرضية العدم القائلة بأن هذا المعامل يساوي 0

و لإجراء اختبار مشترك معنوية معاملات الارتباط الذاتي كمجموعه تستخدمن إحصائية ϕ و التي يتم تقديرها بواسطة إحصائية Box-pierre

$$Q^* = n \sum_{k=1}^m \rho_k^2$$

حيث : m : حجم الارتباط

n : حجم العينة

m : عدد الفجوات

إحصائية Q Box-pierre تبع توزيع χ^2 كاي مربع بعدد درجات حرية m و مستوى حرية p ، لو أن Q^* المحسوبة أكبر من Q الجدولية ترفض فرضية العدم H_0 و منه السلسلة غير مستقرة

اختبار Ljung-Box ليجنغ-بوكس :

هناك إحصائية أخرى بديلة تستخدم في إجراء نفس الاختبار السابق ، تسمى Ljung-Box

حيث تعطى بالعلاقة التالية :

$$LB = n(m+2) \sum_{k=1}^m \left(\frac{p_k^2}{n-k} \right)$$

حيث إحصائية LB تبع توزيع كاي مربع χ^2 بعد درجات حرية P و تكون تائجها أفضل إذا كانت حجم العينة صغير .

2-5-3-اختبار فيليبس و بيرون :

يعتمد هذا الاختبار على تصحيح غير معلمي لإحصاءات ديكى - فولر، من أجل أحد بعين الإعتبار الأخطاء المرتبطة . فهو يسمح بإلغاء التحيزات الناتجة عن العشوائية يطبق هذا الاختبار وفق المراحل التالية⁶⁵:

1. تقدیر نماذج دیکی فولر

2. تقدیر التباين المعطى في الأجل القصير كما يلى : $y^2 = \frac{1}{n} \sum_{t=1}^n e_t^2$ حيث :

et : الباقي

3. تقدیر المعامل المصحح S_t^2 كما يلى:

$$S_t^2 = \frac{1}{n} \sum_{t=1}^n l_t^2 + 2L \sum_{i=1}^L \left(1 - \frac{i}{L+1}\right) \frac{1}{n} \sum_{t=i+1}^n l_t l_{t-r}$$

4. حساب إحصائية فيليبس و بيرون (PP) $t_{\Phi_1}^* = \sqrt{K} \cdot \frac{(\Phi_1^1 - 1)}{\alpha \Phi_1^1} + \frac{n(K-1)\alpha^1 \Phi_1^1}{\sqrt{K}}$

هذه الإحصائية تقارن مع القيمة الحرجة لجدول ماك كينون Mackinnon

2-5-4-اختبار KPSS :

اقتراح هذا الاختبار من طرف كل من Kiathouski و al سنة 1992 . حيث يعتمد هذا الاختبار على مضاعف لاغرائج لاختيار فرضية عدم التي تقر بالاستقرارية . حيث اختبار KPSS يطبق وفق الخطوات التالية :

1. تقدیر النماذج و حساب الباقي $St = \sum_{t=1}^T l_t$

2. تقدیر التباين

3. حساب إحصائية KPSS كما يلى : $Lm = \frac{1}{S_t^2} \cdot \frac{\sum_{t=1}^n S_t^2}{n^2}$

⁶⁵- محمد شيخي " طرق الاقتصاد القياسي : محاضرات و تطبيقات " الطبعة الأولى ، دار حامد للنشر والتوزيع ، الأردن ، 2012 .

⁶⁶- عبد الكريم عطية عبد القادر " الاقتصاد القياسي بين النظرية والتطبيق " مرجع سابق ص 116

حيث أن القرار يكون برفض فرضية استقرار السلسلة إذا كانت Lm المحسوبة أكبر من LM الحرجة المستخرجة من الجدول المعد من طرف Alet Kwiatkowski . والعكس صحيح .

3- تكنولوجيا الأنترنت :

1-3-تعريف الأنترنت :

اسم إنترنت مركب من عصرين الأول (انتر inter) بمعنى "بين" والآخر (نت net) يقابله في العربية "شبكة"، أي "الشبكة البنية" والاسم دلالة على بنية إنترنت باعتبارها "شبكة" ما بين الشبكات "أو "شبكة من شبكاتٍ" ، وأكثر الشبكات شيوعاً "الشبكة الدولية للمعلومات" وهي في الإنجليزية World Wide Web شاع رمزها المختصر (www) الذي يسبق اسم الموقع.

2-3- التطور التاريخي لاستعمال الأنترنت :

1-2-3- المرحلة الأولى:

في عام 1957 الاتحاد السوفيتي يطلق Sputnik أول قمر صناعي. ردت عليه الولايات المتحدة بتأسيس (وكالة مشروع الأبحاث المتطرفة) (Advanced Research Project Agency) اختصاراً (ARPA) بتمويل من وزارة الدفاع الأمريكية.

2-2-3- المرحلة الثانية:

يُؤرخ لانطلاق الأنترنت ، بتصميم أول ورقة عن ARPA net تنشر بواسطة لورنس روبرت 1967م. وأعلن انطلاق مشروع أريانت عام 1969م وهو مشروع من وزارة دفاع الولايات المتحدة. قرر إنشاؤه لربط الجيش الأمريكي عبر شبكات الحاسوب الآلي وكذلك ربط الجامعات ومؤسسات الأبحاث للاستفادة القصوى للعلاقات المتتامية للحواسيب المتوفرة آنذاك وقد راجحاً الحاسوبية. وكانت النقلة النوعية الثانية في خدمات (الأنترنت) في الأول من يناير 1983م عندما استبدلت وزارة دفاع الولايات المتحدة ببروتوكول (NCP) المعتمد به في الشبكة واستحدثت ميثاق حزمة مواثيق (بروتوكولات) الأنترنت.

3-2-3-المرحلة الثالثة:

تعددت حقول المعرف المخزنة في ذاكرة الحواسيب وفروعها ومع ترابط هذا العدد الهائل من الحاسوبات تيسرت عمليات الاتصال والتواصل عبر الشبكة، وتزايدت حسابات البريد الإلكتروني وتنوعت خدماته من رسائل شخصية إلى تبادل الملفات والصور الثابتة أو المتحركة والأصوات.

3-3-استخدامات الأنترنت :

إن المتبع لاستخدامات الأنترنت يرى أن الأنترنت أصبحت من الأشياء الضرورية في الحياة اليومية للأفراد والمنظمات والمجتمعات بصفة عامة ، حيث من بين الاستخدامات التي نجدها نذكر ما يلي :

3-1-الشبكة العنكبوتية العالمية :

تعتبر هذه الشبكة من الشبكات الرئيسة الموجودة على الأنترنت . فهي من أكثر الخدمات استخداماً في الأنترنت حيث يمكن من خلالها الاتصال في مختلف الواقع على شبكة الأنترنت وتصفح ما بها من مواقع وصفحات عن طريق وسائل متعددة قد تكون مكتوبة أو مسموعة أو بالصوت أو بالصورة .

3-2-البريد الإلكتروني :

حيث هو استخدام الأنترنت كصندوق للبريد بحيث يستطيع المستخدم إرسال الرسائل الإلكترونية إلى شخص أو عدة أشخاص من مستخدمي الأنترنت وتم هذه الخدمة في الغالب مجاناً ، حيث يستغرق إرسال الرسالة سوى ثوانٍ .

3-3-بروتوكول نقل الملفات :

حيث يمكن من خلال برنامج (FTP) نقل أية كمية من الملفات أو البرامج من الكمبيوتر لأي شركة أو مؤسسة أعمال أو غيرهم ، وتميز هذه الطريقة بسهولتها مقارنة بنقل الملفات عن طريق الأقراص أو الأشرطة المضغطة .

3-3-4-قوائم البريد الالكترونية :

و هي طريقة يمكن استخدامها لتبادل الآراء و النقاش حول موضوع معين بين مجموعة من الأشخاص ، و هي أشبه بنظام التخاطب عبر الأنترنت .

3-3-5-القاضي الالكتروني :

تكنولوجيا الاتصال بصفة عامة و تكنولوجيا الأنترنت بصفة خاصة أدت إلى تحسين الممارسة والمعاملات القانونية و القضائية . و هذا ما أدى إلى ظهور مفهوم ما يسمى بالحاكم الالكتروني .

3-3-6-محركات البحث :

حيث لولاها لما انتشرت الأنترنت إلى هذا الحد ، فمحركات البحث أمر إجباري لكل باحث عن المعلومات على الأنترنت .

3-4-دخول الأنترنت للعالم العربي :

يمكن اختصار دخول الأنترنت إلى الوطن العربي في محطات مهمة و فيما يلي أهم تلك الخطوات في دخول استعمالات الأنترنت في الوطن العربي :

1991 تونس ترتبط بالأأنترنت كأول دولة عربية ترتبط بالشبكة.

1991 نشأت WAIS و Gopher و WWW.

1992 تأسست جمعية الأنترنت Internet Society وتحاوز عدد النظم المضيفة مليون.

1992 الكويت ترتبط بالأأنترنت.

1992 البنك الدولي يرتبط بالأأنترنت.

1993 مصر والإمارات تربطان بالأأنترنت.

1993 انتشر Mosaic و WWW و Gopher بشكل واسع جداً.

- 1994 انتشار التسوق على الأنترنت والشركات تدخل الشبكة بشكل واسع.
- 1994 لبنان والمغرب ترتبان بالأنترنت.
- 1995 CompuServe و America On-line و Prodigy تعمل لتوفير الخدمة للمشترين.
- 1995 طرح JAVA في الأسواق.
- 1996 انعقاد أول معرض دولي لأنترنت.
- 1996 قطر وسوريا ترتبان بالأنترنت.
- 1999 المملكة العربية السعودية ترتبط بالأنترنت.

5-3 ملكية الأنترنت :

قد يعتقد البعض أن شبكة الأنترنت تملكها دولة أو منظمة دولية تقوم بإدارتها و لكن الواقع أن شبكة الأنترنت لا يملكها أحد⁶⁷ ، فإذا أردنا التشبيه فهي تشبه شبكة صيد السمك و ليس شبكة العنكبوت حيث لا توجد نقطة انطلاق مركبة بل إنما ترابط بين الكل . فلا يوجد من يسيطر على نشاط الأنترنت و إن كان هناك بعض الحكومات مثل الصين تحاول قطع الاتصالات بشبكة الأنترنت أو تقليل الاتصال بها . و تعتبر الأنترنت أول مؤسسة عالمية لا تملкها أي حكومة ، أما من يملك الخدمات الرئيسية للأنترنت فهو مقدم خدمة الأنترنت و تقع عليه مسؤولية قانونية سواء تقصيرية أو تعاقدية⁶⁸ .

⁶⁷ -Olivier Iteanu , Internet et Le Droit _ Aspect Juridiques Du Commerce Electronique – Edition 2001 Paris , P 17

⁶⁸ - خالد ممدوح إبراهيم "حكمة الأنترنت" دار الفكر الجامعي ، الإسكندرية ، مصر ، الطبعة الأولى ، 2010 ، ص 105

المبحث الثاني: الدراسات العلمية السابقة

1- الدراسات العربية :

1-1- دراسة رعد فاضل حسن و اخرون (2008) بعنوان :

بناء نماذج التنبؤ لاستهلاك المشتقات النفطية في العراق

هدف هذا البحث إلى بناء نماذج بوكس_جنكتر للسلسل الزمنية ARIMA لبعض متغيرات المشتقات النفطية (النفط الأبيض ، زيت العاز) في محافظات (بغداد ، الموصل ، البصرة) لغرض استخدامها في التنبؤ و وضع الخلط على مستوى المحافظة حيث أن الطريقة المستخدمة بالامكان تعميمها .

من نتائج البحث :

↳ فعالية استخدام نماذج بوكس_جنكتر في النمذجة و التنبؤ المستقبلي

↳ ضرورة الاعتماد على أساليب السلسل الزمنية في الدراسات من أجل اتخاذ القرارات

2-1- دراسة عزة حازم زكي (2008) بعنوان :

استخدام الشبكات العصبية في التنبؤ للسلسل الزمنية ذات السلوك الأسوي

في هذا البحث تم استخدام أسلوب الشبكات العصبية ANN في تحليل سلسلة زمنية ذات سلوك أسوي ، و ذلك من أجل التحليل و التنبؤ و استخدام أسلوب التمهيد الأسوي الذي تم مقارنته مع أسلوب الشبكات العصبية في التنبؤ بالقيم المستقبلية ، و أثبتت أسلوب الشبكات العصبية كفاءته في التحليل و التنبؤ و أعطى أقل قيمة متوسط مربعات الباقي .

من نتائج البحث نذكر :

- ↳ تفوق طريقة الشبكات العصبية الاصطناعية على الطرق الاعتيادية في التنبؤ
- ↳ تعد شبكة Elman الاصطناعية من أفضل الشبكات التي تستخدم في التمهيد الأسني .

1-3-1 دراسة سرمد كوكب جميل و عمر محمد فهمي السراج (2008) بعنوان :

تقدير نماذج التنبؤ بأسعار الأسهم في أسواق رأس المال العربية

حيث ركز البحث على استخدام و تطبيق عدد من النماذج الإحصائية الخعلية فضلاً عن استخدام نماذج الشبكات العصبية الاصطناعية في تقدير و اختبار دقة التنبؤ بأسعار إغلاق المؤشرات الرئيسية لعينة من أسواق الأوراق المالية العربية وذلك بالاعتماد على السلسل الزمنية لتلك المؤشرات ، و إيجاد النموذج الأفضل في تقدير القيمة المستقبلية في ضوء نتائج مقاييس الدقة المعتمدة. و لقد خلص البحث إلى مدى القدرة الكبيرة لنموذج الشبكات العصبية ذات الانتشار العكسي للخطأ في التنبؤ المستقبلي و تفوقه على باقي النماذج الإحصائية الخعلية .

بالاعتماد على نتائج مقاييس الدقة التي بلغت أدنىها عند اختبار مدى كفاءة نموذج الشبكات العصبية لفترة الاختبار المحددة ب 19 يوماً و موازنتها بنتائج مقاييس الدقة للنماذج الإحصائية الخعلية و التي تبانت فيما بينها من سوق لأخر الأمر الذي عكس درجة الاختلافات الكبيرة بين دقة تلك النماذج خلال فترة الاختبار المحددة.

1-4-1 دراسة بلال محمد أسعد محمود الهيثي (2008) بعنوان :

استخدام نماذج ARIMA للتنبؤ بعرض النقد في دولة قطر

حيث هدفت الدراسة إلى دراسة و تحليل البيانات الشهرية لعرض النقد بمفهومه الضيق M1 والواسع M2 و الأوسع M3 في دولة قطر للمدة من كانون الثاني 1982 إلى كانون الأول 2006 ،

و ذلك للدور الكبير الذي يؤديه النقد في تحقيق الاستقرار النقدي . إذ تم التنبؤ في هذه الدراسة للسنوات الأربع المقبلة للمدة من كانون الثاني 2007 إلى كانون الأول 2010 باستخدام نماذج ARIMA أو ما يعرف بمنهجية بوكس-جنكتز ، إذ تم استخدام البرنامج الإحصائي SPSS.V10 لتحليل بيانات عرض النقد في دولة قطر للحصول على النتائج .

حيث خلص البحث إلى مجموعة من النتائج منها :

⇒ تم التوصل إلى أن السلسل زمنية للبيانات الشهرية لعرض النقد غير مستقرة و تحتوي على اتجاه عام ، و ذلك بسبب التضخم الذي شهدته عرض النقد بعد كانون الثاني 2003 مما تطلب أحد الفروق الأولى لتحويل السلسل إلى سلسل زمنية مستقرة و تم الحصول على النماذج الأكفاء للتنبؤ للمدة الزمنية المستقبلية .

5-1 دراسة هيا عبد المجيد حياوي و هيلاء أنس عبد المجيد (2009) بعنوان :

مقارنة التنبؤ باستخدام النماذج الديناميكية و نماذج فضاء الحالة مع التطبيق

حيث تم في هذا البحث توفيق عدة نماذج للنظم الديناميكية الحركية الخطية بعلميات مختلفة بنوعيها: نماذج خطأ المعادلة و تضم ARX و ARMAX ، و نماذج خطأ المخرجات و تضم OE و BJ ، و عدة نماذج من فضاء الحالة و تم اختيار النموذج الذي أعطى أقل قيمة للمعايير الإحصائية و هو ARX(1.7.3) و نموذج فضاء الحالة ب 4 معلمات ، و تم التنبؤ باستخدام هذين النماذجين و مقارنة التنبؤ لكليهما و تبين أن النموذج الحركي الديناميكي يعطي قيمة تنبؤية أفضل من نموذج فضاء الحالة .

و من بين النتائج العملية للبحث نذكر :

⇨ تبين من خلال التطبيق العملي بأن التنبؤ بالنماذج الحركية الخطية التصادفية يعطي فيما تنبؤية أفضل من نماذج الحالة.

⇨ نلاحظ أيضاً أن معدل مربع الأخطاء و خطأ التكهن و معايير اختبار دقة النتائج التنبؤية للنماذج الحركية الخطية التصادفية كانت أقل مما هي عليه في نموذج فضاء الحالة مما يدل على تفوق النماذج الحركية على نماذج فضاء الحالة في التنبؤ بالقيم المستقبلية للحالة الدراسية.

1-6- دراسة عبير حسن علي الجبوري (2010) بعنوان :

التنبؤ بأسعار النفط العراقي لعام 2010 باستخدام السلسل الرمزية

حيث يهدف هذا البحث إلى التنبؤ بأسعار النفط العراقي في السنة الحالية 2010 و التنبؤ هنا سيكون باستخدام السلسل الرمزية و استخدام هنا طريقتين للتنبؤ هما طرق بوكس-جنكتز و نماذج التمهيد الأسني المزدوج ، و سنتتم المقارنة بينهما أيهما أدق أو أكثر دقة في التنبؤ، حيث من أهم الفرضيات التي قام عليها البحث هو أن استخدام نماذج بوكس-جنكتز هي أفضل في التنبؤ من نموذج التمهيد الأسني بالنسبة للسلسلة الرمزية.

و من بين نتائج الدراسة :

⇨ بالنسبة للسلسلة الرمزية قيد الدراسة فإن استخدام نموذج بوكس-جنكتز هو أفضل من نموذج التمهيد الأسني المزدوج في التنبؤ المستقبلي.

⇨ طريقة التمهيد الأسني المزدوج حققت دقة تنبؤية أقل من نموذج ARIMA(0.2.1.0) وذلك يظهر من خلال نتائج التنبؤ التي كانت في حالة استخدام نموذج ARIMA(0.2.0) معقولة أكثر من نتائج التنبؤ في حالة استخدام نموذج هولت Holt .

7-1 دراسة عباس فاضل الطائي (2010) بعنوان :

التتبؤ و التمهيد للسلالس الزمنية باستخدام التحويلات مع التطبيق

حيث البحث هو عبارة عن دراسة مقارنة بين جملة من الطرائق التنبؤية للسلالس الزمنية كنماذج التمهيد الأسوي و نماذج ARIMA و ذلك بإجراء التحويلات . حيث يهدف البحث إلى دراسة السلالس الزمنية وإمكانية استخدام التحويلات و ذلك لتحسين أساليب التتبؤ ، فقد تم في هذا البحث التتبؤ باستخدام التحويلات وكذلك استخدام صياغة التمهيد الأسوي المنفرد مع التطبيق.

لقد خلصت الدراسة إلى مجموعة من النتائج أهمها في النقاط التالية :

- ↳ إن سلسلة معدلات الأمطار محل الدراسة كانت مستقرة
- ↳ كان النموذج الملائم لسلسلة معدلات الأمطار هو نموذج الانحدار الذاتي المتوسط المتحرك ARIMA(5.0.2) الذي يحقق أقل قيمة للمعيارين AIC و MSE .
- ↳ بعد إجراء التحويلات بطريقة الجذر التربيعي كان النموذج الملائم للدراسة هو نموذج ARIMA(1.1.0) الذي يحقق أقل قيمة للمعيارين AIC و MSE .
- ↳ بعد إجراء التمهيد الأسوي البسيط للبيانات كان النموذج الملائم للدراسة هو نموذج ARIMA(1.1.0) الذي يحقق أقل قيمة للمعيارين AIC و MSE .
- ↳ بمقارنة النتائج المتحصل عليها نجد أن النموذج بعد إجراء التحويل و التمهيد هو نفس النموذج و هو أفضل بكثير قبل إجراء التمهيد أو التحويل.

1-8- دراسة عدالة العجال (2010-2011) بعنوان :

استخدامات العمليات العشوائية و نماذج الشبكات العصبية في التنبؤ الاقتصادي ، و دورها في دراسة الآفاق المستقبلية للواقع التقني و التسويقي للمؤسسة الصناعية بالجزائر

حيث هدفت هذه الدراسة إلى التعريف بأسس و مبادئ التحليل و توضيح خصائص نمذجة التنبؤ باستخدام السلسل الزمنية و تبيان خصائصها و عرض جوانبها الإيجابية و السلبية ، و تعبيتها في دراسة الواقع الراهن مؤسسة "ترانس كتال غرب" و إعطاء صورة مستقبلية لفعاليات هذه المؤسسة الإنتاجية و التسويقية ، حيث تهدف هذه الدراسة إلى التطبيق العملي لكل من نماذج التحليل الماركوفي ، و نماذج بوكس-جنكتز في تحليل السلسل الزمنية ، و نماذج الشبكات العصبية. حيث من خلال هذه الدراسة تم تبيان الطريقة التي تتم بها عملية النمذجة بواسطة تحليل السلسل الزمنية و تحديد المؤشرات الإحصائية الواجب دراستها عند إجراء عملية التحليل ، وذلك بواسطة الاستخدام العلمي للحزم البرمجية المتخصصة : " SPSS " ، " Systat " ، " Pythia " ، " Neurosolutions" .

حيث من بين أهم النتائج العملية للدراسة نجد:

↳ ساهم علم الإحصاء بشكل فاعل و واضح في التنبؤ الاقتصادي، و من أهم الطرق

الإحصائية طرق السلسل الزمنية و التي تستخدم بشكل واسع في التنبؤات الاقتصادية وذلك لسهولة استخدامها و تعبيتها.

↳ من النماذج الحديثة نسبيا التي تستخدم في التنبؤ الاقتصادي نماذج الشبكات العصبية

و نماذج ARIMA التي وضعها كل من بوكس و جنكتز ، و هذه النماذج تمتاز بقدرها التنبؤية العالية مقارنة بالطرق الأخرى للتنبؤ.

↳ عند تعدد طرق التنبؤ الاقتصادي المستخدمة يستلزم حساب مقاييس الجودة التنبؤية لمعرفة الأسلوب الأفضل في التنبؤ.

↳ من خلال تطبيق طرق التنبؤ على السلسلة الزمنية للمبيعات الشهرية لأنابيب "C.O.A" في مؤسسة ترانس كنال غرب خلال الفترة 2003_2008 تبين أن النموذج الملائم هو نموذج الشبكات العصبية نظراً لقدراته على التوصل إلى توقعات تطابق الواقع طبقاً لاختبارات جودة التنبؤ.

١-٩-١ دراسة نوال علاء الدين جراح (2011) بعنوان :

كفاءة طريقة الشبكات العصبية و طريقة بوكس-جنكتر في التنبؤ

مع حالات تطبيقية في العراق

حيث يهدف البحث إلى دراسة مقارنة بين الطرقتين : طريقة الشبكات العصبية و طريقة بوكس-جنكتر على حد تعبير الباحث ، حيث تم بناء أربع نماذج تنبؤية للسلسل الرمادية المختلفة في درجة من التعقيد باستخدام خوارزمية التعلم الرجعي back propagation neural network تم مقارنتها مع نماذج بوكس-جنكتر القياسية ، و تم التوصل إلى أن طريقة الشبكات العصبية أكثر دقة و كفاءة و متانة و تعطي نتائج أدق للتنبؤ .

من أهم النتائج التطبيقية التي توصل إليها الباحث ما يلي :

↳ الشبكات العصبية هي طريقة بديلة لطريقة بوكس-جنكتر خاصة في حالات وجود مركبة الاتجاه العام و الموسيمية في السلسل الرمادية المستعملة في الدراسة.

↳ تعتبر الطرقتين من العروق الجيدة في التنبؤ و لكن طريقة الشبكات العصبية هي الأفضل لأنها لا تحتاج خطوات أساسية للتوصول إلى نموذج التنبؤ الأفضل كما في طريقة بوكس-جنكتر لأنها تعتمد على عوامل أخرى و هي طبيعة البيانات و هيكلية الشبكة و طريقة التدريب و دوال التنشيط و تكرار التجارب بتغيير معلمات السابقة الذكر و زيادة عدد

مرات التدريب لحين التوصل على النموذج الأفضل و ذلك عن طريق مقارنة متوسط مربعات الخطأ بين النماذج .

↳ أعلنت نماذج الشبكات العصبية نتائج أدق من نماذج بوكس-جنكتر .

1-10- دراسة ناظم عبد الله عبد المحمدي و اخرون (2011) بعنوان :

استخدام نماذج السلسل الزمنية الموسمية للتنبؤ باستهلاك الطاقة الكهربائية

في مدينة الفلوجة

تم في هذا البحث استخدام نماذج السلسل الزمنية الموسمية لدراسة و تحليل البيانات الشهرية عن استهلاك الطاقة الكهربائية في مدينة الفلوجة للفترة (2005-2010) لما تمتاز به هذه النماذج من دقة و مرونة عاليتين في تحليل السلسل الزمنية .

و أظهرت نتائج التطبيق أن النموذج الملائم و الكفؤ لتمثيل بيانات السلسلة الزمنية هو النموذج الموسمي المضاعف من الدرجة 12 SARIMA (1,1,1,1,0,1,1) و وفقاً لنتائج تقدير هذا النموذج تم التنبؤ بكميات الاستهلاك الشهري للفترة من كانون الثاني 2011 إلى غاية كانون الأول 2012 ، حيث أظهرت هذه القيم تناسقاً مع مثيلاتها في السلسلة الزمنية الأصلية .

و من أهم نتائج البحث :

↳ عند غياب العلاقات السببية بين المتغيرات أو عدم توفر المعلومات الكافية حول المتغيرات التوضيحية أو المقسورة فإن أسلوب السلسل الزمنية يعتبر الأدق في عملية التنبؤ .

↳ فعالية استخدام السلسل الزمنية الموسمية في النماذج و التنبؤ .

11- دراسة ساندي يوسف هرمز و اخرون (2011) بعنوان :

التنبؤ بالسلسلة الزمنية باستخدام طريقة الجار الأقرب المضبب مع التطبيق

حيث تم من خلال هذا البحث دراسة طريقة الجار الأقرب الضبابي للتنبؤ بالسلسلة الزمنية، حيث أن طريقة الجار الأقرب الضبابي (FNNM) Fuzzy nearest neighbor method مستندة على قيم العضوية الضبابية وأن المدف الرئيسي لخوارزمية التنبؤ هو التكهن بقيم مستقبلية إلى أساس القيم الماضية القريبة (الجار الأقرب) وأن قيمة الجار الأقرب يتم اختيارها باستخدام قيم العضوية الضبابية المتقاربة أو قيمة عتبة العضوية. تم قياس دقة الطريقة و مقارنتها مع نموذج ARIMA باستخدام معيار النسبة المئوية للخطأ المطلق MAPE وكذلك إيجاد قيمة متوسط مربعات الخطأ MSE للقيم المتکهن بما لبيانات السلسلة الزمنية المستخدمي الأنترنت في مدة معينة.

و من بين النتائج التي أسفرت عنها الدراسة نذكر:

- ⇒ من خلال ملاحظة النتائج نجد أن قيمة MAPE و MSE للجار الأقرب هي أقل من نموذج ARIMA لذلك نتائج التكهن للجار الأقرب تعتبر أفضل.
- ⇒ يمكن اعتبار طريقة FNNM طريقة كاملة و مكملة لطريقة ARIMA إذ أنها طريقة يمكن الاعتماد عليها في التكهن باستخدامها بصورة منفردة أو يمكن استخدامها مع نماذج ARIMA.
- ⇒ يمكن الاعتماد على هذه الطريقة في التنبؤ لاعتبارها إحدى طرائق التكهن الحديثة و تعطي نتائج جيدة.
- ⇒ من الضروري استخدام هذه الطريقة في التكهن عندما يكون هناك القليل من عدم اليقين حول توزيع البيانات.

1-12- دراسة عثمان نقار و اخرون (2011) بعنوان :

منهجية Box_Jenkinz في تحليل السلسل الزمنية و التنبؤ _ دراسة تطبيقية على أعداد تلاميذ الصف الأول من التعليم الأساسي في سوريا

هدفت هذه الدراسة إلى وضع نماذج قياسية للتنبؤ بأعداد التلاميذ المتوقع توافهم إلى الصف الأول من التعليم الأساسي باستخدام منهجية بوكس_جنكнер ، و توفيق نموذج أفضل من نماذج ARMA .

و خلصت الدراسة إلى وضع نموذج يمكن استخدامه في التنبؤ بأعداد التلاميذ و تم التنبؤ بأعداد التلاميذ حتى سنة 2015 .

و من نتائج الدراسة :

⇨ أفضل نموذج من النماذج المقدرة التي وضعت في البحث هو النموذج ARIMA(0,1,1) .

⇨ سلسلة المتنسبين إلى الصف الأول من التعليم الأساسي في سوريا سلسلة عشوائية غير مستقرة .

⇨ هناك فعالية لنماذج بوكس_جنكتر للتدمذجة و التنبؤ .

1-13- دراسة سعدية عبد الكريم طعمة (2012) بعنوان :

استخدام تحليل السلسل الزمنية للتنبؤ بأعداد المصابين بالأورام الخبيثة

في محافظة الأنبار

يهدف هذا البحث إلى تحليل السلسل الزمنية باستخدام منهجية بوكس_جنكتر لإيجاد أفضل نموذج للتنبؤ بأعداد المصابين بالأورام الخبيثة في محافظة الأنبار ، و ذلك بالاعتماد على البيانات

الشهرية (2006_2010) وقد أظهرت نتائج الدراسة أن النموذج الملائم هو نموذج ARIMA(2,1,0)

و من نتائج البحث تذكر :

↳ باستخدام معايير المفاضلة بين عدة نماذج تبين أن النموذج الأمثل هو ARIMA(2,1,0)

↳ باستخدام النموذج المقدر في عملية التنبؤ تبين أن هناك تناسق مع القيم الأصلية للسلسلة .

14-1 دراسة عائلة يونس محمد المراد (2012) بعنوان :

مقارنة بين الانحدار الكلاسيكي و الشبكات العصبية الاصطناعية في التنبؤ بمستويات نتائج بحوث طلبة كلية التربية الرياضية

حيث يهدف البحث إلى استخدام أسلوب الشبكات العصبية في الانحدار وعلى وجه الخصوص مقارنة أسلوب الشبكات العصبية مع الأساليب الكلاسيكية في تحليل الانحدار المتدرج للتنبؤ بنتائج بحوث الطلبة، و تم أخذ مجال البحث من 2006 إلى 2008 و ذلك بالتطبيق على نتائج بحوث الطلبة للسنة الدراسية الرابعة فرع العلوم الرياضية في كلية التربية الرياضية لجامعة الموصل. حيث يعتمد البحث على أسلوب تحليل الانحدار المتدرج للتنبؤ و ذلك بالاعتماد على الطريقتين الكلاسيكية و التقنيات الذكية وإجراء المقارنة بينهما. حيث أثمرت الدراسة على أن الشبكات العصبية هي أفضل طريقة في تقدير المعالم التنبؤية.

و من أهم النتائج المتوصل إليها من خلال هذا البحث ما يلي :

⇨ تفوق الشبكات العصبية على الطرائق الكلاسيكية، حيث تم الحصول على نتائج ذات قيمة أقل للمعايير الإحصائية المستخدمة لحساب خطاً التنبؤ.

⇨ تعد الشبكات العصبية طريقة بدائلة عن الطرائق الكلاسيكية المستخدمة في التنبؤ التي هي الطريقة الأفضل والأكثر دقة للتنبؤ بالقيم المستقبلية للانحدار الخطي قيد الدراسة.

15-1 دراسة ذكرها يحيى الجمال و عمر صابر (2012) بعنوان :

مقارنة التنبؤ باستخدام شبكة الانحدار العصبية المعممة بأسلوب الشبكات العصبية

و تحليل الانحدار

حيث هدف البحث إلى استخدام أسلوب مهجن بين الشبكات العصبية الاصطناعية و نموذج الانحدار الخطي، إذ تم توضيح آلية عمل هذا الأسلوب المهجن و مقارنته مع نماذج الشبكات العصبية و نموذج الانحدار الخطي لمعرفة مدى كفاءة هذا الأسلوب، و باستخدام معيار متوسط مربعات الخطاً ثبتت كفاءة هذا الأسلوب المهجن و هو ما يطلق عليه أسلوب شبكة الانحدار العصبية المعممة مقارنة مع النماذجين المستخدمين من خلال تجربة المحاكاة و تطبيق الأمثلية الواقعية.

حيث من نتائج البحث مايلي:

⇨ إن أسلوب شبكة الانحدار العصبية المعممة GRNN كان أكفاءً مقارنة مع أسلوب الشبكات العصبية الاصطناعية NN و تحليل الانحدار .

⇨ من وجهة نظر الباحثين فإن أسلوب شبكة الانحدار العصبية المعممة مقارنة بأسلوب الشبكات العصبية الاصطناعية هو تميزها بالبساطة و إمكانية التدريب السريع كونها لا

تطلب تدريباً تكرارياً للأوزان و ذلك من خلال استخدام ميزة الانحدار الخططي في طبقة الإخراج.

⇨ إن أسلوب الشبكات العصبية الاصطناعية باستخدام شبكة BP قد لا يكون دائماً أكفاءً من أسلوب تحليل الانحدار و هذا ما أوضحته نتائج تجارب المحاكاة فضلاً عن نتائج الحالتين التعليقيتين، إذ ظهر أسلوب الشبكات العصبية الاصطناعية أكفاءً في الحالة التطبيقية الثانية، بينما كان أسلوب تحليل الانحدار أكفاءً في الحالة التطبيقية الأولى.

16-1 دراسة محمد جلال محمد عبد الله جباره (2011-2012) بعنوان :

التنبؤ بالسلالسل الزمنية لمنسوب النيل الأزرق في محطة واد مدنى باستخدام نماذج بوكس-جنكتر و نماذج الشبكات العصبية الاصطناعية

تحدف هذه الدراسة إلى دراسة طرق التنبؤ بالسلالسل الزمنية لاستخدام غودجي بوكس - جينكتر و الشبكات العصبية الاصطناعية حيث كل طريقة لها مراحل مختلفة تختلف عن الأخرى و في حالة عدم المرور لهذه المراحل تعطي هذه الطرق نتائج غير مرغوب فيها و عليه تبرز بعض المشاكل الخاصة التي يجعل من الصعوبة التنبؤ بنتائج أي من الطريقتين و من هنا جاءت أهمية هذه الدراسة التي استخدمت غودجي بوكس-جنكتر و الشبكات العصبية الاصطناعية . كما هدفت الدراسة لإبراز العلاقة ما بين الأساليب المستخدمة للتنبؤ في السلاسل الزمنية و دقة التنبؤ المتحصل عليها، و مدى تأثير التغيرات التي تطرأ على السلاسل الزمنية و درجة العشوائية و اللاخطية في البيانات على أداء هذه السلاسل .

حيث من خلال الدراسة التعليقية خلص الباحث إلى مجموعة من النتائج أهمها :

⇨ يتأثر أداء نماذج بوكس-جنكتر و نماذج الشبكات العصبية في التنبؤ بنمط البيانات المستعملة .

تم بناء نماذج بوكس - جنكتر باستخدام نموذج الانحدار الذاتي و المتوسط المتحرك التكاملية من الدرجة (1.1.0) ARIMA بناء على نتائج ذاتي الارتباط الذاتي و الارتباط الذاتي الجزئي وقد تم التأكد من أن هذا النموذج جيد و يعطي تنبؤات دقيقة و قريبة من الواقع من خلال حساب الإحصائية Q التي تبين عدم معنويتها أخيرا تم عمل التنبؤات اليومية لمناسيب النيل من 01 سبتمبر إلى 30 سبتمبر لعام 2010 .

تم بناء نماذج الشبكات العصبية باستخدام شبكة البيرستون متعددة الطبقات MLP والذى تكونت بيته المعمارية من ثلاثة طبقات : طبقة المدخلات(2) و الطبقة الخفية(5) و طبقة المخرجات(1) واستخدمت الدالة اللوجستية كدالة تحفيز في الطبقة الخفية وكذا في طبقة المخرجات و استخدمت لنדרيب هذه الشبكات خوارزمية الانتشار السريع واتضح أن الشبكة الناتجة جيدة و أعطت تنبؤات دقيقة و قريبة من الواقع في الفترة الممتدة من 01 سبتمبر إلى 30 سبتمبر من عام 2010 .

درجة التغيرات في السلسلة الزمنية و خاصة التغيرات العشوائية يؤثر تأثيرا مباشرا على النتائج المتحصل عليها باستخدام الأسلوبين محل الدراسة ، فكلما زادت حدة التغيرات في السلسلة الزمنية قلت كفاءة نماذج بوكس-جنكر مقارنة بنماذج الشبكات العصبية .

تأثير نماذج الشبكات العصبية بشكل مباشر بحجم البيانات المتاحة (طول السلسلة الزمنية) فكلما كان حجم البيانات كافيا بحيث تظاهر كل تغيرات السلسلة الزمنية ارتفعت درجة التعلم في الشبكة و من تم زادت كفاءة نماذج الشبكات العصبية في التنبؤ .

كلما زادت فترة التنبؤ في المستقبل كانت نتائج نماذج الشبكات العصبية أدق من نتائج نماذج بوكس-جنكر و ذلك من خلال نتائج التنبؤ المتحصل عليها من هذه النماذج .

17-1 دراسة ساهم عبد القادر (2012-2013) بعنوان :

استخدام البرمجة بالأهداف في تحليل الانحدار المبهم للتنبؤ بأسعار البترول

حيث اهدف من هذا البحث هو ضرورة الأخذ بعين الاعتبار أثر المعلمات المهمة و المتغير التابع المبهم في تحليل الانحدار من أجل تطوير نموذج الانحدار ليصبح قادرًا على تقدير المتغير التابع من خلال استخدام الأساليب و التقنيات المتبعة في بناء نماذج الانحدار بناءً جيداً ، بحيث تم استخدام الحزم البرمجية LINGO V11 ، EVIWS V6 ، STATISTICA V8 التي تساعد على ذلك و تمكن من تطبيق هذه الدراسة .

كما يهدف البحث إلى مقارنة بين نماذج ARIMA و نماذج GARCH و نماذج الشبكات العصبية ANN و طرائق الانحدار المبهم FS و ذلك لتطوير الفهم و الإدراك لنموذج تحليل الانحدار المبهم . حيث قامت الدراسة على عدة فرضيات أساسية من بين هذه الفرضيات نذكر الفرضية التي طور عليها البحث وهي : "استخدام البرمجة بالأهداف في تحليل الانحدار المبهم للتنبؤ بأسعار البترول تعطي نتائج أفضل من استخدام نماذج ARIMA و نماذج GARCH و نماذج ANN . الشبكات العصبية الاصطناعية ANN .

حيث من أهم نتائج البحث كانت:

◀ تعد طريقة الانحدار المبهم طريقة بدائلة عن الطرائق الكلاسيكية المستخدمة في التنبؤ و التي هي الطريقة الأفضل و الأكثر دقة للتنبؤ بالقيم المستقبلية للانحدار الخطي المبهم قيد الدراسة .

◀ أداء نماذج تقنيات الانحدار المبهم FS باستخدام البرمجة بالأهداف تفوق بشكل كبير على أداء نموذج GARCH و نماذج الشبكات العصبية الاصطناعية ANN و نماذج ARIMA, GARCH و ANN و من ناحية أخرى تعتبر كل من النماذج ARIMA و GARCH و ANN و FS أفضل في التنبؤ بالقيم المستقبلية للانحدار الخطي المبهم .

أدوات جيدة و أعطت نتائج مقبولة في فترى التدريب و التحقق . بينما تفوق نماذج FRGR في قدرتها على تقدير و التنبؤ بأسعار البترول .

18- دراسة أمل علي غافل (2013) بعنوان :

استخدام نماذج بوكس_جنكتر ARIMA في التنبؤ بإنتاج الطاقة الكهربائية

يتضمن هذا البحث دراسة نماذج بوكس_جنكتر ، أي نماذج ARIMA في التنبؤ بإنتاج الطاقة الكهربائية لمدينة بغداد ، و تم اعتماد منهجهية بوكس_جنكتر في بناء نموذج السلسلة الزمنية ، ومن تم اختيار أفضل نموذج للتتبؤ بالقيم المستقبلية لإنتاج الطاقة الكهربائية ، حيث تم اجراء تطبيق عملي على سلسلة انتاج الطاقة الكهربائية لست سنوات تضمنت 69 شهر .

من نتائج هذه الدراسة نذكر :

⇨ أفضل نموذج للتتبؤ هو نموذج ARIMA(1,0,2)

⇨ نماذج بوكس_جنكتر تستخدم في حالة السلاسل الزمنية المستقرة و غير المستقرة

⇨ فعالية السلاسل الزمنية في المدحجة و التنبؤ

19- دراسة صفاء يونس الصفاوي و اخرون (2013) بعنوان :

مقارنة بين طرائق التنبؤ لسلسلة حمل الذرة اليومي للطاقة الكهربائية في مدينة الموصل

هدف هذا البحث إلى إجراء مقارنة بين طريقة بوكس_جنكتر و طرائق التمهيد الأسني في التنبؤ والمقابلة بينهم بالاعتماد على معايير MAE ، MSE ، MAPE و ذلك من أجل التتبؤ بالقيم المستقبلية .

من نتائج هذا البحث كما يلي :

↳ طريقة هولت ونتر الموسمية المضاعفة تعد أفضل طريقة للتتبؤ خاصة السلسلة التي بها مركبة

الموسمية

↳ فعالية نماذج السلسلة الزمنية للنموذج والتتبؤ بالقيم المستقبلية

1-20- دراسة أبو ذر يوسف علي أحمد و آخرون (2013) بعنوان :

استخدام السلسلة الزمنية للتتبؤ بإنتاجية الصمغ العربي في سوق محاصيل الأبيض

للفترة 1960_2012

في هذه الدراسة تم استخدام نماذج بوكس-جنكнер لدراسة وتحليل البيانات السنوية لإنتاج الصمغ العربي في سوق محاصيل الأبيض للفترة 1960_2012 لما تمتاز به هذه النماذج من دقة و مرونة عاليتين في تحليل السلسلة الزمنية .

و أظهرت نتائج التطبيق أن النموذج الملائم و الكفؤ لتمثيل بيانات السلسلة الزمنية هو النموذج ARIMA(1,1,0)

و كانت نتائج البحث كما يلي :

↳ لم تتحقق فرضية البحث المضمنة كون السلسلة الزمنية لإنتاج الصمغ العربي مستقرة .

↳ لقد تم استخدام طرق تنبؤ حديثة مثل طريقة بوكس-جنكнер للتتبؤ بإنتاج للصمغ العربي .

↳ نوصي بالاعتماد على النماذج المقترنة في البحث من قبل الجهات المختصة لمعالتها التنبؤية .

21- دراسة ظافر رمضان مطر البدراني و رهاد عماد صليوا (2014) بعنوان :

تقييم تنبؤ السلسلة الزمنية لمعدلات درجات الحرارة باستخدام الشبكات العصبية

حيث قورنت في هذا البحث دقة التنبؤ بين الطريقة الإحصائية للسلسلة الزمنية المتمثلة في منهجية بوكس-جنكتر و بعض نماذج الشبكات العصبية الاصطناعية من خلال التطبيق على ثلاث شبكات و هي : شبكة Feed Forward Neural Network (FFNN) و شبكة Nonlinear Autoregressive (NERX) و شبكة Elman Neural Network(ENN) with Exogenous Input ، حيث تختلف هذه الشبكات فيما بينها من حيث وجود التغذية العكسية في هيكليتها من عدمه ، و تم التطبيق على بيانات المعدلات الشهرية لدرجات الحرارة العظمى مدينة De Belt الهولندية و كانت فترة الدراسة تمت من 1983 إلى 2009 لدقتها حسب ما قاله الباحثان ، و منه بلغ عدد المشاهدات 324 مشاهدة و الإبقاء على 12 المشاهدة كعينة بعدية للمقارنة مع قيم التنبؤ التي يتم الحصول عليها من النموذج ، حيث من خلال البحث تم التطرق إلى الدراسة و التحليل لنماذج بوكس-جنكتر و نماذج الشبكات العصبية .

و خلصت الدراسة إلى مجموعة من النتائج مثلت في النقاط التالية :

↳ أسلوب الشبكات العصبية أكثر دقة للتنبؤ بالقيم المستقبلية لسلسلة المعدلات الشهرية لدرجات الحرارة في مدينة De Belt الهولندية مقارنة بأسلوب بوكس-جنكتر و لعل السبب في ذلك أن منهجية بوكس جنكتر تفترض شروطا صارمة لا يمكن تجاوزها منها الاستقرارية و الخطية و العلية ، و الكثير من الغواهر لا تتعلق عليها هذه الشروط على العكس من أسلوب نماذج الشبكات العصبية التي تتحرر من هذه الشروط .

↳ اختلفت نماذج الشبكات العصبية المستخدمة في التنبؤ من حيث دقة التنبؤ ، فقد امتازت الشبكات العصبية التي تمتلك في هيكلتها مبدأ التغذية العكسية مثل شبكة إيلمان

و NERX بأن نتائج التنبؤ لها أدق من تلك التي افتقدت هدا المبدأ في هيكلتها (شبكات التغذية الأمامية) .

⇨ التنبؤ باستخدام شبكة NERX حقق أفضل النتائج ثم شبكة ENN ثم شبكة FFNN وبعدها أسلوب التنبؤ الإحصائي التقليدي بوكس-جنكнерز ، نجد من خلال هذا التسلسل في الأفضلية أن الشبكات ذات التغذية العكسية هي في المقدمة .

22- دراسة مؤيد سلطان وهيب (2014) بعنوان :

بناء نموذج ARIMA للتنبؤ بحجم البطالة في مصر

يهدف هذا البحث إلى بناء نموذج ARIMA لمشكلة البطالة في مصر من خلال البيانات الاحصائية المتوفرة من 1990 إلى غاية 2010 و التنبؤ المستقبلي بحجم البطالة من خلال النموذج المقدر .

خلص البحث إلى مجموعة من النتائج :

⇨ نموذج ARIMA(1,1,2) أفضل نموذج يمثل السلسلة الزمنية لظاهرة البطالة في مصر
⇨ هناك زيادة مستمرة للبطالة في مصر من خلال ملاحظة القيم المتباينة
⇨ فعالية استخدام نماذج السلاسل الزمنية ARIMA في النماذج و التحليل و التنبؤ .

23- دراسة هبة لقمان أمين و آخرون (2014) : بعنوان

استخدام نماذج ARCH و GARCH لتمثيل البيانات اليومية لمرضى الأطفال

تضمن هذه الدراسة تحليل السلسلة الزمنية الخاصة بالدخول اليومي للمرضى في مستشفى ابن الأثير التعليمي باستخدام النماذج الخطية ARMA و النماذج غير الخطية ARCH ، تم اختيار

نموذج ARIMA(4,1,3) و النموذج اللاخطي GARCH(1,1) باستخدام معايير ضبط الدقة . MAPE ، MAE ، MSE

من نتائج البحث مايلي :

- ↳ وجود أثر GARCH لسلسلة مربعات بوافي النموذج المقدر
- ↳ فعالية النماذج الخطية ARMA في التنبؤ إلى جانب النماذج اللاخطية GARCH في حالة عدم تبادل تباينات الأخطاء .

1-24- دراسة فراس أحمد محمد و آخرون (2015) بعنوان :

استخدام نماذج ARCH، GARCH في التنبؤ بسعر الاغلاق اليومي لمؤشر سوق العراق للأوراق المالية

هدف هذا البحث إلى ايجاد النماذج للتقلبات لأسعار الاغلاق اليومي لسوق الأوراق المالية من فترة 2005 إلى غاية 2012 باستعمال نماذج ARCH و GARCH ، و تبين من نتائج التطبيق أن أفضل نموذج للتنبؤ هو GARCH(1,1) و بدون أي أثر ل ARCH و ذلك بالاعتماد على معايير AIC ، SIC ، HQ و معنوية المعلومات .

و من نتائج البحث ذكر :

- ↳ استعمال نماذج ARCH يعطي فعالية في النماذجة و التنبؤ في ميدان سوق الأوراق المالية و ذلك لطبيعة هذه السوق .
- ↳ نماذج الانحدار الذاتي المشروطة بعدم تحانس التباينات قادر على عمل التنبؤات الأكثر دقة للتقلبات التي تتخلل السلالسل الزمنية .

2-الدراسات الأجنبية :

1- دراسة H.K .Cigizoglu (2003) بعنوان :

forecasting by Incorporation of ARMA models into flow
artificial neural networks

تعتبر هذه الدراسة من بين الدراسات التي تطرقـت إلى التنبـؤ باسـتخدام نـماذج السـلاسل الزـمنـية الخطـلـية و الغـير الخطـلـية و كذلك المـزاوجـة بين النـمـوذـجـين أي النـمـوذـج الخطـلـي ARMA و النـمـوذـج الغـير الخطـلـي و المـتمـثـلـ في نـماذـج الشـبـكـات العـصـبـيـةـ. حيث تـعـرـضـتـ هـذـهـ الـدـرـاسـةـ مـخـلـودـيـةـ مـجمـوعـةـ بـيـانـاتـ تـدـرـيبـ الشـبـكـةـ باـعـتـبارـهاـ منـ أـهـمـ المشـاـكـلـ الـتـيـ تـواـجـهـ تـطـبـيقـ الشـبـكـاتـ العـصـبـيـةـ فيـ مـسـائـلـ مـصـادـرـ المـيـاهـ المـخـتـلـفـةـ وـ هـذـهـ مـخـلـودـيـةـ تـمـعـ الشـبـكـةـ منـ التـعـلـمـ بـصـورـةـ سـلـيـمةـ خـلـالـ التـدـرـيبـ ماـ يـقـلـلـ مـنـ مـقـدـرـةـ الشـبـكـةـ التـنـبـؤـيـةـ وـ مـنـ أـجـلـ مـعـالـجـةـ مشـكـلـةـ مـخـلـودـيـةـ بـيـانـاتـ فيـ نـماـذـجـ الشـبـكـاتـ العـصـبـيـةـ اـقـرـتـحـتـ الـدـرـاسـةـ اـسـتـخـدـامـ نـماـذـجـ ARMAـ منـ أـجـلـ تـولـيدـ سـلـسـلـةـ اـصـطـنـاعـيـةـ وـ هـذـهـ السـلـسـلـةـ يـتـمـ دـمـجـهاـ فيـ مـجـمـوعـةـ بـيـانـاتـ التـدـرـيبـ لـنـماـذـجـ الشـبـكـاتـ العـصـبـيـةـ.

وـ تمـ تـطـبـيقـ هـذـهـ الطـرـيقـةـ باـسـتـخـدـامـ بـيـانـاتـ الـمـتوـسـطـ الشـهـرـيـ لـتـدـفـقـ النـهـرـ فيـ محـطةـ لـلـمـيـاهـ يـمـنـعـلـةـ شـرقـ الـمـتوـسـطـ بـتـرـكـياـ وـ ذـلـكـ لـلـتـنـبـؤـ بـالـمـتوـسـطـ الشـهـرـيـ لـلـتـدـفـقـاتـ.

حيـثـ نـتـائـجـ الـدـرـاسـةـ مـقـبـولـةـ نـوـعاـ ماـ باـسـتـخـدـامـ مـثـلـ هـذـهـ نـماـذـجـ،ـ حـيـثـ مـنـهـاـ:

- ↳ استعمال الشـبـكـاتـ العـصـبـيـةـ جـدـ مـهـمـ فيـ الـوصـولـ إـلـىـ نـتـائـجـ قـرـيبـةـ مـنـ الـوـاقـعـ
- ↳ نـماـذـجـ ARMAـ تـرـيدـ مـنـ فـعـالـيـةـ الشـبـكـاتـ العـصـبـيـةـ وـ ذـلـكـ مـنـ خـلـالـ تـولـيدـ السـلـسـلـةـ الـاصـطـنـاعـيـةـ.

2- دراسة 2-2 (Ping Feng Pai & all 2005) بعنوان :

A hybrid ARIMA and support vector machines model in stock price forecasting

تناولت هذه الدراسة بالتحليل و الدراسة موضوع التنبؤ باستخدام السلاسل الزمنية ARIMA حيث تم تقدير العديد من النماذج و تم اختيار النموذج الأمثل ، من خلال مقارنة نتائج التنبؤ مع عدة طرق أخرى ك SVMS ، و ذلك بالاعتماد على معايير الدقة التنبؤية MAPE ، MAE ، RMSE ، MSE .

و من نتائج البحث :

↳ فعالية نماذج السلاسل الزمنية ARIMA على مثيلاتها من الطرق في عملية النمذجة والتنبؤ المستقبلي .

3- دراسة 3-2 (Abdulmajid AL_Nasser & all 2009) بعنوان :

Using Feed-Forward Neural Network (FFNN) In Time Series Forecasting

تعلقت الدراسة إلى التنبؤ بمح توليد الطاقة بعض أقاليم العراق ، حيث استخدم في هذه الدراسة طرق الشبكات العصبية للسلاسل الزمنية للتنبؤ ، حيث خلصت الدراسة إلى أن مثل هذه الطرق صالحة للتعويذ في النتائج ، و ذات تمثيل قوي للظواهر ، و من بين النتائج العملية للدراسة نذكر :

↳ هناك فعالية لطرق الشبكات العصبية للسلاسل الزمنية في التنبؤ على نماذج السلاسل الزمنية العادية لأن جل السلاسل الزمنية تحتوي على العشوائية .

4- دراسة 2009 Turhon Korkmaz & all بعنوان :

Testing for long memory in ISE using ARFIMA-FIGARCH model and structural Break Test

هدفت هذه الدراسة إلى اختبار الذاكرة الطويلة لIAS باستعمال التباين و نماذج -ARFIMA ، FIGARCH ، حيث أكيدت هذه الدراسة على تأكيد أهمية السلسل الزمنية في دراسة الفواهر الاقتصادية ، و خلصت أن مثل هذه النماذج باستطاعتها تمييز السلسل الزمنية ذات الذاكرة الطويلة و خاصة تلك السلسل الزمنية التي تباينات أخطائها تتغير عبر الزمن .

5- دراسة 2013 Tubin & all بعنوان :

Prediction through genetic Algorithm A case study in Indian share market

تناولت هذه الدراسة التنبؤ بممؤشر سوق الأوراق المالية الهندية باستعمال نموذج هجين يدعى الشبكات العصبية الوراثية GNN و مقارنتها بنماذج التنبؤ ARCH و GARCH ، و ذلك بالاعتماد على مقاييس خطأ التنبؤ المختلفة R_SQ ، MSE .

و من نتائج البحث الأساسية :

• ارتفاع القدرة التنبؤية لنموذج GNN المشكّل علاً نماذج ARCH و GARCH .

• مرونة و فعالية السلسل الزمنية الخطية في التعامل مع الفواهر .

6- دراسة Yaziz & all (2013) بعنوان :

التتبؤ بأسعار الذهب باستخدام نماذج ARIMA و GARCH

تناولت هذه الدراسة تقدير نموذج هجين للتتبؤ بأسعار الذهب ، حيث في المرحلة الأولى تم استخدام أفضل نموذج من نماذج ARIMA لمدلة البيانات الخطية من السلسلة الزمنية ، بينما في المرحلة الثانية تم استخدام نماذج GARCH لمدلة الأنماط غير الخطية من الباقي ، أي تقدير نموذج هجين يجمع بين نموذج ARIMA مع مكونات الخطأ GARCH.

من بين نتائج البحث :

⇨ التموذج المجين لديه القدرة على التغلب على عدم الخطية و البيانات الخالدة ، و هو التموذج الأفضل في التنبؤ.

7- دراسة Rosen Christer (2017) بعنوان :

Time series econometric Heteroskedasticity in stock Return Data :

volume and number of Trades versus GARCH effects

تمثلت هذه الدراسة في دراسة سوق الأسهم بالسويد ، و هدفت إلى بناء و تفسير نموذج GARCH للسلسل الرزمية لحجم التداولات ، و بينت الدراسة إلى أن أغلب الشركات يمثلها نموذج GARCH بمعنى جيدة .

و أهم نتائج هذا البحث :

⇨ فعالية نماذج GARCH للسلسل الرزمية في النمذجة و التنبؤ

3-الدراسة الحالية و خصوصياتها :

تناولت الدراسات السابقة بالدراسة و التحليل لنماذج السلالس الزمنية الخعلية منها و غير الخعلية و كذا بعض النماذج الطرق المعلمية و الذكبة كالشبكات العصبيةو كان تطبيقها في شئ ميادين العلوم الاقتصادية و الادارية كالميدان الصحي و الفلاحي و الاداري

حيث اتفقت و خلصت نتائج كل الدراسات السابقة على أهمية و فعالية السلالس الزمنية في النماذجة و التنبؤ في ميدان علوم اتخاذ القرار .

أما دراستنا الحالية فتشترك مع الدراسات السابقة في أنها تستعمل نماذج السلالس الزمنية الخعلية و غير الخعلية في النماذجة و التنبؤ و كذا استعمال الشبكات العصبية و المقارنة بين مختلف الطرق و الأساليب المستعملة

و تختلف عن الدراسات السابقة من حيث بيئة الدراسة ، حيث طبقت دراستنا الحالية على الاشتراكات الشهرية للأنترنت لدى وكالات المتعاملين في السوق الجزائرية ، هذا ما أعطى دراستنا هذه ميزة خاصة عن مثيلاتها .

كما اتفقت دراستنا على أن تحليل السلالس الزمنية أهمية كبيرة و فعالية في النماذجة و التنبؤ في الميدان الاقتصادي و الاداري .

إن عملية التنبؤ باستخدام نماذج السلسلة الزمنية الخطية و غير الخطية يتأثر بشكل أو بأخر بمجموعة من العوامل كنوع بيانات السلسلة الزمنية ، طبيعة نوع النموذج المراد تقادره، حجم و دقة البيانات المستعملة، هذا ما يؤثر على دقة التنبؤات المستقبلية ، ضيف إلى ذلك أن مكونات السلسلة الزمنية في حد ذاتها علاقة باختيار نوع النموذج و ما مدى قدرته التنبؤية.

فمثلاً ما هو النموذج الملائم لنماذج السلسلة الزمنية التي تحتوي على عنصر الموسمية فهل نستعمل نماذج SARIMA مثلاً أم نستعمل نماذج التحليل الطيفي، وكذلك مثلاً في حالة السلسلة الزمنية التي تحتوي على التذبذبات العشوائية فما هو النموذج الملائم ، هل نستعمل نموذج ARMA-ARCH أم نستعمل نموذج ARCH فقط و هكذا . و لكي تحصل على نموذج تنبؤي يقترب من الواقع لابد من الأخذ بعين الاعتبار طبيعة السلسلة الزمنية إن كانت سلسلة زمنية خطية أو سلسلة زمنية غير خطية و كلها مركبات السلسلة الزمنية من مركبة فصلية أو عشوائية أو دورية.



الفصل الثاني:

الدراسة التطبيقية:



التنبؤ باشتراكات الأنترنت باستخدام خاذج السلسل الزمنية
الخطية وغير الخطية

بعد تعرقنا في الفصل النظري إلى الأدبيات النظرية حول التنبؤ و السلاسل الزمنية و أهميتها العلمية و العملية في ميدان العلوم الاقتصادية و العلوم الادارية من خلال التأصيل النظري للمفهومين (التنبؤ ، السلاسل الزمنية...) و التطرق إلى أهم الدراسات السابقة للموضوع في هذا الحال .

سوف نقوم في هذا الفصل إلى التطرق إلى الجانب العملي التطبيقي للبحث من خلال استعراض منهجة و أدوات الدراسة أي التطرق إلى طرق التنبؤ و التمذجة للسلاسل الزمنية الخطية و غير الخطية و الشبكات العصبية .

كما ستناول بالدراسة و التحليل لنمذجة السلاسل الزمنية الممثلة لاشتراكات الأنترنت لدى وكالي (مغنية _ سعيدة) بالنسبة للمتعاملين مقدمي هذه الخدمة في السوق الجزائرية محل الدراسة (جيزي-موبيليس - أوريدو - اتصالات الجزائر) و التوقع المستقبلي باستخدام نماذج السلاسل الزمنية الخطية ARMA و نماذج السلاسل الزمنية غير الخطية ARCH و نماذج الشبكات العصبية ANN .

المبحث الأول : نموذج و منهجية الدراسة

1-منهجية الدراسة :

1-1-أسلوب الدراسة :

كما و قد سبق أن أشرنا أن أسلوب دراستنا يمزج بين الأسلوب الوصفي التحليلي و الأسلوب الكمي و ذلك لطبيعة بحثنا و كذلك طبيعة الموضوع الذي نتناوله .

1-2-مصادر جمع البيانات :

إن في دراستنا هذه اعتمدنا على عدة مصادر أساسية في جمع البيانات و تشكيل السلالسل الزمنية للاشتراكات الشهرية للأنترنت لدى وكالات المتعاملين في السوق الجزائرية محل الدراسة منها :

1-2-1-المصادر الأولية :

و تمثلت في التقرب إلى وكالتي معنية و سعيدة لكل متعامل من المتعاملين في السوق الجزائرية للأنترنت: جيزي ، موبيليس ، أوريدو ، و اتصالات الجزائر . و الإطلاع على بعض الوثائق والملفات ذات الصلة بموضوع بحثنا في إطار ما يسمح به القانون .

1-2-2-المصادر الثانوية :

و تمثلت في :

↳ الكتب و المراجع العلمية و الاطروحات التي تتناول ذات الموضوع

↳ المقالات و الدراسات و البحوث المتخصصة و المجلات العلمية

↳ مواقع الأنترنت للشركات محل الدراسة (جيزي_موبيليس_أوريدو_اتصالات الجزائر)

الدراسة التطبيقية:

1-3-مجتمع و عينة الدراسة :

1-3-1-مجتمع الدراسة:

يتمثل مجتمع دراستنا في الشركات المستمرة و المقدمة لخدمة تكنولوجيا الأنترنت سواء الخاصة أو العامة منها و التي تنشط في السوق الجزائري .

1-3-2-عينة الدراسة :

أما عينة الدراسة فتتمثل في وكالات الشركات المستمرة في خدمة الأنترنت : شركة اتصالات الجزائر " وكالة سعيدة _ وكالة مغنية " ، شركة موبيليس " وكالة مغنية _ وكالة سعيدة " ، شركة أوريدو " وكالة مغنية _ وكالة سعيدة " ، شركة جيزي " وكالة مغنية _ وكالة سعيدة " .

1-4-متغيرات الدراسة :

دراستنا هذه تعتمد على متغيرين أساسين حسب طبيعتها و هما :

متغير الزمن : و يشمل الأشهر أي الفترات الزمنية التي يتم اعتماد فيها المشاهدات ، أي كل قيمة في سلسلة زمنية تعبر عن مشاهدة في شهر معين .

المشاهدات الشهرية (عدد المشتركين) : و تعر عن قيم الظاهرة المدروسة و المتمثلة في عدد المشتركين المنتسبين لدى وكالات المعاملين في السوق الجزائرية محل الدراسة .

2- أدوات الدراسة :

لإنعام دراستنا و لنمدحه السلسلة الزمنية التي بحوزتنا سوف نعتمد على الأدوات القياسية أو النماذج القياسية التالية : نماذج ARMA ، نماذج ARCH ، و الشبكات العصبية .

1-2- النماذج الخطية : ARMA

1-1-2-تعريف نموذج ARMA الخطية :

إن التجربة العلمية للتنبؤات أثبتت فعالية التنبؤ باستخدام النماذج الانحدارية من الشكل: AR والذى يعني الإنحدار الذاتي و كذا نموذج MA و الذي يعني المتوسط المتحرك ، و حين جمع هذين التعريفين AR و MA في نموذج تنبؤي واحد يصبح من الشكل ARMA و الذي يطلق عليه: "نموذج الانحدار الذاتي – المتوسط المتحرك " فلقد لقي هذا النموذج إقبالاً واسعاً من طرف الباحثين و المهتمين بالتنبؤات بالسلسلة الزمنية ، و خاصة من طرف الباحثين Box and Jenkiz الذي في بعض الكتبات يُعد اسمهما مقترن بهذه النماذج . حيث يعود الفضل لهذين الباحثان في وضع منهجة محكمة لاستخدام هذه النماذج في التنبؤ حيث تتلخص هذه منهجة في المراحل الأربع التالية¹ :

- تعريف النموذج
- تقدير النموذج
- تشخيص و اختبار النموذج
- التنبؤ

¹- مراس محمد و بلعربي عبد القادر " بناء نموذج قياسي لافتراضات الأنترنت لدى المتعامل اتصالات الجزائر باستخدام نماذج ARIMA " مجلة الابتكار و التسويق ، جامعة بليبياس، الجزائر ، العدد 04 ص 07 .

الدراسة التطبيقية:

و للإشارة فقط فقد نجد في بعض الدراسات أن من يزيد أو ينقص مرحلة و لكن في مضمونها تكون إما مدرجة في إطار مرحلة من المراحل و هذا في حالة الإنقاذه أو اشتقاء مرحلة من أحد المراحل الأربع بغية التوضيح و ذلك في حالة الزيادة

فحسب الكتابات المتخصصة نجد أن التعريف الرياضي لنموذج ARMA هو كما يلي²:

نموذج الانحدار الذاتي ، المتوسط المتحرك من الدرجة (p,q) و الذي يرمز له بالرمز (p,q) لسلسلة زمنية مشاهداتها كما يلي : $\{y_1, y_2, y_3, \dots, y_{n-1}, y_n\}$ يكتب على الشكل

النموذج التالي³ :

$$Y_t = \alpha_0 + \phi_1 Y_{t-1} + \phi_2 Y_{t-2} + \dots + \phi_p Y_{t-p} + \beta_0 - \theta_1 x_{t-1} - \dots - \theta_q x_{t-q}$$

حيث :

x_t : سلسلة التشويش الأبيض و هو يتبع التوزيع الطبيعي كما يلي :

$$X_t \rightarrow N(0, \sigma^2)$$

α_0 : معلم ثابت

$\phi_1, \phi_2, \dots, \phi_p$: معامل الانحدار الذاتي AR

$\theta_1, \theta_2, \dots, \theta_q$: معامل المتوسط المتحرك MA

²-Regis Bourbonnais : "Econométrie manuelle et exercice corrigées", 5^e édition Dunod, Paris 2006.

³- بن أحمد احمد " التمذجة القياسية للاستهلاك الوطني للطاقة الكهربائية في الجزائر خلال الفترة (1988_10:2007_03) " رسالة ماجister ، جامعة الجزائر - الجزائر . 2008

٤-٢-١-٢- البرهنة الرياضية لنموذج ARMA(p,q) :

الآن و بعد تعريف كل من نموذج ARMA المعياري، نحاول تبسيط عبارة نموذج ARMA(p,q)

بتتابع الخطوات التالية^٥:

$$\begin{aligned} y_t &= \alpha_0 + \phi_1 y_{t-1} + \phi_2 y_{t-2} + \dots + x_t - \theta_1 x_{t-1} - \theta_2 x_{t-2} + \phi_p y_{t-p} - \theta_q x_{t-q} \\ \Rightarrow y_t - \phi_1 \beta y_t - \phi_2 \beta^2 y_t - \dots - \phi_p \beta^p y_t &= \alpha + x_t - \theta_1 \beta x_t - \theta_2 \beta^2 x_t - \dots - \theta_p \beta^q x_t \\ \Rightarrow \phi_p(\beta) y_t &= \alpha + \theta_q(\beta) X_t \end{aligned}$$

حيث : $\theta_p(\beta)$: عامل الإندار

$\phi_p(\beta)$: عامل المتوسط المتحرك

و للتوضيح أكثر هذه العبارة لا بد من إعطاء نماذج عددياً مختلفة السيرورات لنموذج ARMA مع مختلف الدرجات و ذلك من أجل نزع اللبس عن النموذج الرياضي^٦:

٤-٢-١-٢- نموذج المتوسط الثابت^٧:

يمثل نموذج المتوسط الثابت بالرمز (ARMA(0,0))، حيث يمكن كتابة صياغة هذا النموذج كما يلي^٨:

$$\begin{aligned} \phi_0(\beta) y_t &= \alpha + \theta_0(\beta) x_t \\ \Rightarrow (1)Y_t = \alpha + (1)x_t &\Rightarrow Y_t(1) = \alpha + x_t(1) \\ \Rightarrow Y_t &= x_t + \alpha \end{aligned}$$

حيث أن x_t : و التي تمثل جهة المتوسط المتحرك تكون تتبع توزيع طبيعي بمتوسط معروف و تباين

$$x_t \rightarrow N(0, \sigma^2) \quad \text{ثابت كما يلي:}$$

⁴ - Michel Terraza , Régis Bourbonnais , "Analyse des séries temporelles , application à l'économie et à la gestion " 2 em édition , Dunod , paris

⁵ محمد شيخي " طرق الاقتصاد الكميسي : محاضرات و تطبيقات " مرجع سابق ص 76.

⁶ صلاح الدين كروش ، " الواقع بالبيانات باستخدام نماذج احصائية " مرجع سابق ص 120 و ص 121 و ص 122

⁷ -Guy Mélard : « Méthodes de prévisions à court terme ». Ellipses, Bruxelles 1990.p90

⁸-Régis Bourbonnais , Jean Claude usurier « Prévision des ventes _Théorie et pratique » 3 ème édition ECONOMICA , Paris 2000.

2-1-2-نماذج الانحدار الذاتي من الدرجة الأولى :

من بين الخصائص الرياضية التي يتميز بها نموذج ARMA $ARM(1,0) = AR(1)$ بحد الخاصية :

بالتالي يمكن كتابة هذا النموذج على شكل إنحدار ذاتي كما يلي⁹ :

$$\begin{aligned}\phi_1(\beta)y_t &= \alpha + \theta_0(\beta)x_t \\ \Rightarrow (1 - \phi_1\beta)y_t &= \alpha x_t \\ \Rightarrow Y_t &= \alpha + \phi_1 y_{t-1} + x_t\end{aligned}$$

دائماً كما هو معلوم x_t يتبع توزيع طبيعي بمتوسط معدوم و تباين ثابت $\rightarrow N(0, \sigma^2)$.

2-1-3-نماذج المتوسط المتحرك من الدرجة الأولى :

دائماً من الخصائص التي يتميز بها نموذج ARMA للسلسل الزمنية نستخلص الخاصية التالية :

$ARMA(0,1) = MA(1)$ و منه نستخلص أن كتابة نموذج $(0,1)$ ARMA هو نفسه كتابة نموذج

المتوسط المتحرك من الدرجة الأولى كما يلي¹⁰ : $MA(1)$ إذن يمكن كتابة النموذج كما يلي¹⁰ :

$$\begin{aligned}\phi_0(\beta)y_t &= \alpha_0 + \theta_1(\beta)X_t \\ \Rightarrow Y_t &= \alpha + (1 - \theta_1\beta)x_t \\ \Rightarrow Y_t &= \alpha + x_t - \theta_1 x_{t-1}\end{aligned}$$

و دائماً لا بد تحقق الشرط : $x_t \rightarrow N(0, \sigma^2)$

2-1-4-نماذج الانحدار الذاتي من الدرجة الثانية¹¹ :

من نماذج الإنحدار الذاتي ممكن الدرجة الأولى نطور نموذج إنحدار ذاتي من الدرجة الثانية حيث $AR(2,0) = ARMA(2,0)$ و منه

نكتب النموذج كما يلي :

⁹- بري عدنان "طرق التحليل الاحصائي" مرجع سابق

¹⁰- تومي صالح "مدخل لنظرية القياس الاقتصادي" مرجع سابق

¹¹- محمد شيخي "طرق الاقتصاد القياسي : محاضرات وتطبيقات"

$$\begin{aligned}\phi_2(\beta)y_t &= \alpha + \theta_0(\beta)X_t \\ \Rightarrow (1 - \phi_1\beta - \phi_2\beta^2)y_t &= \alpha + x_t \\ \Rightarrow y_t &= \alpha + \phi_1y_{t-1} + \phi_2y_{t-2} + x_t\end{aligned}$$

حيث : $x_t \rightarrow N(0, \sigma^2)$

2-1-2-5-نموذج الانحدار الذاتي – المتوسط المتحرك من الدرجة (1.1) : ما سبق

يمكن جمع نموذج انحدار ذاتي من الدرجة الأولى (1) AR مع نموذج متوسط متحرك MA(1) وذلك ليعطي نموذج انحدار ذاتي – متوسط متحرك من الدرجة (1,1) حيث يبرز بـ (1,1) ومنه يمكن كتابة نموذج كما يلي¹² :

$$\begin{aligned}\phi_1y_t(\beta) &= \alpha + \theta_1(\beta)X_t \\ \Rightarrow (1 - \phi_1\beta)Y_t &= \alpha + (1 - \theta_1\beta)x_t \\ \Rightarrow y_t &= \alpha + \theta_1y_{t-1} + x_t - \theta_1x_{t-1}\end{aligned}$$

حيث : $x_t \rightarrow N(0, \sigma^2)$

2-1-3-نماذج السلسلة الزمنية الغير مستقرة : ARIMA¹³

في هذا الشق من البحث سوف تتعلق إلى قسم آخر من نماذج السلسلة الزمنية ، و الذي يعتبر قسم مهم لأنه يدرس جانب العشوائية في السلسلة الزمنية أو بصيغة أخرى يدرس الاستقرارية في السلسلة الزمنية للظواهر الاقتصادية ، و هذا ما تميز به العديد من السلسلة الزمنية :

2-1-3-1-دراسة عدم الاستقرار في المتوسط :

كما هو معلوم أن السلسلة الزمنية المستقرة هي تلك السلسلة الزمنية التي تتلخص فيها الشروط الإحصائية التالية :

¹²- صلاح الدين كروش ، "التوقع بالمبيعات باستخدام نماذج احصائية" ص 150

¹³- صلاح الدين كروش ، "التوقع بالمبيعات باستخدام نماذج احصائية" مرجع سابق ص 158 .

$$\begin{aligned} E(y_t) &= \sigma^2 \\ E(y_t, y_{t-1}) &= \text{Var}(y_t, y_{t-1}) = \gamma_1 \\ E(y_t - \mu)(y_{t-1} - \mu) &= \mu \end{aligned}$$

و من تم يظهر لنا أن عدم الاستقرار في السلسلة الزمنية يأتي من عاملين إحصائيين و هما :

$$E(y_t) = \mu \quad \forall t \quad \text{المتوسط و التباين و منه :}$$

و هذا يعني أن يكون متوسط السلسلة الزمنية ثابتًا على حلول الزمن، و منه السلسلة الزمنية الغير المستقرة في جانب المتوسط يكون نموذجها كما يلي :

$$\begin{aligned} y_t &= b_0 + b_1 t + \dots + b_d t^d + x_t \\ x_t &\rightarrow N(0, \sigma^2) \end{aligned}$$

2-3-2- دراسة عدم الاستقرار في التباين :

كذلك من شروط إستقرار السلسلة الزمنية هو أن يكون تباينها ثابت و ذلك كما يلي :

$$\text{Var}(y_t) = \gamma_0 \quad \forall t$$

فمثلاً للنموذج العشوائي التالي :

$y_t = y_{t-1} + x_t / x_t \rightarrow N(0, \alpha^2)$: نجد من التعويض المستمر و المتكرر ما يلي :

$$\begin{aligned} E(y_t) &= 0 \\ \text{Var}(y_t) &= t\sigma^2 \quad \text{و بأخذ التوقع و التباين كما يلي :} \end{aligned}$$

حيث نلاحظ أن التباين يعتمد على الزمن t ، و منه سوف تأخذ التفاضل الأول للسلسلة كما

$$W_t = \nabla y_t = y_t - y_{t-1} = x_t \quad \text{يلي :}$$

و بأخذ التوقع و التباين نجد أن :

$$\begin{aligned} E(w_t) &= 0 \\ \text{Var}(w_t) &= \alpha^2 \end{aligned}$$

إذن التفاضل الأول للسلسلة الزمنية الغير المستقرة حولها إلى سلسلة زمنية مستقرة

الدراسة التطبيقية:

و بشكل عام لو كان التباين دالة مستوى (متوسط) متغير على الشكل : $v(y_t) = cf(\mu_t)$

حيث : $c > 0$

$f(\cdot)$: دالة معروفة تعطى قيمة غير سالبة

μ_t : متوسط يتغير مع الزمن .

و بالتالي التباين يعتمد على الزمن، و هنا نحاول إيجاد تحويل $(y_t)T$ أي إيجاد دالة $T(\cdot)$ لاستقرار التباين فالتحويل يكون كما يلي :

$$y_t' = T(Y_t) = \frac{y_t^{\lambda} - 1}{\lambda}$$

حيث يعطي متسلسلة مستقرة في التباين حيث $(-\infty, +\infty) \ni \lambda$ و هو معلم التحويل .

3-3-3-ARIMA نماذج

إن عدم الاستقرار في نماذج السلسلات الزمنية ARMA يعني معه دائماً مفهوم الاستقرار أي جعل السلسلة الزمنية الغير مستقرة مستقرة و ذلك بإدراج مفهوم التكامل للسلسلات الزمنية ، فنقول أن السلسلة الزمنية مستقرة من الدرجة الأولى أي أنه تم إجراء التغريق أو الفرق الأول أو التفاضل الأول أو التكامل الأول و لذلك نقول أن السلسلة متكاملة من الدرجة الأولى و يتم ذلك كما

$$\Delta y_t = y_t - y_{t-1} \quad \text{يلي^{14}}$$

أما عن نماذج ARMA المتعلقة بالسلسلات الزمنية الغير مستقرة حيث يتم إجراء عليها بعض العمليات لجعلها مستقرة فتسمى بنماذج ARIMA أي : نماذج الانحدار الذاتي – التكاملية – المتوسط المتحرك ¹⁵، حيث يرفق بكل شق من هذا النموذج بدرجة معينة كما يلي (p,d,q) حيث p ترمز لدرجة ترميز الانحدار الذاتي ، أما d فيشير إلى درجة تكامل السلسلة و q ترمز إلى

¹⁴- Lardic S et Mignon , "économie des séries temporelles macroéconomique" , Economica , 2000

¹⁵- عاشر "استخدام نماذج يوكس جنكيز ARIMA في التنبؤ بإنتاج الطاقة الكهربائية" مجلة جامعة كربلاء العلمية ، مجلد 12 ، العدد 02 ، 2013 .

درجة المتوسط المتحرك ، فنقول نموذج ARIMA من الدرجة (p,d,q) و يكتب (p,d,q) ¹⁶ ARIMA.

أما من الناحية الرياضية فيمكن نمذجة السلسلة الزمنية المستقرة $y_t = \nabla^d w_t$ على شكل نموذج إندار ذاتي - متوسط متحرك من الدرجة (p,q) أي $ARIMA(p,q)$.

$$\Phi p(B)w_t = \Phi p(B)\nabla^d y_t = \alpha' + Q_q(B)x_t$$

حيث أن : $x_t \rightarrow wn(0, \alpha^2)$

يمكن كتابة هذه السلسلة أيضا كما يلي :

$$x_t \rightarrow wn(0, \alpha^2)$$

حيث أن هذا النموذج الرياضي الأخير سمي نموذج الإندار ذاتي - التكامل - المتوسط المتحرك من الدرجة (p,q) حيث α' تمثل معلم الانحراف أو الانزياح أو التفاضل أو التكامل أو معلم درجة الاستقرار حيث هذه المعلمة d محصور في المجال $-\infty$ و $+\infty$.

4-3-1-2 : ARIMA - أنواع و حالات نماذج

إن نماذج السلسلات الزمنية التكاملية هي عديدة و متنوعة و ذلك حسب درجة كل شق من النموذج العام ARIMA فعلى سبيل المثال ، إذا كانت درجة التكامل 0 فإننا نحصل على نموذج تكاملی صغری أي أن السلسلة مستقرة من المبدأ هذا ما يجعلنا نكتب نموذج $ARIMA(p,0,q)$ على شكل نموذج إندار ذاتي - متوسط متحرك من الدرجة (p,q) كما يلي :

بدون إظهار $I=0$ في الكتابة ، و هكذا بالمثل فنحصل على حالات و أنواع منها :

- نموذج الإندار ذاتي - التكامل

- نموذج المتوسط المتحرك - التكامل

¹⁶ سعيد هنهاط " دراسة اقتصادية و قياسية لظاهرة التضخم في الجزائر " رسالة ماجister ، جامعة ورقلة ، الجزائر ، 2005

الدراسة التطبيقية:

- نموذج المشي العشوائي بالعمراف

نموذج الإنحدار الذاتي - التكاملی :

نموذج الإنحدار الذاتي التكاملی هو نموذج الإنحدار الذاتي - التكاملی - المتوسط المتحرك من الدرجة (p,d,q) أي ARIMA(p,d,q) و من خصائص السلسلة الزمنية يمكن كتابة النموذج السابق على شكل (p,d) ARI و الذي يساوي ARIMA (p,d,q) ، فمثلاً إذا كان لدينا نموذج إنحدار ذاتي من الدرجة الأولى لسلسلة زمنية مستقرة من الدرجة الأولى كذلك فيمكن كتابة النموذج كما يلي : ARI(1,1) حيث الشكل الرياضي لهذا النموذج هو :

$$\begin{aligned} \phi_1(B)(1-B)y_t &= \sigma' + \theta_0(B)x_t \\ (1-\phi_1B)(1-B)y_t &= \sigma' + x_t \quad \text{أي} \\ \{1-(\phi_1+1)B+\phi_1B^2\}y_t &= \sigma' + x_t \\ y_t &= \sigma' + (\phi_1+1)y_{t-1} - \phi_1y_{t-2} + x_t \quad \text{أين} \\ x_t &\rightarrow wn(0, \sigma^2) \\ |\phi_1| &< 1 \end{aligned}$$

نموذج المتوسط المتحرك - التكاملی :

نموذج المتوسط المتحرك التكاملی هو نموذج الإنحدار الذاتي - التكاملی - المتوسط المتحرك من الدرجة (o,d,q) أي ARIMA (o,d,q) ، حيث أن من خصائص نماذج السلسلة الزمنية تسمح لنا بكتابة IMA(d,q) و التي من الناحية النظرية تساوي ARIMA(o,d,q) فلو كان لدينا نموذج متوسط متحرك من الدرجة الأولى فيمكن كتابة IMA(μ) أي IMA(μ) (0,1,1) حيث الصيغة الرياضية لهذا النموذج كما يلي :

$$\begin{aligned} \phi_0(B)(1-B)y_t &= \sigma' + \theta_1(B)x_t \\ (1-B)y_t &= \sigma' + (1-\theta_1B)x_t \\ y_t - Y_{t-1} &= \sigma' + x_t - \theta_1x_t \quad \text{أي} \\ y_t &= \sigma' + y_{t-1} + x_t - \phi_1y_{t-1} \\ x_t &\rightarrow wn(0, \sigma^2) \\ |\Phi_1| &< 1 \quad \text{أين} \end{aligned}$$

نموذج المشي العشوائي بإنحراف:

بكل بساطة فإن نموذج المشي العشوائي بإنحراف هو نموذج الإنحدار الذاتي - التكاملي - المتوسط المتحرك من الدرجة $(0,d,0)$ ARIMA، أي أن هذه السلسلة الزمنية لا تتبع نموذج إنحدار ذاتي و ليس لأن خطاها صفة المتوسط المتحرك و كذا هي سلسلة زمنية غير مستقرة ، فإن توفرت كل هذه الشروط تقول أن هذه السلسلة الزمنية تتبع نموذج مشي عشوائي بإنحراف و الذي نقصد به درجة التكامل أو الاستقرار .

حيث إذا كانت لدينا سلسلة زمنية تتبع مشي عشوائي أو سيرورة عشوائية و هي مستقرة من حيث الصيغة الرياضية لذلك تكتب كما يلي :

$$\begin{aligned}\phi(B)(1-B)y_t &= \sigma' + \theta_0(B)x_t \\ (1-B)y_t &= \sigma' + x_t \\ y_t &= \sigma' + Y_{t-1} + x_t \\ x_t &\rightarrow w_n(0, \sigma^2)\end{aligned}$$

حيث:

حيث أن نماذج السلسلات الزمنية التي تتبع سيرورة المشي العشوائي بإنحراف تلك النماذج الإقتصادية التي تتبع الحالات الخاصة أو الغلواهر النادرة في الاقتصاد و التي لا يمكن نمذجتها بأحد العرق الإحصائية أو القياسية بل نلجأ إلى طرق بحوث العمليات كالمحاكاة .

ولكن حديثاً نجد بعض النماذج الرياضية و الإحصائية التي أصبحت تدمج مثل هذه السلسلات التي تتبع السيرورة أو المشي العشوائي و ذلك من خلال التطور الذي عرفه علم الاقتصاد القياسي و التعلبيقي فنجد نماذج الحالة و غيرها من النماذج الرياضية التي أصبحت تدرج ضمن مقررات القياس الاقتصادي .

4-1-2 نماذج السلسلات الزمنية الموسمية SARIMA .

إن في كثير من الغلواهر الإقتصادية تأخذ شكل سلسلة زمنية موسمية أي أن السلسلة الزمنية لهذه الغاية تعطي أنماط متباينة تتكرر على فترات زمنية متساوية البعض مثل أن يتكرر النمط كل أربعة

وعشرون ساعة أو كل سبعة أيام أو كل شهر أو كل ثلاثة أشهر أو كل سنة ، ومعالجة هذه الأخيرة و دراستها و نمذجتها لا بد من مراعاة تثبيت أو حذف عنصر أو مركبة الموسمية من السلسة و ذلك لإعطاء تبعيات قريبة من الواقع و الحقيقة النسبية .¹⁷

إذن دراسة الموسمية في السلسل الزمنية أمر هام لإعطاء الفلاحة أو الغلواهر محل الدراسة نوع من المصداقية الاقتصادية و الإحصائية . أي التوفيق ما هو حاصل حقا في الواقع الاقتصادي و بين التقدير الرياضي الإحصائي للخروج بنتائج تساعد على التنبؤ و اتخاذ القرارات .¹⁸

لذلك سوف نطرق هنا لخواص السلسل الزمنية الموسمية و طرق نمذجتها بواسطة نماذج الإنحدار الذاتي التكاملية المتوسط المتحرك .

4-1-2-المودج الموسمي : SARIMA

إن نموذج SARIMA هو نموذج إنحدار ذاتي متحرك لسلسلة زمنية متكاملة أي تنضبط استقراريتها عند درجة "d" معينة ، مع وجود مركبة الموسمية أو الفصلية S حيث S تعبّر عن نوع الموسمية هل هي يومية ، أسبوعية ، شهرية ، سنوية ، فمثلا إذا كانت الموسمية في ظاهرة معينة هي الشهور فإن S تساوي 12

فإذا اعتبرنا النموذج الموسمي التالي :

$SARIMA(0,1,1)(1,1,0)_{12} p.d.q$ كما يلي :

فإن شكل هذا النموذج يكتب كما يلي :

$$(1 - \phi_1 B^1) y_t (1 - B) = (1 - \theta_1 B) x_t$$

حيث :

$$x_t \rightarrow NW(0, \sigma^2)$$

¹⁷-بن قسمى طارق . " استخدام نماذج السلسل الزمنية الموسمية للتصدير لمبيعات الطاقة الكهربائية _ دراسة حالة الشركة الوطنية للكهرباء و الغاز " ، رسالة ماجister ، جامعة بسكرة ، الجزائر ، 2014 .. ص 66

¹⁸- فائق جراح ياسين " التأثير الاقتصادي بالمساحات المزروعة محصول الخطة في العراق باستخدام نماذج ARIMA للعدة 2008_2015 " مجلة الأنبار للعلوم الزراعية ، العراق ، الجلد 09 . العدد 02 ، 2011 .

الدراسة التطبيقية:

و بشكل عام فإن نموذج الإنحدار الذاتي التكاملی المتوسط المتحرك بالدرجة s $(P.D.Q)^s$ يكتب على الشكل :

$$\phi_p(B)\phi_{p'}(B^s)(1-B)^d(1-B^s)^d y_t = \sigma' + \theta q(B)H_q(B^s)x_t$$

حيث $\phi_p(B)$ ، و $\theta_q(B)$ معاملات الإنحدار الذاتي و المتوسط المتحرك غير الموسمية، أما $(B^s)^{\phi}$ فهو معامل الإنحدار الذاتي الموسمي و هو يساوي:

$$\phi_p(B^s) = 1 + \phi_1 B^s + \phi_2 B^{2s} + \dots + \phi_p B^{ps}$$

و كذلك $(B^s)^{\theta}$ هو معامل المتوسط المتحرك الموسمي و هو يساوي :

$$\Theta_q(B^s) = 1 + \Theta_1 B^s + \Theta_2 B^{2s} + \dots + \Theta_q B^{qs}$$

حيث يسمى هذا النموذج بالنموذج التضاعفي الموسمي و سمي بهذا الاسم لأنه ضرب النموذج الموسمي بالنموذج الغير موسمي كما يلي¹⁹ :

P : الموسمية في الإنحدار الذاتي بدرجة

Q : الموسمية في المتوسط بدرجة

و هذا حسب ما ورد في كتاب « Analyse des séries temporelles » للمؤلفين M.Terraza و Bourbonnais فإن فكرة هذه السلسلة الموسمية كانت من الاعمال التي قام بها كل من Harvey و Nelson في توضيح « Trend-Cycle » للسلسلة الزمنية .²⁰

¹⁹-Sandrine Lardic, Valérie Mignon : « Économétrie des séries temporelles macroéconomiques et financières ». ECONOMICA, Paris 2002.

²⁰ - Michel Terraza , Régis Bourbonnais , 'Analyse des séries temporelles , application à l'économie et à la gestion ' 2 em édition , Dunod , paris

الدراسة التطبيقية:

2-4-2-أنواع نماذج السلسلة الزمنية الموسمية :

من التحليل السابق نلاحظ أن النموذج الموسعي التضاعفي هو نموذج للسلسلتين الأولى تحتوي على الموسمية و الثانية لا تحتوي على الموسمية و ذلك حسب ما قدمه Box et Jenkins²¹ و بالتالي نجد الأنواع التالية من النماذج الموسمية :

نموذج الانحدار الذاتي الموسعي SAR(P).(P)s : فهو نموذج لسلسلة زمنية تحتوي على موسمية

كما يلي : $AR(P)^* AR(p)s$

حيث :

$AR(p)$: النموذج الانحداري الذي لا يحتوي على الموسمية

$AR(p)s$: النموذج الانحداري الذاتي الذي يحتوي على الموسمية

و بالتالي نحصل على النموذج التضاعفي الموسعي $AR(p)(p)s$ حيث s درجة الموسمية

نموذج المتوسط المتحرك الموسعي SMA(Q)(Q)s : فهو نموذج متوسط متحرك لسلسلة زمنية

تحتوي على الموسمية أي : $MA(q)^* MA(Q)s$

$MA(q)$: المتوسط المتحرك الغير موسمي

$MA(Q)$: المتوسط المتحرك الموسعي

s : درجة الموسمية

نموذج إنحدار ذاتي - متوسط متحرك موسمي SARMA(p,q)(P,Q)s : فهو نموذج إنحدار ذاتي

و ذات متوسط متحرك لسلسلة زمنية تحتوي على موسمية كما يلي :

$ARMA(p,d)^* ARMA(p,q)s$

²¹ - Régis Bourbonnais : "Econométrie manuelle et exercices corrigés", 5^{ème} édition Dunod, Paris 2006.

الدراسة التطبيقية:

$ARMA(p,d)$: الإنحدار الذاتي - المتوسط المتحرك الغير موسمي

$ARMA(p,q)s$: الإنحدار الذاتي - المتوسط المتحرك موسمي

s: درجة الموسمية

نموذج انحدار ذاتي - متوسط متحرك تكاملی موسمی : $SARIMA(p,d,q)(P,D,Q)s$

أي هو نموذج انحدار ذاتي و متوسط متحرك لسلسلة زمنية غير مستقرة و تحتوي على الموسمية

$ARIMA(p,d,q)*ARIMA(P,D,Q)s$

حيث :

$ARIMA(p,d,q)$: الإنحدار الذاتي - التكاملی المتوسط المتحرك الغير موسمي

$(P,D,Q)s$: الإنحدار الذاتي - التكاملی المتوسط المتحرك موسمي

s: درجة الموسمية

2-1-5- عرض منهجية بوكس_جنكнер²² :

إن الوصول إلى اختيار النموذج الأنسب لسلسلة المدروسة يتطلب المرور بأربعة مراحل وهي²³ :

2-1-5-1- مرحلة التعرف على النموذج : identification

تعتبر هذه المرحلة من أهم المراحل لأنه يتم من خلالها التعرف على النموذج الأكثر توافقاً مع السلسلة الزمنية وذلك من خلال دراسة بدالة الارتباط الذاتي correlogramme ودالة الارتباط الذاتي الجزئي auto-corrélation partielle وتحليل منحنياتها البيانية والتي تسمح بتحديد النماذج الملائمة، ولكن الأهم في هذه المرحلة هو التأكد من استقرارية السلسلة الزمنية (X_t)

²²- محمد شيخي " طرق الاقتصاد القياسي : محاضرات وتطبيقات " مرجع سابق

²³- صلاح الدين كوش ، " التوزع بالبيانات باستخدام نماذج احصائية " مرجع سابق ص 165 و ص 166 و ص 167

الدراسة التطبيقية:

والتخلص من مركبة الاتجاه العام والركبة الفصلية وذلك بتطبيق طريقة الفروقات: $\Delta X_t = X_t - X_{t-1} \Leftrightarrow \Delta X_t = (1 - \beta)X_t$ أي تصبح هي ΔX_t السلسلة المستقرة.

وفي حالة السلسلة ΔX_t غير مستقرة نواصل في تطبيق طريقة الفروقات إلى غاية الوصول إلى

$$\Delta^d X_t = (1 - \beta)^d X_t \quad \text{مستقرة حيث أن:}$$

حيث β : معامل التأخير

d : درجة الفروقات

2-5-1-2 مرحلة التقدير²⁴ : estimation

بعد التعرف على النموذج المرافق للسلسلة (X_t) وذلك بتحديد كل من (p.d.q) في المرحلة الأولى، تأتي المرحلة المواتية والتي تمثل في تقدير المعامل θ .

$$\begin{aligned}\phi &= \phi_1, \phi_2, \dots, \phi_p \\ \theta &= \theta_1, \theta_2, \dots, \theta_q\end{aligned}\quad \text{حيث:}$$

وذلك باستعمال طريقة المقولة العظمى (Maximum de vraisemblance) التي تعتمد على

$$\min(\phi, \theta) = \sum_{i=1}^n \varepsilon_i^2$$

$$\varepsilon_t = X_t - \hat{X}_t \quad \text{و} \quad \varepsilon_t \sim N(0, \sigma^2) \quad \text{حيث:}$$

\hat{X}_t : المشاهدة في اللحظة t معطاة النموذج المقدس كما يمكننا أيضاً تقدير المعاملات باستعمال طريقة المربعات الصغرى (MCO).

2-5-1-3 مرحلة الاختبار : validation

بعد الانتهاء من مرحلتي تحديد وتقدير النموذج تتطرق إلى اختيار قوة النموذج ومدى توافق النموذج (p.d.q) المختار في مرحلة التعرف والمقدر في مرحلة التقدير مع المعلومات المتوفرة والاختبارات التي تطبق على النموذج وهي :

²⁴ - William H , Greene ; "économetric Analysis" Seventh Edition

الدراسة التطبيقية:

مقارنة النماذج :

❖ معيار Ackaike : يقوم باختيار النموذج الأفضل بالرمز AIC

$$AIC = -2 \log L + 2K$$

حيث L : دالة المغقولية Fonction de vaisemblance

كما يمكن أن يعطي بالعلاقة :

$$AIC = \delta^2 \exp\left\{\frac{2K}{n}\right\} / \delta^2 = \frac{\sum \varepsilon_i^2}{n - K}$$

حيث : K : يمثل عدد المعالم المقدرة

n : يمثل عدد مشاهدات السلسلة الزمنية

❖ معيار schwartz :

ويرمز له بالرمز (BIC) ويعطي بالعلاقة الآتية :

$$BIC = \log \delta^2 + \frac{K}{n} \log n$$

كما يمكن تعریفه بالعلاقة الآتية :

$$BIC = -2 \log L + K \log n$$

ويكون اختيار النموذج على أساس أصغر قيمة للمعيارين AIC و BIC للنموذج .

❖ دراسة الباقي :

تعرف الباقي (ε_t) بالعلاقة :

$$\varepsilon_t = \theta(\beta)^{-1} \phi(\beta) (1 - \beta)^d X_t = X_t - X_{t-1}$$

حيث : X_{t-1} هو التنبؤ للقيمة X_t في الفترة t-1

كما يمكن التأكد من إن (ε_t) تشكل صدمات عشوائية وذلك بالقيام بالاختبارين الآتيين :

الدراسة التطبيقية:

← اختبار Box Pierce

يعتمد على توضيح نماذج الصدمات العشوائية وتكون صيغته كما يلي :

$$\begin{cases} H_0 : p(h) = 0 \\ H_1 : p(h) \neq 0 \end{cases}$$

$\varphi = n \sum_{h=1}^h p^2(h)$ ومن أجل إجراء هذا الاختبار نلجأ إلى الحساب :

$$\varphi \xrightarrow{\text{lo}i} X_{\lambda-p-q}^2$$
 حيث نجد أن :

مع العلم إن $p(h)$ تمثل الارتباط الذاتي للبواقي (ε_t)

$$\lambda : \text{عدد المشاهدات التي تحدد بالعلاقة}$$

$$p : \text{درجة نموذج الانحدار الذاتي : AR}$$

$$q : \text{درجة نموذج المتسلسلات المتحركة : MA}$$

إذا كانت : $\varphi > X_{\lambda-p-q}^2$ نرفض H_0 ؛ وبالتالي (ε_t) لا تمثل صدمات عشوائية.

إذا كانت : $\varphi < X_{\lambda-p-q}^2$ نقبل H_1 ؛ وبالتالي (ε_t) تمثل صدمات عشوائية.

← اختبار Ljung-Box

إحصائية Ljung-Box معرفة كما يلي :

$$\varphi^* = n(n+2) \sum_{h=1}^{\lambda} \frac{p^2(h)}{n-h}$$

حيث : λ : تحدد بنفس الطريقة السابقة

n : عدد المشاهدات

$p(h)$: الارتباط الذاتي للبواقي (ε_t)

وفرضية هذا الاختبار هي :

H_0 : (ε_t) تمثل صدمات عشوائية

الدراسة التطبيقية:

ε_i : لا تمثل خدمات عشوائية

فِإِذَا كَانَتْ :

نرفض H_0 وبالتالي (ε_i) لا تمثل صدمة عشوائية.

ϕ نقبل H_1 وبالتالي (٤) تمثل صدمات عشوائية .

و معرفة فيما إذا كانت هذه الصدمات العشوائية (٤) تخضع للتوزيع الطبيعي أم لا تقوم بالاختبار الآتي :

→ اختبار التوزيع الطبيعي : Teste de Normalité

من أجل التحقق من أن الباقي ($z \in \mathbb{E}, t$) تبع التوزيع الطبيعي ويمكن الاستعانة بختبار Jarque – bera « الذي يعتمد على معاملي Skewness (الناظل) و Kurtosis (التفا Jegy) »

حيث أن معامل Skewness يعطي العلاقة

$\beta_2 = \frac{u_4}{u_2^2}$ يعطى العلاقة معامل Kurtosis

مع العلم أن قيمة u : العزم المركز من الرتبة "S" يساوي :

$$\begin{aligned}\beta_1^{1/2} &\longrightarrow N(0\sqrt{6/n}) \\ \beta_2 &\longrightarrow N(0\sqrt{24/n})\end{aligned}\quad \text{فإذا كانت } (n) > 30$$

$$V_1 = \frac{\beta_1^{1/2} - 0}{\sqrt{6/n}} \quad V_2 = \frac{\beta_2 - 3}{\sqrt{24/n}} \quad \text{؛ لذلـك}$$

ثم نقوم بمقارنة V_1 و V_2 مع القيمة 1.96 عند مستوى المعنوية ($\alpha = 5\%$) حيث إذا كان

تقبل فرضية التوزيع الطبيعي للبواقي (ϵ)

4-5-1-2 مرحلة التنبؤ : la prévision

ليكن (X_t) نموذج مستقر حيث :

$$X_t = \sum_{i=0}^{\infty} \psi_i \varepsilon_{t-i} \quad \psi_0 = 1$$

$$= \varepsilon_t + \psi_1 \varepsilon_{t-1} + \psi_2 \varepsilon_{t-2} + \dots$$

$$\varepsilon_t \xrightarrow{i.o.i} N(0, \delta^2)$$

ومنه أصل التنبؤ بالقيم (X_{t+h}) يمكن كتابته كما يلي :

$$X_{t+h} \varepsilon_{t+h} + \psi_1 \varepsilon_{t+h-1} + \psi_2 \varepsilon_{t+h-2} + \dots + \psi_{h-1} \varepsilon_{t+1} + \psi_h \varepsilon_t + \psi_{h+1} \varepsilon_{t-1} + \dots$$

وعليه تكون $(\hat{X}_t(h))$ يمكن معرفة بـ :

$$\hat{X}_t(h) = \psi_h \varepsilon_t + \psi_{h+1} \varepsilon_{t-1} + \dots$$

حيث :

$$p(X_{t+j} / X_t) = \begin{cases} X_{t+j} & \text{si } j \leq 0 \\ \hat{X}_{t(j)} & \text{si } j > 0 \end{cases}$$

$$p(\varepsilon_{t+j} / X_t) = \begin{cases} \varepsilon_{t+j} & \text{si } j \leq 0 \\ 0 & \text{si } j > 0 \end{cases}$$

أما خطا التنبؤ فيحسب بالعلاقة الآتية :

$$\begin{aligned} e_t(h) &= X_{t+h} - \hat{X}_t(h) \\ &= \varepsilon_{t+h} + \psi_1 \varepsilon_{t+h-1} + \dots + \psi_{h-1} \varepsilon_{t+1} \\ &= \varepsilon_{t+h} + \sum_{i=1}^{h-1} \psi_i \varepsilon_{t+h-i} \end{aligned}$$

وتباينه يعطى بالعلاقة :

$$\begin{aligned} V(e_t(h)) &= E(X_{t+h} - \hat{X}_t(h))^2 \\ &= \delta^2 [1 + \psi_1^2 + \psi_2^2 + \dots + \psi_{h-1}^2] \\ &= \delta^2 \sum_{i=1}^{h-1} \psi_i^2 \end{aligned}$$

الدراسة التطبيقية:

وأصله الرياضي : $E(e_t(h)) = 0$

وفي حالة ما إذا كان النموذج : $X_t \rightarrow SARIMA(p,d,q)(p,o,\phi)$

ويكتب بالشكل : $\Delta^d \phi_p(\beta) \nabla^d \phi_p(\beta^d) X_t = \theta_q(\beta) \theta_o(\beta^o) e_t$

وبما أن تباينه لا يتغير فان : $e_t(h) = \delta^2 \sum_{i=1}^{h-1} \psi_i^2$

حيث أن : $\psi(\beta) = \Delta^{-d} \phi_p(\beta)^{-1} \nabla^{-d} \phi_p(\beta) \theta_o(\beta^o)$

حساب مجال الثقة (IC) :

إذا افترضنا بأن الصدمة العشوائية (e_t) تخضع لتوزيع طبيعي ، فإن خطأ التنبؤ ($e_t(h)$) يتبع قانون التوزيع الطبيعي أي أن :

$$e_t(h) \xrightarrow{lof} N(0, \delta^2 \sum_{i=1}^{h-1} \psi_i^2)$$

وهكذا نعرف مجال الثقة عند مستوى المعتبرة (α) كما يلي :

$$X_{t+h} = \hat{X}_t(h) \mp u_{1-\alpha/2} \delta (1 + \psi_2^2 + \dots + \psi_{h-1}^2)$$

2-2-المآذج اللاخطية : ARCH_GARCH²⁵

1-تعريف نماذج ARCH

لقد كانت النماذج القياسية الكلاسيكية تعتمد في تنبؤاتها قصيرة المدى و خاصة في نماذج ARIMA كما سبق الإشارة إليها على فرضية " ثبات تباين حد الخطأ ". و ذلك في جميع الغلواهير الاقتصادية و المالية و لكن مع مطلع الثمانينيات من القرن التاسع عشر جاء أبحاث ENGEL بأبحاث أعادت الاعتبار الدقيق إلى هذه النقطة . فلقد لاحظ أبحاث ENGEL أن مثلاً في الأسواق المالية و خاصة في البورصة قد تحدث أخطاء في التسعير أو في التتابع المتحصل عليها للعائد أو

²⁵ - مكيديش محمد و سايد عبد القادر " دراسة قياسية لأسعار البترول باستخدام نماذج GARCH " مجلة الاقتصاد المعاصر ، العدد 03 ، 2008 .

الدراسة التطبيقية:

المخاطرة من دون معرفة مسبقة فمنذ سنة 1982 جاء انجل بفئة جديدة من النماذج القياسية أطلق عليها اسم ARCH أي نماذج الانحدار ذاتي بعدم تجانس مشروط²⁶.

2-2-2-مميزات نماذج ARCH²⁷ :

قبل الشروع في دراسة نماذج ARCH لا بد من ذكر بعض الخصائص و المميزات التي تميز بـها نماذج ARCH عن باقي النماذج الأخرى . حيث تميز نماذج ARCH بصفة عامة بمجموعة من المزايا و هي :

⇨ نماذج ARCH لها متوسط معنوم $E(\epsilon_t) = 0$

⇨ نماذج ARCH لا تميز بالارتباط فيما بينها أي أن الأخطاء في نماذج ARCH غير مرتبطة فيما بينها.

⇨ في نماذج ARCH البيانات ليست ثابتة عبر الزمن

⇨ نماذج ARCH مشروطة بفترات الإبعاد أي مشروطة بالماضي

3-خطوات اختبار نموذج ARCH :

في الميدان التطبيقي للاختبار تتبع الخطوات التالية:

❖ حساب ϵ أو الباقي لنموذج الانحدار الذاتي أو نموذج ARMA

❖ حساب مربعات ϵ^2 أي حساب ϵ^2

❖ تعين الانحدار الذاتي للباقي مؤخر P درجة أي الباقي المؤخرة وكذا الباقي الحقيقة و المؤخرة

❖ حساب إحصائية لاغرورنج Lagrange و التي تعطى كماليل:

$$LM = n * R^2$$

²⁶-عبد الله عبد الله "تحليل السلسل الرسمية اللاحظية من نوع ARCH-GARCH للربض الدنيا باستخدام المحاكاة" أطروحة دكتوراه ، جامعة بغداد، العراق (2008).

²⁷- Jean-Jacques Drost et autre , "Modalisation ARCH : Théorie statistique et applications dans le domaine de la finance" éditions ellipses , Belgique , 1994

حيث

n : عدد المشاهدات الحسوبية في المرحلة الثالثة

R^2 : معامل التحديد المبين في المرحلة الثالثة كذلك

❖ الخاذا القرار :

فإذا كان

$\int_P^{LM} > 0$: أي إحصائية لاغرانج Lagrange أكبر من إحصائية كاي مرجع المجدولة حيث P

درجة الحرية تقرأ من الجدول و α ثابت عادت ما تكون قيمة هذا الثابت 0.05 نرفض الفرضية

العدمية H_0 . أي تحقيق نموذج (P)

فإذا كان الاختبار قد حقق المعاملات α لانحدار 2 بع و الذي هو محدد بدرجة P لسيطرة أو

مفهوم ARCH فإننا نختار نموذج ARCH بدرجة 3 كحد أعلى و إلا فالنموذج يتحقق شروط

مفهوم فئة نموذج ARCH المعمم GARCH .

4-2-2- أنواع و امتدادات نماذج ARCH :

بعد ظهور و صياغة النموذج الأولى لنموذج ARCH توالت الدراسات كما سبق أن أشرنا

الأمر الذي أدى إلى ظهور عدة أنواع و امتدادات لهذه النماذج منها :

28-4-1-2-2- نماذج ARMA-GARCH :

لقد أشار WEISS سنة 1986 إلى إمكانية إدخال تأثيرات إضافية على التباين الشرطي للمتغير

المفسر . حيث من خواص نمذجة GARCH إنها تسمح بإضافة هذه القوى أو التأثيرات وذلك

عبر قنوات إدخال تمثل إما في المتوسط الشرطي أو التباين الشرطي .

²⁸-4- Regis Bourbonnais : "Econométrie manuelle et exercice corrigé", 5^e édition Dunod, Paris 2006.

2-4-2-2 نماذج ARCH-M و GARCH-M :

جاءت نماذج ARCH-M و GARCH-M من خلال أبحاث Robins Engle , Lilien سنة 1987 حيث تليق هذه النماذج أين يكون التباين الشرطي عبارة عن متغير مفسر للمتوسط الشرطي حيث أن الشكل العام لهذا النموذج هو :

$$y = \alpha + f(h_t^2) + \varepsilon_t$$

2-4-3-2 نماذج TARCH و TGARCH :

هناك نماذج أخرى تدعى بنماذج TARCH و TGARCH و اقترحت نتيجة أبحاث خلال 1991 و اكتملت معاملها في سنة 1994 . حيث يكتب نموذج (1.1) TGARCH كما يلي :

$$\varepsilon_t = z_t \sqrt{h_t}$$

2-4-4-2 نماذج FIGARCH :

جاءت نماذج FIGARCH لتندمج حالة السيرونة الجزئية التي لها تناقص سريع للارتباطات الذاتية للأخطاء، أين لا تكون صفة التناقل موجودة مع إشارة التجديد وذلك حسب الخصوصيات والمتكلمات التي يتتصف بها نموذج APARCH .

ومنه يمكن بناء نموذج سرعة التقلبات الشرطية لسيرونة FIGARCH كما يلي :

$$h_t^2 = \frac{\alpha_0}{B(1)} + \left[1 - \frac{1}{B(L)} (1-L)^{\alpha} \right] (|u_t - 1| - v_1 U_t - 1)^{\alpha}$$

2-3-2 الشبكات العصبية الاصطناعية : ANN :

يمكن القول أنه توجد في بيئه الأعمال أنواع مختلفة من الشبكات العصبية ، و هي بشكل أو بأخر نماذج و نظم تحاكي في تركيباتها الشبكات و النظم العصبية المتواجدة في الإنسان. و هذه الشبكات تقوم بتمثيل و معالجة البيانات و المعلومات عن طريق العقل البشري . و للشبكات العصبية تطبيقات واسعة في الحياة العملية ، و نظرا للإمكانيات العالية للشبكات العصبية في

الدراسة التطبيقية:

التعامل مع البيانات على اختلاف أنواعها سبباً منها المعقدة فإنه بالإمكان استخدام الشبكات في استخلاص النماذج و اكتشاف العلاقات ، سواء كان ذلك من خلال الأساليب التقليدية أو الأساليب الحديثة . كما أن للشبكات العصبية طرقاً مختلفة لحل المشاكل غير تلك العرق التي توفرها الحواسيب التقليدية ، ويمكن القول أن الشبكات العصبية تعامل مع البيانات و تعالجها بنفس الطريقة التي يتعامل بها في العقل البشري ، حيث تكون الشبكة من عدد كبير من العناصر التي تشبه الخلايا العصبية و التي تعمل بشكل متوازي من أجل دراسة و حل المشاكل .

2-3-1-نشأة استعمال الشبكات العصبية :

كانت البداية بدراسة أجرتها الأحصائي النفسي (Wiliames jemes) سنة 1890، والتي توصل من خلالها إلى تفسير طريقة عمل الخلية العصبية وكيفية انتشار أثرها للخلايا المجاورة. فالخلية العصبية (العصبون) تكون من ثلاثة مناطق أساسية تجعلها لأن تكون نظاماً قائماً بذاته وهي: التغصن (les dendrites)، الجسم الخلوي (les corps cellulaires)، والحور الخلوي (l'axone). وإعتماداً على هذه الميكانيزمات تم بناء أول نموذج للشبكات العصبية الاصطناعية سنة 1943 من قبل (MC. Colloch) و (Walter pits)، ورغم بساطته إلا أنه استطاع حساب بعض الدوال المنطقية التي يمكن للخلية الواحدة أن تقوم بتنفيذها.

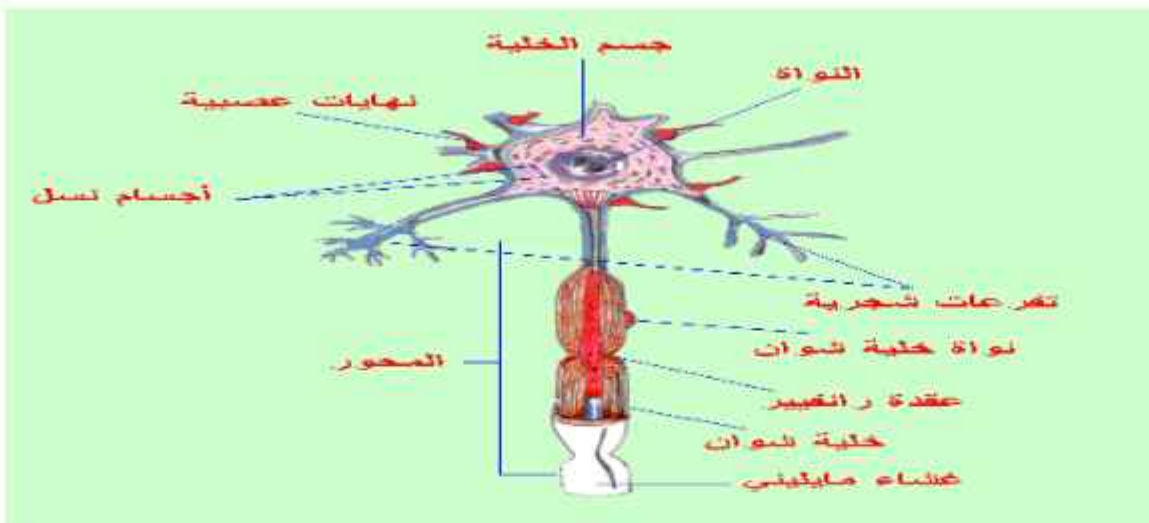
وتواصلت الأبحاث في هذا الشأن إلى أن تم إكتشاف أول شبكة عصبية على شكلها الحالي من طرف كل من (Wisard Stonham et Wikie) سنة 1980، وسميت بشبكة Wisard ومنذ ذلك الحين وهي تستخدم في مجالات عددة من بينها أمالية.

2-3-2-المفاهيم الأساسية للشبكة العصبية الاصطناعية :

الشبكات العصبية الاصطناعية هي نظام ترابطي يتكون من وحدات المعالجة العصبية القادرة على العمل كذاكرة محلية مع إجراء عمليات المعالجة المختلفة التي ترتبط مع بعضها البعض لتأخذ شكل هيكل محدد ، و يتكون هيكل الشبكة البيولوجيا كما يلي :

الدراسة التطبيقية:

الشكل رقم 01: هيكل الشبكة الابولوجيا



المصدر : ملتمدة في الشبكات العصبية لمد الحميد محمد العباسى (معهد الدراسات و البحوث الاحصالية_القاهرة)

الطبقات : Layers هي عبارة عن العدد الكلي لطبقات الشبكة العصبية ، و هي عبارة عن طبقات المدخلات و طبقات المخرجات مع ملاحظة أن عقد (Nodes) المدخلات تستخدم فقط لتوزيع الأوزان .

حجم الطبقة: يحدد بحجم الذاكرة المحدد بالبرامح الخاص بتشغيل الشبكة العصبية الاصطناعية

الدالة العصبية المستخدمة : هي الدالة اللوجستية التالية :

$$f(y) = \frac{1}{1+e^{-x}}$$

2-3-3-خصائص الشبكة العصبية الاصطناعية :

تحميز الشبكات العصبية الاصطناعية بمجموعة من الخصائص منها :

- تعتمد على أساس رياضي قوي
- تمثل إحدى تطبيقات تكنولوجيا التشغيل الذكي للمعلومات
- تقبل أي نوع من البيانات الكمية أو النوعية
- لها القدرة على تخزين المعرفة المكتسبة من خلال الحالات التي تم تشغيلها
- لها عدة تطبيقات في شتى المجالين

2-3-2-مكونات الشبكة العصبية الاصطناعية :

ت تكون الشبكة العصبية الاصطناعية من مجموعة مركبة من عدة عناصر معالجة يطلق عليها اسم (Neuron) و هذه العناصر لها القدرة على إجراء العمليات الحسابية من خلال عدة خطوات:

↳ معالجة البيانات ثم أولاً من خلال عناصر المعالجة البسيطة

↳ ثم الإشارات بين الأعصاب عبر خطوط الربط الناقلة

↳ و من خطوط الربط الناقلة يتم إعطاء وزن معين لكل مدخل في الشبكة

2-3-5-أنواع الشبكات العصبية الاصطناعية :

تنظم الشبكة العصبية الاصطناعية بعدة طرق مختلفة منها :

2-3-5-1-الشبكات العصبية ذات التغذية الأمامية :

و هي الشبكات التي يخلو تركيبها من وجود حلقة مغلقة من الترابطات بين الوحدات المكونة لها .
و تعد هذه الشبكات من أكثر الشبكات استخداما حيث تكون الشبكة من هذا النوع من طبقتين على الأقل ، كما تتوارد في كثير من الأحيان طبقات مخفية بين طبقات المدخلات والمخرجات و تنتقل العمليات الحسابية في اتجاه واحد إلى الأمام من طبقة المدخلات إلى طبقة المخرجات عبر الطبقات المخفية .

2-3-5-2-الشبكة العصبية ذات التغذية العكسية :

هي الشبكات التي تجد مخرجاتها طريقا خلفيا مرة أخرى لتصبح مدخلات لكي تعطي أفضل النتائج .

2-3-3-2 الشبكة العصبية ذات الترابط الذاتي :

و هي الشبكات التي تلعب كافة العناصر المكونة لها دوراً مموجياً يتمثل في استقبال المدخلات و بث المخرجات في نفس الوقت .

2-3-6-2 مزايا وعيوب الشبكات العصبية الاصطناعية :

لنماذج الشبكات العصبية عدة مزايا تجعل الباحث يعتمد عليها كما أنها لا تخلو من نعائص التي تحملها فيما يلي :

2-3-6-1-1 مزايا الشبكات العصبية الاصطناعية :

• **التعلم الذاتي:** تمثل هذه الخاصية في إجراء يتم عن طريقه تقدير معاملات

الشبكة من أجل أن تقوم الشبكة بالمهام الموكلة إليها بطريقة مثلى حيث تكون

بذلك نظاماً يتعلم بنفسه ويستبط القوانين المناسبة التي تسمح بحل المشاكل و

هناك نوعان من التعلم:

• **تعلم غير مراقب:** حيث تقوم الشبكة بتقييم المدخلات التي تعرض عليها إلى عدة

أصناف تم اختيار معاير التقسيم لوحدها، وما على المستعمل إلا فرض عدد

الأصناف التي يريد الحصول عليها.

• **تعلم مراقب:** في هذا النوع يقدم للشبكة مدخلات ويفرض عليها مخرجات يراد

الحصول عليها حيث تعمل هذه الشبكة على الوصول إلى القيمة المثلث للأوزان

التي تمكنها من حساب قيمة المخرجات المطلوبة وذلك بالإعتماد على تقنيات

تقليل الخطأ و تستعمل هنا عيتيں الأولى للتعلم والثانية للإختبار .

• **اللاخطية:** تتمكن من إيجاد العلاقات غير الخطية بين المتغيرات وأخذها بعين

الاعتبار في إعطاء النتائج .

• السرعة في الاستعلام: (على 10 micro secondes câblé -50 millis secondes)

جهاز IBM pc.

- سهل الاستخدام ويوفر الجهد والوقت اللازمين للتحليل عكس العرق الإحصائية الكلاسيكية حيث أنه لا يتطلب كفاءة في الرياضيات، الإعلام الآلي أو الإحصاء.
- لا تؤثر قلة المعطيات كثيراً على نتائج التحليل العصبي.
- يتميز النموذج العصبي بقدرته على التكيف مع التغيرات الحاصلة والظروف الحالية التي يمكناها أن تفقد فعاليته في التمييز مع مرور الزمن، وبالتالي فإن إصلاح الشبكة العصبية ليس بالأمر الصعب. يكفي فقط إعادة إدخال قاعدة أمثلة جديدة للحصول على المعاير المميزة الجديدة لتعليم الشبكة.

3-6-2-عيوب الشبكات العصبية الاصطناعية :

- تحديد هندسة النموذج المثالية (عدد العصبونات الخفية، عدد العصبونات في العلبة الخفية، الاتصال بين مختلف العصبونات) يمثل في الوقت الحالي مشكلة لم يعرف إلا حلولاً جزئية.
- مشكل العلبة السوداء (boite noir) حيث أن الشبكة تكتشف بنفسها العلاقة بين المتغيرات ولا تبين كيفية استخراجها أو العناصر التي استخدمت لتفسير تلك المتغيرات، ولكن من الصعب على المستعمل أن يكتشف تلك العلاقات لأنها تبقى داخلية.
- كثرة التحويلات على المتغيرات (تحويل توزيعها إلى الطبيعي، إلى تحويل اللوغاريتمي) الأمر الذي يتسبب في ابتعاد نتائج تلك المعالجة عن الأرقام الحقيقة لها.

المبحث الثاني : النتائج التطبيقية للدراسة

1- التمثيل البياني للسلسلات الزمنية محل الدراسة :

كخطوة أولى في دراسة و تحليل السلسلات الزمنية محل الدراسة نقوم بتمثيلها أو رسمها بيانياً أي رسم المشاهدات الشهرية للسلسلات الزمنية محل الدراسة التي بحوزتنا ، بحيث تعتبر هذه الخطوة أساسية و هامة في التحليل و الدراسة لأنها تظهر الملامح الوصفية الأولية لبيانات الظاهرة محل الدراسة ، مثل الاتجاه العام ، و التغيرات الموسمية و عدم الاستقرارية و البيانات الشادة إلخ . كما يسمح لنا التمثيل البياني بتحديد فترة حدوث الظاهرة ، و فيما يلي التمثيل البياني للسلسلة الزمنية للاشتراكات الشهرية للأنترنت لدى وكالات المتعاملين في السوق الجزائرية محل الدراسة " اتصالات الجزائر ، موبيليس ، أوريدو ، جيزي .) .

1-1- التمثيل البياني للسلسلتين الزمنيتين الممثلتين للاشتراكات الشهرية للأنترنت لدى المتعامل موبيليس للفترة جانفي 2013 إلى غاية ديسمبر 2016 وكالي "سعيدة" ، "مغنية" :

من خلال البيانات المتوفرة لدينا و بالإعتماد على برنامج Eviews تم تمثيل البيانات الشهرية للسلسلتين الزمنيتين الممثلتين للاشتراكات الأنترنت لدى المتعامل موبيليس المتعلقة بوكالتي مغنية وسعيدة و التي رمنا لها كما يلي :

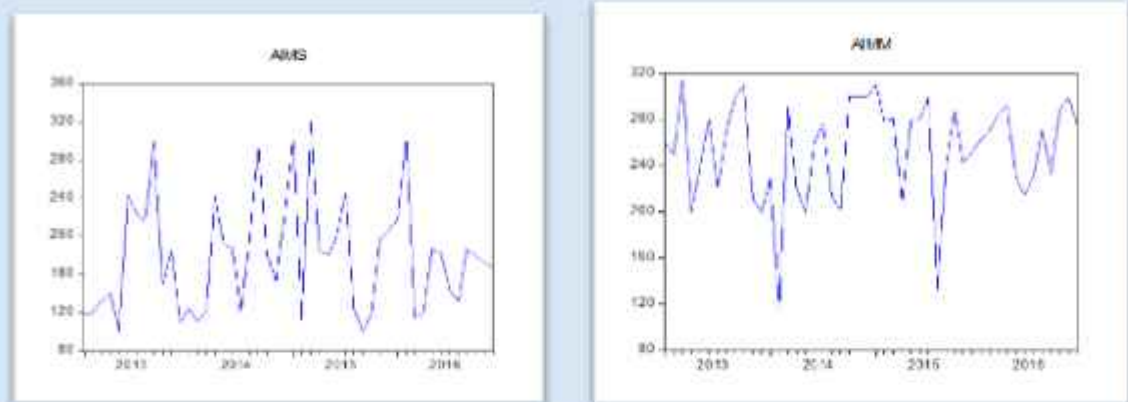
AIMM : و الذي يخص الاشتراكات الشهرية للأنترنت لدى المتعامل موبيليس وكالة مغنية .

AIMS : و الذي يخص الاشتراكات الشهرية للأنترنت لدى المتعامل موبيليس وكالة سعيدة .

إذن مخرجات برنامج Eviews أعطتنا الشكلين التاليين :

الدراسة التطبيقية:

الشكل رقم 02: التمثيل البياني للسلسلتين الزمنيتين الممثلتين لاشتراكات الشهير للأنترنت لدى المتعامل موبيليس للفترة جانفي 2013 إلى غاية ديسمبر 2016 وكالتي " سعيدة " ، " معنية " :



المصدر : من إعداد الطالب بالاعتماد على برنامج Eviews

من خلال الشكلين البيانيين للسلسلتين الزمنيتين الممثلتين لاشتراكات الأنترنت لدى المتعامل موبيليس وكالتي " معنية " و " سعيدة " ، فإننا نلاحظ ما يلي :

➢ لا وجود لاتجاه عام في السلسلتين كما يبدو في السلسلتين تذبذبات قد تكون ناتجة عن العشوائية و نلاحظ تنوّرات فترات مختلفة تبدو طبيعية غير ناتجة عن الموسمية

1-2-التمثيل البياني للسلسلتين الزمنيتين الممثلتين للاشتراكات الشهرية للأنترنت لدى المتعامل جيزي للفترة جانفي 2013 إلى غاية ديسمبر 2016 وكالتي " سعيدة " ، " معنية " :

من خلال البيانات المتوفرة لدينا و بالاعتماد على برنامج Eviews تم تمثيل البيانات الشهرية للسلسلتين الزمنيتين الممثلتين لاشتراكات الأنترنت لدى المتعامل جيزي المتعلقة بوكالتي معنية و سعيدة و التي رمزنا لها كما يلي :

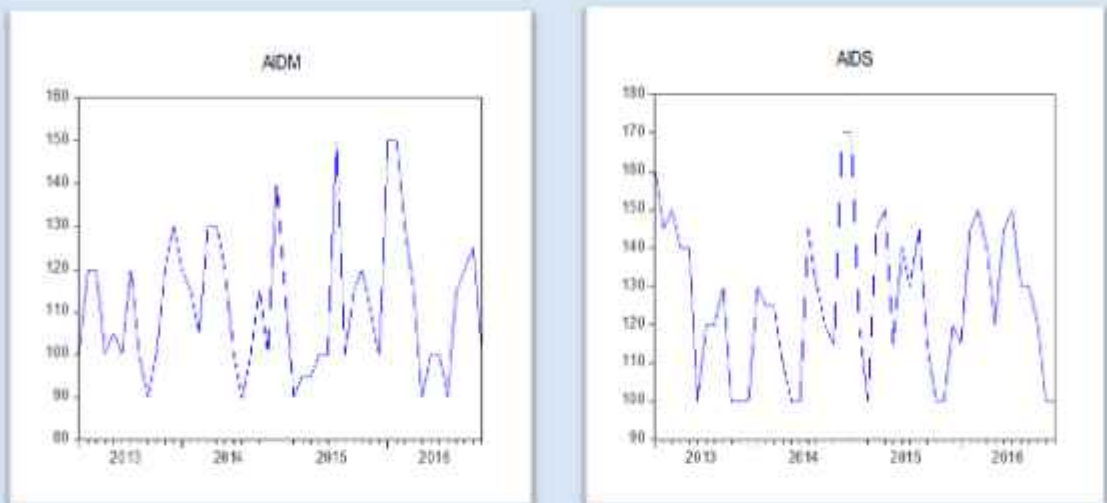
AIDM : و الذي يخص الاشتراكات الشهرية للأنترنت لدى المتعامل جيزي وكالة معنية .

AIDS : و الذي يخص الاشتراكات الشهرية للأنترنت لدى المتعامل جيزي وكالة سعيدة .

الدراسة التطبيقية:

إذن مخرجات برنامج Eviews أعطتنا الشكلين التاليين :

الشكل رقم 03: التمثيل البياني للسلسلة الزمنية الممثلة للاشتراكات الشهرية للأنترنت لدى المعامل جزي لل فترة جانفي 2013 إلى غاية ديسمبر 2016 وكالتي "سعيدة" ، "معنية" :



المصدر : من إعداد الطالب بالإعتماد على برنامج

من خلال الشكلين البيانيين للسلسلتين الزمنيتين الممثلتين لاشتراكات الأنترنت لدى المعامل جزي وكالتي "معنية" و "سعيدة" ، فإننا نلاحظ ما يلي :

► لا وجود لاتجاه عام في السلسلتين كما يبدو في السلسلتين تذبذبات قد تكون ناتجة عن العشوائية

1-3- التمثيل البياني للسلسلتين الزمنيتين الممثلتين للاشتراكات الشهرية للأنترنت لدى المعامل أوريدو للفترة جانفي 2014 إلى غاية ديسمبر 2016 وكالتي "سعيدة" ، "معنية" :

من خلال البيانات المتوفرة لدينا و بالاعتماد على برنامج Eviews تم تمثيل البيانات الشهرية للسلسلتين الزمنيتين الممثلتين لاشتراكات الأنترنت لدى المعامل أوريدو المتعلقة بوكالتي معنية وسعيدة و التي رمزا لها كما يلي :

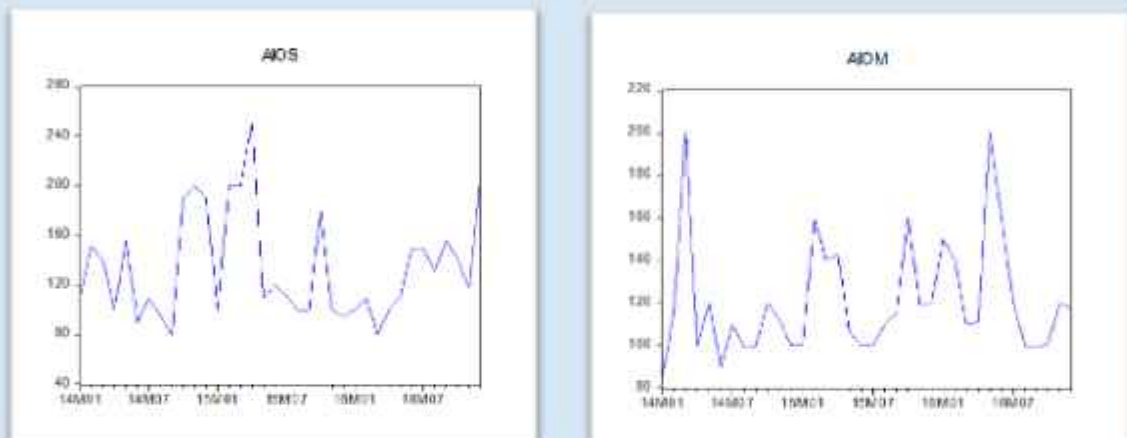
الدراسة التطبيقية:

AIOM : و الذي يخص الاشتراكات الشهرية للأنترنت لدى المتعامل أوريدو وكالة مغنية .

AIOS : و الذي يخص الاشتراكات الشهرية للأنترنت لدى المتعامل أوريدو وكالة سعيدة .

إذن مخرجات برنامج Eviews أعلنتا الشكلين التاليين :

الشكل رقم 04 : التمثيل البياني للسلسلتين الزمنيتين الممثلة للاشتراكات الشهرية للأنترنت لدى المتعامل أوريدو للفترة جانفي 2014 إلى غاية ديسمبر 2016 وكالتي " سعيدة " ، " مغنية " .



المصدر : من إعداد الطالب بالأعتماد على برنامج EViews

من خلال الشكلين البيانيين للسلسلتين الزمنيتين الممثلتين لاشتراكات الأنترنت لدى المتعامل أوريدو وكالتي " مغنية " و " سعيدة " ، فإننا نلاحظ ما يلي :

► وجود اتجاه عام في كلا السلسلتين لكنه ضئيل كما يبدو في السلسلتين تذبذبات قد تكون ناجمة عن العشوائية

الدراسة التطبيقية:

1-4- التمثيل البياني للسلسلتين الزمنيتين الممثلتين للاشتراكات الشهرية للأنترنت لدى المتعامل اتصالات الجزائر للفترة جانفي 2012 إلى غاية ديسمبر 2016 وكالي "سعيدة", "معنية":

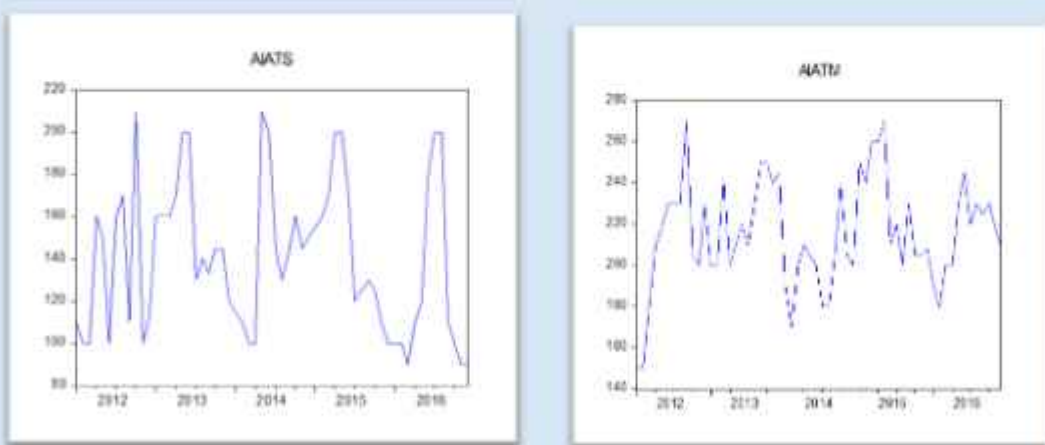
من خلال البيانات المتوفرة لدينا و بالاعتماد على برنامج Eviews تم تمثيل البيانات الشهرية للسلسلتين الزمنيتين الممثلتين للاشتراكات الأنترنت لدى المتعامل اتصالات الجزائر المتعلقة بوكالتي معنية و سعيدة و التي رمزنا لها كما يلي :

AIATM : الذي يخص الاشتراكات الشهرية للأنترنت لدى المتعامل اتصالات الجزائر وكالة معنية.

AIATS : الذي يخص الاشتراكات الشهرية للأنترنت لدى المتعامل اتصالات الجزائر وكالة سعيدة.

إذن مخرجات برنامج Eviews أعطتنا الشكلين التاليين :

الشكل رقم 05 : التمثيل البياني للسلسلتين الزمنيتين الممثلتين للاشتراكات الشهرية للأنترنت لدى المتعامل اتصالات الجزائر للفترة جانفي 2012 إلى غاية ديسمبر 2016 وكالي "سعيدة", "معنية":



المصدر : من إعداد الطالب بالاعتماد على برنامج EViews

الدراسة التطبيقية:

من خلال الشكلين البيانيين للسلسلتين الرمزيتين الممثلتين لاشتراكات الأنترنت لدى المتعامل اتصالات الجزائر وكالي "معنية" و "سعيدة" ، فإننا نلاحظ ما يلي :

➢ وجود اتجاه عام في كلا السلسلتين لكنه ضئيل كما يبدو في السلسلتين تذبذبات قد تكون ناتجة عن العشوائية

2- دراسة استقرارية السلسل الزمنية محل الدراسة :

لدراسة استقرارية السلسل الزمنية هناك عدة طرق وأدوات احصائية يمكن استعمالها ، حيث كل طريقة أو أداة تعتمد على بعض المؤشرات والخصوصيات ، و من بين أهم الأدوات الاحصائية المستخدمة و التي تعتمد في دراسة و تحليل استقرارية السلسل الزمنية نجد : تحليل أو اختبار معنوية دوال الارتباط الذاتي للسلسل الزمنية ، و كما اختبار ديكري فولر المطرور ADF ، اختبار فيليبس بيرون Phillips & Perron ، حيث كل اختبار من بين هذه الاختبارات يتميز بخصوصية عن غيره إلا أن في معظم الحالات تكون نتائج هذه الاختبارات مترافقية الأمر الذي يعطي للباحث الثقة والأمان في نتائج بحثه ، و فيما يلي دراسة استقرارية السلسل الزمنية الممثلة لاشتراكات الأنترنت لدى وكالات المتعاملين في السوق الجزائرية محل الدراسة :

2-1- اختبار معنوية معاملات دوال الارتباط الذاتي للسلسل الزمنية :

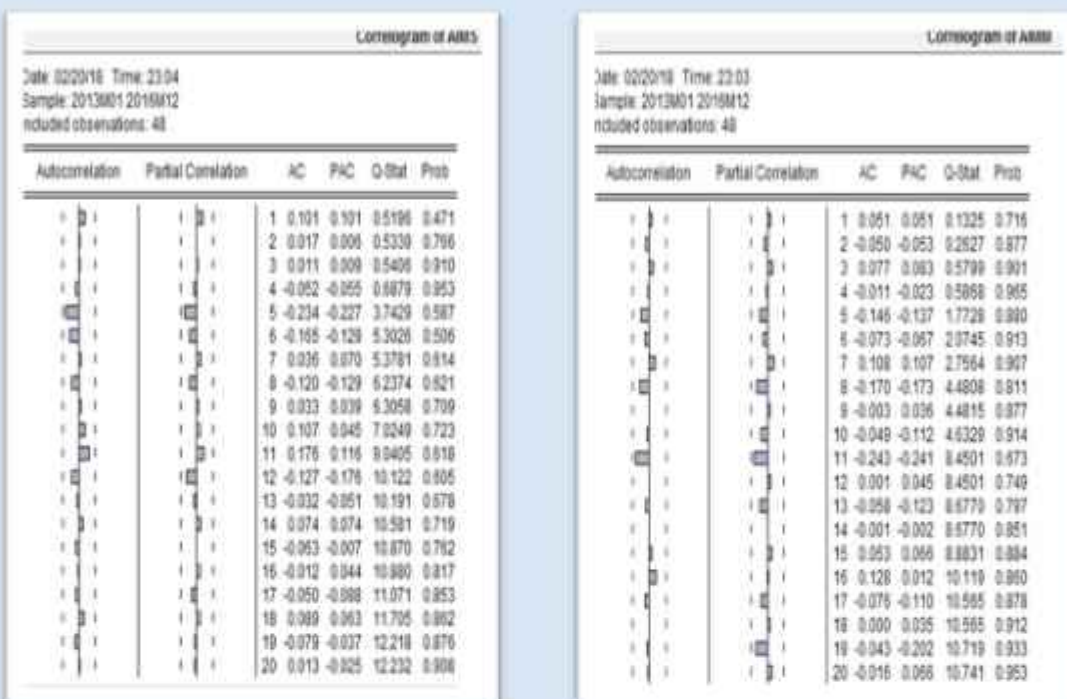
2-1-1- اختبار معنوية معاملات دوال الارتباط الذاتي للسلسل الزمنية الممثلة لاشتراكات الأنترنت لدى المتعامل موبيليس :

تكون السلسل الزمنية الممثلة لاشتراكات الأنترنت لدى وكالي "سعيدة" و "معنية" للمتعامل موبيليس مستقرة إذا كانت معاملات دالة ارتباطها الذاتي معنويًا لا تختلف عن الصفر من أجل

الدراسة التطبيقية:

كل فجوى p ، و فيما يلي تقدير معاملات دوال الارتباط الذاتي ACF و دوال الارتباط الذاتي الجزئية PACF للسلسلتين محل الدراسة :

الشكل رقم 06: دوال الارتباط الذاتي للسلسلة الزمنية الممثلة لاشتراكات الأنترنت لدى المتعامل موبيليس :



المصدر : من إعداد الطالب بالأعتماد على برنامج EViews

بالنسبة للسلسلة الزمنية الخاصة بوكالة مفنية :

نلاحظ أن الاحتمال المقابل لإحصائية Q أكبر من $0,05$ (ما تكون السلسلة مستقرة) بينما معامل الارتباط لا يقترب من الواحد (ما تكون السلسلة مستقرة) و بالتالي يمكن إعطاء حكم أولي بأن السلسلة الزمنية مستقرة .

إذن نقوم بمقارنة إحصائية Q_{sta} و التي تساوي $10,74$ و هي أصغر من إحصائية كاي مربع الجدولية و التي تساوي $31,41$ و بالتالي السلسلة مستقرة .

الدراسة التطبيقية:

بالنسبة للسلسلة الزمنية الخاصة بوكالة سعيدة :

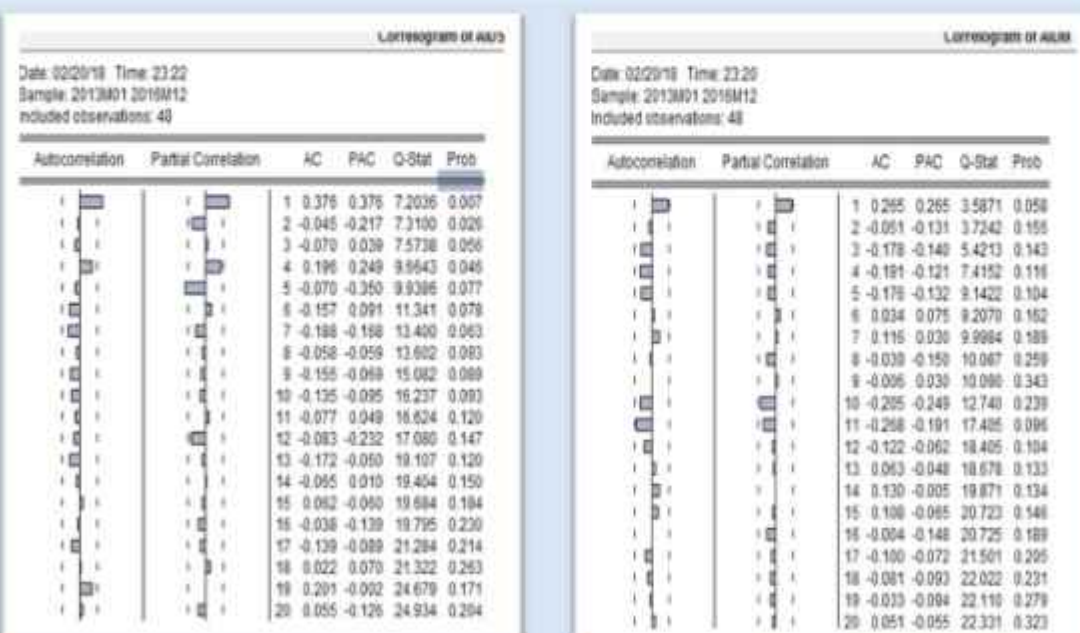
نلاحظ أن الاحتمال المقابل لإحصائية Q أكبر من 0,05 (ما تكون السلسلة مستقرة) بينما معامل الارتباط لا يقترب من الواحد (ما تكون السلسلة مستقرة) و بالتالي السلسلة مستقرة. إذن نقوم بمقارنة إحصائية Q_{sta} و التي تساوي 12,23 و هي أصغر من إحصائية كاي مربع الجدولية و التي تساوي 41,33 و بالتالي السلسلة مستقرة .

2-1-2-اختبار معنوية معاملات دوال الارتباط الذاتي للسلسلة الزمنية الممثلة

لاشتراكات الأنترنت لدى المتعامل جيزي :

تكون السلسلة الزمنية الممثلة لاشتراكات الأنترنت لدى وكالتي "سعيدة" و "معنية" للمتعامل جيزي مستقرة إذا كانت معاملات دالة ارتباطها الذاتي معنويًا لا تختلف عن الصفر من أجل كل فجوى p ، و فيما يلي تقدير معاملات دوال الارتباط الذاتي ACF و دوال الارتباط الذاتي الجزئية PACF للسلسلتين محل الدراسة :

الشكل رقم 07: دوال الارتباط الذاتي للسلسلة الزمنية الممثلة لاشتراكات الأنترنت لدى المتعامل جيزي :



المصدر : من إعداد الطالب بالأعتماد على برنامج EViews

الدراسة التطبيقية:

بالنسبة للسلسلة الزمنية الخاصة بوكالة مغنية :

نلاحظ أن الاحتمال المقابل لـ χ^2 أكبر من 0,05 (ما تكون السلسلة مستقرة) بينما معامل الارتباط يقترب من الواحد (ما تكون السلسلة مستقرة) و بالتالي السلسلة محل الدراسة مستقرة .

إذن نقوم بمقارنة احصائية χ^2_{sta} و التي تساوي 22,33 و هي أصغر من احصائية كاي مربع الجدولية و التي تساوي 31,41 و بالتالي السلسلة مستقرة .

بالنسبة للسلسلة الزمنية الخاصة بوكالة سعيدة :

نلاحظ أن الاحتمال المقابل لـ χ^2 أكبر من 0,05 (ما تكون السلسلة مستقرة) بينما معامل الارتباط لا يقترب من الواحد (ما تكون السلسلة مستقرة) و بالتالي السلسلة مستقرة .

إذن نقوم بمقارنة احصائية χ^2_{sta} و التي تساوي 24,93 و هي أصغر من احصائية كاي مربع الجدولية و التي تساوي 31,41 و بالتالي السلسلة مستقرة .

3-1-2- أخبار معنوية معاملات دوال الارتباط الذاتي للسلالس الزمنية الممثلة لاشتراكات الأنترنت لدى المتعامل أوريدو :

تكون السلاسل الزمنية الممثلة لاشتراكات الأنترنت لدى وكالتي " سعيدة " و " مغنية " للمتعامل أوريدو مستقرة إذا كانت معاملات دالة ارتباطها الذاتي معنويًا لا تختلف عن الصفر من أجل كل فجوى p ، و فيما يلي تقدير معاملات دوال الارتباط الذاتي ACF و دوال الارتباط الذاتي الجزئية PACF للسلالتين محل الدراسة :

الدراسة التطبيقية:

الشكل رقم 08: دوال الارتباط الذاتي للسلسلة الزمنية الممثلة لاشتراكات الانترنت لدى المعامل أوليدو :

Correlogram of AOW							Correlogram of AOS						
Autocorrelation	Partial Correlation	AC	PAC	Q-Stat	Prob		Autocorrelation	Partial Correlation	AC	PAC	Q-Stat	Prob	
1	1	1	0.158	0.158	0.9781	0.323	1	1	1	0.281	0.281	2.6684	0.102
		2	-0.148	-0.175	1.0325	0.400			2	0.147	0.084	3.5302	0.171
		3	-0.141	-0.091	2.6501	0.447			3	0.001	-0.061	3.5382	0.316
		4	-0.008	0.008	2.6505	0.416			4	0.118	0.130	4.1351	0.388
		5	-0.078	-0.121	2.9269	0.711			5	0.010	-0.044	4.1399	0.529
		6	-0.062	-0.046	3.1048	0.795			6	0.000	-0.024	4.1399	0.658
		7	0.108	0.104	3.6303	0.821			7	-0.229	-0.229	6.4325	0.490
		8	0.021	-0.060	3.6521	0.887			8	-0.193	-0.115	8.2508	0.409
		9	-0.102	-0.087	4.1842	0.899			9	-0.285	-0.194	12.378	0.193
		10	-0.150	-0.112	5.3712	0.885			10	-0.209	-0.119	14.988	0.144
		11	0.104	0.112	5.9660	0.875			11	-0.112	0.038	15.368	0.166
		12	0.005	-0.089	5.9665	0.918			12	-0.159	-0.129	16.804	0.157
		13	0.037	0.066	6.0461	0.944			13	-0.287	-0.205	21.057	0.072
		14	0.022	-0.002	6.0757	0.965			14	-0.004	0.120	21.059	0.100
		15	0.119	0.097	7.0018	0.958			15	-0.087	-0.168	21.548	0.120
		16	-0.077	-0.098	7.4067	0.965			16	-0.067	-0.182	21.899	0.148

المصدر : من إعداد الطالب بالأعتماد على برنامج EViews

بالنسبة للسلسلة الزمنية الخاصة بوكالة مغنية :

نلاحظ أن الاحتمال المقابل لإحصائية Q أكبر من 0,05 (ما تكون السلسلة مستقرة) بينما معامل الارتباط لا يقترب من الواحد (ما تكون السلسلة مستقرة) و بالتالي السلسلة مستقرة .

إذن نقوم بمقارنة احصائية Q_{sta} و التي تساوي 7,40 و هي أصغر من احصائية كاي مربع الجدولية و التي تساوي 26,29 و بالتالي السلسلة مستقرة

بالنسبة للسلسلة الزمنية الخاصة بوكالة سعيدة :

نلاحظ أن الاحتمال المقابل لإحصائية Q أكبر من 0,05 (ما تكون السلسلة مستقرة) بينما معامل الارتباط لا يقترب من الواحد (ما تكون السلسلة مستقرة) و بالتالي السلسلة مستقرة .

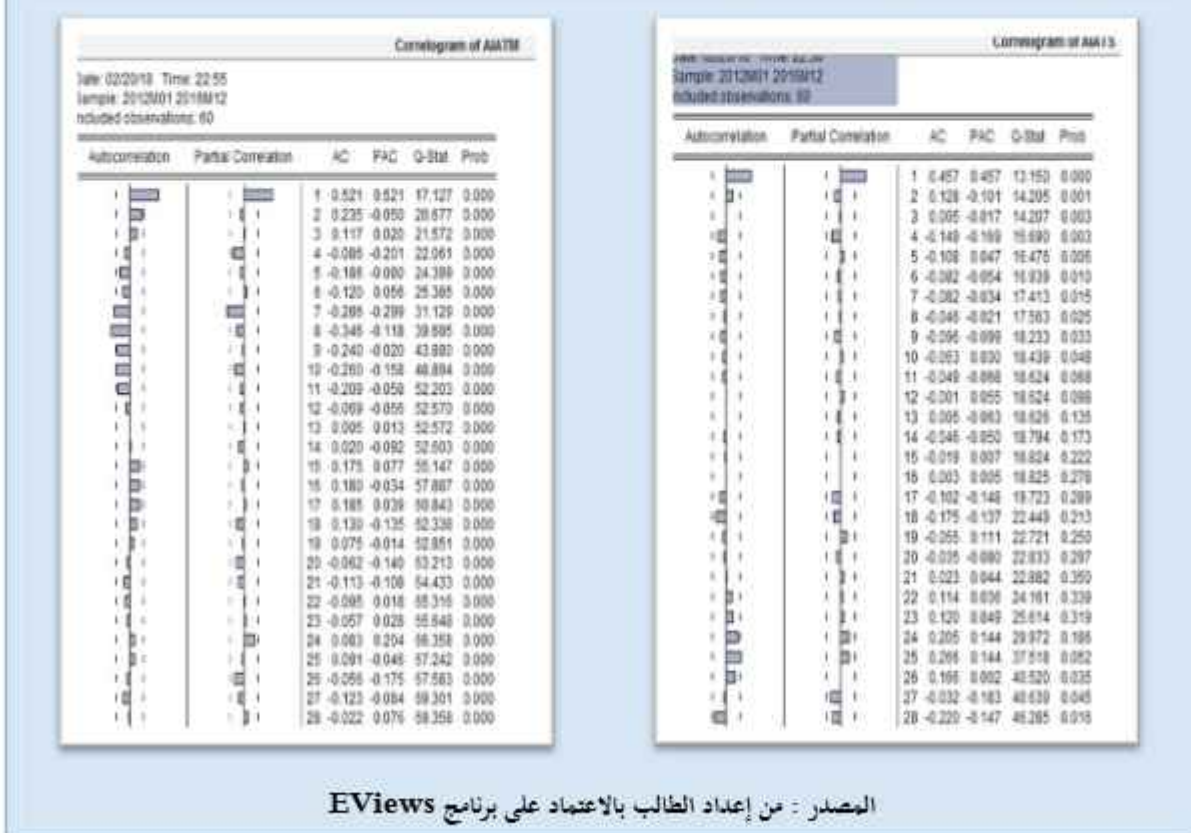
إذن نقوم بمقارنة احصائية Q_{sta} و التي تساوي 21,85 و هي أصغر من احصائية كاي مربع الجدولية و التي تساوي 26,29 و بالتالي السلسلة مستقرة

4-1-2-اختبار معنوية معاملات دوال الارتباط الذاتي للسلسلة الزمنية الممثلة

لاشتراكات الانترنت لدى المتعامل اتصالات الجزائر :

تكون السلسلة الزمنية الممثلة لاشتراكات الانترنت لدى وكالتي "سعيدة" و "معنية" للمتعامل اتصالات الجزائر مستقرة إذا كانت معاملات دالة ارتباطها الذاتي معنويًا لا تختلف عن الصفر من أجل كل فحوى p ، و فيما يلي تقدير معاملات دوال الارتباط الذاتي ACF و دوال الارتباط الذاتي الجزئية PACF للسلسلتين محل الدراسة :

الشكل رقم 09: معاملات دوال الارتباط الذاتي للسلسلة الزمنية الممثلة لاشتراكات الانترنت لدى المتعامل اتصالات الجزائر .



المصدر : من إعداد الطالب بالاعتماد على برنامج EViews

بالنسبة للسلسلة الزمنية الخاصة بوكالة مغنية :

نلاحظ أن الاحتمال المقابل لـ χ^2 أصغر من 0,05 (ما تكون السلسلة غير مستقرة) بينما معامل الارتباط لا يقترب من الواحد (ما تكون السلسلة مستقرة) و بالتالي صعب الحكم استقرارية أو عدم استقرارية السلسلة .

إذن نقوم بمقارنة احصائية Q_{sta} و التي تساوي 69,35 و هي أكبر من احصائية كاي مربع الجدولية و التي تساوي 41,33 و بالتالي السلسلة غير مستقرة (نتيجة غير نحائية) .

بالنسبة للسلسلة الزمنية الخاصة بوكالة سعيدة :

نلاحظ أن الاحتمال المقابل لـ χ^2 أصغر من 0,05 (ما تكون السلسلة غير مستقرة) بينما معامل الارتباط لا يقترب من الواحد (ما تكون السلسلة مستقرة) و بالتالي صعب الحكم استقرارية أو عدم استقرارية السلسلة .

إذن نقوم بمقارنة احصائية Q_{sta} و التي تساوي 46,28 و هي أكبر من احصائية كاي مربع الجدولية و التي تساوي 41,33 و بالتالي السلسلة غير مستقرة (نتيجة غير نحائية) .

2-اختبار جذر الوحدة للسلسلات الزمنية :

لتحديد الخصائص الغير ساكنة (non-stationary) للمتغيرات السليستين الزمنيتين على حد سواء في المستويات (levels) أو في الفرق الأول يستعمل اختبار ديككي فولر(DF)، أو ديككي فولر المطمور (ADF) (في هذا البحث منكتفي بالاختبار الأخير) حيث يستعمل هذا الاختبار بالاتجاه الزمن (Time trend) أو بدونه، رغم الاستعمال الواسع لهذا الاختبار إلا أنه يعاني مشكلة عدم أحدده بعين الاعتبار عدم وجود مشكلة اختلاف التباين و اختبار توزيع الطبيعي (Test de normalité) التي قد تكون موجودة في السلاسل الزمنية، ولذا يستعمل اختبار آخر إضافي لاختبار جذر الوحدة، وهو اختبار فيليبس و بيرسون (Phillip-Perron(PP)، لأن لديه قدرة

الدراسة التطبيقية:

اختباريه أفضل و أدق من اختبار (ADF test) لاسيما عندما يكون حجم العينة صغيرة، وعموماً يستخدم الاختبارين (ADF) و (PP)، بجانب اختبار الاستقرار (KPSS) و هذا الاختبار يعالج بعض أوجه الضعف في فعالية الاختبارين (ADF) و (PP) و في حال وجود ارتباط ذاتي للتباين، يمكن القول بأن نتائج هذه الاختبارات تكمل بعضها البعض، وبالتالي في حال اتفاقها على نتيجة واحدة تصبح النتيجة أكثر دقة .

2-1-2-اختبار ديكى فول المطور : ADF

من أجل اختبار ADF تستعمل طريقة المربعات الصغرى MCO لتقدير النماذج وسوف نستعين ببرنامج (Eviews). حيث اختبار ADF يقوم على الفرضيتين التاليتين:

$$\text{الفرضية العدمية: } H_0: \rho \neq 1$$

$$\text{الفرضية البديلة: } H_1: |\rho_j| < 1$$

قبول الفرضية العدمية H_0 يعني وجود جذور وحدية وعدم استقرار السلسل الزمنية وباستبدال طريقة المربعات الصغرى العادية لتقدير ρ في النماذج نحصل مثلا على: t : المحسوبة أكبر من t الجدولية. فإننا نقبل الفرضية العدمية أي عدم استقرار السلسل الزمنية. و النتائج مبينة في الجدول التالي :

الدراسة التطبيقية:

المجدول رقم 01 : نتائج اختبار دبكي فولر للسلالس الرمزية محل الدراسة

حكم	قرار	قيمة إحصائية ADF_{obs}			ADF_{cal}	السلالس الرمزية
		القيم المدرجة 10%	القيم المدرجة 5%	القيم المدرجة 1%		
مستقرة	نرفض الفرضية H_0	-3,172	-3,487	-4,121	-4,47	AIATM
مستقرة	نرفض الفرضية H_0	-3,173	-3,489	-4,124	-4,23	AIATS
مستقرة	نرفض الفرضية H_0	-3,184	-3,508	-4,165	-6,38	AIMM
مستقرة	نرفض الفرضية H_0	-3,184	-3,508	-4,165	-6,05	AIMS
مستقرة	نرفض الفرضية H_0	-3,184	-3,508	-4,165	-5,03	AIDM
مستقرة	نرفض الفرضية H_0	-3,185	-3,510	-4,170	-4,47	AIDS
مستقرة	نرفض الفرضية H_0	-3,204	-3,544	-4,243	-4,94	AIOM
مستقرة	نرفض الفرضية H_0	-3,204	-3,544	-4,243	-4,28	AIOS

المصدر : من إعداد الطالب بالأعتماد على برنامج EViews

نلاحظ أن القيمة المعلقة لـADF (t) المقدارة أكبر من القيمة المعلقة لقيم المحدولة (Mackinnon) في اختبار ADF ، و معنى ذلك أنها معنوية إحصائيا عند 5%، و 1% و عند 10% وبالتالي نرفض الفرضية H_0 ، أي أن السلالس محل الدراسة مستقرة (Stationary).

2-2-2-اختبار فيليبس - بيرون PP:

نتنقل إلى اختبار فيليبس و بيرسون (Phillip-Perron(PP))، لأن لديه قدرة اختباريه أفضل وأدق من اختبار (ADF test) لاسيما عندما يكون حجم العينة صغيرة ، و فيما يلي النتائج مبنية في الجدول التالي :

الدراسة التطبيقية:

الجدول رقم 02: نتائج اختبار فيليبس_بيرون لاستقرارية السلسلات الزمنية

الحكم	القرار	قيمة إحصائية PP_{tab}			PP_{cal}	السلسل الزمنية
		%10 القيم الحرجية	%5 القيم الحرجية	%1 القيم الحرجية		
مستقرة	نرفض الفرضية H_0	-3,172	-3,487	-4,121	-4,38	AIATM
مستقرة	نرفض الفرضية H_0	-3,173	-3,489	-4,121	-4,50	AIATS
مستقرة	نرفض الفرضية H_0	-3,184	-3,508	-4,165	-6,38	AIMM
مستقرة	نرفض الفرضية H_0	-3,184	-3,508	-4,165	-6,05	AIMS
مستقرة	نرفض الفرضية H_0	-3,184	-3,508	-4,783	-4,78	AIDM
مستقرة	نرفض الفرضية H_0	-3,184	-3,508	-4,165	-4,18	AIDS
مستقرة	نرفض الفرضية H_0	-3,20	-3,544	-4,243	-4,88	AIOM
مستقرة	نرفض الفرضية H_0	-3,204	-3,544	-4,243	-4,26	AIOS

المصدر: من إعداد الطالب بالأعتماد على برنامج EViews

أن القيمة المطلقة لـ t المقدرة أكبر من القيمة المطلقة لقيم المجدولة (Mackinnon) في اختبار PP ، و معنى ذلك أنها معنوية إحصائيا عند 5%، و 1% و عند 10% وبالتالي نرفض الفرضية H_0 ؛ أي أن السلسلة محل الدراسة مستقرة (Stationary).

3-2-2- اختبار KPSS :

عموماً يستخدم الاختبارين (ADF) و (PP)، بجانب اختبار الاستقرار (KPSS) و هذا الاختبار يعالج بعض أوجه الضعف في فعالية الاختبارين (ADF) و (PP) و في حال وجود ارتباط ذاتي للتباين و فيما يلي نتائج هذا الاختبار :

الدراسة التطبيقية:

الجدول رقم 03: نتائج اختبار KPSS لاستقرارية السلسلات الزمنية محل الدراسة

الحكم	القرار	القيم الجدولية			القيمة المحسوبة لـ LM	النماذج المقدرة
		القيمة الحرجة %10	القيمة الحرجة %5	القيمة الحرجة %1		
مستقرة	H_0 نقل الفرضية	0,119	0,146	0,216	0,0549	AIATM
مستقرة	H_0 نقل الفرضية	0,119	0,146	0,216	0,087	AIATS
مستقرة	H_0 نقل الفرضية	0,119	0,146	0,216	0,0551	AIMM
مستقرة	H_0 نقل الفرضية	0,119	0,146	0,216	0,097	AIMS
مستقرة	H_0 نقل الفرضية	0,119	0,146	0,216	0,043	AIDM
مستقرة	H_0 نقل الفرضية	0,119	0,146	0,216	0,088	AIDS
مستقرة	H_0 نقل الفرضية	0,119	0,146	0,216	0,092	AIOM
مستقرة	H_0 نقل الفرضية	0,119	0,146	0,216	0,100	AIOS

المصدر : من إعداد الطالب بالاعتماد على برنامج EViews

نلاحظ أن القيم المقدرة ل LM أصغر من القيمة المحددة للاختبار عند مختلف القيم الحرجة 5%

و 1 % و عند 10 % وبالتالي نقبل الفرضية H_0 ؛ أي أن السلسلات الزمنية محل الدراسة مستقرة

.(Stationary)

2-2-4-ملخص دراسة استقرارية السلسلات الزمنية :

من خلال استعمال اختبارات جذر الوحدة : ديكى فولر المطرور (ADF) ، اختبار فيليبس وبررسون (Phillip-Perron(PP)) و اختبار KPSS تبين أن كل السلسلات الزمنية محل الدراسة الممثلة لاشتراكات الانترنت لدى وكالات المتعاملين في السوق الجزائرية ، بحيث سوف تعتمد على نتائج هذه الاختبارات خصوصا و أن نتائجها ظهرت متوافقة و متناسبة مع بعضها البعض في كل السلسل .

3-استخدام نماذج ARMA للنماذج و التنبؤ (منهجية بوكس جينكتر) :

بعد إجراء الاختبارات الاحصائية لاستقرارية السلسل الزمنية ، و بعد الجزم باستقرارية جميع السلسل الزمنية محل الدراسة . و منه نستنتج أن جميع النماذج التي سوف نقوم بتقديرها هي من نوع (ARIMA(p.0.q) . ARIMA(p.0.q) و هو النموذج المكافئ ل

3-مرحلة التعرف على النموذج:

تعتبر مرحلة التعرف على النموذج المثالي لتقدير السلسل الزمنية باستخدام نماذج ARMA من بين أهم المراحل ، لأنه من الممكن أن نرفض النموذج المقدر في مرحلة متقدمة من البحث نتيجة لظهور نموذج معنوي آخر أكثر دقة من الأول ، لذلك قمنا في هذه المرحلة بتقدير العديد من النماذج المعنوية للسلسل الزمنية ، و اختار من بينها الأمثل في التقدير باستعمال مجموعة من المعايير ، و فيما يلي عرض لأهم نتائج التقدير :

3-1-التعرف على نموذج المتعامل موبيليس وكالة مغنية AIMM :

قمنا بتقدير عدة نماذج من أجل التعرف على النموذج الأمثل الذي يمثل اشتراكات الأنترنت لدى المتعامل موبيليس وكالة مغنية . حيث للوهلة الأولى ظهرت عدة نماذج معنوية من بين النماذج التي قمنا بتقديرها و التي هي مبينة في الجدول التالي :

الدراسة التطبيقية:

الجدول رقم 04: النماذج ARMA المرشحة لتمثيل نموذج المعامل موبيليس وكالة مغنية

DW	احصائية HA	معيار SCH	معيار AK	النماذج المرشحة
1,9356	10,53300	10,60665	10,48856	ARMA(1,1)
1,8766	10,50323	10,57781	10,45856	ARMA(2,2)
1,7410	10,46172	10,53727	10,41682	ARMA(3,3)
1,8394	10,41271	10,48924	10,36759	ARMA(4,4)
1,7433	9,860730	9,940456	9,815072	ARMA(7,7)
1,9422	10,31082	10,35933	10,28136	ARMA(0,11)
1,9688	9,763964	9,848531	9,717916	ARMA(11,11)

المصدر : من إعداد الطالب بالأعتماد على برنامج EViews

بعد تفحص نتائج النماذج المرشحة لتمثيل سلسلة اشتراكات الأنترنت لدى المعامل موبيليس وكالة مغنية ، قمنا باختيار النموذج ARMA(11,11) بعدة اعتبارات إحصائية منها :

- ❖ أقل قيمة لمعايير HA ، SCH ، AK
- ❖ معنوية جيدة للمعلم المقدرة
- ❖ احصائية ديرين واتسون DW مقبولة

كما أن منحيات الارتباط الذاتي و الارتباط الذاتي الجزئي هي مزيج أسي و جيبي متناقص نحو الصفر أي يعكس نموذج ARMA .

3-1-2- التعرف على نموذج المعامل موبيليس وكالة سعيدة : AIMS

قمنا بتقدير عدة نماذج من أجل التعرف على النموذج الأمثل الذي يمثل السلسلة الزمنية الممثلة لاشتراكات الأنترنت لدى المعامل موبيليس وكالة سعيدة حيث للوهلة الأولى ظهرت عدة نماذج معنوية من بين النماذج التي قمنا بتقديرها و التي هي مبينة في الجدول التالي :

الدراسة التطبيقية:

الجدول رقم 05: النماذج ARMA المرشحة لتمثيل نموذج المعامل موبيليس وكالة سعيدة

DW احصائية	HA معيار	SCH معيار	AK معيار	النماذج المرشحة
1,6603	11,06520	11,13885	11,02076	ARMA(1,1)
1,8737	11,08946	11,16404	11,04478	ARMA(2,2)
1,8982	10,79668	10,87641	10,75103	ARMA(7,7)
2,0597	10,85833	10,93589	10,81301	ARMA(5,5)
2,1052	10,64519	10,69369	10,61573	ARMA(0,13)
1,7426	10,79641	10,87728	10,75061	ARMA(8,8)
2,0495	10,55356	10,60206	10,52410	ARMA(0,17)
1,9886	10,19613	10,27369	10,15082	ARMA(5,17)

المصدر: من إعداد الطالب بالاعتماد على برنامج EViews

بعد تفحص نتائج النماذج المرشحة لتمثيل سلسلة اشتراكات الأنترنت لدى المعامل موبيليس وكالة سعيدة ، قمنا باختيار النموذج ARMA(5,17) لعدة اعتبارات إحصائية منها :

❖ أقل قيمة لمعايير AK ، HA ، SCH

❖ معنوية جيدة للمعلم المقدرة

❖ احصائية ديرين واتسون DW مقبولة

كما أن منحيات الارتباط الذاتي و الارتباط الذاتي الجزئي هي مزيج أسي و جيبي متناقص نحو الصفر أي يعكس نموذج ARMA .

3-1-3-التعرف على نموذج المعامل جيزي وكالة مغنية :

قمنا بتقدير عدة نماذج من أجل التعرف على النموذج الأمثل الذي يحاكي السلسلة الزمنية الممثلة لاشتراكات الأنترنت لدى المعامل جيزي وكالة مغنية حيث للوهلة الأولى ظهرت عدة نماذج معنوية من بين النماذج التي قمنا بتقديرها و التي هي مبينة في الجدول التالي :

الدراسة التطبيقية:

الجدول رقم 06: النماذج ARMA المرشحة لتمثيل نموذج المعامل جيزي وكالة مغنية

DW	احصائية	HA	معيار	SCH	معيار	AK	معيار	النماذج المرشحة
1,9744		8,418066		8,466569		8,388602		ARMA(0,1)
1,5648		8,427073		8,475576		8,397609		ARMA(0,5)
1,2991		7,530129		7,578632		7,500665		ARMA(0,30)
1,3045		7,072175		7,156742		7,026127		ARMA(11,26)
1,5165		7,935552		7,984055		7,906089		ARMA(0,20)
1,6406		8,541298		8,597676		8,510599		ARMA(11,0)
1,4771		7,598078		7,646581		7,568614		ARMA(0,27)
1,2991		7,530129		7,578632		7,500665		ARMA(0,30)
1,1099		7,271007		7,319510		7,241543		ARMA(0,34)

المصدر : من إعداد الطالب بالاعتماد على برنامج EViews

بعد تفحص نتائج النماذج المرشحة لتمثيل سلسلة اشتراكات الأنترنت لدى المعامل جيزي وكالة مغنية ، قمنا باختيار النموذج ARMA(11,26) لعدة اعتبارات إحصائية منها :

- ❖ أقل قيمة لمعاير HA ، SCH ، AK
- ❖ معنوية جيدة للمعلم المقدرة
- ❖ إحصائية ديرين واتسون DW مقبولة

كما أن منحنيات الارتباط الذاتي و الارتباط الذاتي الجزئي هي مزاج أسي و جيبي متناقص نحو الصفر أي يعكس نموذج ARMA .

3-4-التعرف على نموذج المعامل جيزي وكالة سعيدة : AIDS

قمنا بتقدير عدة نماذج من أجل التعرف على النموذج الأمثل الذي يمثل السلسلة الزمنية الممثلة لاشتراكات الأنترنت لدى المعامل جيزي وكالة سعيدة حيث للوهلة الأولى ظهرت عدة نماذج معنوية من بين النماذج التي قمنا بتقديرها و التي هي مبينة في الجدول التالي :

الدراسة التطبيقية:

الجدول رقم 07 : النماذج ARMA المرشحة لتمثيل نموذج المعامل جيزي وكالة سعيدة

DW احصائية	HA معيار	SCH معيار	AK معيار	النماذج المرشحة
1,8381	8,710068	8,759171	8,680441	ARMA(1,0)
1,8480	7,987837	8,061491	7,943397	ARMA(1,22)
0,6700	7,249760	7,340031	7,203985	ARMA(15,22)
1,0885	7,525811	7,574314	7,496348	ARMA(0,28)
1,3184	8,085152	8,133655	8,055688	ARMA(0,19)

المصدر : من إعداد الطالب بالاعتماد على برنامج EViews

بعد تفحص نتائج النماذج المرشحة لتمثيل سلسلة اشتراكات الأنترنت لدى المعامل جيزي وكالة سعيدة ، قمنا باختيار النموذج ARMA(15,22) لعدة اعتبارات إحصائية منها :

- ❖ أقل قيمة لمعايير HA , SCH , AK
- ❖ معنوية جيدة للمعلم المقدرة
- ❖ احصائية ديرين واتسون DW مقبولة

كما أن منحنيات الارتباط الذاتي و الارتباط الذاتي الجزئي هي مزدوج أسي و جيزي متناقص نحو الصفر أي يعكس نموذج ARMA .

3-1-5-التعرف على نموذج المعامل أوريدو وكالة مغنية : AIOM

قمنا بتقدير عدة نماذج من أجل التعرف على النموذج الأمثل الذي يحاكي السلسلة الزمنية الممثلة لاشتراكات الأنترنت لدى المعامل أوريدو وكالة مغنية حيث للوهلة الأولى ظهرت عدة نماذج معنوية من بين النماذج التي قمنا بتقديرها و التي هي مبينة في الجدول التالي :

الدراسة التطبيقية:

الجدول رقم 08: النماذج ARMA المرشحة لتمثيل نموذج المعامل أوريدو وكالة معنية

DW	احصائية	HA	معيار	SCH	معيار	AK	معيار	النماذج المرشحة
1,4691		9,515963		9,604713		9,470034		ARMA(2,2)
0,9151		5,472272		5,600205		5,451810		ARMA(18,14)
1,3027		8,700152		8,757420		8,669447		ARMA(0,13)
1,1127		7,386316		7,443584		7,355611		ARMA(0,29)
1,4131		8,885131		8,971034		8,839074		ARMA(0,25)
1,6326		8,988542		9,074445		8,942485		ARMA(0,22)
1,5816		9,126113		9,212015		9,080055		ARMA(0,20)

المصدر : من إعداد الطالب بالأعتماد على برنامج EViews

بعد تفحص نتائج النماذج المرشحة لتمثيل سلسلة اشتراكات الأنترنت لدى المعامل أوريدو وكالة معنية ، قمنا باختيار النموذج ARMA(18,14) لعدة اعتبارات إحصائية منها :

- ❖ أقل قيمة لمعايير HA ، SCH ، AK
- ❖ معنوية جيدة للمعائم المقدرة
- ❖ احصائية ديرين واتسون DW مقبولة

كما أن منحنيات الارتباط الذاتي و الارتباط الذاتي الجزئي هي مزيج أسي و جيبي متناقص نحو الصفر أي يعكس نموذج ARMA .

3-6-التعرف على نموذج المعامل أوريدو وكالة سعيدة : AIOS

قمنا بتقدير عدة نماذج من أجل التعرف على النموذج الأمثل الذي يمثل السلسلة الزمنية الممثلة لاشتراكات الأنترنت لدى المعامل أوريدو وكالة سعيدة حيث للوهلة الأولى ظهرت عدة نماذج معنوية من بين النماذج التي قمنا بتقديرها و التي هي مبينة في الجدول التالي :

الدراسة التطبيقية:

الجدول رقم 09: النماذج ARMA المرشحة لتمثيل نموذج المعامل أوريدو وكالة سعيدة

DW	احصائية HA	معيار SCH	معيار AK	النماذج المرشحة
1,1737	10,35406	10,44760	10,30883	ARMA(5,5)
1,3352	10,48925	10,58111	10,44370	ARMA(4,4)
1,6272	9,872918	9,958821	9,826861	ARMA(0,16)
1,6469	9,720880	9,806783	9,674823	ARMA(0,27)
1,6338	9,128271	9,185539	9,097566	ARMA(0,20)
1,2280	8,994631	9,051900	8,963926	ARMA(0,21)
1,1656	8,693478	8,750746	8,662773	ARMA(0,23)

المصدر : من إعداد الطالب بالاعتماد على برنامج EViews

بعد تفحص نتائج النماذج المرشحة لتمثيل سلسلة اشتراكات الأنترنت لدى المعامل أوريدو وكالة مغنية ، قمنا باختيار النموذج ARMA(0,23) لعدة اعتبارات احصائية منها :

- ❖ أقل قيمة لمعايير HA ، SCH ، AK
- ❖ معنوية جيدة للمعامل المقدرة
- ❖ احصائية ديرين واتسون DW مقبولة

كما أن منحنيات الارتباط الذائي و الارتباط الذائي الجزئي هي من شكل جيبي متناقص نحو الصفر أي يعكس نموذج MA .

3-7-التعرف على نموذج المعامل اتصالات الجزائر وكالة مغنية : AIATM

قمنا بتقدير عدة نماذج من أجل التعرف على النموذج الأمثل الذي يحاكي سلسلة اشتراكات الأنترنت لدى المعامل اتصالات الجزائر وكالة مغنية حيث للوهلة الأولى ظهرت عدة نماذج معنوية من بين النماذج التي قمنا بتقديرها و التي هي مبنية في الجدول التالي :

الدراسة التطبيقية:

الجدول رقم 10 : النماذج ARMA المرشحة لتمثيل نموذج المعامل اتصالات الجزائر وكالة مغنية

DW	احصائية	HA	معيار	SCH	معيار	AK	معيار	النماذج المرشحة
2,0017		8,957972		9,022373		8,916736		ARMA(1,5)
1,1165		9,252954		9,295459		9,225647		ARMA(0 ,5)
1,2919		9,303453		9,345957		9,276146		ARMA(0,2)
1,7828		9,122524		9,195029		9,095217		ARMA(0,1)
1,4220		9 ,133772		9,176276		9,106465		ARMA(0,7)
0,7235		9,010425		9,052930		8,983118		ARMA(0,20)

المصدر : من إعداد الطالب بالأعتماد على برنامج EViews

بعد تفحص نتائج النماذج المرشحة لتمثيل سلسلة اشتراكات الأنترنت لدى المتعامل اتصالات الجزائر وكالة مغنية ، قمنا باختيار النموذج ARMA(1,5) بعدة اعتبارات إحصائية منها :

- ❖ أقل قيمة لمعايير HA ، SCH ، AK
- ❖ معنوية جيدة للمعلم المقدرة
- ❖ احصائية ديرين واتسون DW مقبولة

كما أن منحنيات الارتباط الذاتي و الارتباط الذاتي الجزئي هي مزيج أسي و جيبي متناقص نحو الصفر أي يعكس نموذج ARMA .

3-8-التعرف على نموذج المعامل اتصالات الجزائر وكالة سعيدة : AIATS

قمنا بتقدير عدة نماذج من أجل التعرف على النموذج الأمثل الذي يمثل سلسلة اشتراكات الأنترنت لدى المتعامل اتصالات الجزائر وكالة سعيدة حيث للوهلة الأولى ظهرت عدة نماذج معنوية من بين النماذج التي قمنا بتقديرها و التي هي مبينة في الجدول التالي :

الدراسة التطبيقية:

الجدول رقم 11: النماذج ARMA المرشحة لتمثيل نموذج المعامل اتصالات الجزائر وكالة سعيدة

DW	احصائية HA	معيار SCH	معيار AK	النماذج المرشحة
1,9153	9,833365	9,876299	9,805874	ARMA(1,0)
1,9066	9,829587	9,872091	9,802280	ARMA(0,1)
0,9514	9,801403	9,843907	9,774096	ARMA(0,9)
1,7564	9,564424	9,628825	9,523188	ARMA(1,9)
1,6767	9,478091	9,542412	9,436855	ARMA(1,10)
0,9225	9,766675	9,809180	9,739368	ARMA(0,15)
1,7005	9,217788	9,282189	9,176552	ARMA(1,15)
1,7464	9,309730	9,374130	9,268493	ARMA(1,16)
1,5573	9,275299	9,382634	9,206571	ARMA(1,17)
0,8278	9,515168	9,557672	9,487861	ARMA(0,18)
1,6473	9,103425	9,167826	9,062189	ARMA(1,20)

المصدر : من إعداد الطالب بالأعتماد على برنامج EViews

بعد تفحص نتائج النماذج المرشحة لتمثيل سلسلة اشتراكات الأنترنت لدى المعامل اتصالات الجزائر وكالة سعيدة ، قمنا باختيار النموذج ARMA(1,20) لعدة اعتبارات احصائية منها :

❖ أقل قيمة لمعايير HA ، SCH ، AK

❖ معنوية جيدة للمعلم المقدرة

❖ احصائية ديرين واتسون DW مقبولة

كما أن متحنيات الارتباط الذاتي و الارتباط الذاتي الجزئي هي مزدوج أسي و حبي متناقص نحو الصفر أي يعكس نموذج ARMA .

3-2-مرحلة التقدير النماذج :

في هذه المرحلة من الدراسة سوف يتم تقدير النماذج الممثلة لاشتراكات الأنترنت لدى الوكالات للمتعاملين محل الدراسة ، بعدما تم التعرف عليها في المرحلة السابقة :

3-2-1-النموذج الأول: نموذج موبيليس-وكالة مغنية-

من خلال النتائج المتحصل عليها سابقا نلاحظ أن النموذج الملائم هو نموذج الانحدار ذاتي متوازن متتحرك . حيث في تقديرنا لهذا نلاحظ أن الانحدار الذاتي هو من الدرجة إحدى عشر والمتوسط المتحرك هو من الدرجة إحدى عشر ، أما درجة التكامل فهي من الدرجة الصفر ومنه نكتب النموذج على الشكل التالي :

$$ARMA(11,11) : AIMM_t = C + \phi_{11}AIMM_{t-11} + \varepsilon_t - \theta_{11}\varepsilon_{t-11}$$

لتقدير النموذج الذي بحوزتنا نستعمل طريقة المربيعات الصغرى لأنها تأخذ بعين الاعتبار التغيرات العشوائية والاتجاه العام في التقدير :

الجدول رقم 12: نتائج تقدير نموذج ARMA(11,11)

Variable	Coefficient	Std. Error	t-Statistic	Prob.
C	258.6194	7.101530	36.41743	0.0000
AR(11)	-0.321230	0.119842	-2.680446	0.0113
MA(11)	0.908364	0.032755	27.73175	0.0000

المصدر : من إعداد الطالب بالاعتماد على برنامج EViews

و من خلال نتائج الجدول أعلاه يمكن كتابة النموذج الرياضي كما يلي :

$$ARMA(11,11) : AIMM_t = 258,61 - 0,32AIMM_{t-11} + \varepsilon_t - 0,90 \varepsilon_{t-11}$$

3-2-3- النموذج الثاني : نموذج موبيليس - وكالة سعيدة -

من خلال النتائج المتحصل عليها سابقاً نلاحظ أن النموذج الملائم هو نموذج الانحدار ذاتي متسع متتحرك . حيث في تقديرنا لهذا نلاحظ أن الانحدار الذاتي هو من الدرجة الخامسة والمتوسط المتتحرك هو من الدرجة سبعة عشرة ، أما درجة التكامل فهي من الدرجة الصفر ومنه نكتب النموذج على الشكل التالي :

$$ARMA(5,17) : AIMS_t = C + \phi_5 AIMS_{t-5} + \varepsilon_t - \theta_{17} \varepsilon_{t-17}$$

لتقدير النموذج الذي بحوزتنا نستعمل طريقة المربعات الصغرى لأنها تأخذ بعين الاعتبار التغيرات العشوائية والاتجاه العام في التقدير :

الجدول رقم 13: نتائج للتقدير نموذج ARMA(5,17)

Variable	Coefficient	Std. Error	t-Statistic	Prob.
C	185.8622	5.694037	32.64155	0.0000
AR(5)	-0.320544	0.118098	-2.714225	0.0098
MA(17)	-0.893912	0.033404	-26.76058	0.0000

المصدر : من إعداد الطالب بالاعتماد على برنامج EViews

و من خلال نتائج الجدول أعلاه يمكن كتابة النموذج الرياضي كما يلي :

$$ARMA(5,17) : AIMS_t = 185,86 - 0,32 AIMS_{t-5} + \varepsilon_t + 0,89 \varepsilon_{t-17}$$

3-2-3- النموذج الثالث : نموذج جيزي - وكالة مغنية -

من خلال النتائج المتحصل عليها سابقاً نلاحظ أن النموذج الملائم هو نموذج الانحدار ذاتي متسع متتحرك . حيث في تقديرنا لهذا نلاحظ أن الانحدار الذاتي هو من الدرجة احدى عشر

الدراسة التطبيقية:

والمتوسط المتحرك هو من الدرجة ستة وعشرون ، أما درجة التكامل فهي من الدرجة الصفر ومنه نكتب النموذج على الشكل التالي :

$$ARMA(11,26) : AIDM_t = C + \phi_{11}AIDM_{t-11} + \varepsilon_t - \theta_{26}\varepsilon_{t-26}$$

لتقدير النموذج الذي بحوزتنا نستعمل طريقة المربعات الصغرى لأنها تأخذ بعين الاعتبار التغيرات العشوائية والاتجاه العام في التقدير :

الجدول رقم 14: نتائج تقدير نموذج ARMA(11,26)

Variable	Coefficient	Std. Error	t-Statistic	Prob.
C	112.2423	1.758335	63.83441	0.0000
AR(11)	-0.396186	0.142805	-2.774317	0.0089
MA(26)	0.913747	0.029299	31.18705	0.0000

المصدر : من إعداد الطالب بالأعتماد على برنامج EViews

و من خلال نتائج الجدول أعلاه يمكن كتابة النموذج الرياضي كما يلي :

$$ARMA(11,26) : AIDM_t = 112,24 - 0,39 AIDM_{t-11} + \varepsilon_t - 0,91 \varepsilon_{t-26}$$

3-4-النموذج الرابع : نموذج جيري سوكالة سعيدة-

من خلال النتائج المتحصل عليها سابقا نلاحظ ان النموذج الملائم هو نموذج الانحدار ذاتي متوسط متحرك . حيث في تقديرنا لهذا نلاحظ أن الانحدار الذاتي هو من الدرجة خمسة عشر والمتوسط المتحرك هو من الدرجة اثنان وعشرون ، أما درجة التكامل فهي من الدرجة الصفر ومنه نكتب النموذج على الشكل التالي :

$$ARMA(15,22) : AIDS_t = C + \phi_{15}AIDS_{t-15} + \varepsilon_t - \theta_{22}\varepsilon_{t-22}$$

الدراسة التطبيقية:

لتقدير النموذج الذي بحوزتنا نستعمل طريقة المربعات الصغرى لأنها تأخذ بعين الاعتبار التغيرات العشوائية والاتجاه العام في التقدير :

الجدول رقم 15: نتائج تقدير نموذج ARMA(15,22)

Variable	Coefficient	Std. Error	t-Statistic	Prob.
C	126.3115	5.683147	22.22563	0.0000
AR(15)	0.388724	0.135961	2.859077	0.0077
MA(22)	-0.946239	0.028601	-33.08430	0.0000

المصدر : من إعداد الطالب بالاعتماد على برنامج EViews

و من خلال نتائج الجدول أعلاه يمكن كتابة النموذج الرياضي كما يلي :

$$ARMA(15,22) : AIDS_t = 126,31 + 0,38 AIDS_{t-15} + \varepsilon_t + 0,94 \varepsilon_{t-22}$$

3-2-5- النموذج الخامس : نموذج أوريدو - وكالة مغنية-

من خلال النتائج المتحصل عليها سابقا نلاحظ أن النموذج الملائم هو نموذج الانحدار ذاتي متواضع متتحرك . حيث في تقديرنا لهذا نلاحظ أن الانحدار الذاتي هو من الدرجة الثامنة عشر و المتواضع المتحرك هو من الدرجة الرابعة عشر ، أما درجة التكامل فهي من الدرجة الصفر ومنه نكتب النموذج على الشكل التالي :

$$ARMA(18,14) : AIOM_t = C + \phi_{18} AIOM_{t-18} + \varepsilon_t - \theta_{14} \varepsilon_{t-14}$$

لتقدير النموذج الذي بحوزتنا نستعمل طريقة المربعات الصغرى لأنها تأخذ بعين الاعتبار التغيرات العشوائية والاتجاه العام في التقدير :

الدراسة التطبيقية:

الجدول رقم 16: نتائج تدريب نموذج ARMA(18,14)

Variable	Coefficient	Std. Error	t-Statistic	Prob.
C	115.9266	1.461339	79.32900	0.0000
AR(18)	-0.366043	0.105207	-3.479259	0.0034
MA(14)	0.965481	0.015380	62.77638	0.0000

المصدر : من إعداد الطالب بالاعتماد على برنامج EViews

و من خلال نتائج الجدول أعلاه يمكن كتابة النموذج الرياضي كما يلي :

$$ARMA(18,14) : AIOM_t = 115,92 - 0,36AIOM_{t-18} + \varepsilon_t - 0,96\varepsilon_{t-14}$$

-6-2-3- النموذج السادس : نموذج أوريدو - وكالة سعيدة -

من خلال النتائج المتحصل عليها سابقا نلاحظ أن النموذج الملائم هو نموذج الانحدار ذاتي متوسط متحرك . حيث في تقديرنا لهذا نلاحظ أن الانحدار الذاتي هو من الدرجة الصفر والمتوسط المتحرك هو من الدرجة الثالثة وعشرين ، أما درجة التكامل فهي من الدرجة الصفر ومنه نكتب النموذج على الشكل التالي :

$$ARMA(0,23) : AIOS_t = C + \varepsilon_t - \theta_{23}\varepsilon_{t-23}$$

لتقدير النموذج الذي بحوزتنا نستعمل طريقة المربعات الصغرى لأنها تأخذ بعين الاعتبار التغيرات العشوائية والاتجاه العام في التقدير :

الجدول رقم 17: نتائج تدريب نموذج (0,23)

Variable	Coefficient	Std. Error	t-Statistic	Prob.
C	127.6367	5.212328	24.48747	0.0000
MA(23)	0.929800	0.025967	35.80677	0.0000

المصدر : من إعداد الطالب بالاعتماد على برنامج EViews

و من خلال نتائج الجدول أعلاه يمكن كتابة النموذج الرياضي كما يلي :

$$ARMA(0,23) : AIOS_t = 127,63 + \varepsilon_t - 0,92\varepsilon_{t-23}$$

3-7-النموذج السابع : نموذج اتصالات الجزائر - وكالة مغنية -

من خلال النتائج المتحصل عليها سابقا نلاحظ أن النموذج الملائم هو نموذج الانحدار ذاتي متعدد متتحرك . حيث في تقديرنا لهذا نلاحظ أن الانحدار الذاتي هو من الدرجة الأولى والمتعدد المتتحرك هو من الدرجة الخامسة ، أما درجة التكامل فهي من الدرجة الصفر كذلك ومنه نكتب النموذج على الشكل التالي :

$$ARMA(1,5) : AIATM_t = C + \phi_1 AIATM_{t-1} + \varepsilon_t - \theta_5 \varepsilon_{t-5}$$

لتقدير النموذج الذي بحوزتنا تستعمل طريقة المربيعات الصغرى لأنها تأخذ بعين الاعتبار التغيرات العشوائية و الاتجاه العام في التقدير :

الجدول رقم 18 : نتائج تقدير نموذج ARMA(1,5)

Variable	Coefficient	Std. Error	t-Statistic	Prob.
C	217.4110	3.568634	60.92274	0.0000
AR(1)	0.484784	0.109715	4.418565	0.0000
MA(5)	-0.343702	0.127377	-2.698315	0.0092

المصدر : من إعداد الطالب بالاعتماد على برنامج EViews

و من نتائج الجدول أعلاه يمكن كتابة النموذج الرياضي كما يلي :

$$ARMA(1,5) : AIATM_t = 217,41 + 0,48AIATM_{t-1} + \varepsilon_t + 0,34\varepsilon_{t-5}$$

الدراسة التطبيقية:

3-2-3- النموذج الثامن : نموذج اتصالات الجزائر - وكالة سعيدة -

من خلال النتائج المتحصل عليها سابقا نلاحظ ان النموذج الملائم هو نموذج الانحدار ذاتي متسع متتحرك . حيث في تقديرنا لهذا نلاحظ أن الانحدار الذاتي هو من الدرجة الأولى والمتسع المتتحرك هو من الدرجة عشرين ، أما درجة التكامل فهي من الدرجة الصفر ومنه نكتب النموذج على الشكل التالي :

$$ARMA(1,20) : AIATS_t = C + \phi_1 AIATS_{t-1} + \varepsilon_t - \theta_{20} \varepsilon_{t-20}$$

لتقدير النموذج الذي بحوزتنا نستعمل طريقة المربعات الصغرى لأنها تأخذ بعين الاعتبار التغيرات العشوائية والاتجاه العام في التقدير :

الجدول رقم 19: نتائج تدبير نموذج ARMA(1,20)

Variable	Coefficient	Std. Error	t-Statistic	Prob.
C	134.1669	7.919407	16.94154	0.0000
AR(1)	0.578687	0.106298	5.444019	0.0000
MA(20)	-0.892389	0.024737	-36.07465	0.0000

المصدر : من إعداد الطالب بالاعتماد على برنامج EViews

و من خلال نتائج الجدول أعلاه يمكن كتابة النموذج الرياضي كما يلي :

$$ARMA(1,20) : AIATM_t = 134,16 + 0,57 AIATS_{t-1} + \varepsilon_t + 0,89 \varepsilon_{t-20}$$

3-3- مرحلة اختبار و تشخيص النماذج المقدرة :

هنا سوف نقوم باختبار المعنوية للمعلم و النماذج المقدرة بالاعتماد على مجموعة من الاختبارات القياسية و الاحصائية كما يلي :

3-1- اختبار معنوية المعالم المقدرة للنموذج :

3-1-1- اختبار معنوية معلم النموذج الأول: AIMM

من خلال نتائج التقدير نلاحظ أن الاحتمال المقابل لكل من معلم النموذج المقدر C , ϕ_{11} ,

θ_{11} و الذي يساوي على التوالي : 0,0000 _ 0,0113 _ 0,0000 (انظر الملحق رقم 08)

و هي أصغر من الاحتمال 0,05 . و منه المعلم المقدرة في النموذج معنوية .

و لتأكيد هذه النتيجة نستعمل اختبار ستودنت كما يلي :

► نأخذ القيمة المعلقة لإحصائية ستودنت المحسوبة (t-Statistic) لمعلمات النموذج المقدر

و التي نستخرجها من جدول التقدير النموذج (انظر الملحق رقم 08) للمعلمات C ,

θ_{11} ، ϕ_{11} و التي قيمتها على التوالي : /36,41 / -2,68 / 27,73 / و نقارنها

بالقيمة الحدودية للتوزيع الطبيعي التي تساوي 1,96 أي أن :

$$/36,41 / > 1,96$$

$$/-2,68 / > 1,96$$

$$/27,73 / > 1,96$$

و منه نرفض فرضيات العدم التالية :

$$H_0 : C = 0$$

$$H_0 : \phi_{11} = 0$$

$$H_0 : \theta_{11} = 0$$

أي أن معلمات النموذج المقدرة تختلف معنويًا عن الصفر ، أي أنها مقبولة إحصائيًا في

تقدير النموذج .

3-1-2-اختبار معنوية معالم النموذج الثاني : AIMS :

من خلال نتائج التقدير نلاحظ أن الاحتمال المقابل لكل من معلم النموذج المقدر C ، ϕ_5 ، θ_{17} و الذي يساوي على التوالي : 0,0000 _ 0,0098 _ 0,0000 (انظر الملحق رقم 09) وهي أصغر من الاحتمال 0,05 . و منه المعلم المقدرة في النموذج معنوية . و لتأكيد هذه النتيجة نستعمل اختبار ستودنت كما يلي :

► نأخذ القيمة المعلقة لإحصائية ستودنت المحسوبة (t-Statistic) لمعلمات النموذج المقدر C و التي نستخرجها من جدول التقدير النموذج (انظر الملحق رقم 09) للمعلمات C ، ϕ_5 ، θ_{17} و التي قيمتها على التوالي : / 32,64 ، / -2,71 ، / -26,76 / ونقارنها بالقيمة الحدودية للتوزيع الطبيعي التي تساوي 1,96 أي أن :

$$/ 32,64 / > 1,96$$

$$/ -2,71 / > 1,96$$

$$/ -26,76 / > 1,96$$

و منه نرفض فرضيات عدم التالية :

$$H_0 : C = 0$$

$$H_0 : \phi_5 = 0$$

$$H_0 : \theta_{17} = 0$$

أي أن معلمات النموذج المقدرة تختلف معنويًا عن الصفر ، أي أنها مقبولة إحصائيًا في تقدير النموذج .

3-1-3-3- اختبار معنوية معالم النموذج الثالث AIDM :

من خلال نتائج التقدير نلاحظ أن الاحتمال المقابل لكل من معالم النموذج المقدر ϕ_{11} , C , θ_{26} و الذي يساوي على التوالي : 0,0000 - 0,0089 - 0,0000 (انظر الملحق رقم 06) و هي أصغر من الاحتمال 0,05 . و منه المعالم المقدرة في النموذج معنوية .

و لتأكيد هذه النتيجة نستعمل اختبار ستودنت كما يلي :

► نأخذ القيمة المطلقة لإحصائية ستودنت المحسوبة (t-Statistic) لمعلمات النموذج المقدر C و التي نستخرجها من جدول التقدير النموذج (انظر الملحق رقم 06) للمعلمات C , θ_{26} , ϕ_{11} و التي قيمتها على التوالي : /63,83/, /-2,77/, /31,18/ و نقارنها بالقيمة الحدودية للتوزيع الطبيعي التي تساوي 1,96 أي أن :

$$/63,83/ > 1,96$$

$$/-2,77/ > 1,96$$

$$/31,18/ > 1,96$$

و منه نرفض فرضيات العدم التالية :

$$H_0 : C = 0$$

$$H_0 : \phi_{11} = 0$$

$$H_0 : \theta_{26} = 0$$

أي أن معلمات النموذج المقدرة تختلف معنويًا عن الصفر ، أي أنها مقبولة إحصائياً في تقدير النموذج .

3-3-4- اختبار معنوية معالم النموذج الرابع: AIDS :

من خلال نتائج التقدير نلاحظ أن الاحتمال المقابل لكل من معلم النموذج المقدر C ، ϕ_{15} ،

θ_{22} و الذي يساوي على التوالي : 0,0000 _ 0,0077 _ 0,0000 (انظر الملحق رقم 07) وهي أصغر من الاحتمال 0,05 . و منه المعالم المقدرة في النموذج معنوية .

و لتأكيد هذه النتيجة نستعمل اختبار ستودنت كما يلي :

► نأخذ القيمة المطلقة لإحصائية ستودنت المحسوبة (t-Statistic) لمعلمات النموذج المقدر

و التي نستخرجها من جدول التقدير النموذج (انظر الملحق رقم 07) للمعلمات C

θ_{22} ، ϕ_{15} و التي قيمتها على التوالي : / 22,22 ، / 2,85 / -33,08 / ونقارنها

بالقيمة الحدودية للتوزيع الطبيعي التي تساوي 1,96 أي أن :

/ 22,22 > 1,96

/ 2,85 / > 1,96

/ -33,08 / > 1,96

و منه نرفض فرضيات العدم التالية :

$$H_0 : C = 0$$

$$H_0 : \phi_{15} = 0$$

$$H_0 : \theta_{22} = 0$$

أي أن معلمات النموذج المقدرة تختلف معنويًا عن الصفر ، أي أنها مقبولة إحصائياً في

تقدير النموذج .

3-1-5-اختبار معنوية معالم النموذج الخامس : AIOM :

من خلال نتائج التقدير نلاحظ أن الاحتمال المقابل لكل من معلم النموذج المقدر C , ϕ_{18} ,

θ_{14} و الذي يساوي على التوالي : 0,0000 _ 0,0034 _ 0,0000 (انظر الملحق رقم 10)

و هي أصغر من الاحتمال 0,05 . و منه المعلم المقدرة في النموذج معنوية .

و لتأكيد هذه النتيجة نستعمل اختبار ستودنت كما يلي :

► نأخذ القيمة المطلقة لإحصائية ستودنت المحسوبة (t-Statistic) لمعلمات النموذج المقدر

و التي نستخرجها من جدول التقدير النموذج (انظر الملحق رقم 10) للمعلمات C

ϕ_{18} و θ_{14} و التي قيمها على التوالي : / 79,32 , / -3,47 , / 62,77 و تقارنها

بالغيـة الجدولية للتوزيع الطبيعي التي تساوي 1,96 أي أن :

$$/ 79,32 / > 1,96$$

$$/ -3,47 / > 1,96$$

$$/ 62,77 / > 1,96$$

و منه نرفض فرضيات العدم التالية :

$$H_0 : C = 0$$

$$H_0 : \hat{\phi}_{18} = 0$$

$$H_0 : \theta_{14} = 0$$

أي أن معلمات النموذج المقدرة تختلف معنويًا عن الصفر ، أي أنها مقبولة إحصائياً في

تقدير النموذج .

3-1-6-اختبار معنوية معالم النموذج السادس : AIOS :

من خلال نتائج التقدير نلاحظ أن الاحتمال المقابل لكل من معالم النموذج المقدر C ، θ_{23} و الذي يساوي على التوالي : 0,0000 _ 0,0000 (أنظر الملحق رقم 11) و هي أصغر من الاحتمال 0,05 . و منه المعالم المقدرة في النموذج معنوية .

و لتأكيد هذه النتيجة نستعمل اختبار ستودنت كما يلي :

► نأخذ القيمة المعلقة لإحصائية ستودنت المحسوبة (t-Statistic) لمعلمات النموذج المقدر C ، و التي نستخرجها من جدول التقدير النموذج (أنظر الملحق رقم 11) للمعلمات C ، θ_{22} و التي قيمها على التوالي : /24,48 /35,80 و نقارنها بالقيمة الجدولية للتوزيع الطبيعي التي تساوي 1,96 أي أن :

$$/24,48 > 1,96$$

$$/35,80 > 1,96$$

و منه نرفض فرضيات العدم التالية :

$$H_0 : C = 0$$

$$H_0 : \theta_{23} = 0$$

أي أن معلمات النموذج المقدرة تختلف معنويًا عن الصفر ، أي أنها مقبولة إحصائيًا في تقدير النموذج .

3-1-7-اختبار معنوية معالم النموذج السابع: AIATM :

من خلال نتائج التقدير نلاحظ أن الاحتمال المقابل لكل من معالم النموذج المقدر C ، ϕ_1 و الذي يساوي على التوالي : 0,0000 _ 0,0000 _ 0,0092 (أنظر الملحق رقم 04) وهي أصغر من الاحتمال 0,05 . و منه المعالم المقدرة في النموذج معنوية.

الدراسة التطبيقية:

و لتأكيد هذه النتيجة نستعمل اختبار ستودن트 كما يلي :

► نأخذ القيمة المطلقة لإحصائية ستودن特 الخصوبة (t-Statistic) لمعلمات النموذج المقدر و التي نستخرجها من جدول التقدير النموذج (انظر الملحق رقم 04) للمعلمات C, ϕ_1, θ_5 و التي قيمها على التوالي : $/60,92, /4,41, /-2,69/$ و تقارنها بالقيمة الحدودية للتوزيع الطبيعي التي تساوي 1,96 أي أن :

$$/60,92/ > 1,96$$

$$/4,41/ > 1,96$$

$$/-2,69/ > 1,96$$

و منه نرفض فرضيات العدم التالية :

$$H_0 : C = 0$$

$$H_0 : \phi_1 = 0$$

$$H_0 : \theta_5 = 0$$

أي أن معلمات النموذج المقدرة تختلف معنوباً عن الصفر، أي أنها مقبولة إحصائياً في تقدير النموذج.

3-1-8- اختبار معنوية معالم النموذج الثامن: AIATS :

من خلال نتائج التقديرات نلاحظ أن الاحتمال المقابل لكل من معالم النموذج المقدر C, ϕ_1, θ_{20} الذي يساوي على التوالي : $0,0000 - 0,0000 - 0,0000$ (انظر الملحق رقم 05) و هي أصغر من الاحتمال 0,05 . و منه المعالم المقدرة في النموذج معنوية .

و لتأكيد هذه النتيجة نستعمل اختبار ستودن트 كما يلي :

► نأخذ القيمة المطلقة لإحصائية ستودن特 الخصوبة (t-Statistic) لمعلمات النموذج المقدر C و التي نستخرجها من جدول التقدير النموذج (انظر الملحق رقم 05) للمعلمات C ,

الدراسة التطبيقية:

θ_{20} ، ϕ_1 و التي قيمها على التوالي : / 16,94 ، 5,44 / و -36,07 / و نقارنها

بالمقىمة الجدولية للتوزيع الطبيعي التي تساوي 1,96 أي أن :

$$/ 16,94 > 1,96$$

$$/ 5,44 / > 1,96$$

$$/ -36,07 / > 1,96$$

و منه نرفض فرضيات العدم التالية :

$$H_0 : C = 0$$

$$H_0 : \phi_1 = 0$$

$$H_0 : \theta_{20} = 0$$

أي أن معلمات النموذج المقدرة تختلف معنوياً عن الصفر، أي أنها مقبولة إحصائياً في

تقدير النموذج .

3-2-3- اختبار المعنوية الكلية للنماذج :

نقوم باستعمال اختبار فيشر الذي يفيد اختبار معنوية النموذج المقدر ككل حيث نتائج الاختبار للنماذج الثمانية المقدرة هي ملخصة في الجدول التالي : (انظر الملحق: رقم 04 – رقم 05 – رقم 06 – رقم 07 – رقم 08 – رقم 09 – رقم 10 – رقم 11) :

الدراسة التطبيقية:

المجدول رقم 20: نتائج اختبار فيشر للنماذج ARMA المقدرة

الحكم على النموذج	القرار	فرضية العدم	F_{tab}	F_{Cal}	النموذج المقدر
النموذج معنوي احصائي	رفض فرضية العدم	$H_0 : C = \phi_1 = \theta_5 = 0$	$F_{2,n-3}^{0,05} = F_{2,57}^{0,05} = 3,23$	15,007	AIATM
النموذج معنوي احصائي	رفض فرضية العدم	$H_0 : C = \phi_1 = \theta_{20} = 0$	$F_{2,n-3}^{0,05} = F_{2,57}^{0,05} = 3,23$	49,93	AIATS
النموذج معنوي احصائي	رفض فرضية العدم	$H_0 : C = \phi_{11} = \theta_{11} = 0$	$F_{2,n-3}^{0,05} = F_{2,45}^{0,05} = 3,23$	25,10	AIMM
النموذج معنوي احصائي	رفض فرضية العدم	$H_0 : C = \phi_5 = \theta_{17} = 0$	$F_{2,n-3}^{0,05} = F_{2,45}^{0,05} = 3,23$	32,01	AIMS
النموذج معنوي احصائي	رفض فرضية العدم	$H_0 : C = \phi_{11} = \theta_{26} = 0$	$F_{2,n-3}^{0,05} = F_{2,45}^{0,05} = 3,23$	72,19	AIDM
النموذج معنوي احصائي	رفض فرضية العدم	$H_0 : C = \phi_{15} = \theta_{22} = 0$	$F_{2,n-3}^{0,05} = F_{2,45}^{0,05} = 3,23$	78,41	AIDS
النموذج معنوي احصائي	رفض فرضية العدم	$H_0 : C = \hat{\phi}_{18} = \theta_{14} = 0$	$F_{2,n-3}^{0,05} = F_{2,33}^{0,05} = 3,32$	518,42	AIOM
النموذج معنوي احصائي	رفض فرضية العدم	$H_0 : C = \theta_{23} = 0$	$F_{1,n-2}^{0,05} = F_{1,34}^{0,05} = 4,17$	167,26	AIOS

المصدر : من إعداد الطالب بالاعتماد على برنامج EViews

من خلال نتائج اختبار فيشر للنماذج المقدرة و المبينة في المجدول السابق (جدول رقم 20) ، و بما أن إحصائية فيشر المحسوبة لكل النماذج المقدرة أكبر من إحصائية فيشر الجدولية (عند مستوى معنوية 5%) رفض فرضية العدم ، أي أن معلم النماذج المقدرة تعتبر معنوية احصائيا ككل .

3-3-3- اختبار التوزيع الطبيعي للباقي :

في هذه المرحلة سوف نقدم اختبار التوزيع الطبيعي للباقي النموذج الطبيعي و ذلك لمعرفة هل النماذج المقدرة باستخدام النماذج الخطية مثالية في التقدير أم أن أخطاء هذه النماذج عشوائية التوزيع . و المجدول التالي يبين نتائج هذا الاختبار :

الدراسة التطبيقية:

الجدول رقم 21: نتائج اختبار التوزيع الطبيعي للباقي للنماذج المقدرة

القرار	Jarque_Bera	احصائية المحسوبة	القرار	احتمال احصائية Jarque_Bera	المودع
بعض التوزيع الطبيعي	0,533	بعض التوزيع الطبيعي	بعض التوزيع الطبيعي	0,765	AIATM
بعض التوزيع الطبيعي	4,4659	بعض التوزيع الطبيعي	بعض التوزيع الطبيعي	0,107	AIATS
لا يبع التوزيع الطبيعي	8,8144	لا يبع التوزيع الطبيعي	لا يبع التوزيع الطبيعي	0,0121	AIMM
بعض التوزيع الطبيعي	0,2748	بعض التوزيع الطبيعي	بعض التوزيع الطبيعي	0,8716	AIMS
لا يبع التوزيع الطبيعي	21,96	لا يبع التوزيع الطبيعي	لا يبع التوزيع الطبيعي	0,000017	AIDM
لا يبع التوزيع الطبيعي	24,56	لا يبع التوزيع الطبيعي	لا يبع التوزيع الطبيعي	0,000005	AIDS
بعض التوزيع الطبيعي	4,6987	بعض التوزيع الطبيعي	بعض التوزيع الطبيعي	0,0955	AIOM
لا يبع التوزيع الطبيعي	12,0139	لا يبع التوزيع الطبيعي	لا يبع التوزيع الطبيعي	0,002462	AIOS

المصدر : من إعداد الطالب بالاعتماد على برنامج EViews

نلاحظ أن احتمال إحصائية Jarque-Berra أكبر من 0,05 للنماذج المقدرة التالية : AIATM ، AIOM ، AIMS ، AIATS ، AIOM ، AIDS ، AIDM ، AIMM ، AIDS ، AIOS . أي أن Jarque-Berra يوافي هذه النماذج لا تبع التوزيع الطبيعي ، أما احتمالية النماذج، أي إمكانية المرور إلى النماذج غير الخعلية في نماذجتها و هذا ما سنكتشفه في المراحل المتقدمة من البحث .

4-3-3- اختبار Breush_Godfrey

يعتبر هذا الاختبار من بين الاختبارات الاحصائية الهاامة ، حيث يساعدنا هذا الاختبار في معرفة ما مدى ارتباط يوافي النموذج المقدر فيما بينها في فترات زمنية مختلفة ، و ملخص نتائج هذا الاختبار بالنسبة لباقي النماذج المقدرة مبينة في الجدول التالي :

الدراسة التطبيقية:

الجدول رقم 22: نتائج اختبار Breush_Godfrey للنماذج المقدرة

القرار	الفرضية الصفرية : عدم وجود ارتباط ذاتي بين الأخطاء	nR^2	المودج المقدر
لا يوجد ارتباط ذاتي بين الأخطاء	نقبل فرضية العدم	1,52	AIATM
لا يوجد ارتباط ذاتي بين الأخطاء	نقبل فرضية العدم	4,17	AIATS
لا يوجد ارتباط ذاتي بين الأخطاء	نقبل فرضية العدم	3,36	AIMM
لا يوجد ارتباط ذاتي بين الأخطاء	نقبل فرضية العدم	0,00	AIMS
لا يوجد ارتباط ذاتي بين الأخطاء	نقبل فرضية العدم	2,01	AIDM
لا يوجد ارتباط ذاتي بين الأخطاء	نقبل فرضية العدم	16,57	AIDS
لا يوجد ارتباط ذاتي بين الأخطاء	نقبل فرضية العدم	16,36	AIOM
لا يوجد ارتباط ذاتي بين الأخطاء	نقبل فرضية العدم	7,13	AIOS

المصدر : من إعداد الطالب بالاعتماد على برنامج EViews

نلاحظ أن قيمة nR^2 و لكل النماذج المقدرة أصغر من قيمة كاي مربع عند درجة حرية 5 % و التي تساوي 43,77 و منه نقبل فرضية العدم القائلة بأن عدم وجود ارتباط ذاتي للأخطاء . أي أن بباقي النماذج المقدرة لا ترتبط فيما بينها و لا تؤثر فيما بينها عبر الزمن .

3-4-التبوء بالاشتراكات الشهرية باستخدام نماذج ARMA لكل نموذج مقدر :

في هذه المرحلة تقوم بعملية التوقع حيث تقوم بإعداد التوقعات المستقبلية للاشتراكات الشهرية للأنترنت لدى الوكالات محل الدراسة ، و الجدول التالي يبين نتائج التوقع المستقبلي للفترة الممتدة من جانفي 2017 إلى غاية ديسمبر 2017 .

حيث سوف نعرض كيفية التبوء بالنسبة جانفي 2017 للسلسلة الزمنية AIATM :

نذكر بالنموذج المقدر ، و هو كما يلي :

$$ARMA(1,5) : AIATM_t = C + \phi_1 AIATM_{t-1} + \varepsilon_t - \theta_5 \varepsilon_{t-5}$$

الدراسة التطبيقية:

أي يصبح النموذج مكتوب كما يلي :

$$ARMA(1,5) : AIATM_{t+2017} = C + \phi_1 AIATM_{t+2016} + \varepsilon_t - \theta_5 \varepsilon_{t-5}$$

حيث 2016 بالتطبيق العددي نكتب :

$$ARMA(1,5) : AIATM_t = 217,41 + 0,48(209) + \varepsilon_t + 0,34 (-16,13)$$

من خلال منهجة بوكس جينكتر نفترض أن الخطأ ε_t مساوياً للصفر و منه نكتب :

$$ARMA(1,5) : AIATM_t = 217,41 + 0,48(209) + \varepsilon_t + 0,34 (-16,13)$$

$$ARMA(1,5) : AIATM_t = 217,41 + 0,48(209) + 0 + 0,34 (-16,13)$$

$$ARMA(1,5) : AIATM_t = 217,41 + 100,32 - 5,48$$

$$ARMA(1,5) : AIATM_t = 312,25$$

أما باقي النتائج فهي مبينة في الجدول التالي :

الجدول رقم 23: ملخص نتائج التباينات للاشتراكات الشهرية لدى الوكالات محل الدراسة للفترة جانفي 2017 _ ديسمبر 2017

الأشهر	AIOS	AIOM	AIDS	AIDM	AIMS	AIMM	AIATS	AIATM
يناير 2017	159,89	174,90	171,89	191,99	261,79	301,11	211,92	312,25
فبراير 2017	167,12	187,97	182,91	207,56	272,22	321,94	221,45	315,99
مارس 2017	170,88	209,76	199,99	217,90	289,99	334,33	231,39	320,21
أبريل 2017	191,04	223,88	232,21	229,55	309,67	341,09	241,89	322,00
مايو 2017	204,07	234,90	247,97	231,99	322,70	352,71	257,12	327,57
يونيو 2017	218,29	249,44	252,01	249,73	339,71	366,16	271,09	329,88
يوليو 2017	231,24	251,11	265,09	259,11	345,95	373,77	289,44	331,33
أغسطس 2017	244,39	266,19	278,92	267,77	363,00	386,46	291,71	333,33
سبتمبر 2017	257,19	272,61	286,55	278,92	371,92	391,00	304,88	337,12
أكتوبر 2017	269,31	280,91	291,41	285,53	388,98	349,02	319,74	338,19
نوفمبر 2017	281,55	299,01	315,14	297,61	399,12	351,73	330,21	340,09
ديسمبر 2017	299,21	316,15	321,17	303,91	411,36	362,94	342,77	344,11

المصدر : من إعداد الطالب بالأعتماد على برنامج EViews

الدراسة التطبيقية:

معيار ثايل لجودة التنبؤ :

معيار ثايل لعدم التساوي يشير إلى أن التنبؤ جيداً عندما تكون الإحصائية الخصوصية متساوية للصفر ، و تكون عملية التوقع فاشلة عندما تكون الإحصائية الخصوصية متساوية للواحد ، والحالول التالي يظهر إحصائية ثايل لجميع النماذج المتبناة بها :

المجدول رقم 24 : مؤشرات معيار ثايل للنماذج المقدرة

Theil مؤشر ثايل	المودج المقدر
0,052	AIATM
0,118	AIATS
0,068	AIMM
0,132	AIMS
0,048	AIDM
0,049	AIDS
0,015	AIOM
0,076	AIOS

المصدر : من إعداد الطالب بالأعتماد على برنامج EViews

من خلال النتائج المبينة في المجدول أعلاه نلاحظ أن قيمة ثايل لعدم التساوي لجميع النماذج المتبناة بما تقترب جداً من الصفر ، هذا ما يُؤشر على أن التوقع بالقيم المستقبلية لاشتراكات الأنترنوت باستخدام النماذج التي تم تقديرها جيداً .

4- استخدام نماذج ARCH-GARCH للنماذج و التنبؤ :

من خلال الاختبارات السابقة للسلالس الزمنية محل الدراسة تبين أن السلاسل الزمنية كلها سلاسل زمنية مستقرة أي أنها سلاسل زمنية خالية من الاتجاه العام و العشوائية و الدورية ، مما يؤشر ذلك على افضلية النماذج الخطية على غير الخطية في النماذج و التنبؤ . إلا أن ذلك قد لا يفند في مراحل متقدمة من الدراسة و قد تظهر نتائج الاختبارات وجود أثر ARCH-GARCH في أخطاء و بواقي النماذج المقدرة .

4-1- نتائج اختبار ARCH :

يعتمد هذا الاختبار على مقارنة nR^2 المحسوبة مع احصائية كاي مربع الجدولية ، فإذا كانت nR^2 المحسوبة أصغر من احصائية كاي مربع الجدولية نرفض فرضية العدم H_0 التي تنبع على تباين التباين للأخطاء ، حيث ملخص نتائج هذا الاختبار بالنسبة للسلالس الزمنية محل الدراسة مبينة في الجدول التالي :

الدراسة التطبيقية:

المجدول رقم 25 : نتائج اختبار ARCH لبواقي النماذج المقدرة

الحكم	القرار	فرضية الاختبار	nR^2	النموذج المقدر
لا يوجد أثر ARCH	H_0 قبل الموجة	تباث التباين للأخطاء : H_0	0,498	AIATM
لا يوجد أثر ARCH	H_0 قبل الموجة	تباث التباين للأخطاء : H_0	0,0085	AIATS
لا يوجد أثر ARCH	H_0 قبل الموجة	تباث التباين للأخطاء : H_0	0,765	AIMM
لا يوجد أثر ARCH	H_0 قبل الموجة	تباث التباين للأخطاء : H_0	0,0444	AIMS
لا يوجد أثر ARCH	H_0 قبل الموجة	تباث التباين للأخطاء : H_0	0,208	AIDM
لا يوجد أثر ARCH	H_0 قبل الموجة	تباث التباين للأخطاء : H_0	3,463	AIDS
يوجد أثر ARCH	H_0 نفس الموجة	تباث التباين للأخطاء : H_0	7,460	AIOM
لا يوجد أثر ARCH	H_0 قبل الموجة	تباث التباين للأخطاء : H_0	0,0661	AIOS

المصدر : من إعداد الطالب بالاعتماد على برنامج EViews

نلاحظ أن قيمة nR^2 المحسوبة لبواقي اختبار ARCH للنماذج المقدرة للسلسلات الزمنية أصغر من قيمة كاي مربع الجدولية و التي تساوي 5,99 و منه نقبل فرضيات العدم التي تنقص على تبات تباين أخطاء النماذج المقدرة ، أي لا يوجد أثر ARCH لبواقي النماذج المقدرة .

بينما نلاحظ أن قيمة nR^2 المحسوبة لبواقي اختبار ARCH لنموذج ARMA(18,14) و التي تساوي 7,46 و هي أصغر من قيمة كاي مربع الجدولية و التي تساوي 5,99 و منه نرفض فرضية العدم ، أي يوجد أثر ARCH لبواقي النماذج المقدرة .

2-4-نتائج اختبار White :

يعتمد هذا الاختبار على مقارنة nR^2 المحسوبة مع احصائية كاي مربع الجدولية ، فإذا كانت nR^2 المحسوبة أكبر من إحصائية كاي مربع الجدولية نرفض فرضية العدم H_0 التي تنقص على

الدراسة التطبيقية:

تباث التباين للأخطاء ، حيث ملخص نتائج هذا الاختبار بالنسبة للسلسلات الزمنية محل الدراسة مبنية في الجدول التالي :

الجدول رقم 26: نتائج اختبار White للنماذج المقدرة

الحكم	القرار	فرضية الاختبار	nR^2	النموذج المقدر
لا يوجد ثُر	H_0	تباث التباين للأخطاء : H_0 قبل الفرض	11,356	AIATM
لا يوجد ثُر	H_0	تباث التباين للأخطاء : H_0 قبل الفرض	33,496	AIATS
لا يوجد ثُر	H_0	تباث التباين للأخطاء : H_0 قبل الفرض	10,44	AIMM
لا يوجد ثُر	H_0	تباث التباين للأخطاء : H_0 قبل الفرض	17,879	AIMS
لا يوجد ثُر	H_0	تباث التباين للأخطاء : H_0 قبل الفرض	20,405	AIDM
لا يوجد ثُر	H_0	تباث التباين للأخطاء : H_0 قبل الفرض	21,426	AIDS
يوجد ثُر	H_0	تباث التباين للأخطاء : H_0 يرفض الفرض	47,998	AIOM
لا يوجد ثُر	H_0	تباث التباين للأخطاء : H_0 قبل الفرض	19,751	AIOS

المصدر : من إعداد الطالب بالأعتماد على برنامج EViews

بما أن قيمة nR^2 لجميع بوافي نماذج السلسلات الزمنية المقدرة (إلا السلسلة الخاصة بـ AIOM) أقل من قيمة كاي مربع الجدولية و التي تساوي 43,77 ، و منه نقبل فرضيات عدم والتي تنبع على تبات تباين أخطاء النماذج المقدرة ، أي لا يوجد بها ثُر ARCH . و هي نتائج موافقة لاختبار ثُر ARCH السابق .

بينما نلاحظ أن بوافي نموذج ARMA(18,14) و التي قيمتها 47,99 و هي أكبر من قيمة كاي مربع الجدولية و التي قيمتها 43,77 ، و منه نرفض فرضية عدم و وبالتالي أخطاء النموذج تتمتع بخاصية عدم ثبات تباينها ، أي أن هناك ثُر ARCH . و هي نتائج موافقة لاختبار ثُر ARCH السابق .

الدراسة التطبيقية:

4-3-التعرف على نموذج ARCH لبواقي نموذج (ARMA(18,14)

نقوم بتقدير نموذج ARCH لبواقي نموذج (ARMA(18,14)

الجدول رقم 27: نتائج تقدير نموذج ARCH

	Variance Equation			
C	10.80195	6.878138	1.570475	0.1163
RESID ₍₋₁₎ ²	-0.204774	0.549761	-0.372478	0.7095

المصدر : من إعداد الطالب بالاعتماد على برنامج EViews

نلاحظ أن الاحتمال المقابل لأثر ARCH أكبر من 0,05 و بالتالي النموذج غير معنوي ، الأمر الذي يشير إلى أن نمر إلى النمذجة باستخدام نموذج GARCH .

الجدول رقم 28: نتائج تقدير نموذج GARCH

	Variance Equation			
C	130.2942	77.79357	1.674871	0.0940
GARCH ₍₋₁₎	-1.052631	0.074049	-14.21529	0.0000

المصدر : من إعداد الطالب بالاعتماد على برنامج EViews

نلاحظ أن الاحتمال المقابل لأثر GARCH أصغر من 0,05 و بالتالي النموذج معنوي ، أي يمكن تمذجة تباينات أخطاء نموذج ARMA(18,14) بنموذج GARCH .

في هذه المرحلة من يتم التعرف على النموذج الملائم لنمذجة تباين أخطاء نموذج ARMA(18,14) الملائم و المعنوي ، حيث بعد تقدير العديد من النماذج تم اختيار النماذج

المعنوية التالية :

الجدول رقم 29: نماذج GARCH المرشحة لممثل بواقي نموذج (ARMA(18,14))

نوع	GARCH	نوع	GARCH
HA	SCH	AK	GARCH(0,1)
6,535719	6,748942	6,501616	
6,761228	7,017095	6,720304	GARCH(0,2)

المصدر : من إعداد الطالب بالاعتماد على برنامج EViews

من خلال المفاضلة بين النماذج المقدرين المعنويين بالاعتماد على تدنية معاير (SCH ، AK ، HA) تبين أن النموذج الأمثل للتقدير هو نموذج GARCH(0,1) لبواقي نموذج ARMA(18,14).

٤-٤-٤-تقدير نموذج GARCH(0,1) بخطأ ARMA(18,14)

في هذه المرحلة من البحث يتم تقدير نموذج GARCH(0,1) بخطأ ARMA(18,14) النموذج المحاكي للسلسلة الزمنية الممثلة لاشتراكات الأنترنت لدى المتعامل أوريدو وكالة مغنية . حيث الجدول التالي يبي بعض نتائج التقدير :

الجدول رقم 30 : نتائج تقدير نموذج GARCH(0,1) بخطأ ARMA(18,14)

Variable	Coefficient	Std. Error	z-Statistic	Prob.
C	116.9560	3.754209	31.15330	0.0000
AR(18)	-0.394085	0.345157	-1.141756	0.0036
MA(14)	0.965504	0.051820	18.63200	0.0000
Variance Equation				
C	130.2942	77.79357	1.674871	0.0940
GARCH(-1)	-1.052631	0.074049	-14.21529	0.0000

المصدر : من إعداد الطالب بالاعتماد على برنامج EViews

و منه يمكن كتابة النموذج بالمعادلة الرياضية التالية كما يلي :

$$AIOM_t = 116,95 + 0,39 AIOM_{t-18} + \varepsilon_t - 0,96 \varepsilon_{t-14}$$

$$\varepsilon_t = \mu_t * h_t / \mu_t \rightarrow N(0,1) \quad \text{مع:}$$

$$h_t^2 = 130,29 - 0,97 h_{t-1}^2$$

الدراسة التطبيقية:

4-5-4 تشخيص النموذج المقدر :

4-5-4-1- معنوية المعالم المقدرة :

نلاحظ أن الاحتمال المقابل للمعلم المقدرة أقل من 0,05 و منه معنوية المعلم المقدرة في النموذج، كما نلاحظ أن احصائية ستودنت بالقيمة المطلقة أكبر من قيمة 1,96 و منه نرفض فرضيات العدم ، أي أن معالم النموذج المقدر معنوية .

4-5-4-2- معنوية النموذج ككل :

نستعمل اختبار فيشر حيث نقارن إحصائية فيشر الخصبة للنموذج و التي تساوي 193,54 وهي أكبر من قيمة فيشر الجدولية $F = 3,23$ و منه نرفض فرضية العدم أي أن النموذج معنوي ككل.

4-6- التنبؤ باشتراكات الانترنت باستخدام نموذج ARMA(14,18) بخطأ GARCH(0,1)

بعد تقديرنا للنموذج و اختبار معنويته الاحصائية و مقدراته التنبؤية سوف نقوم بالتنبؤ بالاشتراكات الشهرية لدى المتعامل أوريدو وكالة مغنية للفترة الممتدة من جانفي 2017 إلى غاية ديسمبر 2017. و النتائج ملخصة في الجدول التالي :

الدراسة التطبيقية:

: GARCH(0,1) نتائج التنبؤ باشتراكات الانترنت باستخدام نموذج ARMA(18,14) بخطأ

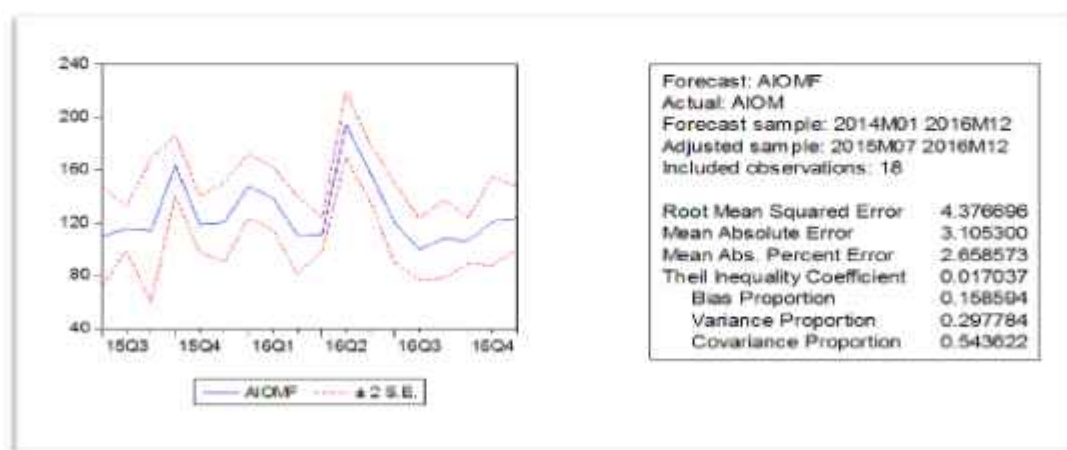
الأشهر	القيمة المتبناً بها
جانفي 2017	201,14
فيفري 2017	235,01
مارس 2017	249,00
أغبريل 2017	300,99
ماي 2017	320,12
جوان 2017	345,55
جولية 2017	367,89
أوت 2017	377,77
ستمبر 2017	380,29
أكتوبر 2017	391,91
نوفمبر 2017	411,34
ديسمبر 2017	424,72

المصدر : من إعداد الطالب بالاعتماد على برنامج EViews

معيار ثايل لعدم التساوي :

نستعمل هنا كذلك معيار ثايل لمعرفة هل التنبؤ جيد أم فاشل .

الشكل رقم 10: دقة تنبؤ نموذج ARMA(18,14) بخطأ GARCH(0,1)



المصدر : من إعداد الطالب بالاعتماد على برنامج EViews

الدراسة التطبيقية:

من خلال النتائج المبينة في الشكل نلاحظ أن قيمة احصائية ثايل تساوي 0,017 و هي قريبة جدا من الصفر ، و منه التوقع بالقيم المستقبلية للنموذج المحجن المقدر جيد .

7-4-المفاضلة بين نموذج ARMA(18,14) و نموذج GARCH(0,1) بخطأ

يمدف المفاضلة بين النمودجين المستخدمين في التوقع باشتراكات الأنترنت لدى المتعامل أوريدو وكالة مغنية و هما نموذج ARMA(18,14) و نموذج GARCH(0,1) بخطأ (AIC ، MAE ، RMSE ، MAPE) تم الاعتماد على مجموعة من المعايير و المتمثلة في : AIC ، MAE ، RMSE ، MAPE و النتائج مبينة في الجدول التالي :

الجدول رقم 32: معايير MAPE ، MAE ، RMSE ، AIC لنموذج ARMA(18,14)

: GARCH(0,1) بخطأ و نموذج ARMA(18,14)

MAPE	MAE	RMSE	AIC	النماذج المقدرة
2,3747	2,7747	3,9154	0,0839	ARMA(18,14)
2,6585	3,1053	4,3766	0,1585	ARMA(18,14) GARCH (0,1) بخطأ

المصدر : من إعداد الطالب بالأعتماد على برنامج EViews

من خلال النتائج الموضحة في الجدول يعتبر النموذج ARMA(18,14) أفضل في التوقع باشتراكات الأنترنت لدى المتعامل أوريدو وكالة مغنية بالنسبة للنموذج ARMA(18,14) بخطأ GARCH (0,1) لأن معايير الدقة المستخدمة بالنسبة للنموذج الأول ARMA(18,14) كانت أقل من النموذج الثاني ARMA(18,14) بخطأ (0,1) .

5-استخدام نماذج الشبكات العصبية ANN للنماذج و التنبؤ :

في بحثنا هنا سوف نستعمل شبكة بيرسبيرون متعددة العصبونات (MLP) و ذلك لكثره استعمالها من طرف الباحثين في النماذج و التنبؤ مثل هذه السلسل زمنية و مزايها التنبؤية . حيث بحوزتنا ثمانية سلاسل زمنية سوف نحاول بناء لها شبكات عصبية تنبؤية .

5-1-بناء الشبكات للسلسل زمنية محل الدراسة :

1-1-5-تحديد المدخلات :

بالنسبة لطبيعة المعطيات و البيانات التي بحوزتنا و التي تمثل في المشاهدات لظاهرة اشتراكات الأنترنت لدى كل من وكالات المتعاملين في السوق الجزائرية محل الدراسة ، فإن طبيعة المدخلات في الشبكات التي سوف نقوم بتنديريها أو بناءها هو مدخل واحد (1) بالنسبة لكل شبكة و الممثل في السلسلة الزمنية الممثلة لاشتراكات الأنترنت لدى كل وكالة محل الدراسة.

1-2-مرحلة التحليل :

في هذه المرحلة نقوم بتحليل الشبكات التي نريد تشكيها من خلال تقسيم المشاهدات إلى ثلاثة مجموعات عمل كل واحدة لها دور في الشبكة . و فيما يلي نتائج تحليل الشبكات التي بحوزتنا :

1-2-1-تحليل شبكة اشتراكات الأنترنت لدى المتعامل موبيليس وكالة مغنية :

من خلال تجميع بيانات السلسلة الزمنية الممثلة لاشتراكات الأنترنت لدى موبيليس وكالة مغنية والتي تساوي 48 مشاهدة تم تجزئتها و بشكل عشوائي إلى ثلاثة مجموعات أساسية تساعد في عملية بناء الشبكة و التنبؤ ، حيث خصص 30 مشاهدة كمجموعة تدريب ، و 10 مشاهدة كمجموعة تأكيد ، و 8 مشاهدات كمجموعة اختبار . و الجدول التالي يوضح ذلك :

الدراسة التطبيقية:

الجدول رقم 33: نتائج تحليل شبكة اشتراكات الانترنت لدى المتعامل موبيليس وكالة سعيدة

AIMM		المجموعات
العدد	النسبة	
30	62,50%	مجموعة التدريب
10	20,83%	مجموعة التأكيد
08	16,67%	مجموعة الاختبار
48	100%	مجموع المشاهدات

المصدر : من إعداد الطالب بالاعتماد على برنامج Alyda NeuroIntelligennce

5-2-2-2-تحليل شبكة اشتراكات الانترنت لدى المتعامل موبيليس وكالة سعيدة :

من خلال تجميع بيانات السلسلة الزمنية الممثلة لاشتراكات الانترنت لدى المتعامل موبيليس وكالة سعيدة و التي تساوي 48 مشاهدة تم تجزئتها و بشكل عشوائي إلى ثلاثة مجموعات أساسية تساعد في عملية بناء الشبكة و التنبؤ ، حيث خصص 29 مشاهدة كمجموعة تدريب ، و 11 مشاهدة كمجموعة تأكيد ، و 8 مشاهدات كمجموعة اختبار . و الجدول التالي يوضح ذلك :

الجدول رقم 34: نتائج تحليل شبكة اشتراكات الانترنت لدى المتعامل موبيليس وكالة سعيدة

AIMS		المجموعات
العدد	النسبة	
29	60,41%	مجموعة التدريب
11	22,91%	مجموعة التأكيد
08	16,68%	مجموعة الاختبار
48	%100	مجموع المشاهدات

المصدر : من إعداد الطالب بالاعتماد على برنامج Alyda NeuroIntelligennce

الدراسة التطبيقية:

5-2-3-تحليل شبكة اشتراكات الانترنت لدى المتعامل جيزي وكالة مغنية :

من خلال تجميع بيانات السلسلة الزمنية الممثلة لاشتراكات الانترنت لدى المتعامل جيزي وكالة مغنية و التي تساوي 48 مشاهدة تم تجزئتها و بشكل عشوائي إلى ثلاثة مجموعات أساسية تساعد في عملية بناء الشبكة و التنبؤ ، حيث خصص 34 مشاهدة كمجموعة تدريب ، و 7 مشاهدة كمجموعة تأكيد ، و 7 مشاهدات كمجموعة اختبار . و الجدول التالي يوضح ذلك :

الجدول رقم 35: نتائج تحليل شبكة اشتراكات الانترنت لدى المتعامل جيزي وكالة مغنية

AIDM	المجموعات
العدد	النسبة
34	70,84%
7	14,58%
7	14,58%
48	%100

المصدر : من إعداد الطالب بالأعتماد على برنامج Alyda NeuroIntelligennce

5-2-4-تحليل شبكة اشتراكات الانترنت لدى المتعامل جيزي وكالة سعيدة :

من خلال تجميع بيانات السلسلة الزمنية الممثلة لاشتراكات الانترنت لدى المتعامل جيزي وكالة سعيدة و التي تساوي 48 مشاهدة تم تجزئتها و بشكل عشوائي إلى ثلاثة مجموعات أساسية تساعد في عملية بناء الشبكة و التنبؤ ، حيث خصص 29 مشاهدة كمجموعة تدريب ، و 10 مشاهدة كمجموعة تأكيد ، و 9 مشاهدات كمجموعة اختبار . و الجدول التالي يوضح ذلك :

الدراسة التطبيقية:

الجدول رقم 36: نتائج تحليل شبكة اشتراكات الانترنت لدى المتعامل جيزي وكالة سعيدة

AIDS		المجموعات
العدد	النسبة	
29	60,42%	مجموعة التدريب
10	20,83%	مجموعة التأكيد
9	18,75%	مجموعة الاختبار
48	%100	مجموع المشاهدات

المصدر : من إعداد الطالب بالاعتماد على برنامج Alyda NeuroIntelligennce

5-2-5-5-تحليل شبكة اشتراكات الانترنت لدى المتعامل أوريدو وكالة مغنية :

من خلال تجميع بيانات السلسلة الزمنية الممثلة لاشتراكات الانترنت لدى المتعامل أوريدو وكالة مغنية و التي تساوي 36 مشاهدة تم تجزئتها و بشكل عشوائي إلى ثلاثة مجموعات أساسية تساعد في عملية بناء الشبكة و التنبؤ ، حيث خصص 24 مشاهدة كمجموعة تدريب ، و 7 مشاهدة كمجموعة تأكيد ، و 5 مشاهدات كمجموعة اختبار . و الجدول التالي يوضح ذلك :

الجدول رقم 37: نتائج تحليل شبكة اشتراكات الانترنت لدى المتعامل أوريدو وكالة مغنية

AIOM		المجموعات
العدد	النسبة	
24	66,66%	مجموعة التدريب
7	19,44%	مجموعة التأكيد
5	13,89%	مجموعة الاختبار
36	%100	مجموع المشاهدات

المصدر : من إعداد الطالب بالاعتماد على برنامج Alyda NeuroIntelligennce

الدراسة التطبيقية:

5-2-6-تحليل شبكة اشتراكات الانترنت لدى المتعامل أوريدو وكالة سعيدة:

من خلال تجميع بيانات السلسلة الزمنية الممثلة لاشتراكات الانترنت لدى المتعامل أوريدو وكالة سعيدة و التي تساوي 36 مشاهدة تم تجزئتها و بشكل عشوائي إلى ثلاث مجموعات أساسية تساعد في عملية بناء الشبكة و التنبؤ ، حيث يحصل 20 مشاهدة كمجموعة تدريب ، و 9 مشاهدة كمجموعة تأكيد ، و 7 مشاهدات كمجموعة اختبار . و الجدول التالي يوضح ذلك :

الجدول رقم 38:نتائج تحليل شبكة اشتراكات الانترنت لدى المتعامل أوريدو وكالة سعيدة

AIOS		المجموعات
العدد	النسبة	
20	55,55%	مجموعة التدريب
9	25,00%	مجموعة التأكيد
7	19,45%	مجموعة الاختبار
36	100%	مجموع المشاهدات

المصدر : من إعداد الطالب بالأعتماد على برنامج Alyda NeuroIntelligennce

5-2-7-تحليل شبكة اشتراكات الانترنت لدى المتعامل اتصالات الجزائر وكالة

مغنية :

من خلال تجميع بيانات السلسلة الزمنية الممثلة لاشتراكات الانترنت لدى المتعامل اتصالات الجزائر وكالة مغنية و التي تساوي 60 مشاهدة تم تجزئتها و بشكل عشوائي إلى ثلاث مجموعات أساسية تساعد في عملية بناء الشبكة و التنبؤ ، حيث يحصل 38 مشاهدة كمجموعة تدريب، و 12 مشاهدة كمجموعة تأكيد ، و 10 مشاهدات كمجموعة اختبار . و الجدول التالي يوضح ذلك :

الدراسة التطبيقية:

الجدول رقم 39: نتائج تحليل شبكة اشتراكات الأنترنت لدى المتعامل اتصالات الجزائر وكالة معنية

AIATM		المجموعات
العدد	النسبة	
38	63,33%	مجموعة التدريب
12	20,00%	مجموعة التأكيد
10	16,67%	مجموعة الاختبار
60	100%	مجموع المشاهدات

المصدر : من إعداد الطالب بالأعتماد على برنامج Alyda NeuroIntelligennce

2-1-5-8-تحليل شبكة اشتراكات الأنترنت لدى المتعامل اتصالات الجزائر وكالة

سعيدة:

من خلال تجميع بيانات السلسلة الزمنية الممثلة لاشتراكات الأنترنت لدى المتعامل اتصالات الجزائر وكالة سعيدة و التي تساوي 60 مشاهدة تم تجزئتها و بشكل عشوائي إلى ثلاثة مجموعات أساسية تساعد في عملية بناء الشبكة و التنبؤ ، حيث يحصل 35 مشاهدة كمجموعة تدريب، و 15 مشاهدة كمجموعة تأكيد ، و 10 مشاهدات كمجموعة اختبار . و الجدول التالي يوضح ذلك :

الجدول رقم 40: نتائج تحليل شبكة اشتراكات الأنترنت لدى المتعامل اتصالات الجزائر وكالة سعيدة

AIATS		المجموعات
العدد	النسبة	
35	58,33%	مجموعة التدريب
15	25,00%	مجموعة التأكيد
10	16,67%	مجموعة الاختبار
60	100%	مجموع المشاهدات

المصدر : من إعداد الطالب بالأعتماد على برنامج Alyda NeuroIntelligennce

الدراسة التطبيقية:

5-2-5-تقدير نماذج الشبكات العصبية :

في هذه المرحلة من البحث سوف يتم تقدير عدد من النماذج المرشحة لتمثيل السلسلات الزمنية محل الدراسة بعدها يتم المعاشرة بينها بالاعتماد على مجموعة من المعايير :

5-2-5-1-تقدير معمارية شبكة المعامل موبيليس وكالة مغنية :

كما هو مبين في الجدول تم ترشيح شبكتين للتنبؤ باشتراكات الأنترنت لدى موبيليس وكالة مغنية.

الجدول رقم 41:نتائج تقدير معمارية شبكة المعامل موبيليس وكالة مغنية

R-Squared	AIC معيار	Test-error	Training-error	النموذج المقدر
0,999	-603,00	0,000971	0,004431	MLP 1_3_1
0,988	-489,85	0,000966	0,001111	MLP 1_7_1

المصدر : من إعداد الطالب بالاعتماد على برنامج Alyda NeuroIntelligennce

بالاعتماد على مجموعة من المعايير منها معيار AIC و تدنية الأخطاء نجد أن أفضل شبكة معمارية هي MLP 1_7_1 أي تكون من ثلاثة طبقات : طبقة المدخلات و بها عنصر معالجة واحد ، الطبقة المخفية و بها سبعة عناصر معالجة ، طبقة المخرجات و بها عنصر معالجة واحد .

5-2-5-2-تقدير معمارية شبكة المعامل موبيليس وكالة سعيدة :

كما هو مبين في الجدول تم ترشيح 3 شبكات مختلفة للتنبؤ باشتراكات الأنترنت لدى موبيليس وكالة سعيدة .

الدراسة التطبيقية:

الجدول رقم 42: نتائج تقدير معمارية شبكة المعامل موبيليس وكالة سعيدة

R-Squared	AIC معيار	Test-error	Training-error	النموذج المقدر
0,990	-606,90	0,0003519	0,002222	MLP 1_1_1
0,970	-1012,02	0,0000121	0,001299	MLP 1_4_1
0,899	-1000,01	0,0007000	0,001312	MLP 1_7_1

المصدر : من إعداد الطالب بالاعتماد على برنامج Alyda NeuroIntelligennce

بالاعتماد على مجموعة من المعايير منها معيار AIC و تدنية الأخطاء نجد أن أفضل شبكة معمارية هي MLP 1_4_1 أي تكون من ثلاثة طبقات : طبقة المدخلات و بها عنصر معالجة واحد ، الطبقة المخفية و بها اربعة عناصر معالجة ، طبقة المخرجات و بها عنصر معالجة واحد .

5-2-3-تقدير معمارية شبكة المعامل جيزي وكالة مغنية :

كما هو مبين في الجدول تم ترشيح 5 شبكات مختلفة للتتبؤ باشتراكات الأنترنت لدى المعامل جيزي وكالة مغنية .

الجدول رقم 43: نتائج تقدير معمارية شبكة المعامل جيزي وكالة مغنية

R-Squared	AIC معيار	Test-error	Training-error	النموذج المقدر
0,999	-120,09	0,000521	0,00121212	MLP 1_2_1
0,999	-444,92	0,000111	0,00012111	MLP 1_5_1
0,987	-310,00	0,000123	0,00823445	MLP 1_7_1
0,898	-253,09	0,000229	0,00213450	MLP 1_8_1
0,990	-309,99	0,000211	0,00600120	MLP 1_9_1

المصدر : من إعداد الطالب بالاعتماد على برنامج Alyda NeuroIntelligennce

الدراسة التطبيقية:

بالاعتماد على مجموعة من المعايير منها معيار AIC و تدنية الأخطاء بحد أن أفضل شبكة معمارية هي $MLP\ 1_1$ أي تتكون من ثلاثة طبقات : طبقة المدخلات و بها عنصر معالجة واحد ، الطبقة المخفية و بها خمسة عناصر معالجة ، طبقة المخرجات و بها عنصر معالجة واحد .

4-2-5-تقدير معمارية شبكة المعامل جيزي وكالة سعيدة :

كما هو مبين في الجدول تم ترشيح 3 شبكات مختلفة للتنبؤ باشتراكات الأنترنت لدى المعامل جيزي وكالة مغنية .

الجدول رقم 44:نتائج تقدير معمارية شبكة المعامل جيزي وكالة سعيدة

R-Squared	معيار AIC	Test-error	Training-error	النموذج المقدر
0,999	-1201,03	0,000010	0,00180	MLP 1_1_1
0,999	-1129,00	0,000312	0,00213	MLP 1_7_1
0,999	-999,37	0,000231	0,00711	MLP 1_9_1

المصدر : من إعداد الطالب بالاعتماد على برنامج Alyda NeuroIntelligennce

بالاعتماد على مجموعة من المعايير منها معيار AIC و تدنية الأخطاء بحد أن أفضل شبكة معمارية هي $MLP\ 1_1$ أي تتكون من ثلاثة طبقات : طبقة المدخلات و بها عنصر معالجة واحد ، الطبقة المخفية و بها عنصر معالجة واحد ، طبقة المخرجات و بها عنصر معالجة واحد .

5-2-5-تقدير معمارية شبكة المعامل أوريدو وكالة مغنية :

كما هو مبين في الجدول تم ترشيح شبكتين للتنبؤ باشتراكات الأنترنت لدى المعامل أوريدو وكالة مغنية .

الدراسة التطبيقية:

الجدول رقم 45: نتائج تقدير معمارية شبكة المعامل أوريدو وكالة سعيدة

R-Squared	AIC معيار	Test-error	Training-error	النموذج المقدر
0,999	-1213,54	0,000016	0,001298	MLP 1_2_1
0,999	-1108,00	0,000001	0,000120	MLP 1_9_1

المصدر : من إعداد الطالب بالاعتماد على برنامج Alyda NeuroIntelligennce

بالاعتماد على مجموعة من المعايير منها معيار AIC و تدنية الأخطاء بعد أن أفضل شبكة معمارية هي MLP 1_9_1 أي تكون من ثلاث طبقات : طبقة المدخلات و بما عنصر معالجة واحد ، الطبقة المخفية و بما تسعه عناصر معالجة ، طبقة المخرجات و بما عنصر معالجة واحد .

5-2-6-تقدير معمارية شبكة المعامل أوريدو وكالة سعيدة:

كما هو مبين في الجدول تم ترشيح شبكتين للتنبؤ باشتراكات الأنترنت لدى المعامل أوريدو وكالة سعيدة .

الجدول رقم 46: نتائج تقدير معمارية شبكة المعامل أوريدو وكالة سعيدة

R-Squared	AIC معيار	Test-error	Training-error	النموذج المقدر
0,999	-901,76	0,0001212	0,000421	MLP 1_1_1
0,999	-1321,98	0,0001123	0,000100	MLP 1_3_1

المصدر : من إعداد الطالب بالاعتماد على برنامج Alyda NeuroIntelligennce

بالاعتماد على مجموعة من المعايير منها معيار AIC و تدنية الأخطاء بعد أن أفضل شبكة معمارية هي MLP 1_3_1 أي تكون من ثلاث طبقات : طبقة المدخلات و بما عنصر معالجة واحد ، الطبقة المخفية و بما خمسة عناصر معالجة ، طبقة المخرجات و بما عنصر معالجة واحد .

الدراسة التطبيقية:

5-2-7-تقدير معمارية شبكة المعامل اتصالات الجزائر وكالة مغنية :

كما هو مبين في الجدول تم ترشيح 3 شبكات مختلفة للتنبؤ باشتراكات الانترنت لدى المعامل اتصالات الجزائر وكالة مغنية .

الجدول رقم 47:نتائج تقدير معمارية شبكة المعامل اتصالات الجزائر وكالة مغنية

R-Squared	AIC معيار	Test-error	Training-error	المودج المقدر
0,998	-113,16	0,000454	0,001221	MLP 1_3_1
0,999	-134,76	0,000444	0,001123	MLP 1_5_1
0,997	-138,09	0,000512	0,001111	MLP 1_7_1

المصدر : من إعداد الطالب بالاعتماد على برنامج Alyda NeuroIntelligenncce

بالاعتماد على مجموعة من المعايير منها معيار AIC و تدنية الأخطاء نجد أن أفضل شبكة معمارية هي MLP 1_5_1 أي تكون من ثلاث طبقات : طبقة المدخلات و بما عنصر معالجة واحد ، الطبقة المخفية و بما خمسة عناصر معالجة ، طبقة المخرجات و بما عنصر معالجة واحد .

5-2-8-تقدير معمارية شبكة المعامل اتصالات الجزائر وكالة سعيدة :

كما هو مبين في الجدول تم ترشيح 4 شبكات مختلفة للتنبؤ باشتراكات الانترنت لدى المعامل اتصالات الجزائر وكالة سعيدة .

الجدول رقم 48:نتائج تقدير معمارية شبكة المعامل اتصالات الجزائر وكالة سعيدة

R-Squared	AIC معيار	Test-error	Training-error	المودج المقدر
0,949	-257,54	0,0007880	0,003219	MLP 1_2_1
0,999	-341,90	0,0001212	0,002213	MLP 1_6_1
0,912	-333,98	0,0005410	0,007777	MLP 1_7_1
0,987	-120,02	0,0005666	0,003112	MLP 1_8_1

المصدر : من إعداد الطالب بالاعتماد على برنامج Alyda NeuroIntelligenncce

الدراسة التطبيقية:

بالاعتماد على مجموعة من المعايير منها معيار AIC و تدنية الأخطاء بعد أن أفضل شبكة معمارية هي MLP 1_6 أي تتكون من ثلاثة طبقات : طبقة المدخلات و بها عنصر معالجة واحد ، الطبقة المخفية و بها ستة عناصر معالجة ، طبقة المخرجات و بها عنصر معالجة واحد .

3-5 مرحلة التنبؤ باستخدام نماذج الشبكات المثلية MLP التي تم بناءها :

في هذه المرحلة من البحث سوف يتم التنبؤ باشتراكات الأنترنت لدى وكالات المعاملين في السوق الجزائرية محل الدراسة و باستعمال الشبكات التي تم بنائهما لكل وكالة ، و ذلك للفترة الممتدة من جانفي 2017 إلى غاية ديسمبر 2017 . و الجدول التالي يبين نتائج التنبؤ :

الجدول رقم 49: نتائج التنبؤ باستخدام نماذج الشبكات المثلية MLP التي تم بناءها:

الأشهر	AIOS	AIOM	AIDS	AIDM	AIMS	AIMM	AIATS	AIATM
جنسي 2017	499,22	389,73	401,18	302,87	421,56	389,89	701,56	500,56
فيفري 2017	517,52	399,49	444,90	400,56	489,71	433,33	712,86	531,56
مارس 2017	555,79	434,91	465,12	452,98	499,99	459,10	753,98	537,09
أبريل 2017	570,12	480,01	500,92	498,09	511,45	500,66	782,09	540,67
ماي 2017	603,33	513,16	571,77	521,48	560,90	545,07	799,12	542,98
يوناد 2017	621,75	532,59	590,00	589,67	577,71	580,80	800,66	556,90
جويلية 2017	671,00	627,91	611,98	617,88	593,33	596,99	823,16	570,88
أوكتوبر 2017	698,11	677,06	643,34	695,91	630,99	609,12	831,11	601,16
نوفمبر 2017	707,64	752,61	667,67	711,39	642,67	623,90	846,14	622,32
أكتوبر 2017	745,54	782,72	712,09	741,19	672,22	643,98	857,90	630,00
ديسمبر 2017	788,99	802,50	768,98	769,01	701,01	670,11	878,00	647,69
ديسمبر 2017	827,32	839,14	792,17	799,81	732,99	689,89	881,67	681,11

المصدر : من إعداد الطالب بالاعتماد على برنامج Alyda NeuroIntelligennce

6- المفاضلة بين نماذج ARMA و نماذج الشبكات العصبية ANN :

يهدف المفاضلة بين الأساليب المستخدمة في التقدير و التنبؤ ، و هما الأسلوب الكلاسيكي المتمثل في منهجية بوكس_جينكتر و أسلوب الشبكات العصبية ، تم الاعتماد على مجموعة من المعاير للمفاضلة بين النماذج :

6-1-المفاضلة بين نموذج ARMA(11,11) و نموذج MLP 1_7_1 :

يهدف المفاضلة بين النموذجين المستخدمين في التوقع باشتراكات الأنترنت لدى المتعامل موبيليس وكالة مغنية و هما نموذج ARMA(11,11) و نموذج MLP 1_7_1 تم الاعتماد على مجموعة من المعاير و المتمثلة في : MAPE ، MAE ، RMSE ، AIC ، AIC و النتائج مبينة في الجدول التالي :

الجدول رقم 50: معاير MAPE ، MAE ، RMSE ، AIC لنموذج ARMA(11,11) و نموذج MLP 1_7_1

MPE	MAE	MSE	AIC	النماذج المقارة
12,19	26,94	34,38	0,000039	ARMA(11,11)
19,71	54,88	81,011	0,5610	MLP 1_7_1

المصدر : من إعداد الطالب بالاعتماد على برنامج Alyda NeuroIntelligennce و Eviews

من خلال النتائج الموضحة في الجدول يعتبر النموذج ARMA(11,11) أفضل في التوقع باشتراكات الأنترنت لدى المتعامل موبيليس وكالة مغنية بالنسبة لنموذج الشبكات العصبية الاصطناعية MLP 1_7_1 لأن معاير الدقة المستخدمة بالنسبة للنموذج الأول ARMA(11,11) كانت أقل من النموذج الثاني للشبكات العصبية MLP 1_7_1 .

6-2-المفاضلة بين نموذج ARMA(5,17) و نموذج MLP 1_4_1 :

يهدف المفاضلة بين النموذجين المستخدمين في التوقع باشتراكات الأنترنت لدى المتعامل موبيليس وكالة سعيدة و هما نموذج ARMA(5,17) و نموذج MLP 1_4_1 تم الاعتماد على مجموعة من المعاير و المتمثلة في : MAPE ، MAE ، RMSE ، AIC ، AIC و النتائج مبينة في الجدول التالي :

الدراسة التطبيقية:

الجدول رقم 51: معايير ARMA(5,17) لنموذج MAPE , MAE , RMSE , AIC و نموذج 1_4_1

MPE	MAE	MSE	AIC	النماذج المقترنة
22,36	39,21	51,20	0,00058	ARMA(5,17)
20,10	71,92	41,95	0,0491	MLP 1_4_1

المصدر : من إعداد الطالب بالأعتماد على برنامج Alyda NeuroIntelligence و Eviews

من خلال النتائج الموضحة في الجدول يعتبر النموذج ARMA(5,17) أفضل في التوقع باشتراكات الأنترنت لدى المتعامل موبيليس وكالة سعيدة بالنسبة لنموذج الشبكات العصبية الاصطناعية MLP 1_4_1 لأن معايير الدقة المستخدمة بالنسبة للنموذج الأول ARMA(5,17) كانت أقل من النموذج الثاني للشبكات العصبية MLP 1_4_1

6-3-المفاضلة بين نموذج ARMA(11,26) و نموذج 1_5_1 :

يمهد المفاضلة بين النماذجين المستخدمين في التوقع باشتراكات الأنترنت لدى المتعامل جيزي وكالة مغنية و هما نموذج ARMA(11,26) و نموذج 1_5_1 تم الاعتماد على مجموعة من المعايير و المتمثلة في : MAPE ، MAE ، RMSE ، AIC ، AIC و النتائج مبينة في الجدول التالي :

الجدول رقم 52: معايير ARMA(11,26) لنموذج MAPE , MAE , RMSE , AIC و نموذج 1_5_1

MPE	MAE	MSE	AIC	النماذج المقترنة
6,71	7,52	11,08	0,0000000	ARMA(11,26)
15,15	12,93	19,44	0,0419	MLP 1_5_1

المصدر : من إعداد الطالب بالأعتماد على برنامج Alyda NeuroIntelligence و Eviews

من خلال النتائج الموضحة في الجدول يعتبر النموذج ARMA(11,26) أفضل في التوقع باشتراكات الأنترنت لدى المتعامل جيزي وكالة مغنية بالنسبة لنموذج الشبكات العصبية الاصطناعية MLP 1_5_1 لأن معايير الدقة المستخدمة بالنسبة للنموذج الأول ARMA(11,26) كانت أقل من النموذج الثاني للشبكات العصبية MLP 1_5_1

الدراسة التطبيقية:

6-المفاضلة بين نموذج ARMA(15,22) و نموذج MLP 1_1_1 :

بهدف المفاضلة بين النموذجين المستخدمين في التوقع باشتراكات الأنترنت لدى المتعامل جيزي وكالة سعيدة و هما نموذج ARMA(15,22) و نموذج MLP 1_1_1 تم الاعتماد على مجموعة من المعاير و الممثلة في : MAPE ، MAE ، RMSE ، AIC و النتائج مبينة في الجدول التالي :

الجدول رقم 53: معاير ARMA(15,22) و نموذج MLP 1_1_1 لنموذج MAPE ، MAE ، RMSE ، AIC

MPE	MAE	MSE	AIC	النماذج المقارة
8,10	9,61	12,81	0,000002	ARMA(15,22)
10,00	31,09	22,23	0,0718	MLP 1_1_1

المصدر : من إعداد الطالب بالاعتماد على برنامج Alyda NeuroIntelligennce و Eviews

من خلال النتائج الموضحة في الجدول يعتبر النموذج ARMA(15,22) أفضل في التوقع باشتراكات الأنترنت لدى المتعامل جيزي وكالة سعيدة بالنسبة لنموذج الشبكات العصبية الاصطناعية MLP 1_1_1 لأن معاير الدقة المستخدمة بالنسبة للنموذج الأول ARMA(15,22) كانت أقل من النموذج الثاني للشبكات العصبية MLP 1_1_1

6-المفاضلة بين نموذج ARMA(18,14) و نموذج MLP 1_9_1 :

بهدف المفاضلة بين النموذجين المستخدمين في التوقع باشتراكات الأنترنت لدى المتعامل أوريدو وكالة مغنية و هما نموذج ARMA(18,14) و نموذج MLP 1_9_1 تم الاعتماد على مجموعة من المعاير و الممثلة في : MAPE ، MAE ، RMSE ، AIC و النتائج مبينة في الجدول التالي :

الجدول رقم 54: معاير ARMA(18,14) و نموذج MLP 1_9_1 لنموذج MAPE ، MAE ، RMSE ، AIC

MPE	MAE	MSE	AIC	النماذج المقارة
2,37	2,77	3,91	0,083	ARMA(18,14)
1,67	12,12	31,34	0,810	MLP 1_9_1

المصدر : من إعداد الطالب بالاعتماد على برنامج Alyda NeuroIntelligennce و Eviews

الدراسة التطبيقية:

من خلال النتائج الموضحة في الجدول يعتبر النموذج ARMA(18,14) أفضل في التوقع باشتراكات الأنترنت لدى المتعامل أوريدو وكالة مغنية بالنسبة لنموذج الشبكات العصبية الاصطناعية MLP 1_9_1 لأن معاير الدقة المستخدمة بالنسبة للنموذج الأول MLP 1_9_1 كانت أقل من النموذج الثاني للشبكات العصبية ARMA(18,14)

6-المفاضلة بين نموذج ARMA(0,23) و نموذج MLP 1_3_1 :

بحدف المفاضلة بين النماذجين المستخدمين في التوقع باشتراكات الأنترنت لدى المتعامل أوريدو وكالة سعيدة و هما نموذج ARMA(0,23) و نموذج MLP 1_3_1 تم الاعتماد على مجموعة من المعاير و المتمثلة في : MAE ، RMSE ، AIC ، MAPE و النتائج مبينة في الجدول التالي :

الجدول رقم 55 : معاير MAPE ، MAE ، RMSE ، AIC و نموذج MLP 1_3_1 لنموذج ARMA(0,23)

MPE	MAE	MSE	AIC	النماذج المقدرة
14,25	16,64	21,61	0,0025	ARMA(0,23)
78,11	44,01	32,99	0,1529	MLP 1_3_1

المصدر : من إعداد الطالب بالاعتماد على برنامج Alyda NeuroIntelligennce و Eviews

من خلال النتائج الموضحة في الجدول يعتبر النموذج ARMA(0,23) أفضل في التوقع باشتراكات الأنترنت لدى المتعامل أوريدو وكالة سعيدة بالنسبة لنموذج الشبكات العصبية الاصطناعية MLP 1_3_1 لأن معاير الدقة المستخدمة بالنسبة للنموذج الأول ARMA(0,23) كانت أقل من النموذج الثاني للشبكات العصبية MLP 1_3_1

6-المفاضلة بين نموذج ARMA(1,5) و نموذج MLP 1_3_1 :

بحدف المفاضلة بين النماذجين المستخدمين في التوقع باشتراكات الأنترنت لدى المتعامل اتصالات الجزائر وكالة مغنية و هما نموذج ARMA(1,5) و نموذج MLP 1_3_1 تم الاعتماد على مجموعة من المعاير و المتمثلة في : MAPE ، MAE ، RMSE ، AIC و النتائج مبينة في الجدول التالي :

الدراسة التطبيقية:

الجدول رقم 56: معايير ARMA(1,5) لنموذج MAPE , MAE , RMSE , AIC و نموذج 1_3

MPE	MAE	MSE	AIC	النماذج المقدرة
8,95	19,20	22,99	0,000036	ARMA(1,5)
17,11	22,91	45,87	0,0142	MLP 1_3_1

المصدر : من إعداد الطالب بالأعتماد على برنامج Alyda NeuroIntelligennce و Eviews

من خلال النتائج الموضحة في الجدول يعتبر النموذج ARMA(1,5) أفضل في التوقع باشتراكات الأنترنت لدى المتعامل اتصالات الجزائر وكالة مغنية بالنسبة لنموذج الشبكات العصبية الاصطناعية MLP 1_3 لأن معايير الدقة المستخدمة بالنسبة للنموذج الأول ARMA(1,5)

كانت أقل من النموذج الثاني للشبكات العصبية MLP 1_3_1

6-المفاضلة بين نموذج ARMA(1,20) و نموذج 1_6_1 :

بحدف المفاضلة بين النموذجين المستخدمين في التوقع باشتراكات الأنترنت لدى المتعامل اتصالات الجزائر وكالة سعيدة و هما نموذج ARMA(1,20) و نموذج 1_6_1 تم الاعتماد على مجموعة من المعايير و المتمثلة في : MAPE ، MAE ، RMSE ، AIC و النتائج مبينة في الجدول التالي :

الجدول رقم 57: معايير ARMA(1,20) لنموذج MAPE , MAE , RMSE , AIC و نموذج 1_6_1

MPE	MAE	MSE	AIC	النماذج المقدرة
20,54	28,33	33,91	0,0032	ARMA(1,20)
15,17	39,03	50,00	0,2100	MLP 1_6_1

المصدر : من إعداد الطالب بالأعتماد على برنامج Alyda NeuroIntelligennce و Eviews

من خلال النتائج الموضحة في الجدول يعتبر النموذج ARMA(1,20) أفضل في التوقع باشتراكات الأنترنت لدى المتعامل اتصالات الجزائر وكالة سعيدة بالنسبة لنموذج الشبكات العصبية

الدراسة التطبيقية:

الاصطناعية 1_6 MLP لأن معاير الدقة المستخدمة بالنسبة للنموذج الأول ARMA(1,20) كانت أقل من النموذج الثاني للشبكات العصبية 1_6 MLP

في هذا الفصل تم التطرق إلى التحليل العملي للسلسل الرزمنية لاشتراكات الأنترنت لدى وكالي (سعيدة - مغنية) لكل من المتعاملين في السوق الجزائرية محل الدراسة : موبيليس ، جيزي ، أوريدو ، و اتصالات الجزائر . حيث تم استخدام النماذج الخطية مثلة في نماذج ARMA و النماذج غير الخطية مثلة في ARCH، ونماذج الشبكات العصبية مثلة في نماذج MLP . و بنوع من التفصيل تناولنا دراسة استقرارية السلسل الرزمنية محل الدراسة ، بعدها قمنا باستعمال طرق النماذج واحدة تلوى الأخرى التي تم تطبيقها على 08 سلسل زمنية التي كانت محل الدراسة .

حيث أولاً : قمنا باستعمال نماذج ARIMA للتقدير و التنبؤ حيث نتائج اختبارات الاستقرارية بينت أن السلسل كلها مستقرة ، و بالتالي كانت النماذج المثلية للتقدير من نوع ARMA ، بعدها قمنا بعملية التشخيص و التنبؤ لكل نموذج ARMA مقدر على حدی .

ثانياً : استعملنا نماذج ARCH للنماذج و التنبؤ حيث اسفرت نتائج الاختبارات الاحصائية المطبقة على تباين التباين لكل السلسل الرزمنية محل الدراسة . و كما بينت كذلك أن بباقي النماذج المقدرة تبايناتها ثابتة ، إلا سلسلة واحدة و الممثلة في بباقي نموذج (ARMA_(14,18)) ، قمنا باختبار أثر ARCH و أثر GARCH فأسفرت النتائج أنها تتبع أثر GARCH . حيث قمنا بتشخيص النموذج و التنبؤ به .

ثالثاً : استعملنا نماذج الشبكات العصبية الاصطناعية في التقدير و التنبؤ ، حيث بينت النتائج أن الشبكات للسلسل الرزمنية محل الدراسة هي من نوع MLP ، حيث قمنا بعملية بناء الشبكات لكل السلسل محل الدراسة ، ثم التشخيص و التنبؤ . و في الأخير قمنا بعملية المقارضة بين مختلف الأساليب و النماذج التي تم التقدير بها بالاعتماد على بعض معاير الدقة التنبؤية .



الخاتمة



التنبؤ باشتراكات الانترنت باستخدام نماذج السلسل الزمنية
الخطية وغير الخطية

إذن أصبح استعمال التنبؤ الاقتصادي في المؤسسة الاقتصادية جد ضروري في الوقت الراهن أكثر من أي وقت مضى، حيث اتسعت دائرة استخدام التنبؤ الاقتصادي لتشمل جميع القطاعات الإنتاجية سواء الصناعية منها أو الخدمية و جميع الميادين سواء في الميدان المالي أو البنكي أو ميدان التأمينات أو ميدان الاتصالات أو....و يرجع هذا الانتشار السريع في الاستخدام الواسع للتنبؤ الاقتصادي بمحده الكثافة إلى مجموعة من العوامل منها : " التقدم المستمر و التطور الهائل في النماذج و التقنيات المستعملة في التنبؤ _ الأموال المخصصة للبحث و التطوير في مجال التخطيط الاقتصادي داخل المؤسسات الاقتصادية_ توافر الآليات لمعالجة البيانات والمعلومات الإدارية المطبقة _ التيقن بأهمية التنبؤ الاقتصادي _ ظهور تقنيات كمية سهلت عملية التنبؤ الاقتصادي الموضوعي المبني على قاعدة رياضية كمية موضوعية " .

و تعد نماذج السلسل الزمنية الخطية كنماذج الانحدار الخطى و نماذج الانحدار الخطى _ المتوسط المتحرك و نماذج السلسل الزمنية غير الخطية كنماذج الانحدار الذانى المشروطة بعدم ثبات تباين حد الخطأ ، و نماذج الشبكات العصبية... من بين أهم النماذج الحديثة و المتطورة للتنبؤ في الميدان الاقتصادي و الإداري .

فمن خلال تعطرقنا للموضوع و الشروع في الإجابة على اشكالية بحثنا و المتمثلة في ما مدى فعالية و قدرة نماذج السلسل الزمنية الخطية و غير الخطية في التحليل و النمذجة و التنبؤ لدى وكالات المتعاملين في السوق الجزائرية للأنترنت محل الدراسة خلصنا إلى تحقق فرضيتي الدراسة :

- تتحقق الفرضية الأولى : و القائلة بأن استخدام نماذج السلسل الزمنية الخطية و غير الخطية يزيد من فعالية اتخاذ القرارات لدى مسيري شركات المتعاملين مقدمي خدمة الأنترنت وذلك ما أسفرت عليه نتائج البحث و مقارنتها بالواقع العملي

الخاتمة

- تحقق الفرضية الثانية : ب بحيث أن بناء النماذج التنبؤية يأخذ بعين الاعتبار التغيرات ومكونات السلسل الرمزية من عشوائية ، فصلية ... و هذا ما يؤثر على فعالية النماذج في اعتمادها على اتخاذ القرارات الصائبة .

و من حراء الدراسة الميدانية للبحث و التي كما و سبق أن عرضنا التي تضمنت استعمال كل من نماذج ARMA و نماذج ARCH و نماذج الشبكات العصبية في تقدير النماذج الممثلة للسلسل الرمزية لاشتراكات الأنترنت لدى وكالات المتعاملين في السوق الجزائرية توصلنا إلى مجموعة من النتائج أهمها :

- تشكل اشتراكات الأنترنت لدى وكالتي (مغنية _ سعيدة) للمتعاملين في السوق الجزائرية : جيري-موبيليس-أوريدو - اتصالات الجزائر سياق منتظم غير عشوائي ، أي أنها سلسل زمنية مستقرة و هذا ما أظهرته نتائج اختبارات الاستقرارية خاصة اختبارات جذر الوحدة المطبقة . KPSS ، PP ، ADF ،

- أفضل النماذج من بين النماذج المقدرة في بحثنا للتتبُّع باشتراكات الأنترنت لدى وكالتي (مغنية _ سعيدة) للمتعاملين في السوق الجزائرية : جيري-موبيليس-أوريدو - اتصالات الجزائر باستخدام منهجية بوكس جنكتز هي النماذج الخطية من نوع (q,p) ARMA و ذلك بالاعتماد على معاير AK و SCH و DW .

- أفضل نموذج لتمثيل اشتراكات الأنترنت باستعمال منهجية بوكس - جنكتز هو : بالنسبة للمتعامل جيري وكالة مغنية هو نموذج ARMA(11,11) ، بالنسبة للمتعامل حيري وكالة سعيدة هو نموذج ARMA(5,17) ، بالنسبة للمتعامل موبيليس وكالة مغنية هو نموذج ARMA(11,26) ، بالنسبة للمتعامل أوريدو وكالة مغنية وكالة سعيدة هو نموذج ARMA(15,22)

هو نموذج ARMA(18,14) ، بالنسبة للمتعامل أوريدو وكالة سعيدة هو نموذج ARMA(0,23) ، بالنسبة للمتعامل اتصالات الجزائر وكالة مغنية هو نموذج ARMA(1,5) بالنسبة للمتعامل اتصالات الجزائر وكالة سعيدة هو نموذج ARMA(1,20) HA و SCH و AK و ذلك بالاعتماد على معايير DW .

- أظهرت نتائج اختبار ARCH-LM ثبات تباينات الأخطاء للنمذاج المقدرة و نتائج اختبار White أنها لا تتبع أثر ARCH باستثناء النموذج الممثل لاشتراكات الأنترنت لدى المتعامل أوريدو وكالة مغنية فهو يتبع أثر ARCH .
- من خلال نتائج الاختبارات الاحصائية تبين أن النموذج الملائم لنمذجة اشتراكات الأنترنت لدى المتعامل أوريدو وكالة مغنية هو النموذج المجين من خلال نتائج الاختبارات الاحصائية يتبع (GARCH(0,1) و بدون أثر ARCH) ARMA(18,14)
- تعد الشبكات العصبية بالمعمارية MLP أفضل الشبكات لتمثيل السلسل الزمنية الممثلة لاشتراكات الأنترنت لدى وكالات المتعاملين في السوق الجزائرية محل الدراسة بالاعتماد على معايير المفاضلة بين تم التوصل إلى أن الشبكات المثلية للتقدير هي كمالي : بالنسبة للمتعامل جيزي وكالة مغنية هو نموذج 1_5 MLP ، بالنسبة للمعامل جيزي وكالة سعيدة هو نموذج 1_1 MLP ، بالنسبة للمعامل موبيليس وكالة مغنية هو نموذج 1_7 MLP ، بالنسبة للمعامل موبيليس وكالة سعيدة هو نموذج 1_4 MLP ، بالنسبة للمعامل أوريدو وكالة مغنية هو نموذج 1_9 MLP ، بالنسبة للمعامل أوريدو وكالة سعيدة هو نموذج 1_3 MLP ، بالنسبة للمعامل اتصالات الجزائر وكالة مغنية هو نموذج 1_3 MLP ، بالنسبة للمعامل اتصالات الجزائر وكالة سعيدة هو نموذج 1_6 MLP .

الخاتمة

- بعد المقارنة بين نماذج السلسل الرمزية الخطية ARMA المقدرة و نماذج الشبكات العصبية ANN المقدرة باستعمال معايير الدقة التنبؤية منها AIC ، وجدنا أن النماذج الخطية أفضل من نماذج الشبكات العصبية .
- تعتبر السلسل الرمزية الخطية أفضل النماذج لتمثيل و محاكاة السلسل الرمزية الممثلة لاشتراكات الأنترنت لدى وكالي (مغنية _ سعيدة) للمتعاملين في السوق الجزائرية : جيزي-موبيليس-أوريدو - اتصالات الجزائر و ذلك لطبيعة الطلب على هذه الخدمة في الجزائر و كذا توجه الشركات الناشطة في هذا المجال .
- فعالية نماذج السلسل الرمزية في دراسة و تحليل الاشتراكات الشهرية للأنترنت لدى وكالات المتعاملين في السوق الجزائرية محل الدراسة .
- ساهم علم الإحصاء بشكل فاعل و واضح في التنبؤ الاقتصادي، و من أهم الطرق الإحصائية طرق السلسل الرمزية و التي تستخدم بشكل واسع في التنبؤات الاقتصادية وذلك لسهولة استخدامها و تطبيقها.
- من النماذج الحديثة نسبيا التي تستخدم في التنبؤ الاقتصادي نماذج الشبكات العصبية و نماذج ARIMA و نماذج ARCH التي وضعها كل من بوكس و جنكتر ، و هذه النماذج تمتاز بقدرها التنبؤية العالية مقارنة بالطرق الأخرى للتنبؤ.
و بناءا على نتائج الدراسة التي قمنا بها و اعتمادا على ما تم إنجازه نريد تقديم اقتراحات أو توصيات التي نأمل على قدر من الأهمية أن تفيد القارئ و المهتم بهذا الموضوع و كذا الجهات المختصة و المتعاملين في السوق الجزائرية للأنترنت :
- ضرورة اهتمام الأجهزة المركزية للإحصاء و المراكز البحثية بتحليل السلسل الرمزية في الحالات المختلفة خاصة في المجالين العلمي و العملي لما لها من أهمية اقتصادية .

الخاتمة

- من المهم توافر قواعد بيانات تفصيلية لمختلف متطلبات الشركات الناشطة في سوق الأنترنت الجزائري على مواقعها الالكترونية وتحديثها باستمرار من أجل توفير قاعدة مرجنة للبحث .
- الأخذ بنتائج هذا البحث من قبل المتعاملين في سوق الأنترنت الجزائري لمساعدتهم واسترشادهم في اتخاذ القرارات المستقبلية .
- نوصي بالاعتماد على التنبؤات وفقاً للطرق الاحصائية و القياسية و ذلك لتجنب الوقوع في الذاتية في اتخاذ القرارات . و تحذير مخاطر أخرى و الحصول على نتائج علمية دقيقة ذات جودة عالية .

و الدراسة هذه لا تتوقف في هذا الحد بل لها امتدادات مستقبلية و افاق من حيث توسيع عينة الدراسة إلى عدد أكبر من الوكالات على المستوى الوطني ، كما أن للدراسة امتداد من حيث العرق المستعملة ، حيث بإمكان تقديم هذه الدراسة باستعمال طرق تبؤية جد حديثة كاستخدام أسلوب التحليل العليفي (سلاسل فورييه) في النمذجة و التنبؤ و مقارنتها مع النماذج الخطية الموسمية SARIMA . كما للدراسة أفق بناء نموذج كلي للطلب على الأنترنت في الجزائر و أهم العوامل المؤثرة فيه باستخدام نماذج الانحدار .



المراجع و المصادر



التبنّي باشتراكات الأنترنوت باستخدام ثماذج السلالسل الزمنية
الخطية وغير الخطية

المراجع باللغة العربية :

- 1- الجبوري شلال " الاحصاء التعلبيقي " ، دار الحكمة ، بغداد - العراق ، 1999 .
- 2- الغرافي سليم " مبادئ الاحصاء الحديث " ، مطبعة الزهراء ، بغداد العراق ، 1972 .
- 3- أبو صالح محمد صبحي " الطرق الاحصائية " عمان ، دار اليازوري للنشر ، الطبعة الأولى، 2000 .
- 4- الشرقاوي محمد " الذكاء الاصطناعي و الشبكات العصبية " ، مطابع المكتب المصري الحديث ، القاهرة، مصر ، 1996 .
- 5- البلداوي عبد الحميد عبد الحميد " الأساليب الاحصائية التعلبية " دار الشروق للنشر و التوزيع ، الطبعة الأولى ، 2004 .
- 6- إسماعيل وليد السيفو و آخرون " أساسيات الاقتصاد القياسي التحليلي " ، الأهلية للنشر و التوزيع ،الأردن ، 2006 .
- 8- أمين بك حمزة " استخدام الشبكات العصبية الاصطناعية في التنبؤ للسلالات الزمنية بتعليق على استهلاك الطاقة الكهربائية في مدينة الموصل ، " رسالة ماجستير ، كلية العلوم جامعة الموصل(2005)
- 9- ألفت فتحي سالم أبو عابد " استخدام الطرق الاحصائية في التنبؤ بأسعار الذهب العالمية " ، رسالة ماجستير ، جامعة الأزهر (2015) .
- 10- أمل علي غافل " استخدام نماذج بوكس جنكتز ARIMA في التنبؤ بإنتاج العلاقة الكهربائية " مجلـة جـامـعـة كـريـلـاء الـعـلـمـيـة ، المـلـدـ 12 ، العـدـد 02 ، 2013 .
- 11- أسامة ربيع أمين سليمان " التنبؤ بمعدل الاحتفاظ بالأقساط في سوق التأمين المصري باستخدام السلالـلـ الزـمـنـيـة " مجلـة الـبـاحـث ، جـامـعـة وـرـقـة ، الـجـزاـئـر ، العـدـد 08 ، 2010 .
- 12- إسماعيل وليد السيفو وآخرون، "الاقتصاد التحليلي القياسي بين النظرية والتطبيق" ، دار محدثاوي للنشر والتوزيع، عمان، الأردن، 2003.
- 13- بري عدنان " طرق التنبؤ الاحصائي " جامعة الملك سعود ، السعودية ، 2002 .
- 14- بن أحمد احمد " المسذجة القياسية للاستهلاك الوطني للطاقة الكهربائية في الجزائر خلال الفترة (1988_10:2007_03) " رسالة ماجستير ، جامعة الجزائر . الجزائر . 2008
- 15- بوزيدي حافظ أمين " استخدام منهجية بوكس جنكتز للتنبؤ بحجم الطلب على متوجات الصناعات الغذائية في الجزائر " رسالة ماجستير ، جامعة بسكرة ، الجزائر ، 2014 .

المراجع والمصادر

- 16- بن عوالي حنان " تطبيق الأساليب الحديثة لتقنيات التبوء بالمبيعات في المؤسسة الاقتصادية _ دراسة حالة المؤسسة الوطنية للصناعات الميكانيكية و لواحقها " رسالة ماجister ، جامعة شلف ، الجزائر 2009 .
- 17- بن قسمى طارق " استخدام غاذج السلسل الرمزية لتقنيات التبوء لمبيعات الطاقة الكهربائية _ دراسة حالة الشركة الوطنية للكهرباء و الغاز " ، رسالة ماجister ، جامعة بسكرة ، الجزائر ، 2014 .
- 18- بن عبد الله العتام و اخرون " تحليل السلسلة الزمنية مؤشر أسعار الأسهم في المملكة العربية السعودية باستخدام منهجية يوكس جنكتز" مجلة الاقتصاد و الادارة ، جامعة الملك عبد العزيز ، المجلد 17، العدد 02 ، 2003 .
- 19- بل馍دم مصطفى و بن عاتق عمر " التبوء بالمبيعات و فعالية شبكة الامداد محاولة للنموذج " الملتقى الدولي حول الأساليب الكمية و دورها في اتخاذ القرارات الادارية ، جامعة سكيكدة ، الجزائر ، 27_28 جانفي 2009 .
- 20- تومي صالح " مدخل لنظرية القياس الاقتصادي " الجزء الأول ، ديوان المطبوعات الجامعية ، 1999 .
- 21- جلال احمد " دراسة تخطيطية و تبوءة لمبيعات الوقود للشركة الوطنية لتسويق و توزيع المواد البترولية " رسالة ماجister ، المدرسة العليا للتجارة ، الجزائر ، 2005 .
- 22- جمال الدين فروخي " نظرية الاقتصاد القياسي " الطبعة الثانية ، الجزائر ، ديوان المطبوعات الجامعية ، 1981 .
- 23- جارة محمد" التبوء بالسلسل الرمزية لنسوب النيل الازرق في محطة دمدمي باستخدام غاذج يوكس جينكيز وغاذج الشبكات العصبية الاصطناعية " أطروحة دكتوراه في الاحصاء ، جامعة السودان ، للعلوم والتكنولوجيا
- 24- حسين علي بخيت _ سحر فتح الله " مقدمة في الاقتصاد القياسي " الدار الجامعية للطباعة و النشر ، بغداد ، 2002 .
- 25- حسين البياتي عصام و اخرون " استخدام أسلوب يوكس جنكتز للتبوء بإنتاجية العمل في مصنع اسمت عمران في القطاع الصناعي اليماني " مجلة الادارة و الاقتصاد . العدد 63, 2007.
- 26- خليدة دهوم " أساليب التبوء بالمبيعات " رسالة ماجister ، جامعة باتنة ، الجزائر ، 2009 .
- 27- خالد محمد السواعي " Eviews و القياس الاقتصادي " ، دائرة المكتبة الوطنية ، الأردن ، 2011 .

المراجع والمصادر

- 28- دابور زوجة تراحي حورية " تطبيق نماذج ARCH على أسعار البورصة " رسالة ماجister ، جامعة الجزائر ، الجزائر ، 2001 .
- 29- دومينيك سالفتور (PHD) ، ملخصات شوم نظريات وسائل في الإحصاء والاقتصاد القياسي ، ترجمة د. سعدية حافظ متصر ، الطبعة الثانية ، ديوان المطبوعات الجامعية ، 1993 .
- 30- رابح بلعباس " فعالية التنبؤ باستخدام النماذج الاحصائية في اتخاذ القرارات " الملتقى الوطني حول صنع القرار في المؤسسة الاقتصادية ، جامعة المسيلة ، أفريل 2009 .
- 31- زرمان كريم " دراسة تحليلية و تنبؤية لمعدلات الخسارة في شركات التأمين _ دراسة حالة الشركة الجزائرية للتأمين بقسنطينة " أطروحة دكتوراه ، جامعة بسكرة ، الجزائر ، 2015 .
- 32- سعيد هتهات " دراسة اقتصادية و قياسية لظاهرة التعنخم في الجزائر " رسالة ماجister ، جامعة ورقلة ، الجزائر ، 2005 .
- 33- ساهم عبد القادر " استخدام البرمجة بالأهداف في تحليل الانحدار المبهم للتنبؤ بأسعار البترول " أطروحة دكتوراه ، جامعة تلمسان ، الجزائر ، 2013 .
- 34- صوار يوسف " محاولة تقدير حطر تسديد القرض باستعمال طريقة القرض التقاطعي والتقويم العصبية الاصطناعية بالبنك الجزائري دارسة حالة : بنك الجزائري للتنمية الريفية " BADR ، أطروحة دكتوراه في العلوم الاقتصادية ، جامعة تلمسان (2008)
- 35- صلاح الدين كروش ، " التوقع بالمبينات باستخدام نماذج احصائية " ، دار الراية للنشر والتوزيع ، الأردن ، 2015 . الطبعة الأولى
- 36- صلاح الدين كروش " التوقع بالمبينات باستخدام نماذج احصائية _ دراسة تطبيقية لشركة الاسمنت حامة بوزيان " رسالة ماجister . جامعة قسنطينة ، الجزائر ، 2007 .
- 37- عبد الكريم عطية عبد القادر " الاقتصاد القياسي بين النظرية والتطبيق " الدار الجامعية ، مصر ، 2000
- 40- عصام عزيز الشريف " مقدمة في الاقتصاد القياسي " الطبعة الثانية - الجزائر - ديوان المطبوعات الجامعية ، 1981
- 41- عبد العزيز شرابي " طرق احصائية للتوقع الاقتصادي " ديوان المطبوعات الجامعية ، بن عكنون ، الجزائر ، 2000

- 42- عبد الله عبد الله " تحليل السلسل الرزمنية اللاحظية من نوع ARCH-GARCH للرتب الديما باستخدام المحاكاة " أطروحة دكتوراه ، جامعة بغداد ، العراق (2008).
- 43- عبد الرحمن الأحمد العبيد " مبادئ التبؤ الإداري " جامعة الملك سعود للنشر العلمي و المطبع ، السعودية ، 2004 .
- 44- عاشر بدار " المفاضلة بين نموذج السلسل الرزمنية و نموذج الانحدار البسيط في التبؤ بحجم المبيعات في المؤسسة الاقتصادية ، رسالة ماجистر ، جامعة المسيلة ، الجزائر ، 2006
- 45- عبر حسن علي الجبورى " التبؤ بأسعار النفط العراقي للعام 2010 باستخدام السلسل الرزمنية " مجلة جامعة بابل ، العراق ، المجلد 18 ، العدد 01
- 46- عثمان نقار و آخرون " منهجة يوكس جنكر في تحليل السلسل الرزمنية و التبؤ _ دراسة تطبيقية على أعداد التلاميذ الصف الأول من التعليم الأساسي في سوريا" مجلة جامعة دمشق للعلوم الاقتصادية و القانونية ، سوريا ، المجلد 27 ، العدد 03 ، 2011
- 47- عباس برايس " تطبيقات الشبكات العصبية الاصطناعية في الهندسة و الانشاء: نظرية عامة " مجلة جامعة الملك سعود ، المجلد 12 ، العدد 01 ، 2000 .
- 48- فاضل عباس الطائي " التبؤ و التمهيد للسلسل الرزمنية باستخدام التحويلات مع التعليق " مجلة جامعة الموصل ، العراق ، المجلد 06 ، العدد 07 ، 2009 .
- 49- فاندال والتر " السلسل الرزمنية من الوجهة التطبيقية و نماذج يوكس جنكر " ترجمة عبد المرضي حامد غرام ، دار المريخ للنشر ، الرياض ، المملكة العربية السعودية .
- 50- فائق شقير و آخرون " مقدمة في الاحصاء " دار المسيرة للنشر و التوزيع و العلبة ، عمان، الطبعة الأولى ، 2000 .
- 51- فروخي جمال " نظرية الاقتصاد القياسي " ، ديوان المطبوعات الجامعية ، الجزائر ، 1993
- 52- فايز جزاع يامين " التبؤ الاقتصادي بالمساحات المزروعة بمحصول الحنطة في العراق باستخدام نماذج ARIMA للمدة 2008_2015 " مجلة الأنبار للعلوم الزراعية ، العراق ، المجلد 09 . العدد 02 ، 2011 .
- 53- مراس محمد " التحليل القياسي للطلب و العرض على خدمات قطاع النقل في الجزائر باستخدام نماذج الانحدار الخطية و غير الخطية " مجلة دراسات في الاقتصاد و التجارة و المالية . جامعة الجزائر 3 ، المجلد الرابع ، العدد 02 .
- 54- مراس محمد و بلعربي عبد القادر " بناء نموذج قياسي لاشتراكات الأنترنت لدى المتعامل اتصالات الجزائر باستخدام نماذج ARIMA " مجلة الابتكار و التسويق ، جامعة بلياس ، الجزائر ، العدد 04

- 55- مكيدش محمد و ساهم عبد القادر " دراسة قياسية لأسعار البترول باستخدام نماذج GARCH بملة الاقتصاد المعاصر ، العدد 03 ، 2008 .

56- مولود حشمان، "نماذج وتقنيات التبؤ القصدير المدى" ، ديوان المطبوعات الجامعية، الجزائر ، 1998.

57- محمد شيخي " طرق الاقتصاد القياسي : محاضرات و تطبيقات " الطبعة الأولى ، دار حامد للنشر والتوزيع . الأردن ، 2012 .

58- مجدي الشوبرجي " الاقتصاد القياسي -النظرية و التعليق " ، ديوان المطبوعات اللبنانية ، الطبعة الأولى ، 1999 .

59- نصيف رحم " الاحصاء التطبيقي " دار العلوم للنشر و التوزيع ، عنابة ، الجزائر ، 2004

60- ناهدة سعيد حسين زعرب " تحليل حجم تداول الأسهم في قطاع البنوك الوطنية المدرجة في بورصة فلسطين باستخدام نموذج السلسل الرزمنية " رسالة ماجister ، الجامعة الاسلامية بغزة ، 2012 .

61- هشام لبرة " محاولة استعمال نمذجة غير خطية و نموذج تصحيح الخطأ للاستهلاك الداخلي للغاز الطبيعي " رسالة ماجister ، جامعة الجزائر ، الجزائر ، 2006

62- يوسف يركان " استخدام النماذج الكمية في التبؤ بالعلاقة الانتاجية للمؤسسة _ دراسة حالة الشركة الوطنية لتحقيق و تسخير الصناعات للتراباءلة بفريدة ميلة " رسالة ماجister ، جامعة سطيف ، الجزائر 2009

المراجع باللغة الأجنبية:

- 1-Eric Dor , "Econométrie : Synthèse de cours ,Exercice corrigés " , Tunis
 - 2-Éric Dor : « Économétrie ». PEARSONE Éducation, France 2004.
 - 3- Gabriel Blick ; "La macroéconomie en fiches ". ellipses . Paris . 2002
 - 4-Guy Mélard : « Méthodes de prévisions à court terme ».Ellipses, Bruxelles 1990.
 - 5-Hassen Bennaceur ; "econométrie :Notes de cours_ exercices corrigés " ,centre de publication uviversitaire ;tunise 2010
 - 6-Jacques Johnston : « Méthodes économétriques ». ECONOMICA,Paris 1985.
 - 7- Jean- Jacque Droesbeke et autre , " Modalisation ARCH : Théorie statistique et applications dans le domaine de la finance " éditions ellipses , Belgique , 1994

- 8- Lardic .S et Mignon , "economitrie des séries temporelles macroéconomique ", Economica , 2000
- 9- Michel Terraza , Régis Bourbonnais , "Analyse des séries temporelles , application à l'économie et à la gestion " 2 em édition , Dunod , paris
- 10- Nicolas Carnot , Bruno Tassot , "La prévision économique " Economica , Paris
- 11- Omer Ozcicek , Baton Rouge ,LA , " Lag Length Selection in Vector Autoregressive Models " 70803. William Douglas McMiblin
- 12- Régis Bourbonnais , Jean Claude Usurier « Prévision des ventes _Théorie et pratique » 3 ème édition ECONOMICA, Paris 2000.
- 13- Régis Bourbonnais : "Econométrie manuelle et exercice corrigées ", 3^{ème} édition Dunod, Paris 2004.
- 14- Régis Bourbonnais : "Econométrie manuelle et exercice corrigées ", 7^{ème} édition Dunod, Paris 2008.
- 15- Régis Bourbonnais : "Econométrie manuelle et exercice corrigées ", 8^{ème} édition Dunod, Paris 2010.
- 16- Régis Bourbonnais : "Econométrie manuelle et exercice corrigées ", 5^{ème} édition Dunod, Paris 2006.
- 17-Sandrine Lardic, Valérie Mignon : « Économétrie des séries temporelles macroéconomiques et financières ». ECONOMICA, Paris 2002.
- 18-Sami Khedhiri " cours D'introduction à L'économétrie" Centre de publication universitaire , 2005
- 19- Sami Khedhiri , "Cours D'économétrie : méthodes et application ", Learn Science publication ,Paris ,2007
- 20-William H , Greene ; " econometric Analysis" Seventh Edition



الملاحق



التنبؤ باشتراكات الأنترنت باستخدام عمليات السلسل الزمنية
الخطية وغير الخطية

الملحق رقم 01: تأثير ديك فولر لاستقرارية السلسل الرمنية محل الدراسة :

Augmented Dickey-Fuller Test Statistic: 0.000000000000000					Augmented Dickey-Fuller Test Statistic: -0.232706000000000				
Null Hypothesis: AR(1) has a unit root					Null Hypothesis: AR(1) has a unit root				
Exogenous: Constant, Linear Trend					Exogenous: Constant, Linear Trend				
Lag Length: 0 (Automatic based on SIC, MAXLAG=10)					Lag Length: 1 (Automatic based on SIC, MAXLAG=10)				
		t-Statistic	P-Value			t-Statistic	P-Value		
Augmented Dickey-Fuller test statistic:					Augmented Dickey-Fuller test statistic:				
Test critical values:		-4.67399	0.0000		Test critical values:	-4.232706	0.0000		
1% level		-4.12353			1% level	-4.12353			
5% level		-3.467345			5% level	-3.467345			
10% level		-3.172348			10% level	-3.172348			
MacKinnon (1996) one-sided p-values:									
Augmented Dickey-Fuller Test Equation:					Augmented Dickey-Fuller Test Equation:				
Dependent Variable: D(AIR1T)					Dependent Variable: D(AIR1T)				
Method: Least Squares					Method: Least Squares				
Date: 03/19/18 Time: 23:14					Date: 03/19/18 Time: 23:14				
Sample (adjusted): 2012M02 2018M12					Sample (adjusted): 2012M02 2018M12				
Included observations: 53 after adjustments					Included observations: 53 after adjustments				
Variable	Coefficient	Std. Error	t-Statistic	P-Value	Variable	Coefficient	Std. Error	t-Statistic	P-Value
AR(1)	-0.477253	0.169544	-2.877988	0.0060	AR(1)	-0.501989	0.142202	-3.52784	0.0001
C	104.1448	23.47653	4.452475	0.0000	C	138.8473	33.88571	4.02147	0.0011
@TREND(2012M02)	-0.000864	0.161120	-0.053032	0.9677	@TREND(2012M02)	-0.281398	22.54354	-1.25246	0.2331
R-squared	0.229115	Mean dependent var		1.000000	R-squared	0.268308	Mean dependent var		0.172414
Adjusted R-squared	0.243426	S.D. dependent var		24.21527	Adjusted R-squared	0.248805	S.D. dependent var		37.18886
S.E. of regression	21.95278	Akaike info criterion		8.862389	S.E. of regression	32.23773	Akaike info criterion		9.050826
Sum squared resid	5840.61	Schwarz criterion		9.088335	Sum squared resid	58420.66	Schwarz criterion		9.062724
Log likelihood	-261.3683	Hansen-Jarrell criter.		0.026365	Log likelihood	-281.0581	Hansen-Jarrell criter.		0.026375
F-statistic	19.35058	Durbin-Watson stat		2.067317	F-statistic	7.294721	Durbin-Watson stat		2.014783
Prob(F-statistic)	0.000102				Prob(F-statistic)	0.000343			

Augmented Dickey-Fuller Unit Root Test on AIRS					Augmented Dickey-Fuller Test Statistic: -0.232706000000000				
Null Hypothesis: AR(1) has a unit root					Null Hypothesis: AR(1) has a unit root				
Exogenous: Constant, Linear Trend					Exogenous: Constant, Linear Trend				
Lag Length: 0 (Automatic based on SIC, MAXLAG=10)					Lag Length: 1 (Automatic based on SIC, MAXLAG=10)				
		t-Statistic	P-Value			t-Statistic	P-Value		
Augmented Dickey-Fuller test statistic:					Augmented Dickey-Fuller test statistic:				
Test critical values:		-4.399237	0.0000		Test critical values:	-4.232706	0.0000		
1% level		-4.185755			1% level	-4.185755			
5% level		-3.599508			5% level	-3.599508			
10% level		-3.194250			10% level	-3.194250			
MacKinnon (1996) one-sided p-values:									
Augmented Dickey-Fuller Test Equation:					Augmented Dickey-Fuller Test Equation:				
Dependent Variable: D(AIRS)					Dependent Variable: D(AIRS)				
Method: Least Squares					Method: Least Squares				
Date: 03/19/18 Time: 00:21					Date: 03/19/18 Time: 00:19				
Sample (adjusted): 2012M02 2018M12					Sample (adjusted): 2012M02 2018M12				
Included observations: 47 after adjustments					Included observations: 47 after adjustments				
Variable	Coefficient	Std. Error	t-Statistic	P-Value	Variable	Coefficient	Std. Error	t-Statistic	P-Value
AR(1)	-0.455271	0.149544	-3.088237	0.0000	AR(1)	-0.455271	0.150888	-3.088155	0.0000
C	103.0405	31.52874	3.252922	0.0000	C	134.9619	33.88836	3.985281	0.0000
@TREND(2012M02)	-0.008308	0.161120	-0.053032	0.9673	@TREND(2012M02)	-0.281398	22.54354	-1.25246	0.2330
R-squared	0.245271	Mean dependent var		1.042933	R-squared	0.245109	Mean dependent var		0.318149
Adjusted R-squared	0.200511	S.D. dependent var		79.68367	Adjusted R-squared	0.205418	S.D. dependent var		0.318049
S.E. of regression	99.13304	Akaike info criterion		11.08870	S.E. of regression	95.35978	Akaike info criterion		10.53645
Sum squared resid	109703.2	Schwarz criterion		11.25179	Sum squared resid	107131.91	Schwarz criterion		10.64454
Log likelihood	-257.8784	Hansen-Jarrell criter.		11.13714	Log likelihood	-244.3718	Hansen-Jarrell criter.		10.57029
F-statistic	18.38718	Durbin-Watson stat		2.02230	F-statistic	20.38911	Durbin-Watson stat		1.96660
Prob(F-statistic)	0.000002				Prob(F-statistic)	0.000001			

Augmented Dickey-Fuller Unit Root Test on AD05				
Null Hypothesis: AD05 has a unit root Exogenous: Constant, Linear Trend Lag Length: 3 (Automatic based on SIC, MAXLAG=8)				
	t-Statistic	P-Value		
Augmented Dickey-Fuller test statistic:	-4.274803	0.0044		
Test critical values:				
1% level	-4.170463			
5% level	-3.053740			
10% level	-2.165152			

*MacKinnon (1996) one-sided p-values.

Augmented Dickey-Fuller Test Equation
Dependent Variable: D(AD05)
Method: Least Squares
Date: 03/19/18 Time: 09:54
Sample (adjusted): 2014M02 2018M12
Included observations: 47 after adjustments

Variable	Coefficient	Std. Error	t-Statistic	P-Value
AD05(-1)	-0.750514	0.169673	-4.474803	0.0001
D(AD05(-1))	0.215944	0.150098	1.436959	0.1575
C	0.50001	21.86665	4.285148	0.0001
@TREND(0.13891)	0.061217	0.204268	0.299447	0.7688
R-squared	0.239719	Mean dependent var		-0.97821
Adjusted R-squared	0.238954	S.D. dependent var		21.70754
S.E. of regression	18.33386	Akaike info criterion		8.738718
Sum squared resid	54177.49	Schwarz criterion		8.897730
Log likelihood	-191.3913	Hansen-Godfrey criter.		8.797665
F-statistic	7.223346	Durbin-Watson stat		1.942392
Prob(F-statistic)	0.00024			

Augmented Dickey-Fuller Unit Root Test on AD06				
Null Hypothesis: AD06 has a unit root Exogenous: Constant, Linear Trend Lag Length: 3 (Automatic based on SIC, MAXLAG=8)				
	t-Statistic	P-Value		
Augmented Dickey-Fuller test statistic:	-5.027715	0.0002		
Test critical values:				
1% level	-4.195798			
5% level	-3.328168			
10% level	-3.154230			

*MacKinnon (1996) one-sided p-values.

Augmented Dickey-Fuller Test Equation
Dependent Variable: D(AD06)
Method: Least Squares
Date: 03/19/18 Time: 09:59
Sample (adjusted): 2013M02 2018M12
Included observations: 47 after adjustments

Variable	Coefficient	Std. Error	t-Statistic	P-Value
AD06(-1)	-0.734293	0.146937	-5.027715	0.0002
C	0.193873	16.57483	4.910469	0.0001
@TREND(0.13891)	0.021156	0.173728	0.133298	0.8949
R-squared	0.394423	Mean dependent var		3.000000
Adjusted R-squared	0.393784	S.D. dependent var		19.79382
S.E. of regression	16.07792	Akaike info criterion		8.454265
Sum squared resid	1137.70	Schwarz criterion		8.572485
Log likelihood	-166.6725	Hansen-Godfrey criter.		8.499000
F-statistic	12.72350	Durbin-Watson stat		1.369345
Prob(F-statistic)	0.000544			

Augmented Dickey-Fuller Unit Root Test on AD05				
Null Hypothesis: AD05 has a unit root Exogenous: Constant, Linear Trend Lag Length: 3 (Automatic based on SIC, MAXLAG=8)				
	t-Statistic	P-Value		
Augmented Dickey-Fuller test statistic:	-4.520680	0.0158		
Test critical values:				
1% level	-4.247844			
5% level	-3.54294			
10% level	-3.29489			

*MacKinnon (1996) one-sided p-values.

Augmented Dickey-Fuller Test Equation
Dependent Variable: D(AD05)
Method: Least Squares
Date: 03/19/18 Time: 09:54
Sample (adjusted): 2014M02 2018M12
Included observations: 35 after adjustments

Variable	Coefficient	Std. Error	t-Statistic	P-Value
AD05(-1)	-0.711473	0.177413	-4.226989	0.0003
C	0.724034	24.75868	3.326076	0.0019
@TREND(0.13891)	0.087237	0.720918	0.089979	0.9621
R-squared	0.338189	Mean dependent var		2.985714
Adjusted R-squared	0.328855	S.D. dependent var		51.30805
S.E. of regression	43.02526	Akaike info criterion		10.44327
Sum squared resid	5927.62	Schwarz criterion		10.57658
Log likelihood	-179.1572	Hansen-Godfrey criter.		10.48829
F-statistic	8.175354	Durbin-Watson stat		1.621281
Prob(F-statistic)	0.001356			

Augmented Dickey-Fuller Unit Root Test on AD06				
Null Hypothesis: AD06 has a unit root Exogenous: Constant, Linear Trend Lag Length: 3 (Automatic based on SIC, MAXLAG=8)				
	t-Statistic	P-Value		
Augmented Dickey-Fuller test statistic:	-4.944278	0.0017		
Test critical values:				
1% level	-4.243844			
5% level	-3.544294			
10% level	-3.204689			

*MacKinnon (1996) one-sided p-values.

Augmented Dickey-Fuller Test Equation
Dependent Variable: D(AD06)
Method: Least Squares
Date: 03/19/18 Time: 09:51
Sample (adjusted): 2014M02 2018M12
Included observations: 35 after adjustments

Variable	Coefficient	Std. Error	t-Statistic	P-Value
AD06(-1)	-0.640635	0.171947	-4.944278	0.0002
C	0.121268	21.79323	4.647942	0.0001
@TREND(0.13891)	0.128991	0.493010	0.279862	0.7837
R-squared	0.338494	Mean dependent var		2.914286
Adjusted R-squared	0.328907	S.D. dependent var		35.797112
S.E. of regression	27.73717	Akaike info criterion		9.555240
Sum squared resid	240.1821	Schwarz criterion		9.598556
Log likelihood	-154.3017	Hansen-Godfrey criter.		9.311200
F-statistic	12.21528	Durbin-Watson stat		1.307979
Prob(F-statistic)	0.000108			

المق رقم 02: نتائج اختبار PP لاستقرارية السلسلة الزمنية محل الدراسة :

Philips-Perron Unit Root Test on AATM				
Null Hypothesis: AATM has a unit root Exogenous: Constant, Linear Trend Bandwidth: 2 (Newey-West using Bartlett kernel)				
Ad. I-Stat.	Prob.*			
Philips-Perron test statistic:	-4.098237	0.0000		
Test critical values:				
1% level	-4.185758			
5% level	-3.558508			
10% level	-3.140238			
*MacKinnon (1996) one-sided p-values.				
Residual variance (no correction)				
HAC corrected variance (Bartlett kernel)				
0.3881175				
Philips-Perron Test Equation				
Dependent Variable: D(AATM)				
Method: Least Squares				
Date: 03/10/16 Time: 01:26				
Sample (adjusted): 2013M02 2016M12				
Included observations: 47 after adjustments				
Variable	Coefficient	Std. Error	t-Statistic	
AATM(-1)	-0.309222	0.140644	-2.206237	0.0006
C	160.4943	31.12874	4.852822	0.0006
@TREND(2013M01)	0.361308	0.048112	0.106830	0.8152
R-squared	0.456271		Mean dependent var	1.342553
Adjusted R-squared	0.430511		S.D. dependent var	79.68387
S.E. of regression	56.12564		Akaike info criterion	11.00278
Sum squared resid	1039103.2		Schwarz criterion	11.21079
Log likelihood	-257.6784		Hansen-Johansen criter.	11.13734
F-statistic	18.36798		Durbin-Watson stat	2.932255
Prob(F-statistic)	0.000002			

Philips-Perron Unit Root Test on AATM				
Null Hypothesis: AATM has a unit root Exogenous: Constant, Linear Trend Bandwidth: 1 (Newey-West using Bartlett kernel)				
Ad. I-Stat.	Prob.*			
Philips-Perron test statistic:	-4.384520	0.0000		
Test critical values:				
1% level	-4.185758			
5% level	-3.558508			
10% level	-3.140238			
*MacKinnon (1996) one-sided p-values.				
Residual variance (no correction)				
HAC corrected variance (Bartlett kernel)				
0.3821596				
Philips-Perron Test Equation				
Dependent Variable: D(AATM)				
Method: Least Squares				
Date: 03/10/16 Time: 00:24				
Sample (adjusted): 2013M02 2016M12				
Included observations: 47 after adjustments				
Variable	Coefficient	Std. Error	t-Statistic	
AATM(-1)	-0.381327	0.150988	-2.584158	0.0000
C	234.3619	39.38603	5.935281	0.0000
@TREND(2013M01)	0.385235	0.048787	0.008838	0.4240
R-squared	0.481009		Mean dependent var	0.319549
Adjusted R-squared	0.4577418		S.D. dependent var	61.55649
S.E. of regression	45.38578		Akaike info criterion	10.52645
Sum squared resid	98355.61		Schwarz criterion	10.64454
Log likelihood	-244.3715		Hansen-Johansen criter.	10.57089
F-statistic	29.38991		Durbin-Watson stat	1.98558
Prob(F-statistic)	0.000001			

PHILLIPS-PERRIN LINEAR TRENDS TEST RESULTS				
Null Hypothesis: ADLs have a unit root				
Exogenous: Constant, Linear Trend				
Bandswidth: 14 (Newey-West using Bartlett kernel)				
		Abs. t-stat	P-value	
Phillips-Perrin test statistic:		-4.088906	0.0122	
Test critical values:				
1% level		-4.183924		
5% level		-3.508506		
10% level		-3.104230		
*MacKinnon (1996) one-sided p-values.				
Residual variance (no correction)			316.3872	
RHC corrected variance (Bartlett kernel)			529.6471	
 Phillips-Perrin Test Equation				
Dependent Variable: D(ADLs)				
Method: Least Squares				
Date: 03/18/01 Time: 00:44				
Sample (adjusted): 2013862 2016872				
Included observations: 47 after adjustments				
Variable	Coefficient	Std. Error	t-Statistic	P-value
ADLS(-1)	-0.000005	E 1.376717	-4.482343	0.0001
C	55.36005	E 16.10767	4.100000	0.0001
@TREND(2013861)	0.028104	E 1.575857	0.162157	0.8876
R-squared:	0.310084	Mean dependent var		-1.278595
Adjusted R-squared:	0.279152	S.D. dependent var		21.65511
S.E. of regression:	18.36395	Akaike info criterion		8.722559
Sum squared residual:	14870.87	Schwarz criterion		8.846530
Log likelihood:	-201.9798	Hansen-Gauss crit.		8.760075
F-statistic:	8.915778	Durbin-Watson stat		1.828745
Prob(F-statistic):	0.000279			

O Coefficients (Dependent Variable: <i>STOCK</i>)				
	Beta	Standard Error	t Statistic	P-value
Intercept	0.000000	0.000000	0.000000	1.000000
ADM1	-0.734253	0.149837	-5.021215	0.0000
C	0.136372	0.153748	0.110088	0.9000
@TREND(2013M03-2016M12)	0.021166	0.153728	0.133288	0.8846
R-squared	0.350423	Model: Unadjusted		0.500000
Adjusted R-squared	0.337629	S.E.: Unadjusted		0.517392
S.E. of regression	16.27702	Ave abs. diff. obs. pred.		0.454380
Sum squared resid	15327.270	Schwartz criterion		0.577385
Lag likelihood	-105.6778	Hannan-Quinn criter.		0.498800
F-statistic	92.73152	Durbin-Watson stat		1.381848
Prob(F-statistic)	0.000842			

PHILLIPS-PERON TEST FOR HOMOGENEITY OF COEFFICIENTS				
Null Hypothesis: H0: B has a uniform distribution Exogenous: Constant, Linear Trend Bandwidth: 1 (Newey-West using Bartlett kernel)				
	Avg. t-Stat.	Prob.*		
Phillips-Perron test statistic:	-4.219748	0.02173		
Test critical values:				
1% level	-4.245844			
5% level	-3.544284			
10% level	-3.204888			

*MacKinnon (1996) one-sided p-values.

Residual variance (no correction)	1082.501
HAC corrected variance (Bartlett kernel)	1071.317

Phillips-Perron Test Equation				
Dependent Variable: D(H0B)				
Method: Least Squares				
Date: 03/19/18 Time: 02:58				
Sample (adjusted): 2014M02-2016M12				
Included observations: 35 after adjustments				
Variable	Coefficient	Std. Error	t-Statistic	Prob.
H0S0-B	-0.714743	0.177413	-4.026888	0.0003
C	17.29404	29.73904	0.585178	0.9919
@TREND2014M01	-0.007207	0.722918	-0.009978	0.9921
R-squared	0.339559	Mean dependent var		2.385714
Adjusted R-squared	0.299005	S.D. dependent var		0.310005
S.E. of regression	43.82526	Akaike info criterion		10.44326
Sum squared resid	58237.52	Schwarz criterion		10.57658
Log likelihood	-179.7572	Hansen-Gourié criterion		10.48929
F-statistic	8.117534	Durbin-Watson stat		1.821291
Prob(F-statistic)	0.801255			

Null Hypothesis: ACM has a unit root. Exogenous: Constant, Linear Trend Bandwidth: 6 (Newey-West using Bartlett kernel)				
	Abs. t-Stat.	Prob. *		
Phillips-Perron test statistic:	-4.883888	0.0020		
Test critical values:				
1% level	-4.243644			
5% level	-3.544284			
10% level	-3.204088			
*MacKinnon (1996) one-sided p-values.				
Residual variance (no correction)		703.4098		
HAC corrected variance (Bartlett kernel)		487.8000		
 Phillips-Perron Test Equation: Dependent Variable: D(ACM) Method: Least Squares Date: 03/19/13 Time: 02:56 Sample (adjusted): 20140202 20140212 Included observations: 30 after adjustments				
Variable	Coefficient	Std. Error	t-Statistic	Prob.
ACM(-1)	-0.048035	0.171647	-0.284079	0.9938
C	19.12616	21.70833	0.847942	0.0001
@TREND(20140201)	0.129881	0.460010	0.279882	0.7837
R-squared	0.434334	Mean dependent var		9.914288
Adjusted R-squared	0.398117	S.D. dependent var		35.79712
S.E. of regression	27.23717	Akaike info criterion		9.665249
Sum squared resid	24618.21	Schwarz criterion		9.695558
Log likelihood	-164.3817	Hansen-Godfrey crit.		9.811285
F-statistic	12.31518	Durbin-Watson stat		1.837975
Prob(F-statistic)	0.000100			

المق رقم 03: ناتج اخبار KPSS لاستقرار السلسل الزمنية محل الدراسة :

<p>KPSS Unit Root Test on AAT5</p> <p>H0 Hypothesis: AAT5 is stationary Dependent Variable: AAT5 Bandwidth: 3 (Newey-West using Bartlett kernel)</p> <table border="1"> <thead> <tr> <th colspan="5">LM-Stat.</th> </tr> </thead> <tbody> <tr> <td colspan="5">Kwiatowski-Phillips-Schmidt-Shin test statistic: 0.007342</td> </tr> <tr> <td colspan="5">Asymptotic critical values*: 1% level 0.216000 5% level 0.146000 10% level 0.116000</td> </tr> <tr> <td colspan="5">Kwiatowski-Phillips-Schmidt-Shin (1992, Table 1)</td> </tr> <tr> <td colspan="5">Residual variance (no correction) 3416.499 HAC corrected variance (Bartlett kernel) 3795.757</td> </tr> </tbody> </table> <p>KPSS Test Equation Dependent Variable: AAT5 Method: Least Squares Date: 03/19/16 Time: 00:37 Sample: 2013M01 2015M12 Included observations: 48</p> <table border="1"> <thead> <tr> <th>Variable</th> <th>Coefficient</th> <th>Std. Error</th> <th>t-Statistic</th> <th>P-value</th> </tr> </thead> <tbody> <tr> <td>C</td> <td>172.7248</td> <td>10.97326</td> <td>15.18017</td> <td>0.0000</td> </tr> <tr> <td>@TREND(2013M01)</td> <td>-0.251588</td> <td>0.5222980</td> <td>-0.4835167</td> <td>0.5884</td> </tr> </tbody> </table> <p>R-squared: 0.03529 Adjusted R-squared: -0.01833 S.D. dependent var: 178.6250 S.E. of regression: 55.17261 Akaike info criterion: 11.66757 Sum squared resid: 143992.3 Schwarz criterion: 11.12654 Log likelihood: -243.3619 Hannan-Quinn criter.: 11.08794 F-statistic: 0.162904 Durbin-Watson stat: 1.731266 Prob(F-statistic): 0.884385</p>	LM-Stat.					Kwiatowski-Phillips-Schmidt-Shin test statistic: 0.007342					Asymptotic critical values*: 1% level 0.216000 5% level 0.146000 10% level 0.116000					Kwiatowski-Phillips-Schmidt-Shin (1992, Table 1)					Residual variance (no correction) 3416.499 HAC corrected variance (Bartlett kernel) 3795.757					Variable	Coefficient	Std. Error	t-Statistic	P-value	C	172.7248	10.97326	15.18017	0.0000	@TREND(2013M01)	-0.251588	0.5222980	-0.4835167	0.5884	<p>KPSS Unit Root Test on AATM</p> <p>H0 Hypothesis: AATM is stationary Dependent Variable: AATM Bandwidth: 4 (Newey-West using Bartlett kernel)</p> <table border="1"> <thead> <tr> <th colspan="5">LM-Stat.</th> </tr> </thead> <tbody> <tr> <td colspan="5">Kwiatowski-Phillips-Schmidt-Shin test statistic: 0.005176</td> </tr> <tr> <td colspan="5">Asymptotic critical values*: 1% level 0.216000 5% level 0.146000 10% level 0.116000</td> </tr> <tr> <td colspan="5">Kwiatowski-Phillips-Schmidt-Shin (1992, Table 1)</td> </tr> <tr> <td colspan="5">Residual variance (no correction) 1988.001 HAC corrected variance (Bartlett kernel) 1981.674</td> </tr> </tbody> </table> <p>KPSS Test Equation Dependent Variable: AATM Method: Least Squares Date: 03/19/16 Time: 00:33 Sample: 2013M01 2016M12 Included observations: 48</p> <table border="1"> <thead> <tr> <th>Variable</th> <th>Coefficient</th> <th>Std. Error</th> <th>t-Statistic</th> <th>P-value</th> </tr> </thead> <tbody> <tr> <td>C</td> <td>245.7140</td> <td>12.61874</td> <td>19.47217</td> <td>0.0000</td> </tr> <tr> <td>@TREND(2013M01)</td> <td>-0.368541</td> <td>0.462574</td> <td>-0.798719</td> <td>0.4287</td> </tr> </tbody> </table> <p>R-squared: 0.013611 Adjusted R-squared: -0.007832 S.D. dependent var: 254.3750 S.E. of regression: 44.39743 Akaike info criterion: 44.22458 Sum squared resid: 90472.26 Schwarz criterion: 43.46501 Log likelihood: -245.1603 Hannan-Quinn criter.: 43.42426 F-statistic: 0.634761 Durbin-Watson stat: 1.319229 Prob(F-statistic): 0.428707</p>	LM-Stat.					Kwiatowski-Phillips-Schmidt-Shin test statistic: 0.005176					Asymptotic critical values*: 1% level 0.216000 5% level 0.146000 10% level 0.116000					Kwiatowski-Phillips-Schmidt-Shin (1992, Table 1)					Residual variance (no correction) 1988.001 HAC corrected variance (Bartlett kernel) 1981.674					Variable	Coefficient	Std. Error	t-Statistic	P-value	C	245.7140	12.61874	19.47217	0.0000	@TREND(2013M01)	-0.368541	0.462574	-0.798719	0.4287
LM-Stat.																																																																																	
Kwiatowski-Phillips-Schmidt-Shin test statistic: 0.007342																																																																																	
Asymptotic critical values*: 1% level 0.216000 5% level 0.146000 10% level 0.116000																																																																																	
Kwiatowski-Phillips-Schmidt-Shin (1992, Table 1)																																																																																	
Residual variance (no correction) 3416.499 HAC corrected variance (Bartlett kernel) 3795.757																																																																																	
Variable	Coefficient	Std. Error	t-Statistic	P-value																																																																													
C	172.7248	10.97326	15.18017	0.0000																																																																													
@TREND(2013M01)	-0.251588	0.5222980	-0.4835167	0.5884																																																																													
LM-Stat.																																																																																	
Kwiatowski-Phillips-Schmidt-Shin test statistic: 0.005176																																																																																	
Asymptotic critical values*: 1% level 0.216000 5% level 0.146000 10% level 0.116000																																																																																	
Kwiatowski-Phillips-Schmidt-Shin (1992, Table 1)																																																																																	
Residual variance (no correction) 1988.001 HAC corrected variance (Bartlett kernel) 1981.674																																																																																	
Variable	Coefficient	Std. Error	t-Statistic	P-value																																																																													
C	245.7140	12.61874	19.47217	0.0000																																																																													
@TREND(2013M01)	-0.368541	0.462574	-0.798719	0.4287																																																																													

kpss-3-usd-kob 1995-09-01					kpss-3-usd-kob 1995-09-01									
Null Hypothesis: ADF is stationary Exogenous: Constant, Linear Trend Bandwidth: 1 (Newey-West using Bartlett kernel)					Null Hypothesis: ADF is stationary Exogenous: Constant, Linear Trend Bandwidth: 3 (Newey-West using Bartlett kernel)									
LM-Stat					LM-Stat									
Kwiatowski-Phillips-Schmidt-Shin test statistic: 0.086418					Kwiatowski-Phillips-Schmidt-Shin test statistic: 0.043498									
Asymptotic critical values*: 1% level: 0.216000 5% level: 0.146000 10% level: 0.119000					Asymptotic critical values*: 1% level: 0.216000 5% level: 0.146000 10% level: 0.119000									
*Kwiatowski-Phillips-Schmidt-Shin (1992, Table 1)					*Kwiatowski-Phillips-Schmidt-Shin (1992, Table 1)									
Residual variance (no correction) 391.6234					Residual variance (no correction) 266.8153									
HAC corrected variance (Bartlett kernel) 529.1894					HAC corrected variance (Bartlett kernel) 319.3463									
 KPSS Test Equation														
Dependent Variable: ADF														
Method: Least Squares														
Date: 03/19/19 Time: 00:49														
Sample: 2013M01 2016M12														
Included observations: 48														
Variable Coefficient Std. Error t-Statistic Prob.														
C 127.7721 8741.81 22.25837 0.0000														
@TREND(2013M01) -0.056985 0.210488 -0.265836 0.7917														
R-squared: 0.021632 Mean dependent var: 126.4583														
Adjusted R-squared: -0.029174 S.D. dependent var: 19.89888														
S.E. of regression: 20.19962 Akaike info criterion: 8.898978														
Sum squared resid: 18759.12 Schwarz criterion: 8.957945														
Log likelihood: -211.3885 Hannan-Quinn criter: 8.916442														
F-statistic: 0.070583 Durbin-Watson stat: 1.152140														
Prob(F-statistic): 0.791786														
 KPSS Test Equation														
Dependent Variable: ADF														
Method: Least Squares														
Date: 03/19/19 Time: 00:49														
Sample: 2013M01 2016M12														
Included observations: 48														
Variable Coefficient Std. Error t-Statistic Prob.														
C 108.4800 4.051756 27.52585 0.0000														
@TREND(2013M01) 0.000921 0.170559 0.472571 0.3388														
R-squared: 0.004821 Mean dependent var: 111.3542														
Adjusted R-squared: -0.015003 S.D. dependent var: 16.23431														
S.E. of regression: 18.37013 Akaike info criterion: 8.463687														
Sum squared resid: 12327.13 Schwarz criterion: 8.547534														
Log likelihood: -201.2946 Hannan-Quinn criter: 8.499631														
F-statistic: 0.223224 Durbin-Watson stat: 1.458152														
Prob(F-statistic): 0.538754														
 kpss-3-usd-kob 1995-09-01														
Null Hypothesis: ADF is stationary Exogenous: Constant, Linear Trend Bandwidth: 1 (Newey-West using Bartlett kernel)					Null Hypothesis: ADF is stationary Exogenous: Constant, Linear Trend Bandwidth: 3 (Newey-West using Bartlett kernel)									
LM-Stat					LM-Stat									
Kwiatowski-Phillips-Schmidt-Shin test statistic: 3.292238					Kwiatowski-Phillips-Schmidt-Shin test statistic: 3.218000									
Asymptotic critical values*: 1% level: 3.146000 5% level: 3.119000					Asymptotic critical values*: 1% level: 3.146000 5% level: 3.119000									
*Kwiatowski-Phillips-Schmidt-Shin (1992, Table 1)					*Kwiatowski-Phillips-Schmidt-Shin (1992, Table 1)									
Residual variance (no correction) 729.3626					Residual variance (no correction) 729.3626									
HAC corrected variance (Bartlett kernel) 930.0410					HAC corrected variance (Bartlett kernel) 930.0410									
 KPSS Test Equation														
Dependent Variable: ADF														
Method: Least Squares														
Date: 03/19/19 Time: 01:08														
Sample: 2014M01 2016M12														
Included observations: 36														
Variable Coefficient Std. Error t-Statistic Prob.														
C 134.1802 14.22925 9.403104 0.0000														
@TREND(2014M01) -0.002058 0.000188 -0.002481 0.9977														
R-squared: 0.001000 Mean dependent var: 134.2222														
Adjusted R-squared: -0.028412 S.D. dependent var: 42.85329														
S.E. of regression: 43.58029 Akaike info criterion: 70.44164														
Sum squared resid: 84974.21 Schwarz criterion: 70.52901														
Log likelihood: -160.7367 Hannan-Quinn criter: 70.47174														
F-statistic: 8.576166 Durbin-Watson stat: 1.389960														
Prob(F-statistic): 0.007677														
 KPSS Test Equation														
Dependent Variable: ADF														
Method: Least Squares														
Date: 03/19/16 Time: 21:06														
Sample: 2014M01 2016M12														
Included observations: 36														
Variable Coefficient Std. Error t-Statistic Prob.														
C 114.5429 9.067295 12.67885 0.0000														
@TREND(2014M01) 0.338798 0.445544 0.762583 0.4510														
R-squared: 0.016217 Mean dependent var: 120.8889														
Adjusted R-squared: -0.012130 S.D. dependent var: 27.05412														
S.E. of regression: 27.7793 Akaike info criterion: 8.335787														
Sum squared resid: 26221.09 Schwarz criterion: 8.527761														
Log likelihood: -160.7192 Hannan-Quinn criter: 8.579483														
F-statistic: 0.581948 Durbin-Watson stat: 1.862034														
Prob(F-statistic): 0.450985														

الم侖 رقم ٥٤: تأثٰج تقدٰير النماذج المرئية لتمثيل سلسلة اشتراكات الأتٰنتٰت لى المعامل اتصالات البراء وكالة مفهية .

Dependent Variable: AATM				
Method: Least Squares				
Date: 03/23/18 Time: 17:20				
Sample: 2012M01 2016M12				
Included observations: 60				
Convergence achieved after 8 iterations				
Wald Chi-Square: 2011.009 2011M12				
Variable	Coefficient	Std. Error	t-Statistic	P-Value
C	216.7240	1.507541	143.7218	0.0000
MA(5)	-0.921258	0.092411	-9.299112	0.0000
R-squared	0.197281	Mean dependent var		
Adjusted R-squared	0.152932	S.D. dependent var		
S.E. of regression	23.8677	Akaike info criterion		
Sum squared resid	33371.15	Schwarz criterion		
Log likelihood	-274.7594	Hannan-Quinn criter.		
F-statistic	11.55198	Durbin-Watson stat		
Prob(F-statistic)	0.001176			
Inverted MA Roots				
	.99	.28-.85i	.28+.85i	-72+.53i
		.73-.59		

Dependent Variable: AATM				
Method: Least Squares				
Date: 03/23/18 Time: 17:18				
Sample (adjusted): 2012M02 2016M12				
Included observations: 60				
Convergence achieved after 6 iterations				
Wald Chi-Square: 2011.009 2016M12				
Variable	Coefficient	Std. Error	t-Statistic	P-Value
C	217.4110	3.568634	60.02274	0.0000
AR(1)	0.484794	0.109715	4.418665	0.0000
MA(5)	-0.243702	0.127377	-1.916315	0.0592
R-squared	0.194952	Mean dependent var		
Adjusted R-squared	0.152700	S.D. dependent var		
S.E. of regression	20.36248	Akaike info criterion		
Sum squared resid	32364.90	Schwarz criterion		
Log likelihood	-365.9437	Hannan-Quinn criter.		
F-statistic	15.00758	Durbin-Watson stat		
Prob(F-statistic)	0.000004			
Inverted AR Roots				
	.48			
	.81	.25-.77i	.25+.77i	-16+.47i
	.55-.47i			

Dependent Variable: AATM				
Method: Least Squares				
Date: 03/23/18 Time: 17:22				
Sample: 2012M01 2016M12				
Included observations: 60				
Convergence achieved after 8 iterations				
Wald Chi-Square: 2011.009 2011M12				
Variable	Coefficient	Std. Error	t-Statistic	P-Value
C	215.2248	4.381316	48.12327	0.0000
MA(1)	0.519245	0.110428	4.657479	0.0000
R-squared	0.269114	Mean dependent var		
Adjusted R-squared	0.256913	S.D. dependent var		
S.E. of regression	22.47238	Akaike info criterion		
Sum squared resid	29296.49	Schwarz criterion		
Log likelihood	-270.8595	Hannan-Quinn criter.		
F-statistic	21.38577	Durbin-Watson stat		
Prob(F-statistic)	0.000022			
Inverted MA Roots				
	.52			

Dependent Variable: AATM				
Method: Least Squares				
Date: 03/23/18 Time: 17:21				
Sample: 2012M01 2016M12				
Included observations: 60				
Convergence achieved after 8 iterations				
Wald Chi-Square: 2011.009 2011M12				
Variable	Coefficient	Std. Error	t-Statistic	P-Value
C	214.9533	4.647921	46.24719	0.0000
MA(2)	0.473418	0.109778	4.312484	0.0001
R-squared	0.134158	Mean dependent var		
Adjusted R-squared	0.109057	S.D. dependent var		
S.E. of regression	24.80012	Akaike info criterion		
Sum squared resid	35089.06	Schwarz criterion		
Log likelihood	-275.2944	Hannan-Quinn criter.		
F-statistic	8.221893	Durbin-Watson stat		
Prob(F-statistic)	0.000576			
Inverted AR Roots				
	.52			

Dependent Variable: NATM				
Method: Least Squares				
Date: 03/23/18 Time: 17:25				
Sample: 2012M01 2016M12				
Included observations: 60				
Convergence achieved after 8 iterations				
Wald Chi-Square: 2011.009 2011M12				
Variable	Coefficient	Std. Error	t-Statistic	P-Value
C	217.4925	3.126609	69.51412	0.0000
MA(3)	-0.953487	0.031700	-28.32801	0.0000
R-squared	0.346128	Mean dependent var		
Adjusted R-squared	0.335228	S.D. dependent var		
S.E. of regression	21.24748	Akaike info criterion		
Sum squared resid	35184.40	Schwarz criterion		
Log likelihood	-297.4938	Hannan-Quinn criter.		
F-statistic	30.76823	Durbin-Watson stat		
Prob(F-statistic)	0.000001			
Inverted MA Roots				
	.59	.94-.31i	.94+.31i	.30+.01i
	.58-.69i			
	.59-.39i	.94-.39i	.94+.39i	.31-.04i
	.31-.39i			
	.59-.89i	.59-.89i	.59+.89i	.89-.59i
	.59-.59i	.94-.21i	.94+.21i	.99

Dependent Variable: NATM				
Method: Least Squares				
Date: 03/23/18 Time: 17:23				
Sample: 2012M01 2016M12				
Included observations: 60				
Convergence achieved after 11 iterations				
Wald Chi-Square: 2011.009 2011M12				
Variable	Coefficient	Std. Error	t-Statistic	P-Value
C	217.6169	1.158383	187.8574	0.0000
MA(7)	-0.306950	0.0271117	-33.44638	0.0000
R-squared	0.200047	Mean dependent var		
Adjusted R-squared	0.148193	S.D. dependent var		
S.E. of regression	22.59913	Akaike info criterion		
Sum squared resid	29821.79	Schwarz criterion		
Log likelihood	-271.1939	Hannan-Quinn criter.		
F-statistic	23.40823	Durbin-Watson stat		
Prob(F-statistic)	0.000001			
Inverted AR Roots				
	.59	.61-.77i	.61+.77i	.22+.06i
	.61-.69i			
	.61-.39i	.61-.39i	.61+.39i	.39-.61i
	.61-.89i			
	.61-.21i	.94-.21i	.94+.21i	.99

الملحق رقم 05 : ناتج تدبر الناتج المرشحة لتمثيل سلسلة اشتراكات الأذنلت لدى المصالح الصلات الجزائر وكالة سعيدة .

<p>Dependent Variable: 44AT5 Method: Least Squares Date: 03/23/18 Time: 17:31 Sample: 2012M01 2016M12 Included observations: 60 Convergence achieved after 5 iterations W-Bkcast: 2011M12</p> <table border="1"> <thead> <tr> <th>Variable</th> <th>Coefficient</th> <th>Std. Error</th> <th>t-Statistic</th> <th>P-value</th> </tr> </thead> <tbody> <tr> <td>C</td> <td>138.8672</td> <td>8.145604</td> <td>22.77743</td> <td>0.0000</td> </tr> <tr> <td>MA(1)</td> <td>0.481419</td> <td>2.113384</td> <td>0.332079</td> <td>0.0001</td> </tr> </tbody> </table> <p>R-squared: 0.218556 Mean dependent var: 140.1508 Adjusted R-squared: 0.202350 S.D. dependent var: 35.84847 S.E. of regression: 22.02556 Akaike info criterion: 6.832380 Sum squared resid: 5841.86 Schwarz criterion: 6.872091 Log likelihood: -291.8584 Hannan-Quinn criter.: 6.829587 F-statistic: 16.83229 Durbin-Watson stat: 1.086527 Prob(F-statistic): 0.000179</p> <p>Inverted MA Roots: -48</p>	Variable	Coefficient	Std. Error	t-Statistic	P-value	C	138.8672	8.145604	22.77743	0.0000	MA(1)	0.481419	2.113384	0.332079	0.0001	<p>Dependent Variable: 44AT5 Method: Least Squares Date: 03/23/18 Time: 17:31 Sample (adjusted): 2012M02 2016M12 Included observations: 60 after adjustment Convergence achieved after 2 iterations</p> <table border="1"> <thead> <tr> <th>Variable</th> <th>Coefficient</th> <th>Std. Error</th> <th>t-Statistic</th> <th>P-value</th> </tr> </thead> <tbody> <tr> <td>C</td> <td>140.3576</td> <td>7.388416</td> <td>17.74799</td> <td>0.0000</td> </tr> <tr> <td>AR(1)</td> <td>0.472278</td> <td>0.118414</td> <td>3.990389</td> <td>0.0002</td> </tr> </tbody> </table> <p>R-squared: 0.218183 Mean dependent var: 140.5810 Adjusted R-squared: 0.204487 S.D. dependent var: 35.70510 S.E. of regression: 22.05147 Akaike info criterion: 6.832874 Sum squared resid: 5855.92 Schwarz criterion: 9.076299 Log likelihood: -287.2733 Hannan-Quinn criter.: 6.831386 F-statistic: 15.90798 Durbin-Watson stat: 1.05348 Prob(F-statistic): 0.000182</p> <p>Inverted AR Roots: 47</p>	Variable	Coefficient	Std. Error	t-Statistic	P-value	C	140.3576	7.388416	17.74799	0.0000	AR(1)	0.472278	0.118414	3.990389	0.0002					
Variable	Coefficient	Std. Error	t-Statistic	P-value																																
C	138.8672	8.145604	22.77743	0.0000																																
MA(1)	0.481419	2.113384	0.332079	0.0001																																
Variable	Coefficient	Std. Error	t-Statistic	P-value																																
C	140.3576	7.388416	17.74799	0.0000																																
AR(1)	0.472278	0.118414	3.990389	0.0002																																
<p>Dependent Variable: AAFT5 Method: Least Squares Date: 03/23/18 Time: 17:31 Sample (adjusted): 2012M01 2016M12 Included observations: 60 after adjustment Convergence achieved after 11 iterations W-Bkcast: 2011M01 2011M01</p> <table border="1"> <thead> <tr> <th>Variable</th> <th>Coefficient</th> <th>Std. Error</th> <th>t-Statistic</th> <th>P-value</th> </tr> </thead> <tbody> <tr> <td>C</td> <td>140.4124</td> <td>3.208996</td> <td>35.54946</td> <td>0.0000</td> </tr> <tr> <td>AR(1)</td> <td>0.517107</td> <td>0.121296</td> <td>4.226980</td> <td>0.0001</td> </tr> <tr> <td>MA(0)</td> <td>-0.858820</td> <td>0.234263</td> <td>-35.06558</td> <td>0.0000</td> </tr> </tbody> </table> <p>R-squared: 0.439342 Mean dependent var: 140.5510 Adjusted R-squared: 0.409917 S.D. dependent var: 36.83010 S.E. of regression: 37.80230 Akaike info criterion: 6.823168 Sum squared resid: 42065.81 Schwarz criterion: 6.828825 Log likelihood: -277.8340 Hannan-Quinn criter.: 6.816424 F-statistic: 21.15229 Durbin-Watson stat: 1.755425 Prob(F-statistic): 0.000000</p> <p>Inverted AR Roots: 50 Inverted MA Roots: 98 -17.371 -49.851 -49.851 -82.341 -82.341</p>	Variable	Coefficient	Std. Error	t-Statistic	P-value	C	140.4124	3.208996	35.54946	0.0000	AR(1)	0.517107	0.121296	4.226980	0.0001	MA(0)	-0.858820	0.234263	-35.06558	0.0000	<p>Dependent Variable: AAFT5 Method: Least Squares Date: 03/23/18 Time: 17:31 Sample: 2012M01 2016M12 Included observations: 60 Convergence achieved after 10 iterations W-Bkcast: 2011M01 2011M01</p> <table border="1"> <thead> <tr> <th>Variable</th> <th>Coefficient</th> <th>Std. Error</th> <th>t-Statistic</th> <th>P-value</th> </tr> </thead> <tbody> <tr> <td>C</td> <td>142.7148</td> <td>2.077071</td> <td>66.93317</td> <td>0.0000</td> </tr> <tr> <td>AR(1)</td> <td>-0.935582</td> <td>0.043309</td> <td>-22.25006</td> <td>0.0000</td> </tr> </tbody> </table> <p>R-squared: 0.238330 Mean dependent var: 140.1500 Adjusted R-squared: 0.225158 S.D. dependent var: 35.84847 S.E. of Regression: 21.55683 Akaike info criterion: 6.774098 Sum squared resid: 57751.04 Schwarz criterion: 9.043007 Log likelihood: -291.2229 Hannan-Quinn criter.: 9.014023 F-statistic: 18.14851 Durbin-Watson stat: 0.951498 Prob(F-statistic): 0.000075</p> <p>Inverted AR Roots: 36 -17.371 -49.851 -49.851 -82.341 -82.341</p>	Variable	Coefficient	Std. Error	t-Statistic	P-value	C	142.7148	2.077071	66.93317	0.0000	AR(1)	-0.935582	0.043309	-22.25006	0.0000
Variable	Coefficient	Std. Error	t-Statistic	P-value																																
C	140.4124	3.208996	35.54946	0.0000																																
AR(1)	0.517107	0.121296	4.226980	0.0001																																
MA(0)	-0.858820	0.234263	-35.06558	0.0000																																
Variable	Coefficient	Std. Error	t-Statistic	P-value																																
C	142.7148	2.077071	66.93317	0.0000																																
AR(1)	-0.935582	0.043309	-22.25006	0.0000																																
<p>Dependent Variable: 44AT5 Method: Least Squares Date: 03/23/18 Time: 17:31 Sample: 2012M01 2016M12 Included observations: 60 Convergence achieved after 9 iterations W-Bkcast: 2011M01 2011M01</p> <table border="1"> <thead> <tr> <th>Variable</th> <th>Coefficient</th> <th>Std. Error</th> <th>t-Statistic</th> <th>P-value</th> </tr> </thead> <tbody> <tr> <td>C</td> <td>140.5256</td> <td>3.333895</td> <td>42.71083</td> <td>0.0000</td> </tr> <tr> <td>MA(1)</td> <td>-0.837379</td> <td>0.032367</td> <td>-25.87173</td> <td>0.0000</td> </tr> </tbody> </table> <p>R-squared: 0.2154328 Mean dependent var: 140.1900 Adjusted R-squared: 0.2051444 S.D. dependent var: 35.84847 S.E. of regression: 35.25185 Akaike info criterion: 6.793058 Sum squared resid: 58778.90 Schwarz criterion: 6.809180 Log likelihood: -293.1810 Hannan-Quinn criter.: 6.786478 F-statistic: 20.83343 Durbin-Watson stat: 0.802535 Prob(F-statistic): 0.000026</p> <p>Inverted MA Roots: 98 -80.731 -21.941 -21.941 -15.881 -49.851 -49.851 -82.341 -82.341 -97.211 -87.211</p>	Variable	Coefficient	Std. Error	t-Statistic	P-value	C	140.5256	3.333895	42.71083	0.0000	MA(1)	-0.837379	0.032367	-25.87173	0.0000	<p>Dependent Variable: 44AT5 Method: Least Squares Date: 03/23/18 Time: 17:31 Sample (adjusted): 2012M02 2016M12 Included observations: 60 after adjustment Convergence achieved after 13 iterations W-Bkcast: 2011M01 2012M01</p> <table border="1"> <thead> <tr> <th>Variable</th> <th>Coefficient</th> <th>Std. Error</th> <th>t-Statistic</th> <th>P-value</th> </tr> </thead> <tbody> <tr> <td>C</td> <td>141.6436</td> <td>4.731094</td> <td>30.56863</td> <td>0.0000</td> </tr> <tr> <td>AR(1)</td> <td>0.573288</td> <td>0.113475</td> <td>5.029299</td> <td>0.0000</td> </tr> <tr> <td>MA(0)</td> <td>-0.879833</td> <td>0.127914</td> <td>-6.955118</td> <td>0.0000</td> </tr> </tbody> </table> <p>R-squared: 0.477455 Mean dependent var: 140.5610 Adjusted R-squared: 0.458787 S.D. dependent var: 35.91210 S.E. of regression: 26.13921 Akaike info criterion: 6.436666 Sum squared resid: 39136.86 Schwarz criterion: 9.543442 Log likelihood: -276.0872 Hannan-Quinn criter.: 9.478891 F-statistic: 26.59432 Durbin-Watson stat: 1.876744 Prob(F-statistic): 0.000000</p> <p>Inverted AR Roots: 57 -80.731 -21.941 -21.941 -15.881 -49.851 -49.851 -82.341 -82.341 -97.211 -87.211</p>	Variable	Coefficient	Std. Error	t-Statistic	P-value	C	141.6436	4.731094	30.56863	0.0000	AR(1)	0.573288	0.113475	5.029299	0.0000	MA(0)	-0.879833	0.127914	-6.955118	0.0000
Variable	Coefficient	Std. Error	t-Statistic	P-value																																
C	140.5256	3.333895	42.71083	0.0000																																
MA(1)	-0.837379	0.032367	-25.87173	0.0000																																
Variable	Coefficient	Std. Error	t-Statistic	P-value																																
C	141.6436	4.731094	30.56863	0.0000																																
AR(1)	0.573288	0.113475	5.029299	0.0000																																
MA(0)	-0.879833	0.127914	-6.955118	0.0000																																

Dependent Variable: AIATS
 Method: Least Squares
 Date: 03/23/18 Time: 17:36
 Sample (adjusted): 2012M02 2016M12
 Included observations: 59 after adjustments
 Convergence achieved after 10 iterations
 MA Backcast: 2010M10 2012M01

Variable	Coefficient	Std. Error	t-Statistic	Prob.
C	123.5492	15.87186	7.739466	0.0000
AR(1)	0.849429	0.102250	8.345174	0.0000
MA(16)	0.883352	0.026312	33.57237	0.0000
R-squared	0.558428	Mean dependent var	140.6610	
Adjusted R-squared	0.542657	S.D. dependent var	35.93510	
S.E. of regression	24.30187	Akaike info criterion	9.268483	
Sum squared resid	33672.54	Schwarz criterion	9.374130	
Log likelihood	-270.4295	Hannan-Quinn criter.	9.309730	
F-statistic	35.40978	Durbin-Watson stat	1.746427	
Prob(F-statistic)	0.000000			
Inverted AR Roots	.85			
Inverted MA Roots	.97-.19i .55-.83i -.19-.97i -.83-.55i	.97-.19i .55-.83i -.19-.97i -.83-.55i	.83-.55i .83-.55i -.83-.55i -.83-.55i	.83-.55i .83-.55i -.83-.55i -.83-.55i

Dependent Variable: AIATS
 Method: Least Squares
 Date: 03/23/18 Time: 17:36
 Sample (adjusted): 2012M02 2016M12
 Included observations: 59 after adjustments
 Convergence achieved after 9 iterations
 MA Backcast: 2010M11 2012M01

Variable	Coefficient	Std. Error	t-Statistic	Prob.
C	125.9477	13.88387	9.071514	0.0000
AR(1)	0.840795	0.101994	8.382292	0.0000
MA(15)	0.913853	0.021913	41.70379	0.0000
R-squared	0.567216	Mean dependent var	140.6610	
Adjusted R-squared	0.552631	S.D. dependent var	35.93513	
S.E. of regression	23.20899	Akaike info criterion	9.176552	
Sum squared resid	36167.48	Schwarz criterion	9.282189	
Log likelihood	-271.7683	Hannan-Quinn criter.	9.217788	
F-statistic	41.51618	Durbin-Watson stat	1.700511	
Prob(F-statistic)	0.000000			
Inverted AR Roots	.84			
Inverted MA Roots	.97-.21i .55-.86i -.31-.35i -.31-.40i	.97-.21i .55-.86i -.31-.35i -.31-.40i	.80-.58i .80-.58i -.57-.74i -.91-.40i	.80-.58i .80-.58i -.57-.74i -.91-.40i

Dependent Variable: AIATS
 Method: Least Squares
 Date: 03/23/18 Time: 17:42
 Sample (adjusted): 2012M02 2016M12
 Included observations: 59 after adjustments
 Convergence achieved after 10 iterations
 MA Backcast: 2010M01 2012M01

Variable	Coefficient	Std. Error	t-Statistic	Prob.
C	134.1869	7.919407	16.84154	0.0000
AR(1)	0.879887	0.106298	8.444019	0.0000
MA(20)	-0.892393	0.024737	-38.87465	0.0000
R-squared	0.840743	Mean dependent var	140.6610	
Adjusted R-squared	0.827913	S.D. dependent var	35.93518	
S.E. of regression	21.82004	Akaike info criterion	9.062188	
Sum squared resid	26987.33	Schwarz criterion	9.167829	
Log likelihood	-254.3546	Hannan-Quinn criter.	9.103425	
F-statistic	48.93869	Durbin-Watson stat	1.547362	
Prob(F-statistic)	0.000000			
Inverted AR Roots	.88			
Inverted MA Roots	.99 .89-.31i .89-.58i .99-.99i -.31-.99i -.89-.89i -.89-.58i -.89-.31i	.89-.31i .89-.58i .99-.99i -.31-.99i -.89-.89i -.89-.58i -.89-.31i	.88-.58i .88-.58i -.57-.99i -.99-.99i -.57-.99i -.89-.89i -.89-.58i -.89-.31i	.88-.58i .88-.58i -.57-.99i -.99-.99i -.57-.99i -.89-.89i -.89-.58i -.89-.31i

Dependent Variable: AIATS
 Method: Least Squares
 Date: 03/23/18 Time: 17:41
 Sample: 2012M01 2016M12
 Included observations: 60
 Convergence achieved after 9 iterations
 MA Backcast: 2010M07 2011M01

Variable	Coefficient	Std. Error	t-Statistic	Prob.
C	141.5105	3.477225	40.88626	0.0000
MA(18)	-0.849503	0.034791	-24.41756	0.0000
R-squared	0.842791	Mean dependent var	140.6600	
Adjusted R-squared	0.819057	S.D. dependent var	35.84847	
S.E. of regression	27.34707	Akaike info criterion	9.407061	
Sum squared resid	43375.00	Schwarz criterion	9.557672	
Log likelihood	-282.6356	Hannan-Quinn criter.	9.315168	
F-statistic	43.38455	Durbin-Watson stat	0.827837	
Prob(F-statistic)	0.000000			
Inverted MA Roots	.99 .76-.54i .17-.99i -.50-.89i -.93-.34i	.80-.34i .50-.89i -.17-.99i -.76-.89i -.93-.34i	.76-.54i .76-.54i -.17-.99i -.76-.89i -.93-.34i	.76-.54i .76-.54i -.17-.99i -.76-.89i -.93-.34i

الملحق رقم ٥٦: تأثير تقدير النماذج المرشحة لغشيل سلسلة اشتراكات الأنترنت لدى المعامل جيري وكالة مغنية .

Dependent Variable: ADM Method: Least Squares Date: 03/23/18 Time: 17:48 Sample (adjusted): 2013M12 2018M12 Included observations: 37 after adjustments Convergence achieved after 9 iterations WA Backcast: 2011M10 2013M11																																																																					
<table border="1" style="width: 100%; border-collapse: collapse; text-align: center;"> <thead> <tr> <th>Variable</th> <th>Coefficient</th> <th>Std. Error</th> <th>t-Statistic</th> <th>P-value</th> </tr> </thead> <tbody> <tr> <td>C</td> <td>112.2423</td> <td>1.758335</td> <td>63.83441</td> <td>0.0000</td> </tr> <tr> <td>AR(1)</td> <td>-0.396186</td> <td>0.142815</td> <td>-2.774317</td> <td>0.0081</td> </tr> <tr> <td>MA(26)</td> <td>0.913747</td> <td>0.029299</td> <td>31.18705</td> <td>0.0000</td> </tr> <tr> <td>R-squared</td> <td>0.809414</td> <td>Mean dependent var</td> <td>112.7027</td> <td></td> </tr> <tr> <td>Adjusted R-squared</td> <td>0.798203</td> <td>S.D. dependent var</td> <td>17.38432</td> <td></td> </tr> <tr> <td>S.E. of regression</td> <td>7.809357</td> <td>Akaike info criterion</td> <td>7.026127</td> <td></td> </tr> <tr> <td>Sum squared resid</td> <td>2073.528</td> <td>Schwarz criterion</td> <td>7.156742</td> <td></td> </tr> <tr> <td>Log likelihood</td> <td>-126.9634</td> <td>Hannan-Quinn criter.</td> <td>7.072175</td> <td></td> </tr> <tr> <td>F-statistic</td> <td>72.19888</td> <td>Durbin-Watson stat</td> <td>1.364541</td> <td></td> </tr> <tr> <td>Prob(F-statistic)</td> <td>0.000000</td> <td></td> <td></td> <td></td> </tr> <tr> <td>Inverted AR Roots</td> <td>.88-.29i .13+.81i .77+.50i</td> <td>.85-.29i .13-.91i .77-.50i</td> <td>.80+.88i .36-.84i .92</td> <td>.80-.88i .36+.84i .-26</td> </tr> <tr> <td>Inverted MA Roots</td> <td>.99-.12i .82-.57i .49+.88i .00+.100i .46+.88i .82-.57i .99-.12i</td> <td>.99-.12i .82-.57i .49+.88i .00-.100i .46-.88i .82+.57i .99+.12i</td> <td>.93-.35i .68-.75i .24-.97i .24-.97i .68-.75i .93-.35i .68-.35i</td> <td>.93+.35i .68+.75i .24+.97i .24+.97i .68+.75i .93+.35i .68+.35i</td> </tr> </tbody> </table>					Variable	Coefficient	Std. Error	t-Statistic	P-value	C	112.2423	1.758335	63.83441	0.0000	AR(1)	-0.396186	0.142815	-2.774317	0.0081	MA(26)	0.913747	0.029299	31.18705	0.0000	R-squared	0.809414	Mean dependent var	112.7027		Adjusted R-squared	0.798203	S.D. dependent var	17.38432		S.E. of regression	7.809357	Akaike info criterion	7.026127		Sum squared resid	2073.528	Schwarz criterion	7.156742		Log likelihood	-126.9634	Hannan-Quinn criter.	7.072175		F-statistic	72.19888	Durbin-Watson stat	1.364541		Prob(F-statistic)	0.000000				Inverted AR Roots	.88-.29i .13+.81i .77+.50i	.85-.29i .13-.91i .77-.50i	.80+.88i .36-.84i .92	.80-.88i .36+.84i .-26	Inverted MA Roots	.99-.12i .82-.57i .49+.88i .00+.100i .46+.88i .82-.57i .99-.12i	.99-.12i .82-.57i .49+.88i .00-.100i .46-.88i .82+.57i .99+.12i	.93-.35i .68-.75i .24-.97i .24-.97i .68-.75i .93-.35i .68-.35i	.93+.35i .68+.75i .24+.97i .24+.97i .68+.75i .93+.35i .68+.35i
Variable	Coefficient	Std. Error	t-Statistic	P-value																																																																	
C	112.2423	1.758335	63.83441	0.0000																																																																	
AR(1)	-0.396186	0.142815	-2.774317	0.0081																																																																	
MA(26)	0.913747	0.029299	31.18705	0.0000																																																																	
R-squared	0.809414	Mean dependent var	112.7027																																																																		
Adjusted R-squared	0.798203	S.D. dependent var	17.38432																																																																		
S.E. of regression	7.809357	Akaike info criterion	7.026127																																																																		
Sum squared resid	2073.528	Schwarz criterion	7.156742																																																																		
Log likelihood	-126.9634	Hannan-Quinn criter.	7.072175																																																																		
F-statistic	72.19888	Durbin-Watson stat	1.364541																																																																		
Prob(F-statistic)	0.000000																																																																				
Inverted AR Roots	.88-.29i .13+.81i .77+.50i	.85-.29i .13-.91i .77-.50i	.80+.88i .36-.84i .92	.80-.88i .36+.84i .-26																																																																	
Inverted MA Roots	.99-.12i .82-.57i .49+.88i .00+.100i .46+.88i .82-.57i .99-.12i	.99-.12i .82-.57i .49+.88i .00-.100i .46-.88i .82+.57i .99+.12i	.93-.35i .68-.75i .24-.97i .24-.97i .68-.75i .93-.35i .68-.35i	.93+.35i .68+.75i .24+.97i .24+.97i .68+.75i .93+.35i .68+.35i																																																																	
<table border="1" style="width: 100%; border-collapse: collapse; text-align: center;"> <thead> <tr> <th>Variable</th> <th>Coefficient</th> <th>Std. Error</th> <th>t-Statistic</th> <th>P-value</th> </tr> </thead> <tbody> <tr> <td>C</td> <td>114.5999</td> <td>3.048877</td> <td>37.54179</td> <td>0.0000</td> </tr> <tr> <td>MA(30)</td> <td>-0.874818</td> <td>0.034928</td> <td>-25.04087</td> <td>0.0000</td> </tr> <tr> <td>R-squared</td> <td>0.022334</td> <td>Mean dependent var</td> <td>111.3542</td> <td></td> </tr> <tr> <td>Adjusted R-squared</td> <td>0.014124</td> <td>S.D. dependent var</td> <td>16.23431</td> <td></td> </tr> <tr> <td>S.E. of regression</td> <td>10.08456</td> <td>Akaike info criterion</td> <td>7.500665</td> <td></td> </tr> <tr> <td>Sum squared resid</td> <td>4678.140</td> <td>Schwarz criterion</td> <td>7.578632</td> <td></td> </tr> <tr> <td>Log likelihood</td> <td>-178.2160</td> <td>Hannan-Quinn criter.</td> <td>7.530129</td> <td></td> </tr> <tr> <td>F-statistic</td> <td>75.80077</td> <td>Durbin-Watson stat</td> <td>1.299162</td> <td></td> </tr> <tr> <td>Prob(F-statistic)</td> <td>0.000000</td> <td></td> <td></td> <td></td> </tr> <tr> <td>Inverted MA Roots</td> <td>.100 .01+.40i .67+.74i .31-.95i .10-.95i .50+.88i .31+.95i .97-.21i</td> <td>.97-.21i .81-.59i .50-.85i .10-.98i .31-.95i .87-.74i .91+.40i .100</td> <td>.97+.21i .81+.59i .50+.85i .10+.98i .31+.95i .87+.74i .91-.40i .100</td> <td>.97-.40i .81+.59i .50+.85i .10+.98i .31+.95i .87+.74i .91-.40i .100</td> </tr> </tbody> </table>					Variable	Coefficient	Std. Error	t-Statistic	P-value	C	114.5999	3.048877	37.54179	0.0000	MA(30)	-0.874818	0.034928	-25.04087	0.0000	R-squared	0.022334	Mean dependent var	111.3542		Adjusted R-squared	0.014124	S.D. dependent var	16.23431		S.E. of regression	10.08456	Akaike info criterion	7.500665		Sum squared resid	4678.140	Schwarz criterion	7.578632		Log likelihood	-178.2160	Hannan-Quinn criter.	7.530129		F-statistic	75.80077	Durbin-Watson stat	1.299162		Prob(F-statistic)	0.000000				Inverted MA Roots	.100 .01+.40i .67+.74i .31-.95i .10-.95i .50+.88i .31+.95i .97-.21i	.97-.21i .81-.59i .50-.85i .10-.98i .31-.95i .87-.74i .91+.40i .100	.97+.21i .81+.59i .50+.85i .10+.98i .31+.95i .87+.74i .91-.40i .100	.97-.40i .81+.59i .50+.85i .10+.98i .31+.95i .87+.74i .91-.40i .100										
Variable	Coefficient	Std. Error	t-Statistic	P-value																																																																	
C	114.5999	3.048877	37.54179	0.0000																																																																	
MA(30)	-0.874818	0.034928	-25.04087	0.0000																																																																	
R-squared	0.022334	Mean dependent var	111.3542																																																																		
Adjusted R-squared	0.014124	S.D. dependent var	16.23431																																																																		
S.E. of regression	10.08456	Akaike info criterion	7.500665																																																																		
Sum squared resid	4678.140	Schwarz criterion	7.578632																																																																		
Log likelihood	-178.2160	Hannan-Quinn criter.	7.530129																																																																		
F-statistic	75.80077	Durbin-Watson stat	1.299162																																																																		
Prob(F-statistic)	0.000000																																																																				
Inverted MA Roots	.100 .01+.40i .67+.74i .31-.95i .10-.95i .50+.88i .31+.95i .97-.21i	.97-.21i .81-.59i .50-.85i .10-.98i .31-.95i .87-.74i .91+.40i .100	.97+.21i .81+.59i .50+.85i .10+.98i .31+.95i .87+.74i .91-.40i .100	.97-.40i .81+.59i .50+.85i .10+.98i .31+.95i .87+.74i .91-.40i .100																																																																	

Dependent Variable: ADM
 Method: Least Squares
 Date: 03/23/18 Time: 17:50
 Sample (adjusted) 2013M01 2018M12
 Included observations: 37 after adjustments
 Convergence achieved after 3 iterations

Variable	Coefficient	Std. Error	t-Statistic	Prob.
C	112.2653	2.000087	56.13020	0.0000
HR(11)	-0.369342	0.175522	-2.094248	0.0426
R-squared	0.112303	Mean dependent var	112.7027	
Adjusted R-squared	0.086940	S.D. dependent var	17.38432	
S.E. of regression	16.61145	Akaike info criterion	1510599	
Sum squared resid	957.905	Schwarz criterion	1597876	
Lag likelihood	-155.4461	Hannan-Quinn criter.	1541298	
F-statistic	4.427858	Durbin-Watson stat.	1.540650	
Prob(F-statistic)	0.042610			
Inverted AR Roots	.88-.29i	.88-.29i	.80+.69i	.80-.89i
	.13-.90i	.13-.90i	.38+.83i	.38-.83i
	.77+.19i	.77+.19i	.04i	

Dependent Variable: ADM
 Method: Least Squares
 Date: 03/23/18 Time: 17:49
 Sample 2013M01 2018M12
 Included observations: 46
 Convergence achieved after 8 iterations
 MA-Broadcast 2011M05 2012M12

Variable	Coefficient	Std. Err.	t-Statistic	Prob.
C	113.5290	3.061021	37.12127	0.0000
MA(20)	0.050828	0.031795	27.04487	0.0000
R-squared	0.433525	Mean dependent var	111.3542	
Adjusted R-squared	0.421210	S.D. dependent var	16.23421	
S.E. of regression	12.35978	Akaike info criterion	7.906009	
Sum squared resid	7016.918	Schwarz criterion	7.964955	
Log likelihood	-187.7461	Hannan-Quinn criter.	7.925552	
F-statistic	35.20389	Durbin-Watson stat.	1.516528	
Prob(F-statistic)	0.000000			
Inverted MA Roots	.98+.19i	.98-.19i	.86+.45i	.86-.45i
	.79+.79i	.79-.79i	.45+.28i	.45-.28i
	.18-.98i	.18+.98i	.16+.98i	.16-.98i
	.45+.80i	.45-.80i	.70+.70i	.70-.70i
	.88+.45i	.88-.45i	.98-.19i	.98+.19i

Dependent Variable: ADM
 Method: Least Squares
 Date: 03/23/18 Time: 17:52
 Sample 2013M01 2018M12
 Included observations: 46
 Convergence achieved after 8 iterations
 MA-Broadcast 2011M07 2012M12

Variable	Coefficient	Std. Err.	t-Statistic	Prob.
C	114.5999	2.046877	57.54179	0.0000
MA(30)	-0.874613	0.034928	-25.04087	0.0000
R-squared	0.622334	Mean dependent var	111.3542	
Adjusted R-squared	0.514124	S.D. dependent var	16.23431	
S.E. of regression	10.06458	Akaike info criterion	7509665	
Sum squared resid	4678.140	Schwarz criterion	7579632	
Lag likelihood	-170.2168	Hannan-Quinn criter.	7530129	
F-statistic	75.80077	Durbin-Watson stat.	1.299162	
Prob(F-statistic)	0.000000			
Inverted MA Roots	.190	.87-.21i	.97+.29i	.91-.40i
	.91+.40i	.91-.58i	.91+.58i	.97-.74i
	.87+.74i	.50-.89i	.50+.89i	.31-.95i
	.31-.95i	.10-.99i	.10+.99i	.16-.99i
	-.10+.99i	-.31-.85i	-.31+.85i	-.50-.86i
	-.50+.86i	-.67-.74i	-.67+.74i	-.81+.59i
	-.81-.59i	-.91+.40i	-.91-.40i	-.97+.21i
	-.97-.21i	-.190		

Dependent Variable: ADM
 Method: Least Squares
 Date: 03/23/18 Time: 17:51
 Sample 2013M01 2018M12
 Included observations: 46
 Convergence achieved after 8 iterations
 MA-Broadcast 2011M10 2012M12

Variable	Coefficient	Std. Err.	t-Statistic	Prob.
C	112.8399	2.954814	38.18849	0.0000
MA(27)	-0.871918	0.032949	-26.54340	0.0000
R-squared	0.595780	Mean dependent var	111.3542	
Adjusted R-squared	0.586993	S.D. dependent var	16.23431	
S.E. of regression	10.43308	Akaike info criterion	7.568614	
Sum squared resid	5007.064	Schwarz criterion	7.546581	
Log likelihood	-179.9467	Hannan-Quinn criter.	7.598078	
F-statistic	67.79842	Durbin-Watson stat.	1.477168	
Prob(F-statistic)	0.000000			
Inverted MA Roots	.99	.87-.23i	.97-.23i	.89-.45i
	.99+.49i	.76-.64i	.76+.64i	.59-.89i
	.59+.89i	.39-.91i	.39+.91i	.17-.99i
	.17-.99i	-.06-.99i	-.06+.99i	-.29-.95i
	-.29+.95i	-.56-.89i	-.56+.89i	-.59+.73i
	-.56-.73i	-.83+.59i	-.83-.59i	-.33-.34i
	-.93-.34i	-.99-.12i	-.99+.12i	

الملحق رقم 07: تابع قدر المذاج المرشحة لتحليل سلسلة اشتراكات الأنترنت لدى المعامل جيري وكالة سعيدة .

<p>Dependent Variable: AIDS Method: Least Squares Date: 03/23/18 Time: 19:53 Sample: 2013M01 2018M12 Included observations: 48 Convergence achieved after 7 iterations WA Backcast: 2010M03 2012M12</p> <table border="1"> <thead> <tr> <th>Variable</th> <th>Coefficient</th> <th>Std. Error</th> <th>t-Statistic</th> <th>Prob.</th> </tr> </thead> <tbody> <tr> <td>C</td> <td>125.8119</td> <td>2.973452</td> <td>42.31139</td> <td>0.0000</td> </tr> <tr> <td>MA(29)</td> <td>-0.912747</td> <td>0.020207</td> <td>-32.35913</td> <td>0.0000</td> </tr> <tr> <td>R-squared</td> <td>0.752207</td> <td>Mean dependent var</td> <td>126.4583</td> <td></td> </tr> <tr> <td>Adjusted R-squared</td> <td>0.748821</td> <td>S.D. dependent var</td> <td>19.39889</td> <td></td> </tr> <tr> <td>S.E. of regression</td> <td>10.06283</td> <td>Akaike info criterion</td> <td>7.496348</td> <td></td> </tr> <tr> <td>Sum squared resid</td> <td>4057.985</td> <td>Schwarz criterion</td> <td>7.574314</td> <td></td> </tr> <tr> <td>Log likelihood</td> <td>-177.9123</td> <td>Hannan-Quinn criter.</td> <td>7.525811</td> <td></td> </tr> <tr> <td>F-statistic</td> <td>139.6391</td> <td>Durbin-Watson stat</td> <td>1.000514</td> <td></td> </tr> <tr> <td>Prob(F-statistic)</td> <td>0.000000</td> <td></td> <td></td> <td></td> </tr> <tr> <td>Inverted MA Roots</td> <td>.100 .90+.43i .52-.78i .22-.37i .42-.97i .42-.78i .90-.43i</td> <td>.97+.23i .78+.62i .43-.90i .00-1.00i .43+.90i .78+.62i .97+.23i</td> <td>.97-.23i .78-.62i .43+.90i .00+1.00i .43-.90i .78-.62i .97-.23i</td> <td>.90-.43i .52-.78i .22-.37i .42-.97i .42-.78i .90-.43i .100</td> <td></td> </tr> </tbody> </table>	Variable	Coefficient	Std. Error	t-Statistic	Prob.	C	125.8119	2.973452	42.31139	0.0000	MA(29)	-0.912747	0.020207	-32.35913	0.0000	R-squared	0.752207	Mean dependent var	126.4583		Adjusted R-squared	0.748821	S.D. dependent var	19.39889		S.E. of regression	10.06283	Akaike info criterion	7.496348		Sum squared resid	4057.985	Schwarz criterion	7.574314		Log likelihood	-177.9123	Hannan-Quinn criter.	7.525811		F-statistic	139.6391	Durbin-Watson stat	1.000514		Prob(F-statistic)	0.000000				Inverted MA Roots	.100 .90+.43i .52-.78i .22-.37i .42-.97i .42-.78i .90-.43i	.97+.23i .78+.62i .43-.90i .00-1.00i .43+.90i .78+.62i .97+.23i	.97-.23i .78-.62i .43+.90i .00+1.00i .43-.90i .78-.62i .97-.23i	.90-.43i .52-.78i .22-.37i .42-.97i .42-.78i .90-.43i .100		<p>Dependent Variable: AIDS Method: Least Squares Date: 03/23/18 Time: 19:52 Sample (adjusted): 2014M04 2019M12 Included observations: 33 after adjustments Convergence achieved after 9 iterations WA Backcast: 2012M06 2014M03</p> <table border="1"> <thead> <tr> <th>Variable</th> <th>Coefficient</th> <th>Std. Error</th> <th>t-Statistic</th> <th>Prob.</th> </tr> </thead> <tbody> <tr> <td>C</td> <td>126.3115</td> <td>5.683147</td> <td>22.22581</td> <td>0.0000</td> </tr> <tr> <td>AR(1)</td> <td>0.388224</td> <td>0.135981</td> <td>2.859077</td> <td>0.0077</td> </tr> <tr> <td>MA(22)</td> <td>-0.946239</td> <td>0.028601</td> <td>-33.08430</td> <td>0.0000</td> </tr> <tr> <td>R-squared</td> <td>0.633422</td> <td>Mean dependent var</td> <td>126.8182</td> <td></td> </tr> <tr> <td>Adjusted R-squared</td> <td>0.623817</td> <td>S.D. dependent var</td> <td>20.53556</td> <td></td> </tr> <tr> <td>S.E. of regression</td> <td>8.487738</td> <td>Akaike info criterion</td> <td>7.203985</td> <td></td> </tr> <tr> <td>Sum squared resid</td> <td>2166.346</td> <td>Schwarz criterion</td> <td>7.340631</td> <td></td> </tr> <tr> <td>Log likelihood</td> <td>-115.9550</td> <td>Hannan-Quinn criter.</td> <td>7.249780</td> <td></td> </tr> <tr> <td>F-statistic</td> <td>76.41241</td> <td>Durbin-Watson stat</td> <td>0.673042</td> <td></td> </tr> <tr> <td>Prob(F-statistic)</td> <td>0.000000</td> <td></td> <td></td> <td></td> </tr> <tr> <td>Inverted AR Roots</td> <td>.34 .35-.78 .10-.93 .76-.55</td> <td>.86-.38 .29-.88 .47-.81 .92+.20</td> <td>.86-.38 .29-.88 .47-.81 .92+.20</td> <td>.63-.78 .10-.93 .76-.55</td> </tr> <tr> <td>Inverted MA Roots</td> <td>.100 .84-.54 .41-.98 .14-.39 .41-.98 .84-.54 .36-.28</td> <td>.96-.28 .65-.75 .14-.98 .41-.98 .84-.54 .96-.28</td> <td>.96-.28 .65-.75 .14-.98 .41-.98 .84-.54 .96-.28</td> <td>.84-.54 .41-.98 .14-.39 .65-.75 .41-.98 .96-.28</td> </tr> </tbody> </table>	Variable	Coefficient	Std. Error	t-Statistic	Prob.	C	126.3115	5.683147	22.22581	0.0000	AR(1)	0.388224	0.135981	2.859077	0.0077	MA(22)	-0.946239	0.028601	-33.08430	0.0000	R-squared	0.633422	Mean dependent var	126.8182		Adjusted R-squared	0.623817	S.D. dependent var	20.53556		S.E. of regression	8.487738	Akaike info criterion	7.203985		Sum squared resid	2166.346	Schwarz criterion	7.340631		Log likelihood	-115.9550	Hannan-Quinn criter.	7.249780		F-statistic	76.41241	Durbin-Watson stat	0.673042		Prob(F-statistic)	0.000000				Inverted AR Roots	.34 .35-.78 .10-.93 .76-.55	.86-.38 .29-.88 .47-.81 .92+.20	.86-.38 .29-.88 .47-.81 .92+.20	.63-.78 .10-.93 .76-.55	Inverted MA Roots	.100 .84-.54 .41-.98 .14-.39 .41-.98 .84-.54 .36-.28	.96-.28 .65-.75 .14-.98 .41-.98 .84-.54 .96-.28	.96-.28 .65-.75 .14-.98 .41-.98 .84-.54 .96-.28	.84-.54 .41-.98 .14-.39 .65-.75 .41-.98 .96-.28
Variable	Coefficient	Std. Error	t-Statistic	Prob.																																																																																																																						
C	125.8119	2.973452	42.31139	0.0000																																																																																																																						
MA(29)	-0.912747	0.020207	-32.35913	0.0000																																																																																																																						
R-squared	0.752207	Mean dependent var	126.4583																																																																																																																							
Adjusted R-squared	0.748821	S.D. dependent var	19.39889																																																																																																																							
S.E. of regression	10.06283	Akaike info criterion	7.496348																																																																																																																							
Sum squared resid	4057.985	Schwarz criterion	7.574314																																																																																																																							
Log likelihood	-177.9123	Hannan-Quinn criter.	7.525811																																																																																																																							
F-statistic	139.6391	Durbin-Watson stat	1.000514																																																																																																																							
Prob(F-statistic)	0.000000																																																																																																																									
Inverted MA Roots	.100 .90+.43i .52-.78i .22-.37i .42-.97i .42-.78i .90-.43i	.97+.23i .78+.62i .43-.90i .00-1.00i .43+.90i .78+.62i .97+.23i	.97-.23i .78-.62i .43+.90i .00+1.00i .43-.90i .78-.62i .97-.23i	.90-.43i .52-.78i .22-.37i .42-.97i .42-.78i .90-.43i .100																																																																																																																						
Variable	Coefficient	Std. Error	t-Statistic	Prob.																																																																																																																						
C	126.3115	5.683147	22.22581	0.0000																																																																																																																						
AR(1)	0.388224	0.135981	2.859077	0.0077																																																																																																																						
MA(22)	-0.946239	0.028601	-33.08430	0.0000																																																																																																																						
R-squared	0.633422	Mean dependent var	126.8182																																																																																																																							
Adjusted R-squared	0.623817	S.D. dependent var	20.53556																																																																																																																							
S.E. of regression	8.487738	Akaike info criterion	7.203985																																																																																																																							
Sum squared resid	2166.346	Schwarz criterion	7.340631																																																																																																																							
Log likelihood	-115.9550	Hannan-Quinn criter.	7.249780																																																																																																																							
F-statistic	76.41241	Durbin-Watson stat	0.673042																																																																																																																							
Prob(F-statistic)	0.000000																																																																																																																									
Inverted AR Roots	.34 .35-.78 .10-.93 .76-.55	.86-.38 .29-.88 .47-.81 .92+.20	.86-.38 .29-.88 .47-.81 .92+.20	.63-.78 .10-.93 .76-.55																																																																																																																						
Inverted MA Roots	.100 .84-.54 .41-.98 .14-.39 .41-.98 .84-.54 .36-.28	.96-.28 .65-.75 .14-.98 .41-.98 .84-.54 .96-.28	.96-.28 .65-.75 .14-.98 .41-.98 .84-.54 .96-.28	.84-.54 .41-.98 .14-.39 .65-.75 .41-.98 .96-.28																																																																																																																						

الملحق رقم ٥٨: تابع تقدر النماذج المرشحة لتحليل سلسلة اشتراكات الأتفاق لدى المعامل موبيلس وكالة مفيدة .

<p>Dependent Variable: ABB Method: Least Squares Date: 03/23/18 Time: 19:58 Sample (adjusted): 2013801 2018812 Included observations: 44 after adjustments Convergence achieved after 9 iterations IR Backcast: 2013801 2013804</p> <table border="1"> <thead> <tr> <th>Variable</th> <th>Coefficient</th> <th>Std. Error</th> <th>t-Statistic</th> <th>P-value</th> </tr> </thead> <tbody> <tr> <td>C</td> <td>259.2491</td> <td>7.216733</td> <td>34.87481</td> <td>0.0000</td> </tr> <tr> <td>IR(2)</td> <td>-0.952228</td> <td>0.116852</td> <td>-8.468508</td> <td>0.0000</td> </tr> <tr> <td>IR(4)</td> <td>-0.206823</td> <td>0.034156</td> <td>-56.59647</td> <td>0.0000</td> </tr> <tr> <td>R-squared</td> <td>0.919198</td> <td colspan="2">Mean dependent var</td> <td>254.2048</td> </tr> <tr> <td>Adjusted R-squared</td> <td>0.910186</td> <td colspan="2">S.D. dependent var</td> <td>44.52210</td> </tr> <tr> <td>S.E. of regression</td> <td>41.70195</td> <td colspan="2">Akaike info criterion</td> <td>10.36778</td> </tr> <tr> <td>Sum squared resid</td> <td>71506.49</td> <td colspan="2">Schwarz criterion</td> <td>10.49924</td> </tr> <tr> <td>Log likelihood</td> <td>-225.1671</td> <td colspan="2">Hannan-Quinn criter.</td> <td>10.41271</td> </tr> <tr> <td>F-statistic</td> <td>332.0088</td> <td colspan="2">Durbin-Watson stat</td> <td>1.039490</td> </tr> <tr> <td>Prob(F-statistic)</td> <td>0.027268</td> <td></td> <td></td> <td></td> </tr> <tr> <td>Inverted IR Roots</td> <td>.84-.56i</td> <td></td> <td></td> <td></td> </tr> <tr> <td>Inverted IR Roots</td> <td>.85+.56i</td> <td></td> <td></td> <td></td> </tr> </tbody> </table>	Variable	Coefficient	Std. Error	t-Statistic	P-value	C	259.2491	7.216733	34.87481	0.0000	IR(2)	-0.952228	0.116852	-8.468508	0.0000	IR(4)	-0.206823	0.034156	-56.59647	0.0000	R-squared	0.919198	Mean dependent var		254.2048	Adjusted R-squared	0.910186	S.D. dependent var		44.52210	S.E. of regression	41.70195	Akaike info criterion		10.36778	Sum squared resid	71506.49	Schwarz criterion		10.49924	Log likelihood	-225.1671	Hannan-Quinn criter.		10.41271	F-statistic	332.0088	Durbin-Watson stat		1.039490	Prob(F-statistic)	0.027268				Inverted IR Roots	.84-.56i				Inverted IR Roots	.85+.56i				<p>Dependent Variable: ABB Method: Least Squares Date: 03/23/18 Time: 19:58 Sample (adjusted): 2013801 2018812 Included observations: 45 after adjustments Convergence achieved after 10 iterations IR Backcast: 2013801 2013803</p> <table border="1"> <thead> <tr> <th>Variable</th> <th>Coefficient</th> <th>Std. Error</th> <th>t-Statistic</th> <th>P-value</th> </tr> </thead> <tbody> <tr> <td>C</td> <td>263.5887</td> <td>8.340894</td> <td>31.16432</td> <td>0.0000</td> </tr> <tr> <td>IR(2)</td> <td>0.411729</td> <td>0.091090</td> <td>4.534080</td> <td>0.0000</td> </tr> <tr> <td>IR(4)</td> <td>0.350627</td> <td>0.038764</td> <td>9.54032</td> <td>0.0000</td> </tr> <tr> <td>R-squared</td> <td>0.924088</td> <td colspan="2">Mean dependent var</td> <td>253.0000</td> </tr> <tr> <td>Adjusted R-squared</td> <td>0.918346</td> <td colspan="2">S.D. dependent var</td> <td>44.74084</td> </tr> <tr> <td>S.E. of regression</td> <td>42.83275</td> <td colspan="2">Akaike info criterion</td> <td>10.47682</td> </tr> <tr> <td>Sum squared resid</td> <td>77055.59</td> <td colspan="2">Schwarz criterion</td> <td>10.53727</td> </tr> <tr> <td>Log likelihood</td> <td>-231.3795</td> <td colspan="2">Hannan-Quinn criter.</td> <td>10.46172</td> </tr> <tr> <td>F-statistic</td> <td>3.913584</td> <td colspan="2">Durbin-Watson stat</td> <td>1.141077</td> </tr> <tr> <td>Prob(F-statistic)</td> <td>0.058602</td> <td></td> <td></td> <td></td> </tr> <tr> <td>Inverted IR Roots</td> <td>.83</td> <td></td> <td></td> <td></td> </tr> <tr> <td>Inverted IR Roots</td> <td>.84</td> <td></td> <td></td> <td></td> </tr> </tbody> </table>	Variable	Coefficient	Std. Error	t-Statistic	P-value	C	263.5887	8.340894	31.16432	0.0000	IR(2)	0.411729	0.091090	4.534080	0.0000	IR(4)	0.350627	0.038764	9.54032	0.0000	R-squared	0.924088	Mean dependent var		253.0000	Adjusted R-squared	0.918346	S.D. dependent var		44.74084	S.E. of regression	42.83275	Akaike info criterion		10.47682	Sum squared resid	77055.59	Schwarz criterion		10.53727	Log likelihood	-231.3795	Hannan-Quinn criter.		10.46172	F-statistic	3.913584	Durbin-Watson stat		1.141077	Prob(F-statistic)	0.058602				Inverted IR Roots	.83				Inverted IR Roots	.84																												
Variable	Coefficient	Std. Error	t-Statistic	P-value																																																																																																																																																								
C	259.2491	7.216733	34.87481	0.0000																																																																																																																																																								
IR(2)	-0.952228	0.116852	-8.468508	0.0000																																																																																																																																																								
IR(4)	-0.206823	0.034156	-56.59647	0.0000																																																																																																																																																								
R-squared	0.919198	Mean dependent var		254.2048																																																																																																																																																								
Adjusted R-squared	0.910186	S.D. dependent var		44.52210																																																																																																																																																								
S.E. of regression	41.70195	Akaike info criterion		10.36778																																																																																																																																																								
Sum squared resid	71506.49	Schwarz criterion		10.49924																																																																																																																																																								
Log likelihood	-225.1671	Hannan-Quinn criter.		10.41271																																																																																																																																																								
F-statistic	332.0088	Durbin-Watson stat		1.039490																																																																																																																																																								
Prob(F-statistic)	0.027268																																																																																																																																																											
Inverted IR Roots	.84-.56i																																																																																																																																																											
Inverted IR Roots	.85+.56i																																																																																																																																																											
Variable	Coefficient	Std. Error	t-Statistic	P-value																																																																																																																																																								
C	263.5887	8.340894	31.16432	0.0000																																																																																																																																																								
IR(2)	0.411729	0.091090	4.534080	0.0000																																																																																																																																																								
IR(4)	0.350627	0.038764	9.54032	0.0000																																																																																																																																																								
R-squared	0.924088	Mean dependent var		253.0000																																																																																																																																																								
Adjusted R-squared	0.918346	S.D. dependent var		44.74084																																																																																																																																																								
S.E. of regression	42.83275	Akaike info criterion		10.47682																																																																																																																																																								
Sum squared resid	77055.59	Schwarz criterion		10.53727																																																																																																																																																								
Log likelihood	-231.3795	Hannan-Quinn criter.		10.46172																																																																																																																																																								
F-statistic	3.913584	Durbin-Watson stat		1.141077																																																																																																																																																								
Prob(F-statistic)	0.058602																																																																																																																																																											
Inverted IR Roots	.83																																																																																																																																																											
Inverted IR Roots	.84																																																																																																																																																											
<p>Dependent Variable: ABB Method: Least Squares Date: 03/23/18 Time: 20:22 Sample (adjusted): 2013801 2018812 Included observations: 47 after adjustments Convergence achieved after 12 iterations IR Backcast: 2013801 2013811</p> <table border="1"> <thead> <tr> <th>Variable</th> <th>Coefficient</th> <th>Std. Error</th> <th>t-Statistic</th> <th>P-value</th> </tr> </thead> <tbody> <tr> <td>C</td> <td>259.5194</td> <td>7.161118</td> <td>36.47143</td> <td>0.0000</td> </tr> <tr> <td>IR(2)</td> <td>0.321239</td> <td>0.118042</td> <td>2.748146</td> <td>0.0113</td> </tr> <tr> <td>IR(4)</td> <td>0.002364</td> <td>0.032735</td> <td>27.73176</td> <td>0.0000</td> </tr> <tr> <td>R-squared</td> <td>0.945203</td> <td colspan="2">Mean dependent var</td> <td>252.8798</td> </tr> <tr> <td>Adjusted R-squared</td> <td>0.932459</td> <td colspan="2">S.D. dependent var</td> <td>45.62320</td> </tr> <tr> <td>S.E. of regression</td> <td>30.55669</td> <td colspan="2">Akaike info criterion</td> <td>10.777910</td> </tr> <tr> <td>Sum squared resid</td> <td>30011.22</td> <td colspan="2">Schwarz criterion</td> <td>10.849571</td> </tr> <tr> <td>Log likelihood</td> <td>-276.7911</td> <td colspan="2">Hannan-Quinn criter.</td> <td>10.763944</td> </tr> <tr> <td>F-statistic</td> <td>25.1037</td> <td colspan="2">Durbin-Watson stat</td> <td>1.088843</td> </tr> <tr> <td>Prob(F-statistic)</td> <td>0.000000</td> <td></td> <td></td> <td></td> </tr> <tr> <td>Inverted IR Roots</td> <td>.87+.26i</td> <td></td> <td></td> <td></td> </tr> <tr> <td>Inverted IR Roots</td> <td>.85-.83i</td> <td></td> <td></td> <td></td> </tr> <tr> <td>Inverted IR Roots</td> <td>.86-.83i</td> <td></td> <td></td> <td></td> </tr> <tr> <td>Inverted IR Roots</td> <td>.84-.36i</td> <td></td> <td></td> <td></td> </tr> <tr> <td>Inverted IR Roots</td> <td>.85-.36i</td> <td></td> <td></td> <td></td> </tr> </tbody> </table>	Variable	Coefficient	Std. Error	t-Statistic	P-value	C	259.5194	7.161118	36.47143	0.0000	IR(2)	0.321239	0.118042	2.748146	0.0113	IR(4)	0.002364	0.032735	27.73176	0.0000	R-squared	0.945203	Mean dependent var		252.8798	Adjusted R-squared	0.932459	S.D. dependent var		45.62320	S.E. of regression	30.55669	Akaike info criterion		10.777910	Sum squared resid	30011.22	Schwarz criterion		10.849571	Log likelihood	-276.7911	Hannan-Quinn criter.		10.763944	F-statistic	25.1037	Durbin-Watson stat		1.088843	Prob(F-statistic)	0.000000				Inverted IR Roots	.87+.26i				Inverted IR Roots	.85-.83i				Inverted IR Roots	.86-.83i				Inverted IR Roots	.84-.36i				Inverted IR Roots	.85-.36i				<p>Dependent Variable: ABB Method: Least Squares Date: 03/23/18 Time: 20:20 Sample (adjusted): 2013801 2018812 Included observations: 45 after adjustments Convergence achieved after 13 iterations IR Backcast: 2013801 2013807</p> <table border="1"> <thead> <tr> <th>Variable</th> <th>Coefficient</th> <th>Std. Error</th> <th>t-Statistic</th> <th>P-value</th> </tr> </thead> <tbody> <tr> <td>C</td> <td>268.8381</td> <td>9.134118</td> <td>29.73003</td> <td>0.0000</td> </tr> <tr> <td>IR(2)</td> <td>0.440985</td> <td>0.103095</td> <td>4.277477</td> <td>0.0001</td> </tr> <tr> <td>IR(4)</td> <td>-0.452368</td> <td>0.059327</td> <td>-7.816645</td> <td>0.0000</td> </tr> <tr> <td>R-squared</td> <td>0.944055</td> <td colspan="2">Mean dependent var</td> <td>254.7311</td> </tr> <tr> <td>Adjusted R-squared</td> <td>0.932009</td> <td colspan="2">S.D. dependent var</td> <td>45.62292</td> </tr> <tr> <td>S.E. of regression</td> <td>21.60352</td> <td colspan="2">Akaike info criterion</td> <td>10.816702</td> </tr> <tr> <td>Sum squared resid</td> <td>37955.23</td> <td colspan="2">Schwarz criterion</td> <td>10.840655</td> </tr> <tr> <td>Log likelihood</td> <td>-262.2095</td> <td colspan="2">Hannan-Quinn criter.</td> <td>10.800738</td> </tr> <tr> <td>F-statistic</td> <td>22.87715</td> <td colspan="2">Durbin-Watson stat</td> <td>1.743362</td> </tr> <tr> <td>Prob(F-statistic)</td> <td>0.000000</td> <td></td> <td></td> <td></td> </tr> <tr> <td>Inverted IR Roots</td> <td>.89</td> <td></td> <td></td> <td></td> </tr> <tr> <td>Inverted IR Roots</td> <td>-1.29+37i</td> <td></td> <td></td> <td></td> </tr> <tr> <td>Inverted IR Roots</td> <td>.88</td> <td></td> <td></td> <td></td> </tr> <tr> <td>Inverted IR Roots</td> <td>-1.23+36i</td> <td></td> <td></td> <td></td> </tr> </tbody> </table>	Variable	Coefficient	Std. Error	t-Statistic	P-value	C	268.8381	9.134118	29.73003	0.0000	IR(2)	0.440985	0.103095	4.277477	0.0001	IR(4)	-0.452368	0.059327	-7.816645	0.0000	R-squared	0.944055	Mean dependent var		254.7311	Adjusted R-squared	0.932009	S.D. dependent var		45.62292	S.E. of regression	21.60352	Akaike info criterion		10.816702	Sum squared resid	37955.23	Schwarz criterion		10.840655	Log likelihood	-262.2095	Hannan-Quinn criter.		10.800738	F-statistic	22.87715	Durbin-Watson stat		1.743362	Prob(F-statistic)	0.000000				Inverted IR Roots	.89				Inverted IR Roots	-1.29+37i				Inverted IR Roots	.88				Inverted IR Roots	-1.23+36i			
Variable	Coefficient	Std. Error	t-Statistic	P-value																																																																																																																																																								
C	259.5194	7.161118	36.47143	0.0000																																																																																																																																																								
IR(2)	0.321239	0.118042	2.748146	0.0113																																																																																																																																																								
IR(4)	0.002364	0.032735	27.73176	0.0000																																																																																																																																																								
R-squared	0.945203	Mean dependent var		252.8798																																																																																																																																																								
Adjusted R-squared	0.932459	S.D. dependent var		45.62320																																																																																																																																																								
S.E. of regression	30.55669	Akaike info criterion		10.777910																																																																																																																																																								
Sum squared resid	30011.22	Schwarz criterion		10.849571																																																																																																																																																								
Log likelihood	-276.7911	Hannan-Quinn criter.		10.763944																																																																																																																																																								
F-statistic	25.1037	Durbin-Watson stat		1.088843																																																																																																																																																								
Prob(F-statistic)	0.000000																																																																																																																																																											
Inverted IR Roots	.87+.26i																																																																																																																																																											
Inverted IR Roots	.85-.83i																																																																																																																																																											
Inverted IR Roots	.86-.83i																																																																																																																																																											
Inverted IR Roots	.84-.36i																																																																																																																																																											
Inverted IR Roots	.85-.36i																																																																																																																																																											
Variable	Coefficient	Std. Error	t-Statistic	P-value																																																																																																																																																								
C	268.8381	9.134118	29.73003	0.0000																																																																																																																																																								
IR(2)	0.440985	0.103095	4.277477	0.0001																																																																																																																																																								
IR(4)	-0.452368	0.059327	-7.816645	0.0000																																																																																																																																																								
R-squared	0.944055	Mean dependent var		254.7311																																																																																																																																																								
Adjusted R-squared	0.932009	S.D. dependent var		45.62292																																																																																																																																																								
S.E. of regression	21.60352	Akaike info criterion		10.816702																																																																																																																																																								
Sum squared resid	37955.23	Schwarz criterion		10.840655																																																																																																																																																								
Log likelihood	-262.2095	Hannan-Quinn criter.		10.800738																																																																																																																																																								
F-statistic	22.87715	Durbin-Watson stat		1.743362																																																																																																																																																								
Prob(F-statistic)	0.000000																																																																																																																																																											
Inverted IR Roots	.89																																																																																																																																																											
Inverted IR Roots	-1.29+37i																																																																																																																																																											
Inverted IR Roots	.88																																																																																																																																																											
Inverted IR Roots	-1.23+36i																																																																																																																																																											

الملحق رقم 09 : نتائج تقييم النماذج المرشحة لتحليل سلسلة اشتراكات الأنتروت لدى المتعامل موبيليس وكالة سعيدة .

Dependent Variable: AIMS Method: Least Squares Date: 03/23/18 Time: 20:14 Sample (adjusted): 2013M06 2016M12 Included observations: 43 after adjustments Convergence achieved after 52 iterations MA Backcast: 2013M01 2013M05																																																																															
<table border="1" style="width: 100%; border-collapse: collapse; font-size: 8pt;"> <thead> <tr> <th>Variable</th> <th>Coefficient</th> <th>Std Error</th> <th>t-Statistic</th> <th>Prob.</th> </tr> </thead> <tbody> <tr> <td>C</td> <td>179.1360</td> <td>7.683991</td> <td>23.28259</td> <td>0.0000</td> </tr> <tr> <td>AR(5)</td> <td>-0.795382</td> <td>0.070070</td> <td>-11.20854</td> <td>0.0000</td> </tr> <tr> <td>MA(5)</td> <td>0.873279</td> <td>0.043770</td> <td>22.23610</td> <td>0.0000</td> </tr> <tr> <td>R-squared</td> <td>0.254387</td> <td>Mean dependent var</td> <td>185.1950</td> <td></td> </tr> <tr> <td>Adjusted R-squared</td> <td>0.217106</td> <td>S.D. dependent var</td> <td>58.92944</td> <td></td> </tr> <tr> <td>S.E. of regression</td> <td>52.54152</td> <td>Akaike info criterion</td> <td>10.81301</td> <td></td> </tr> <tr> <td>Sum squared resid</td> <td>108749.5</td> <td>Schwarz criterion</td> <td>10.93589</td> <td></td> </tr> <tr> <td>Log likelihood</td> <td>-229.4798</td> <td>Hannan-Quinn criter.</td> <td>10.85833</td> <td></td> </tr> <tr> <td>F-statistic</td> <td>6.823564</td> <td>Durbin-Watson stat</td> <td>2.059737</td> <td></td> </tr> <tr> <td>Prob(F-statistic)</td> <td>0.002820</td> <td></td> <td></td> <td></td> </tr> <tr> <td>Inverted AR Roots</td> <td>.77-.58i</td> <td>.77+.58i</td> <td>-.29+.91i</td> <td>-.29-.91i</td> </tr> <tr> <td>Inverted MA Roots</td> <td>.80-.58i</td> <td>.80+.58i</td> <td>-.31+.95i</td> <td>-.31-.95i</td> </tr> </tbody> </table>					Variable	Coefficient	Std Error	t-Statistic	Prob.	C	179.1360	7.683991	23.28259	0.0000	AR(5)	-0.795382	0.070070	-11.20854	0.0000	MA(5)	0.873279	0.043770	22.23610	0.0000	R-squared	0.254387	Mean dependent var	185.1950		Adjusted R-squared	0.217106	S.D. dependent var	58.92944		S.E. of regression	52.54152	Akaike info criterion	10.81301		Sum squared resid	108749.5	Schwarz criterion	10.93589		Log likelihood	-229.4798	Hannan-Quinn criter.	10.85833		F-statistic	6.823564	Durbin-Watson stat	2.059737		Prob(F-statistic)	0.002820				Inverted AR Roots	.77-.58i	.77+.58i	-.29+.91i	-.29-.91i	Inverted MA Roots	.80-.58i	.80+.58i	-.31+.95i	-.31-.95i										
Variable	Coefficient	Std Error	t-Statistic	Prob.																																																																											
C	179.1360	7.683991	23.28259	0.0000																																																																											
AR(5)	-0.795382	0.070070	-11.20854	0.0000																																																																											
MA(5)	0.873279	0.043770	22.23610	0.0000																																																																											
R-squared	0.254387	Mean dependent var	185.1950																																																																												
Adjusted R-squared	0.217106	S.D. dependent var	58.92944																																																																												
S.E. of regression	52.54152	Akaike info criterion	10.81301																																																																												
Sum squared resid	108749.5	Schwarz criterion	10.93589																																																																												
Log likelihood	-229.4798	Hannan-Quinn criter.	10.85833																																																																												
F-statistic	6.823564	Durbin-Watson stat	2.059737																																																																												
Prob(F-statistic)	0.002820																																																																														
Inverted AR Roots	.77-.58i	.77+.58i	-.29+.91i	-.29-.91i																																																																											
Inverted MA Roots	.80-.58i	.80+.58i	-.31+.95i	-.31-.95i																																																																											
Dependent Variable: AIMS Method: Least Square Date: 03/23/18 Time: 20:12 Sample (adjusted): 2013M08 2019M12 Included observations: 41 after adjustments Convergence achieved after 7 iterations MA Backcast: 2013M01 2013M07																																																																															
<table border="1" style="width: 100%; border-collapse: collapse; font-size: 8pt;"> <thead> <tr> <th>Variable</th> <th>Coefficient</th> <th>Std Err</th> <th>t-Statistic</th> <th>Prob.</th> </tr> </thead> <tbody> <tr> <td>C</td> <td>175.7834</td> <td>8.588044</td> <td>18.33381</td> <td>0.0000</td> </tr> <tr> <td>AR(7)</td> <td>-0.493069</td> <td>0.135233</td> <td>-3.646061</td> <td>0.0000</td> </tr> <tr> <td>MA(7)</td> <td>0.932473</td> <td>0.044567</td> <td>23.92311</td> <td>0.0000</td> </tr> <tr> <td>R-squared</td> <td>0.312387</td> <td>Mean dependent var</td> <td>182.8293</td> <td></td> </tr> <tr> <td>Adjusted R-squared</td> <td>0.279297</td> <td>S.D. dependent var</td> <td>59.32448</td> <td></td> </tr> <tr> <td>S.E. of regression</td> <td>50.47091</td> <td>Akaike info criterion</td> <td>10.75103</td> <td></td> </tr> <tr> <td>Sum squared resid</td> <td>95797.88</td> <td>Schwarz criterion</td> <td>10.87541</td> <td></td> </tr> <tr> <td>Log likelihood</td> <td>-217.3961</td> <td>Hannan-Quinn criter.</td> <td>10.79668</td> <td></td> </tr> <tr> <td>F-statistic</td> <td>8.632220</td> <td>Durbin-Watson stat</td> <td>1.998206</td> <td></td> </tr> <tr> <td>Prob(F-statistic)</td> <td>0.000012</td> <td></td> <td></td> <td></td> </tr> <tr> <td>Inverted AR Roots</td> <td>.81-.39i</td> <td>.81+.39i</td> <td>.20-.88i</td> <td>.20+.88i</td> </tr> <tr> <td></td> <td>-.56-.71i</td> <td>-.56+.71i</td> <td>-.96</td> <td></td> </tr> <tr> <td>Inverted MA Roots</td> <td>.89-.43i</td> <td>.89+.43i</td> <td>.22-.87i</td> <td>.22+.87i</td> </tr> <tr> <td></td> <td>-.62-.77i</td> <td>-.62+.77i</td> <td>-.98</td> <td></td> </tr> </tbody> </table>					Variable	Coefficient	Std Err	t-Statistic	Prob.	C	175.7834	8.588044	18.33381	0.0000	AR(7)	-0.493069	0.135233	-3.646061	0.0000	MA(7)	0.932473	0.044567	23.92311	0.0000	R-squared	0.312387	Mean dependent var	182.8293		Adjusted R-squared	0.279297	S.D. dependent var	59.32448		S.E. of regression	50.47091	Akaike info criterion	10.75103		Sum squared resid	95797.88	Schwarz criterion	10.87541		Log likelihood	-217.3961	Hannan-Quinn criter.	10.79668		F-statistic	8.632220	Durbin-Watson stat	1.998206		Prob(F-statistic)	0.000012				Inverted AR Roots	.81-.39i	.81+.39i	.20-.88i	.20+.88i		-.56-.71i	-.56+.71i	-.96		Inverted MA Roots	.89-.43i	.89+.43i	.22-.87i	.22+.87i		-.62-.77i	-.62+.77i	-.98	
Variable	Coefficient	Std Err	t-Statistic	Prob.																																																																											
C	175.7834	8.588044	18.33381	0.0000																																																																											
AR(7)	-0.493069	0.135233	-3.646061	0.0000																																																																											
MA(7)	0.932473	0.044567	23.92311	0.0000																																																																											
R-squared	0.312387	Mean dependent var	182.8293																																																																												
Adjusted R-squared	0.279297	S.D. dependent var	59.32448																																																																												
S.E. of regression	50.47091	Akaike info criterion	10.75103																																																																												
Sum squared resid	95797.88	Schwarz criterion	10.87541																																																																												
Log likelihood	-217.3961	Hannan-Quinn criter.	10.79668																																																																												
F-statistic	8.632220	Durbin-Watson stat	1.998206																																																																												
Prob(F-statistic)	0.000012																																																																														
Inverted AR Roots	.81-.39i	.81+.39i	.20-.88i	.20+.88i																																																																											
	-.56-.71i	-.56+.71i	-.96																																																																												
Inverted MA Roots	.89-.43i	.89+.43i	.22-.87i	.22+.87i																																																																											
	-.62-.77i	-.62+.77i	-.98																																																																												

Dependent Variable: AHE
 Method: Least Squares
 Date: 03/23/18 Time: 20:17
 Sample (adjusted): 2013M09 2015M12
 Included observations: 40 after adjustments
 Convergence achieved after 13 iterations
 MA Broadcast: 2013M01 2013M09

Variable	Coefficient	Std. Error	t-Statistic	P-value
C	182.0817	8.850910	20.57209	0.0000
AR(2)	0.423999	0.150008	2.859250	0.0068
MA(2)	-0.026478	0.046850	-0.53054	0.0000
R-squared	0.329823	Mean dependent var	182.0250	
Adjusted R-squared	0.296405	S.D. dependent var	59.05345	
S.E. of regression	59.41797	Akaike info criterion	10.75061	
Sum squared resid	94052.95	Schwarz criterion	10.87729	
Log likelihood	-212.0122	Hannan-Quinn criter.	10.78641	
F-statistic	8.091517	Durbin-Watson stat	1.742675	
Prob(F-statistic)	0.000001			
Inverted AR Roots	.90 -.90	.54+.54i .54-.54i	.64-.54i -.54-.54i	.90+.90i .90-.90i
Inverted MA Roots	.99 -.99	.70+.70i .70-.70i	.70-.70i -.70-.70i	.99+.99i .99-.99i

Dependent Variable: AHE
 Method: Least Squares
 Date: 03/23/18 Time: 20:15
 Sample: 2013M01 2015M12
 Included observations: 40
 Convergence achieved after 8 iterations
 MA Broadcast: 2013M12 2013M12

Variable	Coefficient	Std. Error	t-Statistic	P-value
C	181.9160	6.220827	29.20524	0.0000
MA(12)	-0.073679	0.033374	-26.17827	0.0000
R-squared	0.350420	Mean dependent var	178.6250	
Adjusted R-squared	0.345484	S.D. dependent var	59.17391	
S.E. of regression	47.87235	Akaike info criterion	10.81573	
Sum squared resid	105421.9	Schwarz criterion	10.68389	
Log likelihood	-252.7774	Hannan-Quinn criter.	10.64519	
F-statistic	25.85994	Durbin-Watson stat	2.185205	
Prob(F-statistic)	0.000007			
Inverted MA Roots	.99 -.99 -.99 .99	.36-.46i .12-.99i -.12-.99i .74-.68i	.88-.46i -.12-.99i .12-.99i .74-.68i	.54+.21i -.36-.39i -.36-.28i .99+.28i

Dependent Variable: AHE
 Method: Least Squares
 Date: 03/24/18 Time: 10:30
 Sample: 2013M01 2015M12
 Included observations: 48
 Convergence achieved after 8 iterations
 MA Broadcast: 2011M09 2012M12

Variable	Coefficient	Std. Error	t-Statistic	P-value
C	189.1524	7.023303	23.87292	0.0000
MA(17)	-0.079063	0.032023	-27.17017	0.0000
R-squared	0.415507	Mean dependent var	179.6250	
Adjusted R-squared	0.402801	S.D. dependent var	59.17361	
S.E. of regression	45.72958	Akaike info criterion	10.52410	
Sum squared resid	98199.73	Schwarz criterion	10.88206	
Log likelihood	-250.5783	Hannan-Quinn criter.	10.55356	
F-statistic	32.70370	Durbin-Watson stat	2.049503	
Prob(F-statistic)	0.000001			
Inverted MA Roots	.99 -.99 -.99 .99 -.99 -.99 .99	.92-.36i -.44-.89i -.44-.89i .09+.99i -.27-.95i -.27-.95i .60-.79i -.84-.52i -.84-.52i -.97-.18i	.92-.36i -.44-.89i -.44-.89i .09+.99i -.27-.95i -.27-.95i .60-.79i -.84-.52i -.84-.52i -.97-.18i	.73-.57i -.44-.39i -.44-.39i -.09-.99i -.27-.95i -.27-.95i -.60-.79i -.84-.52i -.84-.52i -.97-.18i

Dependent Variable: AHE
 Method: Least Squares
 Date: 03/24/18 Time: 10:29
 Sample (adjusted): 2013M09 2015M12
 Included observations: 43 after adjustments
 Convergence achieved after 8 iterations
 MA Broadcast: 2012M01 2013M05

Variable	Coefficient	Std. Error	t-Statistic	P-value
C	185.8622	5.594037	32.84155	0.0000
AR(2)	-0.326544	0.118998	-2.714225	0.0099
MA(17)	-0.080312	0.033404	-26.70058	0.0000
R-squared	0.815476	Mean dependent var	185.1860	
Adjusted R-squared	0.806249	S.D. dependent var	59.82944	
S.E. of regression	37.44458	Akaike info criterion	10.35062	
Sum squared resid	54083.85	Schwarz criterion	10.27389	
Log likelihood	-215.2425	Hannan-Quinn criter.	10.19513	
F-statistic	32.01239	Durbin-Watson stat	1.980666	
Prob(F-statistic)	0.000000			
Inverted AR Roots	.94-.47i -.05	.64-.47i -.05	.25-.79i -.25-.79i	.25-.79i -.25-.79i
Inverted MA Roots	.99 -.99 -.99 .99 -.99 -.99 .99	.93-.36i -.44-.89i -.44-.89i .09+.99i -.27-.95i -.27-.95i .60-.79i -.84-.52i -.84-.52i -.97-.18i	.93-.36i -.44-.89i -.44-.89i .09+.99i -.27-.95i -.27-.95i .60-.79i -.84-.52i -.84-.52i -.97-.18i	.73-.57i -.44-.39i -.44-.39i -.09-.99i -.27-.95i -.27-.95i -.60-.79i -.84-.52i -.84-.52i -.97-.18i

الملحق رقم 10: نماذج تقييم المراشدة لتحليل سلسلة اشتراكات الأذونات لدى المتعامل أو بيدو وكالة مغنية .

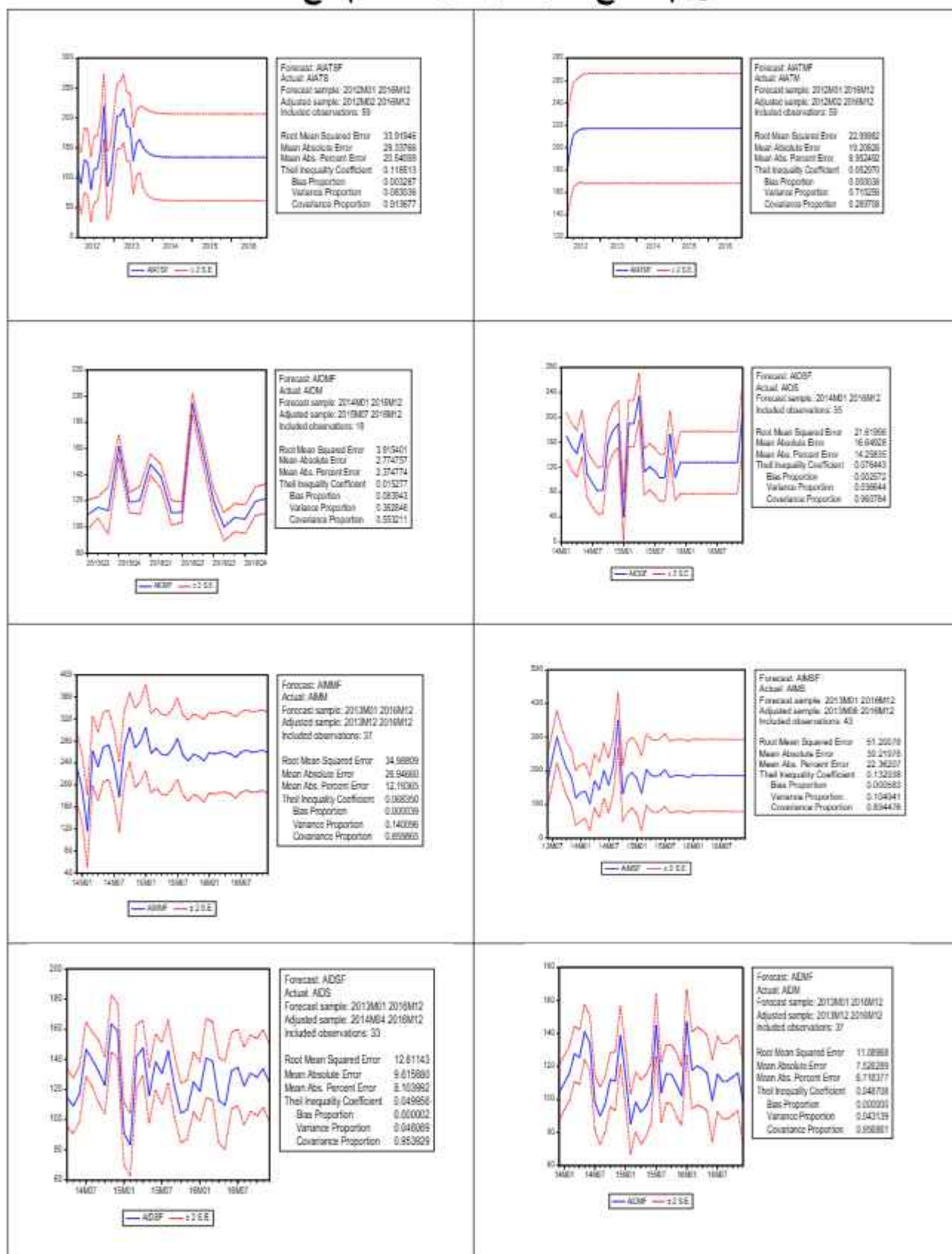
الملحق رقم 11: تابع تصور النماذج المرشحة لتحليل سلسلة اشتراكات الأتفت لـ المعامل أول بـ وكالة سعيدة .

Dependent Variable: AIVS				
Method: Least Squares				
Date: 03/24/18 Time: 10:43				
Sample: 2014M01 2016M12				
Included observations: 36				
Convergence achieved after 6 iterations				
MA Broadcast: 2012M09 2013M12				
Variable	Coefficient	Std. Error	t-Statistic	P-value
C	129.7889	6.944974	21.39513	0.0000
MA(2)	0.843352	0.043954	21.45724	0.0000
R-squared	0.730007	Mean dependent var		
Adjusted R-squared	0.731368	S.D. dependent var		
S.E. of regression	22.26177	Akaike info criterion		
Sum squared resid	16548.85	Schwarz criterion		
Log likelihood	-161.7562	Hannan-Quinn criter.		
F-statistic	98.26831	Durbin-Watson stat		
Prob(F-statistic)	0.000000			
Inverted MA Roots	.88- .5%	.88- .5%	.88- .5%	.88- .5%
	.71+ .7%	.71- .7%	.45- .5%	.45- .5%
	.16- .8%	.16- .8%	.16- .8%	.16- .8%
	.45- .8%	.45- .8%	.71- .7%	.71- .7%
	.88- .45	.88- .45	.88- .15	.88- .15

Dependent Variable: AIVS				
Method: Least Squares				
Date: 03/24/18 Time: 10:43				
Sample (adjusted): 2014M01 2016M12				
Included observations: 36				
Convergence achieved after 10 iterations				
MA Broadcast: 2012M09 2013M12				
Variable	Coefficient	Std. Error	t-Statistic	P-value
C	127.8367	8.212328	24.49747	0.0000
MA(2)	0.828800	0.029567	28.80477	0.0000
R-squared	0.771708	Mean dependent var		
Adjusted R-squared	0.784991	S.D. dependent var		
S.E. of regression	17.91201	Akaike info criterion		
Sum squared resid	10598.16	Schwarz criterion		
Log likelihood	-103.8298	Hannan-Quinn criter.		
F-statistic	167.2681	Durbin-Watson stat		
Prob(F-statistic)	0.000000			
Inverted MA Roots	.89- 14%	.89- 14%	.91- 4%	.91- 4%
	.77- 8%	.77- 8%	.57- 8%	.57- 8%
	.33- 8%	.33- 8%	.07- 8%	.07- 8%
	.21- 8%	.21- 8%	.48- 8%	.48- 8%
	.58- 7%	.58- 7%	.85- 2%	.85- 2%
	.85- 2%	.85- 2%	.13%	.13%

Dependent Variable: AIVS				
Method: Least Squares				
Date: 03/24/18 Time: 10:51				
Sample: 2014M01 2016M12				
Included observations: 36				
Convergence achieved after 5 iterations				
MA Broadcast: 2012M09 2013M12				
Variable	Coefficient	Std. Error	t-Statistic	P-value
C	130.8726	8.706346	22.79837	0.0000
MA(2)	0.827268	0.034091	27.23446	0.0000
R-squared	0.771704	Mean dependent var		
Adjusted R-squared	0.784991	S.D. dependent var		
S.E. of regression	20.82280	Akaike info criterion		
Sum squared resid	14742.02	Schwarz criterion		
Log likelihood	-158.3707	Hannan-Quinn criter.		
F-statistic	114.9296	Durbin-Watson stat		
Prob(F-statistic)	0.000000			
Inverted MA Roots	.89- 1%	.89- 1%	.90- 1%	.90- 1%
	.73- 8%	.73- 8%	.50- 8%	.50- 8%
	.22- 8%	.22- 8%	.03- 8%	.03- 8%
	.36- 8%	.36- 8%	.02- 8%	.02- 8%
	.82- 5%	.82- 5%	.05- 2%	.05- 2%
	.13%	.13%	.05- 1%	.05- 1%

الملحق رقم 12: نتائج أخبار المقدرة التنبؤية باستخدام نماذج ARMA





فهرس المحتويات



التعبو باشتراكات الانترنت باستخدام معاذج السلالسل الزمنية
الخطية وغير الخطية

فهرس المحتويات

الصفحة	الموضوع
III	الإهداء
IV	الشكر
V	فهرس مختصر
VI	قائمة المداول
VIII	قائمة الأشكال
IX	قائمة الملاحق
X	رموز مهمة
أ	المقدمة العامة
د	1- إشكالية الدراسة
هـ	2- فرضيات الدراسة
و	3- أهداف الدراسة
و	4- أهمية الدراسة
ز	5- أسلوب و حدود الدراسة
حـ	6- صعوبات الدراسة
حـ	7- محتوى الدراسة
	الفصل الأول : الإطار النظري للدراسة
01	تمهيد
02	المبحث الأول: الإطار النظري للتبيؤ و السلاسل الزمنية و الأنترنت
02	1- التبؤ الاقتصادي
02	2-1-تعريف التبؤ الاقتصادي
03	2-2-خصائص عملية التبؤ الاقتصادي
04	3-1-أشكال التبؤ و أنظمته
05	4-1-الأهمية العلمية و العملية للتتبؤ الاقتصادي
07	5-1-بناء نموذج تبؤي احصائي
07	5-2-مرحلة تعين و تحديد النموذج
08	5-3-مرحلة تدريب معلمات النموذج
09	5-4-مرحلة تشخيص النموذج
10	5-5-مرحلة التنبؤ
11	6-1-أساليب و طرق التبؤ

فهرس المحتويات

11	1-6-1- الطرق التحليلية البسيطة
11	1-1-6-1- حصر العوامل المؤثرة
11	2-1-6-1- المقارنة التاريخية
11	3-1-6-1- علاقات المقدمات و التوالى
11	4-1-6-1- طريقة التخمين
12	5-1-6-1- تحليل المستخدم النهائي
12	6-1-6-1- طريقة متوسط استهلاك الفرد
12	7-1-6-1- أسلوب مروّنات الطلب السعرية و الدخلية
12	8-1-6-1- أسلوب المقارنات الدوليّة
12	9-1-6-1- المسح العام
13	2-6-1- طرق النماذج الكمية
13	1-2-6-1- تحليل السلالس الرمزية
13	2-2-6-1- معادلات الارتباط الخطى
13	7-1- مدى التبؤ
13	1-7-1- المدى القصير جداً
13	2-7-1- المدى القصير
14	3-7-1- المدى المتوسط
14	4-7-1- المدى الطويل
14	8-1- أخطاء التبؤ
15	1-8-1- متوسط الخطأ
15	2-8-1- متوسط مربع الخطأ
16	3-8-1- متوسط الانحرافات المطلقة
17	2- السلالس الرمزية
17	1-2-تعريف و مؤشرات السلالس الرمزية
17	1-1-2-تعريف السلسلة الرمزية
18	2-1-2-أهداف تحليل السلالس الرمزية
19	3-1-2-أشكال السلالس الرمزية
20	4-1-2-مؤشرات السلالس الرمزية
20	1-4-1-2- المؤشرات الأساسية للسلالس الرمزية
21	2-4-1-2- المؤشرات الوسيطية للسلالس الرمزية
22	5-1-2- مركبات السلسلة الرمزية و طرق الكشف عنها
22	1-5-1-2- مركبات السلالس الرمزية

فهرس المحتويات

24	2-5-1-2- طرق الكشف عن مركبات السلسل الرمزية
29	2-2- دراسة الاستقرارية
30	1-2-2- تعريف السلسلة الرمزية المستقرة
30	2-2-2- الخصائص الاحصائية للاستقرارية
31	3-2-2- التشويش الأبيض
31	4-2-2- أنواع السلسل الرمزية غير المستقرة
31	1-4-2-2- السلسل الرمزية غير المستقرة من نوع TS
32	2-4-2-2- السلسل الرمزية غير المستقرة من نوع DS
32	5-2-2- اختبارات الاستقرارية
33	1-5-2-2- اختبار جذر الوحدة ADF
33	2-5-2-2- دالة الارتباط الثنائي
37	3-5-2-2- اختبار فيليبس-بيرون
37	4-5-2-2- اختبار KPSS .
39	3_ الأنترنت
39	3-1- تعريف الأنترنت
39	3-2- التطور التاريخي لاستعمال الأنترنت
39	1-2-3- المرحلة الأولى
39	2-2-3- المرحلة الثانية
40	3-2-3- المرحلة الثالثة
40	3-3- استخدامات الأنترنت
40	1-3-3- الشبكة العنكبوتية العالمية
40	2-3-3- البريد الالكتروني
40	3-3-3- بروتوكول نقل الملفات
41	4-3-3- قوائم البريد الالكتروني
41	5-3-3- التقاضي الالكتروني
41	6-3-3- مركبات البحث
41	3-4- دخول الأنترنت للعالم العربي
42	3-5- ملكية الأنترنت
43	المبحث الثاني : الدراسات السابقة
43	1- الدراسات العربية
43	1-1- دراسة رعد فاضل حسن و الحرون (2008)

فهرس المحتويات

43	1-2- دراسة عزة حازم ركي (2008)
44	3-1- دراسة سرمد كوكب جليل و آخرون (2008)
44	4-1- دراسة بلال محمد أسعد محمود هي (2008)
45	5-1- دراسة هيام عبد الحميد حياوي و آخرون (2009)
46	6-1- دراسة عبير حسن علي الجبوري (2010)
47	7-1- دراسة عباس فاضل الطائي (2010)
48	8-1- دراسة عدالة العجال (2011)
49	9-1- دراسة نوال علاء الدين جراح (2011)
50	10-1- دراسة ناظم عبد الله عبد الحمدي و آخرون (2011)
51	11-1- دراسة ساندي يوسف هرمز و آخرون (2011)
52	12-1- دراسة عثمان نقار و آخرون (2011)
52	13-1- دراسة سعدية عبد الكرم طعمة (2012)
53	14-1- دراسة عائدة يونس محمد المراد (2012)
54	15-1- دراسة زكريا يحيى الجمال و آخرون (2012)
55	16-1- دراسة محمد جلال عبد الله (2012)
57	17-1- دراسة سايد عبد القادر (2013)
58	18-1- دراسة أمل علي غافل (2013)
58	19-1- دراسة صفاء يونس و آخرون (2013)
59	20-1- دراسة أبو ذر يوسف علي احمد و آخرون (2013)
60	21-1- دراسة طاهر رمضان مطر البدراوي و آخرون (2014)
61	22-1- دراسة مؤيد سلطان وهيب (2014)
61	23-1- دراسة هبة لقمان أمين (2014)
62	24-1- دراسة فراس أحمد محمد و آخرون (2015)
63	2- الدراسات الأجنبية
63	1-2- دراسة H.K.Cigizoglic (2003)
64	2-2- دراسة Ping Feng Pai & all (2005)
64	3-2- دراسة Abd almagid AL Nasser & all (2009)
65	4-2- دراسة Turhan Korkmaz & all (2009)
65	5-2- دراسة Tubin & all (2013)
66	6-2- دراسة Yaziz & all (2013)
66	7-2- دراسة Rosen Christer (2017)
67	3- الدراسة الحالية و خصوصياتها

فهرس المحتويات

68		خلاصة
	الفصل الثاني : الاطار التطبيقي للدراسة	
69		تمهيد
70		المبحث الأول : نموذج و منهجة الدراسة
70		1- منهجة الدراسة
70		1-1- أسلوب الدراسة
70		1-2- مصادر جمع البيانات
70		1-2-1- المصادر الأولية
70		1-2-2- المصادر الثانوية
71		1-3- مجتمع و عينة الدراسة
71		1-3-1- مجتمع الدراسة
71		1-3-2- عينة الدراسة
71		1-4- متغيرات الدراسة
72		2- أدوات الدراسة
72		2-1- النماذج الخطية ARMA (منهجة بوكس_جنكشن)
72		2-1-1- تعریف نموذج ARMA الخطی
74		2-1-2- البرهنة الرياضية لنموذج ARMA(p,q)
74		2-2-1-2- نموذج المتوسط الغائب
75		2-2-1-2- نموذج الانحدار الذاتي من الدرجة الأولى
75		2-2-1-2- نموذج المتوسط المتحرك من الدرجة الأولى
75		2-2-1-2- نموذج الانحدار الذاتي من الدرجة الثانية
76		2-2-1-2- نموذج الانحدار الذاتي - المتوسط المتحرك من الدرجة (0,0)
76		2-3-1-2- نماذج السلالسل الزمنية غير المستقرة
76		2-3-1-2- دراسة عدم الاستقرار في المتوسط
77		2-3-1-2- دراسة عدم الاستقرار في التباين
78		3-3-1-2- نماذج ARIMA
79		4-3-1-2- أنواع و حالات نماذج ARIMA
81		4-1-2- نماذج السلالسل الزمنية الموسمية SARIMA
82		4-1-2-1- النموذج الموسي SARIMA
84		4-4-1-2- أنواع نماذج النماذج السلالسل الزمنية الموسمية
85		5-1-2- عرض منهجة بوكس_جنكشن
85		5-1-2-1- مرحلة التعرف على النموذج

فهرس المحتويات

86	2-5-1-2- مرحلة التقدير
86	3-5-1-2- مرحلة الاختبار
90	4-5-1-2- مرحلة التبؤ
91	2- النماذج غير الخطية GARCH- ARCH
91	1-2-2-تعريف نماذج ARCH
92	2-2-2- مميزات نماذج ARCH
92	3-2-2- خطوات اختبار نموذج ARCH
93	4-2-2- أنواع و امتدادات نماذج ARCH
93	1-4-2-2- ARMA-GARCH
94	2-4-2-2- نماذج GARCH-M , ARCH-M
94	3-4-2-2- TGARCH , TARCH
94	4-4-2-2- FIGARCH .
94	3- الشبكات العصبية الاصطناعية ANN
95	1-3-2-نشأة استعمال الشبكات العصبية الاصطناعية
95	2-3-2- المفاهيم الأساسية للشبكة العصبية الاصطناعية
96	3-3-2- خصائص الشبكة العصبية الاصطناعية
97	4-3-2- مكونات الشبكة العصبية الاصطناعية
97	5-3-2- أنواع الشبكات العصبية الاصطناعية
97	1-5-3-2- الشبكة العصبية ذات التغذية الأمامية
97	2-5-3-2- الشبكة العصبية ذات التغذية العكسية
98	3-5-3-2- الشبكة العصبية ذات الترابط الذاتي
98	6-3-2- مزايا و حدود الشبكات العصبية الاصطناعية
98	1-6-3-2- مزايا الشبكات العصبية الاصطناعية
99	2-6-3-2- حدود الشبكات العصبية الاصطناعية
100	المبحث الثاني: النتائج التطبيقية للدراسة
100	1- التمثيل البياني للسلالسل الزمنية محل الدراسة
100	1-1- التمثيل البياني للاشتراكات الشهرية للأنترنت لدى المتعامل موبيليس
101	1-2- التمثيل البياني للاشتراكات الشهرية للأنترنت لدى المتعامل جزي
102	1-3- تمثيل البياني للاشتراكات الشهرية للأنترنت لدى المتعامل أوريدو
104	1-4- تمثيل البياني للاشتراكات الشهرية للأنترنت لدى المتعامل اتصالات الجزائر
105	2- دراسة استقرارية السلاسل الزمنية
105	1-2- اختبار معنوية معاملات دوال الارتباط الذاتي

فهرس المحتويات

105	1-1-2- اختبار معنوية معاملات دوال الارتباط الذافي لدى المتعامل موبيليس
107	2-1-2- اختبار معنوية معاملات دوال الارتباط الذافي لدى المتعامل جيزي
108	3-1-2- اختبار معنوية معاملات دوال الارتباط الذافي لدى المتعامل أوريدو
110	4-1-2- اختبار معنوية معاملات دوال الارتباط الذافي لدى المتعامل اتصالات الجزائر
111	2-2- اختبارات جذر الوحدة للسلسل الرمزية
112	1-2-2- اختبار ديكى فولر ADF للسلسل الرمزية
113	2-2-2- اختبار فيليبس بيرون PP للسلسل الرمزية
114	3-2-2- اختبار KPSS للسلسل الرمزية
115	2-2- ملخص دراسة الاستقرارية
116	3- استخدام نماذج ARMA للنمذجة و التنبؤ (منهجية يوكس-جنكتز)
116	3-1- مرحلة التعرف على النموذج
116	1-1-3- التعرف على نموذج المتعامل موبيليس وكالة مغنية
117	2-1-3- التعرف على نموذج المتعامل موبيليس وكالة سعيدة
118	3-1-3- التعرف على نموذج المتعامل جيزي وكالة مغنية
119	4-1-3- التعرف على نموذج المتعامل جيزي وكالة سعيدة
120	5-1-3- التعرف على نموذج المتعامل أوريدو وكالة مغنية
121	6-1-3- التعرف على نموذج المتعامل أوريدو وكالة سعيدة
122	7-1-3- التعرف على نموذج المتعامل اتصالات الجزائر وكالة مغنية
123	8-1-3- التعرف على نموذج المتعامل اتصالات الجزائر وكالة سعيدة
125	2-3- مرحلة تقدير النموذج
125	1-2-3- تقدير نموذج المتعامل موبيليس وكالة مغنية
126	2-2-3- تقدير نموذج المتعامل موبيليس وكالة سعيدة
126	3-2-3- تقدير نموذج المتعامل جيزي وكالة مغنية
127	4-2-3- تقدير نموذج المتعامل جيزي وكالة سعيدة
128	5-2-3- تقدير نموذج المتعامل أوريدو وكالة مغنية
129	6-2-3- تقدير نموذج المتعامل أوريدو وكالة سعيدة
130	7-2-3- تقدير نموذج المتعامل اتصالات الجزائر وكالة مغنية
131	8-2-3- تقدير نموذج المتعامل اتصالات الجزائر وكالة سعيدة
131	3- مرحلة اختبار و تشخيص النماذج المقدرة
132	1-3-3- اختبار معنوية معالم النماذج المقدرة
132	1-1-3-3- اختبار معنوية معالم التمودج ARMA(11,11)
133	2-1-3-3- اختبار معنوية معالم التمودج ARMA(5,17)

فهرس المحتويات

134	3-1-3-3- اختبار معنوية معلم النموذج ARMA(11,26)
135	4-1-3-3- اختبار معنوية معلم النموذج ARMA(15,22)
136	5-1-3-3- اختبار معنوية معلم النموذج ARMA(18,14)
137	6-1-3-3- اختبار معنوية معلم النموذج ARMA(0,23)
137	7-1-3-3- اختبار معنوية معلم النموذج ARMA(1,5)
138	8-1-3-3- اختبار معنوية معلم النموذج ARMA(1,20)
139	2-3-3- اختبار المعنوية الكلية للنموذج (اختبار فيشر)
140	3-3-3- اختبار التوزيع الطبيعي لباقي النماذج المقدرة
141	4-3-3- اختبار Breush_Godfrey للنموذج المقدرة
142	3- مرحلة التبؤ بالاشتراكات الشهرية للفترة 2017 لكل نموذج مقدر
145	4- استخدام نماذج ARCH و GARCH للنمذجة و التبؤ
145	4-1- اختبار أثر ARCH لباقي النماذج المقدرة
146	4-2- اختبار White لثبات الشابين
148	4-3- التعرف على نموذج ARCH بالنسبة للمتعامل أوريدو وكالة مغنية
149	4-4- تقدير نموذج (ARMA(18,14) بخطأ (GARCH(0,1)
150	4-5- تشخيص نموذج (GARCH(0,1) ARMA(18,14) بخطأ (
150	5-1- اختبار معنوية المعلم المقدرة للنموذج
150	5-2- اختبار المعنوية الكلية للنموذج
150	5-6- التبؤ باشتراكات الأنترنت باستخدام نموذج (ARMA(18,14) GARCH(0,1) بخطأ (
152	5-7- المقارنة بين نموذج (ARMA(18,14) و نموذج (GARCH(0,1) ARMA(18,14) بخطأ (
153	5- استخدام نماذج الشبكات العصبية ANN في النمذجة و التبؤ :
153	5-1- بناء الشبكات للسلسل الرمزية محل الدراسة
153	5-1-1- تحديد المدخلات
153	5-2- تحليل الشبكات
159	5-2- تقدير نماذج الشبكات العصبية للسلسل الرمزية
159	5-1-2- شبكة سلسلة الاشتراكات لدى المتعامل موبيليس وكالة مغنية
159	5-2-2- شبكة سلسلة الاشتراكات لدى المتعامل موبيليس وكالة سعيدة
160	5-3-2-5- شبكة سلسلة الاشتراكات لدى المتعامل جيزي وكالة مغنية
161	5-4-2-5- شبكة سلسلة الاشتراكات لدى المتعامل جيزي وكالة سعيدة
161	5-5-2-5- شبكة سلسلة الاشتراكات لدى المتعامل أوريدو وكالة مغنية
162	5-6-2-5- شبكة سلسلة الاشتراكات لدى المتعامل أوريدو وكالة سعيدة
163	5-7-2-5- شبكة سلسلة الاشتراكات لدى المتعامل اتصالات الجزائر وكالة مغنية

فهرس المحتويات

163	5-2-8- شبكة سلسلة الاشتراكات لدى المتعامل اتصالات الجزائر وكالة سعيدة
164	5-3- مرحلة التنبؤ باستخدام نماذج الشبكات المخالية MLP
165	6- المقارضة بين نماذج ARMA و نماذج الشبكات العصبية ANN
165	6-1- المقارضة بين نموذج ARMA(11,11) و نموذج MLP 1_7_1
165	6-2- المقارضة بين نموذج ARMA(5,17) و نموذج MLP 1_4_1
166	6-3- المقارضة بين نموذج ARMA(11,26) و نموذج MLP 1_5_1
167	6-4- المقارضة بين نموذج ARMA(15,22) و نموذج MLP 1_1_1
167	6-5- المقارضة بين نموذج ARMA(18,14) و نموذج MLP 1_9_1
168	6-6- المقارضة بين نموذج ARMA(0,23) و نموذج MLP 1_3_1
168	6-7- المقارضة بين نموذج ARMA(1,5) و نموذج MLP 1_3_1
169	6-8- المقارضة بين نموذج ARMA(1,20) و نموذج MLP 1_6_1
171	خلاصة
172	الختمة
177	المراجع
183	الملاحق
201	الفهرس